АКАДЕМИЯ НАУК СССР СИБИРСКОЕ ОТДЕЛЕНИЕ

ТРУДЫ ИНСТИТУТА ГЕОЛОГИИ И ГЕОФИЗИКИ им. 60-летия СОЮЗА ССР ВЫПУСК 732

ВЕРХНИЙ ПАЛЕОЗОЙ И ТРИАС СИБИРИ

Ответственные редакторы доктора геолого-минералогических наук А.С. Дагис, В.Н. Дубатолов



НОВОСИБИРСК « Н А У К А » СИБИРСКОЕ ОТДЕЛЕНИЕ 1989

Верхний палеозой и триас Сибири. - Новосибирск: Наука. Сиб. отдние, 1989. - 184 с. ISBN 5-02-028821-7.

Сборник посвящен различным аспектам биостратиграфии и палеонтологии бореального верхнего палеозоя и триаса. Значительное место уделено изменению континентальной биоты на границе пермской и триасовой систем в пределах Ангариды; обоснованию региональных стратиграфических схем. Описаны новые и малоизвестные виды и роды триасовых двустворок, наутилондей, аммонондей, конодонтов, сколекодонтов, акритарх, пермских ругоз. Приведены новые данные по фациальному анализу триасовых отложений отдельных регионов Сибири, рассмотрены вопросы детальной стратиграфии бореального триаса.

Книга рассчитана на геологов, изучающих Сибирь, и палеонтологовстратиграфов, исследующих биостратиграфию верхнего палеозоя и триаса бореальных регионов.

Рецензенты кандидат геолого-минералогических наук И.Г. Климова доктор геолого-минералогических наук Н.П. Кульков

Утверждено к печати Институтом геологии и геофизики им. 60-летия Союза ССР CO AH CCCP

ПРЕДИСЛОВИЕ

Сборник посвящен различным аспектам исследования верхнепалеоэойских и триасовых отложений преимущественно северных регионов Сибири и некоторых сопредельных областей. В ряде статей затрагиваются вопросы региональной стратиграфии перми (статья В.И. Данилова и И.В. Будникова) Вилюйской синеклизы и Западного Верхоянья и триаса Таймырского полуострова (статьи Ю.А. Егорова и Л.И. Куликовой, А.С. Дагиса и др.), а также дается обоснование детальной стратиграфии отдельных уровней бореального триаса. В работе Н.К. Могучевой проведен анализ развития флоры на границе перми и триаса в Ангариде. Г.Н. Садовниковым дан критический разбор стратиграфических данных, представляющих определенный интерес для оценки положения границы перми и триаса в континентальных разрезах Сибири. Статья А.М. Казакова содержит фациально-генетическую интерпретацию нижнетриасовых нефтегазоносных отложений Вилюйской синеклизы и Западного Верхоянья. Эти же проблемы, но для верхнетриасовых отложений из предположительно экзотических блоков Корякии рассмотрены в работе Ю.М. Бычкова.

Другая группа статей посвящена палеонтологии бореального триаса, описанию новых или малоизвестных групп ископаемых и их стратиграфическому и биогеографическому значению. Н.И. Курушиным и А.М. Трушелевым приведены результаты ревизии очень важной для биостратиграфии бореального триаса группы двустворок-посидоний, выделенных в самостоятельный род Peribositria. Н.М. Заславской впервые из триасовых отложений Сибири детально изучены проблематичные образования (род Arites), которые отнесены к сколекодонтам, и рассмотрена их система. Большой комплекс акритарх описан Л.И. Шешеговой из нижнего триаса Таймыра. Некоторыми авторами приведены новые данные по бореальной фауне из сопредельных с Сибирью регионов. В статье А.А. Дагис и М.В. Корчинской даются итоги изучения конодонтов из триасовых отложений Свальбарда и описания ряда новых форм. Е.С. Соболевым проведена ревизия триасовых наутилоидей из этого же региона, А.Б. Ивановским — казанских одиночных ругоз из восточных частей Русской платформы.

Сборник имеет цель – совершенствование региональных стратиграфических схем верхнего палеозоя и триаса бореальных регионов, выявление спорных вопросов проведения стратиграфических границ и, в первую очередь, рубежа между пермью и триасом, пополнение знаний о континентальной и морской биоте позднего палеозоя и триаса Сибири.

ИЗМЕНЕНИЕ ФЛОРЫ НА ГРАНИЦЕ ПЕРМИ И ТРИАСА В АНГАРИДЕ

В геологической истории Земли с границей перми и триаса связана одна из самых крупных и коренных перестроек в морской и континентальной биотах. На этом рубеже произошло массовое вымирание морских организмов и значительное обновление фауны. Что касается флоры, то на примере Германского бассейна (стратотипической местности триасовой системы) сложилось представление, что смена палеофитной флоры на мезофитную произошла не на границе перми и триаса, а в середине пермского периода и это было связано с наступившей аридизацией климата. Флоры пестрого песчаника и цехштейна достаточно резко отличаются, но эти различия на ранг ниже тех, которые имели место в середине перми, когда исчезли все основные представители палеофитной флоры (прапапоротники, древовидные плауновидные, каламиты, корданты). По мере изучения пограничных континентальных отложений перми и триаса стали появляться данные о том, что смена палеофита мезофитом в разных регионах мира происходила неодновременно. В Приуралье и на Русской платформе (стратотипическом регионе пермской системы) подобная смена наблюдается в татарском ярусе верхней перми. Флора верхнетатарского подъяруса, названная татариновой, считается мезофитной и относится (по терминологии В.А. Вахрамеева /1970/) к эомезофиту /Гоманьков, Мейен, 1986/. Ее основными доминантами являются птеридоспермы Tatarina, меньшую роль играют хвойные Quadrocladus кардиолепидиевые Phylladoderma. a также сфагновые мхи и сульцивные кордаиты. Раннетриасовая флора Русской платформы не имеет с татариновой общих форм. Она представлена в основном лепидофитом Pleuromeia - характернейшим представителем флоры пестрого песчаника Западной Европы.

Асинхронность границы палеофита и мезофита, а также резкая дифференциация пермских и раннетриасовых флор /Вахрамеев, 1970/ вызывают определенные трудности при установлении границы перми и триаса в континентальных отложениях. Так, уже несколько лет дискутируется вопрос о положении границы перми и триаса в Средней Сибири - центре Ангариды. Традиционно эта граница проводится по смене сероцветных угленосных отложений с палеофитной флорой безугольными полифециальными отложениями с мезофитной флорой. Эта точка эрения, разделяемая большинством палеоботаников /Принада, 1970; Криштофович, 1959; Вахрамеев, 1970; Радченко, Шведов (см./Владимирович и др., 1967/)/, достаточно надежно обосновывается корреляцией разрезов Верхоянья, Таймыра, Тунгусского и Кузнецкого бассейнов /Могучева, 1986; Добрускина, Могучева, 1987/. Существуют и другие представления о положении границы перми и триаса в Ангариде /Садовников, 1981; Гоманьков, Мейен, 1986/, которые довольно широко обсуждались ранее /Могучева, 1982, 1986; Бетехтина, Могучева, 1984; Бетехтина и др., 1986; Добрускина, Могучева, 1987/ и поэтому здесь не рассматриваются.

В Ангариде в отличие от Европы, как справедливо отмечал А.Н. Криштофович, до самого конца перми и начала триаса продолжали сохраняться

влажный климат и процессы углеобразования, а также "... спокойное развитие палеозойской полихронной флоры..." /Криштофович, 1959, с. 188/. Поэтому именно здесь (по свидетельству этого же автора) можно ожидать постепенную эволюцию позднепалеозойской и раннемезозойской флор. В связи с этим заслуживает особого внимания изучение мальцевской и корвунчанской флор для воссоздания истории возникновения и развития мезозойской флоры Сибирской палеофлористической области.

Рубеж перми и триаса в Ангариде ознаменовался существенной перестройкой физико-географических обстановок, сменой гумидного климата на семиаридный /Гольберт и др., 1984/, прекращением углеобразования, значительной активизацией вулканической деятельности, началом трансгрессии моря. достигшей максимума в оленекском веке, а также резким изменением растительных ассоциаций. Верхняя пермь Сибири - это в основном угленосные отложения, развитые на обширной территории от Таймыра до Кузнецкой впадины, между Енисеем и Леной. В верхах верхней перми локально встречаются вулканогенные породы. На фоне накопления угленосных отложений в северо-западных районах Тунгусской синеклизы и, возможно, на Таймыре происходили излияния лав, сопровождавшиеся выбросами туфов /Сухов, Голубков, 1965/. Наличие туфогенного материала отмечается также в верхней перми Верхоянья и Вилюйской синеклизы /Граусман и др., 1982; Андрианов, 1985/. Нижний триас в мезозойских прогибах Сибирской платформы и на Восточном Таймыре представлен континентальными, лагунными и прибрежно-морскими пестроцветными песчано-алевролито-глинистыми отложениями с прослоями туффитов, туфов и редкими покровами мандельштейнов /Дагис, Казаков, 1984/. На остальной территории - это мошные толши вулканогенных образований.

Флора поздней перми типично палеофитная. Наиболее богато и полно она представлена и детально изучена в Кузнецком бассейне, разрез верхнего палеозоя которого является эталонным для Ангариды. В нем достаточно условно выделены все ярусы пермской системы /Мейен, 1970/ и, таким образом, предполагается, что пермь представлена здесь в полном объеме. В последние годы появилось мнение, что на Русской платформе и в Кузбассе между пермью и триасом существует перерыв, отвечающий части джульфинского и дорашамскому ярусам /Гоманьков, Мейен, 1986/. Но это гипотетическое предположение нельзя считать надежно доказанным, оно требует еще глубокой аргументации и строгого обоснования. Приводимая авторами интерпретация палеоботанических данных во многом противоречива.

В поэднепермской палеофитной флоре Кузбасса основное ядро составляют кордантантовые (около 55 видов), состав которых заметно изменяется в течение поэднепермской эпохи. В казанково-маркинском комплексе господствовали мелколистные утнетенного облика руфлории, которые постепенно исчезают в ленинском комплексе при усиливающейся роли сульцивных кордантов. Последние вместе с крупными несульцивными кордантами широко распространены в грамотеинском комплексе, а в тайлуганском доминирующую роль играли сульцивные корданты с карликовыми размерами листьев и густым жилкованием /Горелова, 1986/. Наряду с кордантами на отдельных стратиграфических уровнях наблюдается широкое распространение лиственных мхов, членистостебельных, папоротников, разнообразных птеридоспермов, часто встречаются различные семена. Характерно появление первых единичных представителей мезофитной флоры – Todites, Yavorskyia, Tomia, Ginkgoites, Rhipidopsis.

Такого типа флора, но более бедного состава и одна и та же последовательность изменения флористических комплексов наблюдаются в верхнепермских отложениях по всей территории Средней Сибири. Различия в разных рай-

онах проявляются лишь в отсутствии в комплексах отдельных видов или родов растений. Кроме того, С.В. Мейен отмечает общую закономерность — обеднение состава позднепермской флоры Сибири в северо—восточном направлении и связывает это с климатической зональностью в поздней перми /Грамусман и др., 1982/. Установлено также, что флористические комплексы, характерные для самых верхних горизонтов Кузбасса — грамотеинского и тайлуганского (татарский ярус), — распространены неповсеместно. Возрастные аналоги этих горизонтов выпадают из разрезов в Верхоянье /Дуранте, Битерман, 1978; Будников, Данилов, 1985/, Вилюйской синеклизе /Граусман и др., 1982/ и частично в Тунгусском бассейне /Вербицкая, Ильюхина, 1979/.

Несмотря на существенные различия, позднепермская флора Сибири имеет элементы сходства с позднетатериновой флорой Русской платформы. Общими в них являются сульцивные корденты Cordaites clercii Zal, и ассоцирующие с ними чешуи Crassinervia и семена Samaropsis irregularis/Гоманьков, Мейен, 1986/.

Граница угленосных верхнепермских отложений и безугольных нижнетриасовых характеризуется полным вымиранием всех кордаитов, абсолютно всех видов и многих родов остальных групп растений позднепермской флоры. Раннетриасовая флора Сибири является мезофитной. В отличие от пермской ее состав на территории Сибири неоднороден. В ней установлены две растительные формации: лепидофитовая и хвойно-папоротниковая, имеющие разные ареалы /Могучева, 1986/. Первая распространена в пределах мезозойских прогибов Сибирской платформы и на Восточном Таймыре, вторая приурочена к вулканогенным толщам Тунгусского и Кузнецкого бассейнов и остальной части Таймыра.

Флористический комплекс самых нижних (тараканихинских) слоев мальцевской свиты Кузбасса, залегающей на верхней перми без видимого перерыва /Владимирович и др., 1967; Бетехтина и др., 1986/, состоит из водорослей Korsakia, Mesenteriophylum, лепидофитов Tomiastrobus. членистостебельных Schizoneura, Neokoretrophyllites, Neocalamites, Paracalamites, папоротников Cladophlebis, редко Pecopteris?, птеридоспермов Glossozamites, Tomia, Yersiella, гинкгофитов Rhipidopsis. Sphenobaiera. Очень близкого состава комплекс установлен в более высоких барсучьих слоях /Владимирович и др., 1967/. Выше по разрезу в кедровских и рябокаменских слоях появляются многочисленные хвойные Voltzia. Quadrocladus, Elatocladus, Lutuginia, а также папоротники эндемичных родов Katasiopteris, Kchonomakidium, Korvuntchania, Tun-В целом для мальцевской флоры характерны доминирование gussopteris. и большое разнообразие папоротников, широкое развитие хвойных и отчасти членистостебельных при подчиненном значении птеридоспермов и гинкгофитов. Уже из этой краткой характеристики мальцевской флоры видны ее резкие отличия от позднепермской флоры из подстилающих отложений - иное соотношение систематических групп, полное отсутствие кордантов и общих видов, появление хвойных. Вместе с тем между этими флорами наблюдается некоторая преемственность, выражающаяся в присутствии общих родов Korsakia, Neokorotrophyllites, Schizoneura, Paracalamites, Todites, Pecopteris, Prynadaeopteris. Tomia, Yavorskyia. имеют сравнительно узкий возрастdopsis. Четыре последних рода ной диапазон: Prynadaeopteris обычен в пермских отложениях и очень редок в вулканогенных толщах Кузнецкого и Тунгусского бассейнов; Yavorединично встречается в ленинском и грамотеинском горизонтах, часто характерна и для тайлуганского и умеренно распространена в вулканогенных отложениях; Rhipidopsis характерен в основном для грамотеинского и тайлуганского горизонтов и имеет подчиненное значение в мальцевской и корвунчанской флорах; Тотіа известна только из тайлуганского горизонта и тараканихинских и барсучьих слоев мальцевской свиты Кузбасса, в других районах Ангариды этот род неизвестен. Среди других общих родов Тосітев, появившийся в верхах перми, достигает расцвета в позднетриасовых и юрских флорах, а остальные в виде реликтов продолжают встречаться тоже вплоть до юры. Приведенный анализ показывает, что несмотря на очень существенные глубокие различия позднепермской и мальцевской флор, можно говорить и о некоторой постепенной их смене. Об этом свидетельствуют количественные и качественные изменения самой позднепермской флоры — постепенное угасание палеофитных и появление мезофитных элементов /Горелова, 1986/.

Другой характерной особенностью мальцевской флоры является присутствие в ней (в основании свиты) лепидофита Tomiostrobus и птеридоспермов Madygenia, Scytophyllum, Lepidopteris arctica, Raphidopteris. Томиостробусы – основной компонент раннетриасовой лепидофитовой ассоциации Сибири, в которой встречается и Lepidopteris arctica. Это позволяет надежно коррелировать мальцевскую свиту с нижнетриасовыми (индскими) отложениями Верхоянья, Вилюйской синеклизы и Восточного Таймыра /Могучева, 1986/ и подтверждает ее раннетриасовый возраст. Роды Madygenia и Scytophyllum, распространенные в верхней части мальцевской свиты, связывают мальцевскую флору с более молодой кейперской сцитофилловой флорой /Добрускина, 1982/.

Единственной флорой, с которой мальцевская имеет неоспоримо самое большое сходство, является корвунчанская флора Тунгусского бассейна. Они близко сходны по групповому, родовому и видовому составам, этапности развития, а также характеру смены флор на границе угленосных и вулканогенных отложений. Подавляющее большинство мальцевских видов присутствуют в корвунчанской флоре. Позднепермская тунгусская флора имеет более бедный состав, чем одновозрастная флора Кузбасса. В ней полностью отсутствуют Comia, Rhipidopsis, Ginkgoites, Tomia, очень редко встречаетшироко распространенные в Кузбассе и Западном Таймыся Callipteris. ре /Мейен, 1970/. Гагарьеостровский комплекс, сопоставляемый с грамотеинским и тайлуганским, состоит из представителей родов Koretrophyllites, Gamophyllites, Paracalamites, Cladophlebis, Pry-Annularia, nadaeopteris, Pecopteris, Cordaites, Yavorskyia /Вербицкая. 1979/. В течение поздней перми наблюдается постепенное обеднение состава комплексов, сокращение роли кордаитов при возрастающей роли папоротников, отмечается появление мезофитных элементов. Из перечисленных родов гагарьеостровского комплекса в корвунчанской флоре встречаются Gamophyllites, известный только из тутончанского горизонта, Paracalamites, Cladophlebis, Pecopteris, Yavorskyia, Эти роды, кро-Cladophlebis. имеют подчиненное значение в корвунчанской флоре. Cladophlebis, спорадически встречающийся в пермских отложениях, чрезвычайно широко распространен в более молодых юрских флорах. В корвунчанской флоре он тоже широко распространен и представлен большим числом видов.

Если пермская флора Тунгусской синеклизы беднее, чем в Кузбассе, то корвунчанская, напротив, значительно богаче и разнообразнее мальцевской, полнее и лучше изучена. В ней, как и в мальцевской, по частоте встречаемости, количеству остатков, видовому и родовому разнообразию резко преобладают папоротники, принадлежащие более 40 видам из 17 родов. В двурогинском и путоранском горизонтах наряду с папоротниками широко распространя—

котся хвойные. Среди папоротников установлены представители родов Osmundopsis, Todites, Astherotheca, Mertensides, Acrocarpus, Eboracia, Lobifolia, Cladophlebis, Pecopteris, a также местные специфические роды Kchonomakidium, Katasiopteris, Boreopteris, Korvuntchania, Tungussopteris, Eleganopteris, Schvedopteris. Все перечисленные роды, кроме эндемичных, достаточно широко или ограниченно распространены в более молодых позднетриасовых и юрских флорах. Из них палеофитными считаются форм-роды Fecopteris и Sphenopteris. Род Astherotheca с карбона доживает до позднего триаса, в корвунчанской флоре играет очень незначительную роль. Самыми широко распространенными родами в корвунчанской флоре являются Cladophlebis, Todites, Kchonomakidium, Sphenopteris, Katasiopteris, реже встречаются Мегетельнось, Вогеорteris, Korvuntchania.

В корвунчанских ассоциациях довольно разнообразно представлена и группа членистостебельных: Lobatannularia, Neoannularia, Equisetites, Prynadaia, Neostachya, Trizygia, Neokoretrophyllites, Koretrophyllites, Gamophyllites, Tschernovia, Paracalamites, Arthropitys?, Phyllotheca, Schizoneura. Пять первых родов известны только в мезозойских, в основном в позднетриасовых, флорах, два последних встречаются в позднем палеозое и реже в мезозое. Остальные являются представителями поэднепалеозойской флоры Ангариды. Но роль палеозойских элементов в этой группе, видимо, завершена. С вегетативными побегами, морфологически близкими к палеозойским таксонам, часто ассоциируют несвойственные им репродуктивные органы. Поэтому по крайней мере часть таких остатков принадлежит эндемичным родам (материал находится в процессе обработки). В результате ревизии некоторые Neokoretrophyllites и Annularia? переведены в Neoannularia - род, установленный в верхнем триасе Китая.

В составе корвунчанских птеридоспермов, принадлежащих преимущественно семейству Peltaspermaceae, нет таксонов, встречающихся в верхнепермских отложениях Ангариды, если не считать двух отпечатков Comia и Protoblechnum. Но по всему разрезу вулканогенной толщи встречаются Tersiella (возможно, эпидермально не охарактеризованные листья Tatarina). Род Tatarina является основной доминантой татариновой флоры Русской платформы, но такого типа листья (Paratatarina) известны и в верхнем триасе. В корвунчанской флоре этот род имеет очень ограниченное, подчиненное распространение, хотя иногда образует моновидовые захоронения. Lepidopteris. Madygenia, Scytophyllum являются, как упоминалось выше, обычными ксылонентами кейперских флор, Западной Европе появляется в цехштейне. Возможно, хотя Lepidopteris в к пельтаспермовым птеридоспермам относятся также остатки, описанные мной как гинкговые Glossophyllum claviforme. Sphenobaiera vittaefolia, 1986/. S. porrecta /Гоманьков, Мейен, Растения с подобными листьями известны как в татариновой, так и в позднетриасовой флорах.

Цикадофиты в корвунчанской флоре немногочисленны, представлены родами Taeniopteris, Yavorskyia, встречающимися в позднепермской флоре, а также Parajacutiella и Ctenopteris, известными из позднего триаса и юры. Кроме того, в вулканогенной толще найдена Williamsoniella — типично мезозойский род.

Если упоминавшиеся выше Glossophyllum и Sphenobaiera действительно являются птеридоспермами, значит корвунчанские гинкгофиты представлены в основном родом Rhipidopsis, общим с позднепермской флорой. Кроме того, встречаются единичные остатки, которые можно отнести к Ginnkgo? и Sphenobaiera.

Хвойные отсутствуют в поздней перми Средней Сибири, а в вулканоген-

ной толще (в двурогинском и путоранском горизонтах) они являются одной из доминирующих групп. Хотя корвунчанские хвойные пока еще слабо изучены. в их составе более или менее достоверно установлено присутствие родов Voltzia, Quadrocladus, Elatocladus, Lutuginia, Pityocladus, Yuccites и репродуктивных органов Darneya и Willsiostrobus. Из них род Quadизредка встречается в верхней перми Западной Европы и являrocladus ется одной из доминант татариновой флоры Русской платформы /Гоманъков, Мейен, 1986/. Следует отметить, что, описывая сибирские квадрокладусы, С.В. Мейен /Меуеп, 1981/ отметил в строении их эпидермы существенные, возможно на родовом уровне, отличия от пермских представителей. Большой интерес представляют находки стробилов хвойных Darneya и Willsiподтверждающих присутствие в корвунчанской флоре вегетативostrobus. и Yuccites /Могучева, Добрускина, 1986/. Эти ных побегов Voltzia хвойные широко распространены в пестром песчанике Западной Европы, особенно в вольтциевом песчанике Bores. Elatocladus и Pityocladus являются представителями мезозойских флор, Lutuginia - эндемичный род, установленный в мальцевской свите Кузбасса.

Изредка в вулканогенной толще встречаются остатки мхов Hepaticites и лепидофитов Tomiostrobus, Takhtajanodoxa, Lycopodites, несколько чаще водорослей Korsakia. Очень важное значение имеют находки остатков Tomiostrobus Они сближают корвунчанскую флору с лепидофитовой флорой Верхоянья, Таймыра и Вилюйской синеклизы.

Приведенный анализ показывает, что корвунчанская и мальцевская флоры имеют весьма своеобразный состав. В них наблюдается сочетание эндемичных, транзитных (верхний палеозой - юра), палеозойских, специфических триасовь х и мезовойских родов, причем мезовойские типы растений преобладают над палеоэойскими. Эту особенность подчеркивал еще В.Д. Принада /1970/, сделавший заключение о ее вероятном раннетриасовом возрасте. Палеозойские элементы имеют в этих флорах подчиненное значение и могут рассматриваться как доживающие реликты в сообществе молодых типов растений, многие из которых достигли расцвета в позднем триасе и юре. Среди палеозойских форм присутствуют и представители ангарской и татариновой флор, хотя считается, что подобная "... резкая смена флористических комплексов может ни о чем не свидетельствовать" /Гоманьков, Мейен, 1986, с. 158/. Мне думается, что при определении возраста корвунчанской (включая мальцевскую) флоры нельзя не учитывать появления большого количества молодых типично мезозойских элементов, не известных в позднепермских мезофитных флорах. Пля доказательства дотриасового возраста корвунчанской флоры (но не мальцевской) используется наличие в ней единичных общих элементов с татариновой флорой Русской платформы /Садовников, 1981; Гоманьков, Мейен, 1986/, но не отмечается, что различия этих флор, сильно проявляющиеся и в миоспоровых комплексах, значительно глубже и серьезнее элементов их сходства /Добрускина, Могучева, 1987/. Кстати, татариновая флора, как уже отмечалось выше, содержит общие не только роды, но и виды с ангарской позднепермской флорой. Кроме татариновой, корвунчанская и мальцевская флоры имеют общие элементы и с флорой пестрого песчаника, и со сцитофиловой флорой, и, что самое важное, содержат общие виды и роды с лепидофитовой флорой Восточного Таймыра, Верхоянья и Вилюйской синеклизы. Это последнее обстоятельство имеет чрезвычайно важное значение для межрегиональных корреляций разнофациальных отложений и для обоснования возраста корвунчанской и мальцевской флор.

На Восточном Таймыре верхние горизонты верхней перми охарактеризованы флористическим комплексом грамотеинско-тайлуганского типа /Садовни-ков, 1981/. Залегающая на ней кешинская свита содержит комплекс, в кото-

ром резко преобладают лепидофиты Tomiostrobus, много птеридоспермов Lepidopteris, реже встречаются Pleuromeia и корвунчанские виды растений
/Могучева, 1986/. Присутствие в кешинской свите Pleuromeia указывает на ее раннетриасовый возраст, а сопоставление с улахан-юряхской, неджелинской и таганджинской свитами Лено-Анабарского прогиба, Верхоянья и Вилюйской синеклизы позволяет относить ее к индскому ярусу. В этих свитах
фитоценозы почти нацело состоят из Tomiostrobus, редко в них встречаются
Pleuromeia, Lepidopteris и представители корвунчанской флоры. Кроме того, в Западном Верхоянье (хр. Орулган), в индских отложениях сюрбеляхской свиты, залегающей на верхнепермских песчаниках с Коlymia, найдено местонахождение типично корвунчанских растений, комплекс которых имеет близкое сходство с тутончанским комплексом Тунгусской синеклизы и содержит общие виды с мальцевской и кешинской свитами /Могучева, 1982/.

Таким образом, получается, что в тутончанском и тараканихинско-барсучьем комплексах Тунгусского и Кузнецкого бассейнов, в кешинском, улахан-юряхском, неджелинском и таганджинском, а также сюрбеляхском комплексах Восточного Таймыра, Лено-Анабарского прогиба, Верхоянья и Вилюйской синеклизы ссдержатся общие виды и томмостробусь:. Это, несомненно, указывает на их одновозрастность, а следовательно, и на индский возраст тутончанского горизонта Тунгусского и Кузнецкого бассейнов /Могучева, 1986/.

В лепидофитовой флоре основной доминантой являются плуновидные эндемичного рода Tomiostrobus, меньшую роль играет Pleuromeia - характернейший представитель раннетриасовых флор Евразии. К числу доминант в кешинском комплексе относятся также птеридоспермы Lepidopteris. Такие группы растений, как членистостебельные, папоротники, цикадофиты и гинкгофиты имеют подчиненное значение. Они принадлежат родам Korsakia, Mesenteriophyllum, Equisetites, Neokoretrophyllites, Paracalamites, Cladophlebis, Sphenopteris, Kchonomakidium, Peltaspermum, Taeniopteris, Glossophyllum, Rhipidopsis, Sphenobaiera, Carpolithes. С позднепермской ангарской флорой лепидофитовую связывают Коrsakia, Neokoretrophyllites, Paracalamites, Cladophlobis, Sphenopteris, Taeniopteris, Rhipidopsis, Carpolithes, т.е. такие же роды, как в корвунчанской и мальцевской флорах. Лепидофитовая и хвойно-папоротниковая флоры отличаются своими доминантами, но содержат общие родовые и видовые таксоны. Сосуществование этих флор связано с резкой дифференциацией палеогеографических обстановок на территории Средней Сибири. Лепидобыли широко распространены в раннем фитовые ассоциации с Pleuromeia триасе по всей Евразии, но локализованы они в областях развития морских. прибрежно-морских и лагунных отложений /Добрускина, 1982/. Сибирская лепидофитовая флора приурочена к восточным окраинам Сибирской платформы и Таймыра, т.е. тоже к районам, представлявшим собой прибрежно-морскую равнину, периодически затопляемую морем /Дагис, Казаков, 1984/. На морских побережьях плевромейи вместе с томиостробусами, а местами и с лепидоптерисами образовывали мангровые заросли. Растения других систематических групп обитали в более или менее удаленных районах. Их остатки здесь встречаются редко и преимущественно в аллохтонных захоронениях.

Хвойно-папоротниковая флора корвунчанского типа распространена во внутриконтинентальных районах, где происходили мощные вулканические процессы и накопление вулканогенных и вулканогенно-осадочных образований. Вулканизм создавал на этой территории специфические и, видимо, благоприятные условия для произрастания богатой и разнообразной флоры корвунчанского типа.

Анализ приведенных данных позволяет константировать, что в Средней Сибири с известной долей условности установлено присутствие самых верх-

них горизонтов перми (татарский ярус) и наиболее низких горизонтов триаса (индский ярус). С границей перми и триаса совпадает резкая перестройка флористических комплексов: исчезновение кордаитов (доминантов позднепермской флоры), коренное изменение состава остальных групп растений, появление большого количества мезозойских элементов. Такая последовательность смены флористических комплексов прослеживается по всей территории Средей Сибири. Эта смена не была внезапной и катастрофической. Уже в позднепермскую эпоху наблюдаются постепенное угасание роли кордаитов, исчезновение мхов, каплиптерид, увеличение роли папоротников, членистостебельных птеридоспермов, появление растений мезофитного облика /Горелова, 1986/. Такая же закономерность отмечается и в позднепермских палинокомплексах. Вверх по разрезу угленосных отложений в них заметно убывает количество и разнообразие кордаитовых и увеличивается число и разнообразие миоспор гинкговых, саговообразных и папоротниковых, появляются формы, близкие к мезозойским /Дибнер, Любер, 1968/.

Раннетриасовая флора Сибири имеет смешанный состав, в ней наблюдается сочетание палеозойских и мезоэойских элементов при явном преобладании последних. Среди мезозойских представителей имеются таксоны, достигшие расцвета в поэднем триасе и юре. Таким образом, можно говорить о более или менее преемственном развитии флоры Сибири на рубеже перми и триаса и о совпадении границы палеофита и мезофита с границей палеозоя и мезозоя. Следовательно, в Евразии происходит скольжение границы палеофита и мезофита с запада на восток в пределах поздней перми.

СПИСОК ЛИРЕРАТУРЫ

- Андрианов В.Н. Пермские и некоторые каменно угольные аммоноидеи Северо-Востока Азии. - Новосибирск: Наука, Сиб. отд-ние, 1985. - 180 с.
- Бетехтина О.А., Могучева Н.К. К вопросу о возрасте вулканогенной толши Тунгусской синеклизы // Стратиграфия, фауна и флора триаса Сибири. М.: Наука, 1984. С. 4-8.
- Бетехтина О.А., Могучева Н.К., Батяева С.К., Кушнарев М.П. Граница перми и триаса в стратотипе мальцевской свиты Кузбасса // Биостратиграфия мезозоя Сибири и Дальнего Востока. Новосибирск: Наука. Сиб. отд-ние, 1986. С. 31—38.
- Будников И.В., Данилов В.И. Литология и палеонтологическая характеристика верхнепалеозойских отложений Западного Верхоянья // Геология и геофизика. – 1985. – № 8. – С. 3–10.
- Вахрамеев В.А. Ботанико-географическая эональность в геологическом прошлом и эволюция растительного мира // Палеозойские и мезозойские флоры Евразии и фитогеография этого времени. — М.: Наука, 1970. — С. 332—343.
- Вербицкая Н.Г., Ильюхина Н.П. Основные подразделения верхнего палеозоя Сибирской платформы // Сов. геология. 1979. № 9. С. 18—33.
- Владимирович В.П., Лебедев В.М., Попов Ю.Н. и др. Стратиграфия триасовых отложений Средней Сибири // Стратиграфия мезозоя и кайнозоя Средней Сибири. Новосибирск: Наука. Сиб. отд-ние, 1967. С. 7-30.
- Гольберт А.В., Казаков А.М., Николаев В.И., Стрижов В.П. Температурный режим триасовых морей Северо-Восточной Азии в связи с проблемой нефтегазоносности // Проблемы геологии и нефтегазоносности верхнепалеозойских и мезозойских отложений Сибири. Новосибирск, 1984. С. 87-97.

- <u>Гоманьков А.В., Мейен С.В.</u> Татариновая флора (состав и распространение в поздней перми Евразии). М.: Наука, 1986. 174 с.
- Горелова С.Г. Региональные горизонты Кузбасса основа внутрибассейновой и межрегиональной корреляции угленосных отложений Ангариды // Региональные и местные стратиграфические подразделения для крупномасштабного геологического картирования Сибири. Новосибирск, 1986. С. 79-89.
- <u>Граусман В.В., Матвеев В.Д., Мейен С.В.</u> Стратиграфия пермских отложений Вилюйской синеклизы // Изв. АН СССР. Сер. геол. 1982. № 11. С. 57-67.
- Дагис А.С., Казаков А.М. Стратиграфия, литология и цикличность триасовых отложений севера Средней Сибири. Новосибирск: Наука. Сиб. отд-ние, 1984. 177 с.
- Дибнер А.Ф., Любер А.А. Комплексы миоспор из верхнепалеоэойских отложений Сибирской платформы и их значение для стратиграфии // Палеопалинологический метод в стратиграфии. Л., 1968. С. 41–51.
- Добрускина И.А. Триасовые флоры Евразии. М.: Наука, 1982. 196 с. Добрускина И.А., Могучева Н.К. О возрасте вулканогенных отложений Тунгусской синеклизы // Геология и геофизика. - 1987. - № 1. - С. 29-36.
- Пуранте М.В., Битерман И.М. Анализ флористических данных в связи с вопросом о границе перми и триаса в Западном Верхоянье // Верхний палеозой Северо-Восточной Азии. – Владивосток, 1978. – С. 76-89.
- Криштофович А.Н. Происхождение и развитие мезозойской флоры // Избранные труды. М.; Л.: Изд-во АН СССР, 1959. Т. 1.-С. 179-199.
- Мейен С.В. Пермские флоры // Палеозойские и мезозойские флоры в Евразии и фитогеография этого времени. М.: Наука, 1970. С. 11-157.
- Могучева Н.К. Граница перми и триаса в Тунгусской синеклизе // Границы крупных подразделений фанерозоя Сибири. Новосибирск, 1982. С. 115-120.
- Могучева Н.К. Корреляция нижнетриасовых отложений Средней Сибири по флористическим данным // Региональные и местные стратиграфические подразделения для крупномасштабного геологического картирования. Новосибирск, 1986. С. 89–97.
- Могучева Н.К., Добрускина И.А. Хройные пестрого песчаника в корвунчанской флоре // Биостратиграфия мезозоя Сибири и Дальнего Востока. Новосибирск: Наука. Сиб. отд-ние, 1986. С. 72-77.
- Принада В.Д. Ископаемая флора корвунчанской свиты. М.: Наука, 1970.-80 с.
- Садовников Г.Н. Корреляция и возраст вулканогенных образований Тунгусского бассейна, Северного Прианабарья, Таймыра // Изв. АН СССР. Сер. геол. - 1981. - № 9. - С. 49-63.
- Сухов Л.Г., Голубков В.С. Принципы расчленения и корреляции древних вулканогенных образований (на примере северо-западной части Сибирской платформы) // Докл. АН СССР. - 1965. - Т. 162, № 6. -С. 1378-1381.
- Meyen S.V. Some true and alleged permotriassic conifers of Siberia and Russian Platform and their alliance // Palaeo-botanist. 1981. Vol. 28/29. P. 161-176.

О ТУТОНЧАНСКОМ ГОРИЗОНТЕ И ВУЛКАНОГЕННЫХ ПЕРМОТРИАСОВЫХ ОТЛОЖЕНИЯХ ТУНГУССКОГО БАССЕЙНА

По решению Третьего межведомственного совещания по стратиграфии мезозоя Средней Сибири /Решения..., 1981/ в вулканогенных образованиях Тунгусского бассейна, отнесенных к триасу, выделяются три региональных стратиграфических подразделения, нижним из которых является тутончанский горизонт. Принятая совещанием трактовка его состава и возраста вызывает существенные возражения.

История выделения этого стратона такова. С.В. Обручев /1929/, разделивший тунгусскую "серию" на угленосную и туфогенную части, указал на наличие переходных отложении между ними. Л.М. Шорохов /1974б/ в установленной им корвунчанской свите /Шведов, 1956/ выделял темные песчаники с аргиллитами и углями (внизу), зеленые песчаники (в средней части) и брекчиевидные породы (вверху). Стратотип корвунчанской свиты указан не был. Стратотипическим районом являлись Корвунчанское угольное месторождение (в 2 км к юго-востоку от устья р. Корвунчана) и низовья р. Корвунчана (сейчас Корбунчана). Позднее Л.М. Шорохов /1974а/ предложил выделить нижнюю угленосную часть корвунчанской свиты в учамскую свиту. Вскоре именно для этих отложений было предложено новое название - дегалинская /Радченко, Шведов, 1940; Садовников, 1974/, а название "учамская" было ощибочно отнесено к грубообломочным породам корвунчанской свиты и именно в этом смысле неправильно использовалось /Белозеров, Садовников, 1962/. Над брекчиевидными породами (по Л.М. Шорохову) располагалась еще одна толща зеленоцветных осадочных пород, один из лучших разрезов которой находился в урочище Тихое (сейчас скалы Экса близ устья р. Виви).

В ходе мелкомасштабных геологических съемок исследователи отмечали туфогенно-осадочные породы значительной мошности то в нижней, то в верхней частях вулканогенной толши. В 1947 г. Г.Х. Файнштейн /1948/ и М.М. Одинцов отметили, что в бассейне р. Чуня нижняя часть вулканогенной толши сложена туфогенно-осадочными породами, верхняя - грубыми туфами, а в бассейне р. Илимпея картина обратная. Г.Х. Файнштейн полагал, что имеет место "встречное" фациальное замещение, и объединил нижние члены разрезов в южночуньский горизонт, верхние - в лимптэконский, указав, однако, что: "... не исключена возможность, что нижний горизонт на севере погружается под толшу грубообломочных пирокластических отложений, и тогда верхняя толща на Илимпее (лимптэконская фация) может оказаться третьим верхним членом туфогенного отдела" /Файнштейн, 1948/. Отсюда следовало, что нижним членом вулканогенных образований могут оказаться южночуньские туффиты и туфогенно-осадочные породы.

Геологи Всесоюзного аэрогеологического треста уже в ходе первых среднемасштабных геологических съемок Тунгусского бассейна в 1951 г. установили трехчленное строение вулканогенной толши в низовьях р. Нижняя Тунгуска и выделили слоистые туфогенно-осадочные образования на границе угленосных и туфогенных отложений как дегалинскую свиту. В стратиграфической схеме, принятой Первым межведомственным стратиграфическим совещанием в 1956 г., записано, что дегалинская свита сложена "зеленовато-серыми туфогенными песчаниками и алевролитами с углями" /Решения..., 1959/. Вскоре было показано, что в стратотипе дегалинской свиты примесь пеплового материала в породах и тем более прослои туфов и туффитов отсутствуют

/Садовников, 1960/, а вышележащая туфогенно-осадочная толща имеет совершенно иную, чем дегадинская свита, палеонтологическую Характеристику. Эта толща в 1956 г. была выделена А.И. Емельяновой, Н.В. Дреновым и др. как нижняя подсвита корвунчанской свиты. В 1957 г. автор показал /Садовников, 1960/, что на значительной части левобережья р. Нижняя Тунгуска, в бассейне рек Учами, Корбунчана, Дегали выдерживается несколько последовательно сменяющихся толщ, две из которых, сложенные преимущественно пестрыми алевролитовыми туфогенно-осадочными породами и туфами, резко отличаются как от подстилающих отложений (серых, не содержащих пирокластического материала), так и от перекрывающих грубых ксенотуфов, залегающих с резким размывом на подстилающих породах, В 1958 г. А.П. Степанов установил вулканогенно-осадочную толщу между терригенными угленосными отложениями и вышележащими грубыми туфами и ксенотуфами в нескольких точках на р. Тутончана и собрал в ней богатые коллекции остатков растений. Все это позволило Н.В. Дренову, Н.И. Емельянову, А.И. Емельяновой, Г.Н. Садовникову, А.П. Степанову выделить эти отложения под названием тутончанской свиты. Название и стратотип (в урочище Кольцо, в среднем течении р. Тутончана) были предложены А.П. Степановым и Н.В. Дреновым. Первое описание стратотипа сделано А.П. Степановым /Белозеров, Садовников, 1962/.

Вскоре выдержанность близкой по составу и стратиграфическому положению толши на юго-востоке Тунгусского бассейна установили геологи экспедиции № 20. Они картировали ее как южночуньскую свиту, справедливо приняв название Г.Х. Файнштейна для геологического тела, которое отвечало стратотипу южночуньского горизонта. Однако полное соответствие этой толши тутончанской свите казалось столь несомненным, что вскоре это последнее название стали вопреки приоритету применять и здесь. Так сложилось представление о чрезвычайно широком распространении тутончанской свиты. Тутончанскую свиту признавали даже исследователи, отридавшие возможность выделения литостратиграфических подразделений в более высоких частях туфогенной толши. "Типноз слоя" был столь силен, что не было уделено должного внимания ни кордаитоподобным листьям в нижней части тутончанской свиты, ни существенным отличиям флористической ассоциации с р. Чуня (местонахождение Саняри) от типично тутончанских и наличию в ней молодых (нидымских) форм.

Со временем стало ясно, что тутончанская свита в таком объеме является сборной. Прежде всего было установлено, что нижняя ее часть во многих случаях охарактеризована кордантами и палеофитными папоротниками. Эта толща в центральной части Тунгусского бассейна была исключена из тутончанской свиты и стала рассматриваться как верхняя толща гагарьеостровского горизонта верхней перми /Решения..., 1981; Садовников, 1974/. Важно отметить, что именно в этой части "тутончанской свиты" были найдены А.И. Емельяновой и определены Б.П. Вьюшковым остатки дицинодонта /Вьюшков, Емельянов, 1959/. Затем было показано, что вышележащие вулканогенно-осадочные образования на юго-востоке и юго-западе бассейна существенно различаются. На юго-западе это преимущественно туфогенно-осадочные породы с хорошо выраженной горизонтальной слоистостью и алегритовые и пелитовые туффиты с часто встречающимися остатками растений, залегающие на верхней части гагарьеостровского горизонта и перекрывающиеся с размывом грубыми ксенотуфами. На юго-востоке же преобладают пепловые туфы и туффиты, нередки грубые туффиты, слоистость часто отсутствует, остатки растений весьма редки. Эти породы залегают на разных горизонтах подстилающих отложений и вверх постепенно или через переслаивание сменяются толщей туфов, лишь на отдельных участках замещающихся ксенотуфами. В

связи с этим автор в 1969 г. /Орлова, Садовников, 1974/ предложил рассматривать южночунскую (по нормам Стратиграфического кодекса название стало писаться без мягкого знака) и тутончанскую свиты как самостоятельные стратоны, однако по-прежнему считая их одновозрастными. Именно это предложение принято Третьим межведомственным стратиграфическим совещанием по мезозою Средней Сибири, котя до сих пор не является общепри-

Из хаканчанской свиты Норильского района В.П. Владимирович определяла Pecopteris iulii Radcz.. свойственные кольчугинскому надгоризонту верхней перми. Из авамской свиты Курейки Н.А. Шведов и Ю.Г. Гор из сборов Д.А. Додина определили кольчугинские кордаиты и папоротники. Однако, когда Н.К. Могучева определила из бассейна р. Горбиачин постпалеофитную ассоциацию растений в отложениях, отнесенных В.М. Лебедевым к хаканчанской свите, все эти отложения стали считать одновозрастными тутончанской свите и относить к триасу, несмотря на то, что Л.Г. Сухов и др. /Шведов, 1956/ указывали, что находка на р. Горбиачин принадлежит не хаканчанской, а надеждинской свите. Определение Pecopteris julii стали приводить со знаком aff. и на этом основании его не учитывали при решении вопроса о возрасте /Могучева, 1973/, а о находке кордантовых вообще перестали упоминать, декларируя, что они найдены не в туфогенной толше, а в блоке пермских пород среди туфов. В 1970 г. Н.К. Могучева предложила выделить в нижней части вулканогенных образований тутончанский горизонт /Могучева, 1973/. Это предложение было принято Третъим межведомственным стратиграфическим совещанием /Решения..., 1981/. В состав горизонта были включены: в Северной структурно-фациальной зоне сыверминская, хаканчанская, туклонская и надеждинская свиты, в Центральной - тутончанская свита, в Южной - южночунская свита.

Как уже было сказано, однозначная корреляция этих отложений и самое существование тутончанского горизонта встречают возражения. Они заключаются в следующем.

При геолого-съемочных и буровых работах в среднем течении р. Нижняя Тунгуска близ пос. Тура установлено, что туфогенные образования имеют пятичленное строение: три вулканогеню-осадочные толщи разделены двумя толщами грубых пирокластических пород, в нижней из которых преобладают ксенотуфы, а в верхней - туфы. А.В. Завьялов считал тутончанской свитой среднюю туфогенно-осадочную толщу, а нижнюю толщу грубых ксенотуфов выделил в аллюнскую свиту /Садовников, 1974/. В.П. Белозеров /Боручинкина и др., 1974/ и В.М. Лебедев и др. /1973/ показали, что именно аллюнские ксенотуфы отвечают учамской свите корреляционной схемы (не соответствующей учамской свите Л.М. Шорохова) и перекрывают тутончанскую свиту, а "тугончанская свита" А.В. Завьялова, названная В.П. Белозеровым эксинской толщей /Садовников, 1974/, принадлежит нижней части бугариктинской свиты. По материалам бурения /Боручинкина и др., 1974/, мощность аллюнской свиты от центра синеклизы к ее периферии резко сокращается (от 300 м в пос. Тура до 30 м в низовьях р. Таймура). Логично предположить, что еще далее к периферии она может уменьшиться до нуля, и, следовательно, эксинская толща, а не тутончанская свита будет начинать на окраине синеклизы разрез вулканогенных образований.

Почти все имеющиеся сейчас палеонтологические материалы либо не противоречат этому, либо прямо подтверждают это положение. Так, в нижнем течении р. Курейка двурогинские отложения (вероятно, более молодые, чем эксинская толща, или, в крайнем случае, соответствующие ее верхней части) отделены от авамской свиты, принадлежащей гагарьеостровскому горизонту,

лишь несколькими покровами (?) базальтов и анамезитов, которые относят к надеждинской (по Д.А. Додину к верминской) свите. На р. Кочумдек слоистая туфогенно-осалочная толша с постпалеофитной флорой, залегающая на гагарьеостровских отложениях, содержит Voltzia ?, что свидетельствует в пользу ее послетутончанского возраста. В верхнем течении р. Котуй (местонахождение Лагалдын) известна флористическая ассоциация, в которой преобладают Madygenia borealis Radcz., что также делает более вероятным ее послетутончанский возраст. В верховьях р. Мойеро (местонахождение Хойро) вулканогенно-осадочная толща в основании пирокластических образований наряду преобладающими Monopemphigus arangastachus (Nov.), частыми Polygrapta necta Nov., единичными Sphaerograpta dechaseauxae Nov. содержит многочисленные Rohdendorphium tutonchanum Nov., Bipemphigus cf. gennisi Nov., Limnadia (Falsisca) cf. secreta Nov.. сближающие эту ассоциацию с ассоциацией нижней части бугариктинской свиты и шадринской толщи аянской свиты, которые заведомо моложе тутончанской свиты.

Есть лишь один факт, который, казалось бы, противоречит сказанному, На р. Сенгачанда (бассейн р. Улахан-Вава) в отложениях, отнесенных к тутончанской свите, установлены мезофитный комплекс миоспор (первый - по Е.К. Обоницкой) и ассоциация двустворчатых моллюсков, включающая И.М. Маловецкой) Palaeanodonta biltchanica Mal., P. obrutchevi (Rag.), Abiella? elliptics (Khalf.), A. subovata (Jones). двустворок свойственна бильчанским слоям /Малоассоциация вецкая и др., 1976/, которые первоначально рассматривались, как нижняя часть тутончанской свиты. Однако затем А.А. Боручинкина и др. /1974/ по материалам с р. Кочумдек, а позднее В.М. Чалисов в верховьях р. Маймеча установили совместное нахождение этой ассоциации с гагарьеостровскими кордаитами (определенными С.В. Мейеном). С другой стороны, бильчанские виды двустворок изредка встречаются и выше по разрезу, правда, обычно в ассоциации с более молодыми формами. Таким образом, по двустворчатым моллюскам обнажение на р. Сенгачанда отнюдь не может быть однозначно отнесено к тутончанской свите. Оно может быть как более древним, гагарьеостровским, так и более молодым. Что касается палинологических данных, то ассоциация такого типа, как на р. Сенгачанда, в тутончанской свите известна всего в одной точке - на р. Нижняя Тунгуска у о. Гагарий. Зато они установлены в нескольких пунктах в дюкинской толще, залегающей над аллюнскими ксенотуфами /Боручинкина и др., 1974/. Отметим, что, строго говоря, тутончанский возраст отложений, обнажающихся у о. Гагарий, не доказан. Присутствие в них монокомпонентных ассоциаций и массовых "Parajacutiangusta Mog. скорее свидетельствует в пользу их эксинского возраста. Далее, присутствие в гагарьеостровской свите не только примеси мезофитных растений /Радченко, Шведов, 1940; Сухов и др., 1966/, но и ассоциаций, сложенных исключительно мезофитными (или, вернее, постпалеофитными) растениями /Садовников, 1981, 1987/, позволяет предположить, что в ней могут присутствовать мезофитные ассоциации миоспор. Мезофитная ассодиация миоспор установлена В.В. Гершанович и Е.К. Обоницкой из гагарьеостровских отложений в бассейне р. Ейка /Орлова, Садовников, 1974/. Правда, эта находка единственная. К тому же Е.К. Обоницкая, основываясь на случайном совпадении номеров обнажений и на мнении, что нахождение мезофитных ассоциаций миоспор в гагарьеостровских отложениях невозможно, считает, что этот образец может происходить из тутончанской свиты о. Гагарий. Но ведь и в тутончанской свите мезофитная ассоциация миоспор встречена лишь в одном местонахождении. В основном же из нее известны

палеофитные комплексы. Таким образом, и материалы по миоспорам, как и по двустворкам, дают основание говорить не о тутончанском возрасте отложений на р. Сенгачанда, а о более широком их возрастном интервале: от конца гагарьеостровского времени до эксинского.

В западной части Тунгусского бассейна в тутончанскую свиту, возможно, также включаются разновозрастные отложения. Здесь известно несколько типов флористических ассоциаций. Одни характеризуются присутствием хвойных (с густыми мелкими прижатыми листьями), условно относимых к роду Voltzia (Кочумдек). Поскольку ассоциации такого типа известны, кроме Koчумдека, только в нижней части двурогинской свиты /Могучева, 1986; Сухов и др., 1966/, можно предположить, что и здесь туфогенная толща начинается не с тутончанских, а с эксинских отложений. В южной части Тунгусского бассейна на р. Таймура установлены специфические ассоциации, в которых преобладают папоротники, морфологически напоминающие Boweria. Поскольку, как было сказано, уже в низовьях Таймуры эксинская толща распслагается недалеко от подошвы вулканогенных образований, слои с Boweria могут также принадлежать эксинской толще. Подобного типа ассоциации известны и в верховьях р. Тутончана, в частности, в бассейне р. Бильчана. Недавно появились новые данные для отнесения нижней части вулканогенных образований северо-запада Тунгусского бассейна к кольчугинскому надгоризонту /Садовников, 1986; Сухов и др., 1966/. Следовательно, и на северозападе бассейна "тутончанский горизонт" в объеме, принятом Третьим межведомственным стратиграфическим совещанием, является сборным.

Совершенно необходимо исключить из "тутончанского горизонта" отложения, определенно принадлежащие кольчугинскому надгоризонту. Но и тогда он будет включать две туфогенно-осадочные толши, разделенные в центральной структурно-фациальной зоне аллюнскими ксенотуфами. Флористических различий между этими толщами Н.К. Могучева вообще не видит, а автор считает их небольшими, проявляющимися далеко не всегда и недостаточными для выделения двух горизонтов. Считается, что в стратотипе тутончанские отложения перекрываются с резким размывом грубыми ксенотуфами /Белозеров, Садовников, 1962/. Если это так, то это, по-видимому, аллюнские ксенотуфы, так как занимающие более высокое стратиграфическое положение нижнедвурогинская подсвита, холокитская толща и чичиканская свита преимущественно туфовые, содержат мало или совсем не содержат ксенотуфов и не отделяются от подстилающих отложений размывом, а часто связаны с ними отчетливым постепенным переходом. Но вместе с тем нужно отметить, что из урочища Кольцо Н.К. Могучева указывает Madygenia, которая в толще, подстилающей аллюнские ксенотуфы, в других точках не отмечалась, зато распространена в толще, перекрывающей аллюнские ксенотуфы, и в нижней части двурогинской свиты и ее аналогах. Таким образом, нельзя считать вполне однозначно установленным, соответствует ли стратотип тутончанской свиты надаллюнской или подаллюнской толще туфогенно-осадочных пород. Но, если в правильности применения названия "тутончанская" именно к нижней толще можно сомневаться, то для распространения его на подразделение, включающее обе туфогенно-осадочные толщи и разделяющие их грубые ксенотуфы, нет уж совершенно никаких оснований, тем более что именно для биостратиграфического подразделения такого объема было предложено название "корвунчанский горизонт", имеющее приоритет /Маловецкая и др., 1976/.

Отметим еще, что ранее автор неоднократно указывал, что нижняя часть двурогинского горизонта мало отличается от тутончанского /Сухов и др., 1966/, что, действительно, справедливо в применении к двурогинскому горизонту в объеме, принятом Третьим межведомственным стратиграфическим совещанием /Решения..., 1959/. Однако в стратотипическом районе двуро-

2 3ak. 530

гинской свиты флористические ассоциации ее нижней части состоят преимущественно из Voltzia? или Madygenia, что не характерно для корвунчанского горизонта. Такого типа ассоциации встречаются в других районах Тунгусского бассейна крайне редко. Собственно, она известна только в одном местонахождении на правом берегу р. Нижняя Тунгуска между устьями рек Большая и Малая Семенова. Монодоминантные ассоциации с Viltzia? известны (по Н.К. Могучевой) в бассейне р. Силаткина, а с Madygenia—на р. Котуй (местонахождение Дагалдын). Вероятно, со временем после получения дополнительных материалов эти отложения можно будет выделить в самостоятельное стратиграфическое подразделение.

Таким образом, к "тутончанскому горизонту" в стратиграфической схеме триасовых отложений Сибирской платформы отнесены разновозрастные отложения. Это, во-первых, туфогенно-осадочные образования с остатками кордаитов и палеофитных папоротников и бильчанским комплексом двустворчатых моллюсков. Во-вторых, это слоистые туфогенно-осадочные образования, подстилающие аллюнские ксенотуфы, содержащие постпалеофитный флористический комплекс, известные достоверно лишь в центральной части бассейна и относяшиеся здесь к тутончанской свите. В-третьих, это туфогенно-осадочные образования, которые в центральной части бассейна перекрывают аллюнские ксенотуфы, а по периферии залегают на более древних отложениях и потому также оши бочно относи лись к тутончанской свите: частично (слои с Boweria) или полностью "тутончанская свита" рек Тутончана и Кочумдек, южночунская свита южной структурно-фациальной зоны; сюда же относится преимущественно базальтовая надеждинская свита. Толща с кордантами и палеофитными папоротниками определеню принадлежит гагарьеостровскому горизонту и должна быть включена в него. Остальные же отложения различаются по биостратиграфическим критериям не всегда и достаточно слабо и должны рассматриваться в составе единого горизонта, который, однако, с учетом его объема и принципа приоритета должен называться не тутончанским, а корвунчанским. Название "тутончанский" (вероятно, в ранге слоев) можно с долей условности применить к нижней части горизонта, если не будет однозначно установлено соответствие стратотипа тутончанской свиты верхней половине горизонта. Для верхней части горизонта (в ранге слоев) следует применять название "эксинский".

СПИСОК ЛИТЕРАТУРЫ

- Белозеров В.П., Садовников Г.Н. Стратиграфия корвунчанской серии в бассейне нижнего течения р. Нижней Тунгуски // Тр. Всесоюз. аэрогеол. треста. – 1962. – Вып. 8. – С. 24–42.
- Боручинкина А.А., Кичкина С.С., Григорьев В.В. Стратиграфия вулканогенных отложений центральной части Тунгусской синеклизы // Тр. Том. гос. ун-та. Томск: ТГУ, 1974. Т. 232. С. 74-79.
- Выюшков Б.П., Емельянова А.И. Первая находка ископаемых рептилий в Тунгусском бассейне // Изв. АН СССР. Сер. геол. - 1959. - № 1. -С. 111-113.
- <u>Галушко Я.А., Петров В.П., Скундин В.С.</u> О стратификации вулканогенной толши Тунгусской синеклизы // Проблемы геологии нефти. М.: Недра, 1971. Вып. 2. С. 175-193.
- Лебедев В.М., Могучева Н.К., Старосельцев В.С. и др. К вопросу о маркирующих покровах в триасовых образованиях Тунгусской синеклизы // Тр. СНИИТТиМС. - 1973. - Вып. 167. - С. 25-28.

- Маловецкая И.М., Новожилов Н.И., Садовников Г.Н. Этапы развития флоры и пресноводной фауны Тунгусского бассейна в поздней перми и раннем триасе // Тр. XIII и XIV сессий Всесоюз, палеонт. общества. Л.: Наука. Ленингр. отд-ние, 1976. С. 296-302.
- Могучева Н.К. Раннетриасовая флора Тунгусского бассейна. Новосибирск: СНИИТТИМС, 1973. — Вып. 154. — 160 с.
- Могучева Н.К. Палеоэкологическая реконструкция корвунчанской флоры Тунгусской синеклизы // Палеоэкологический и литолого-фациальный анализы для обоснования детальных региональных стратиграфических схем. — Новосибирск, 1986. — С. 138-149.
- Обручев С.В. Итоги работ 1917-1924 гг. в Тунгусском угленосном бассейне // Бюл. МОИП. Отд. геол. - 1929. - Т. 7, № 1/2. - С. 20-47.
- Орлова Э.Ф., Садовников Г.Н. Стратиграфия верхнепермских и триасовых отложений юго-восточной части Тунгусской синеклизы // Изв. АН СССР. Сер. геол. - 1974. - № 4. - С. 125-133.
- Радченко Г.П., Шведов Н.А. Верхнепалеозойская флора угленосных отложений западной части бассейна реки Нижней Тунгуски. Л., 1940. Т. 157.–140 с.
- Решения Межведомственного совещания по разработке унифицированных стратиграфических схем Сибири. - М.: Гостоптехиздат, 1959. - 91 с.
- Решения Третьего межведомственного регионального стратиграфического совещения по мезозою и кайнозою Средней Сибири. Новосибирск, 1978 г. Новосибирск, 1981. 91 с.
- Садовников Г.Н. О границе угленосных и туфогенных отложений тунгусского комплекса в нижнем течении р. Нижней Тунгуски // Изв. вузов. Геол. и разв. 1960. № 8. С. 16–20.
- Садовников Г.Н. Пермская мезофитная флора Тунгусского бассейна и ее соотношения с близкими по возрасту флорами // Тез. докл. расширенного пленума постоянной комиссии МСК по пермской системе. Казань: Изд-во Казан. ун-та, 1973. С. 80-81.
- Садовников Г.Н. К истории изучения стратиграфии тунгусского комплекса // Тр. Том. гос. ун-та. 1974. Т. 232. С. 49-61.
- Садовников Г.Н. Корреляция и возраст вулканогенных образований Тунгусского бассейна, Северного Прианабарья и Таймыра // Изв. АН СССР. Сер. геол. – 1981. – № 9. – С. 49–63.
- Садовников Г.Н. Смена флоры и фауны Внутренней Ангариды на границе перми и триаса // Важнейшие биотические события в истории Земли: Тез. докл. XXXII сессии Всесоюз. палеонтол. об-ва. Таллинн, 1986. С. 61-62.
- Садовников Г.Н. К стратиграфии пермотриасовых отложений Тунгусского бассейна // Сов. геология. - 1987. - № 2. - С. 84-89.
- Сухов Л.Г., Беспалая Е.А., Додин Д.А. Биостратиграфия вулканогенных образований западной части Тунгусской синеклизы // Докл. АН СССР. 1966. Т. 169, № 6. С. 1402—1405.
- <u>Файнштейн Г.Х.</u> Основные черты геологического строения восточной части Тунгусского бассейна // Материалы по геологии и полезным ископаемым Восточной Сибири. — Иркутск, 1948. — Вып. 22.
- Шведов Н.А. Корвунчанская свита // Стратиграфический словарь СССР. М.: Госгеолтехиздат, 1956. С. 483-484.
- Шорохов Л.М. Предварительный отчет о работе стратиграфического отряда Нижне-Тунгусской геологической экспедиции ВАИ летом 1937 г. // Тр. Том. гос. ун-та. - 1974а. - Т. 232. - С. 20-24.
- Шорохов Л.М. Новые данные по стратиграфии ангарской серии р. Нижней Тунгуски // Тр. Том. гос. ун-та. − 1974б. − Т. 232. − С. 25-40.

ПАЛЕОБОТАНИЧЕСКОЕ ОБОСНОВАНИЕ КОРРЕЛЯЦИИ ВЕРХНЕПАЛЕОЗОЙСКИХ ОТЛОЖЕНИЙ ВИЛЮЙСКОЙ СИНЕКЛИЗЫ И ЗАПАДНОГО ВЕРХОЯНЬЯ

Верхнепалеоэойские отложения в пределах Вилюйской синеклизы представлены главным образом континентальными и прибрежно-континентальными нередко угленосными терригенными толщами. Ограниченное количество скважин, вскрывших эти отложения, и низкий выход керна позволяют расчленить их лишь на толщи с неясным характером границ и латеральных взаимопереходов.

Между тем целенаправленные нефтегазопоисковые работы в этом регионе требуют надежной корреляции выделенных толщ в пределах синеклизы и сопоставления их с хорошо обнаженными одновозрастными отложениями Западного Верхоянья. Эта задача не может быть успешно решена без детального изучения комплексов флоры, характеризующих данные отложения.

В основу статьи положены результаты изучения большой коллекции позднепалеозойских растительных остатков, собранной авторами в 1976-1987 гг. на Вилюйской синеклизе и в Западном Верхояные /Сухов и др., 1981; Будни-ков, Данилов, 1985/ (рис. 1). Значительную часть ее занимают остатки се-

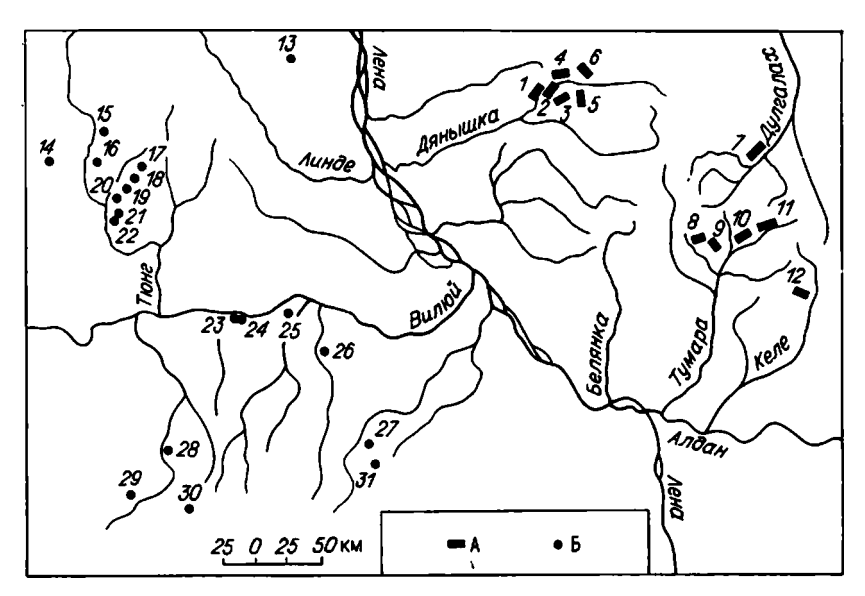


Рис. 1. Схема района работ. А — береговые разрезы; Б — скважины. 1—12 — береговые разрезы: 1 — руч. Дальний, 2 — р. Дянышка, 3 — руч. Келлен—Хатахчаан; 4 — руч. Мутный, 5 — руч. Малиновый, 6 — руч. Хмурый, 7 — р. Дулгалах, 8 — руч. Водопадный, 9 — р. Балбук, 10 — р. Аллара—Хадарынъя, 11 — р. Деленджа, 12 — р. Келе; 13—31 — скважины: 13 — Северолинденская—2, 14 — Тюкян—Тюнгская—1п, 15 — Хоргочумская—283, 16 — Северотюнгская—2220, 17 — Улахан—Тюертская—2410, 18 — Среднетюнгская—242, 19 — Среднетюнгская—239, 20 — Среднетюнгская—222, 21 — Тысакытская—320, 22 — Тысакытская—321, 23 — Средневилюйская—22, 24 — Средневилюйская—27, 25 — Толонская—11, 26 — Мастахская—20, 27 — Байская—1, 28 — Чыбыдинская—465, 29 — Кэдэнчикская—1, 30 — Кумахская—483, 31 — Андреевская—2.

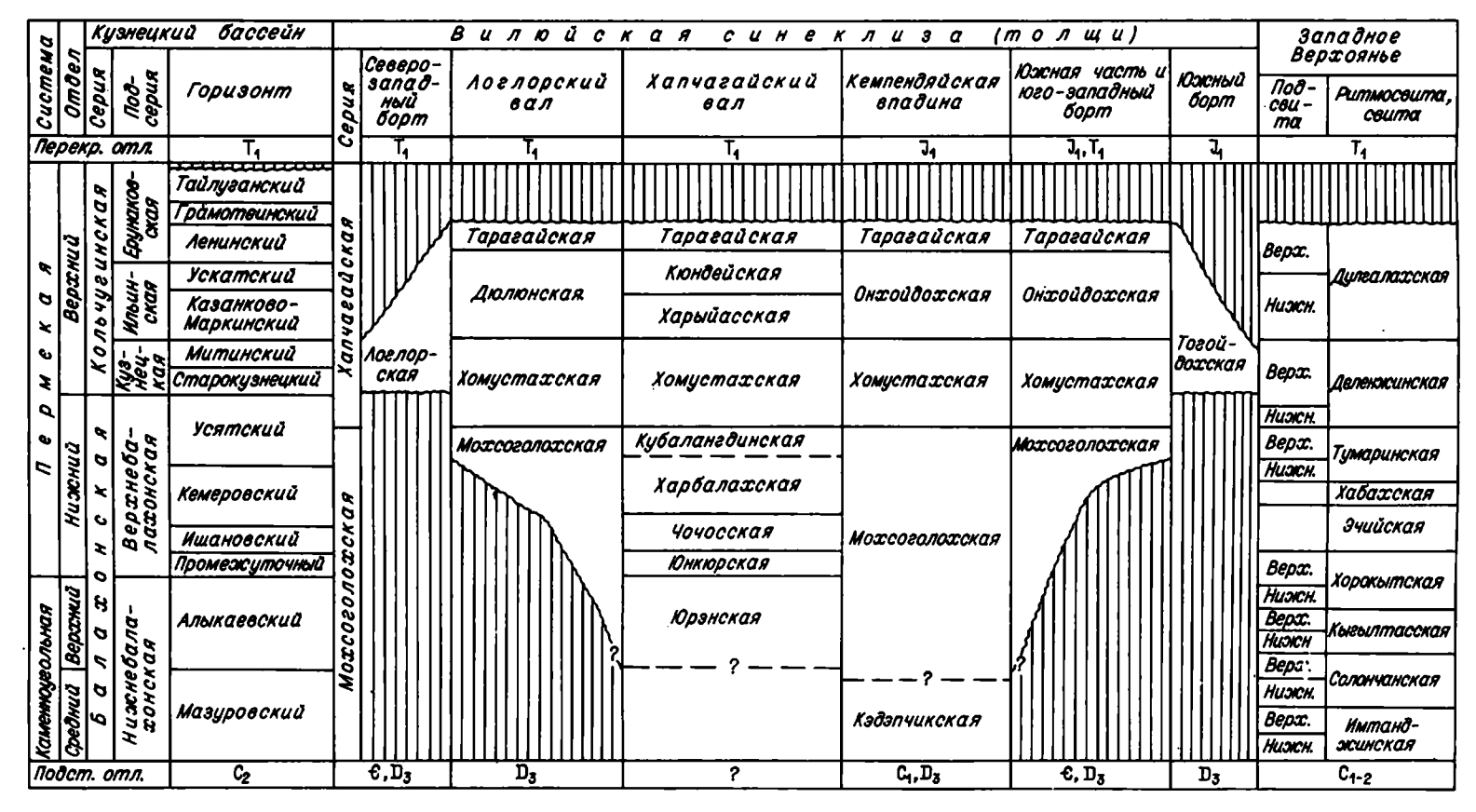


Рис. 2. Схема сопоставления верхнепалеозойских отложений Вилюйской синеклизы и Западного Верхоянья.

мян, которые в предшествующих фитостратиграфических исследованиях этих районов мало использовались / Толстых, 1974; Дуранте, Израилев, 1977; Голубева и др., 1980; Граусман и др., 1982; и др./.

Сопоставление выделенных комплексов флоры проведено относительно эталонного опорного разреза Кузбасса для континентального разреза верхнето палеозоя Сибири /Горелова и др., 1973; Данилов и др., 1978; и др./. При этом за основу взяты стратиграфические схемы по Вилюйской синеклизе – В.В. Граусман, В.Д. Матвеева, С.В. Мейена /1982/ с дополнениями, используемыми в ПГО "Ленанефтегаэтеология" для расчленения сверхглубокой Средневилюйской скв. 27; по Западному Верхоянью – схема Верхоянской серии листов геологических карт среднего масштаба /Андрианов, 1966; и др./ (рис. 2).

Верхнепалеозойские отложения Западного Верхоянья и, в частности, разрезы западного склона Верхоянского хребта, представлены прибрежно-континентальными и прибрежно-морскими отложениями, расчлененными на семь ритмосвит / Андрианов, 1966/. Каждая из них делится на две подсвиты. Нижние сложены преимущественно тонкозернистыми морскими и прибрежно-морскими породами, а верхние – прибрежно-континентальными песчаными и алевритоглинистыми, содержащими отпечатки макрофлоры.

В процессе проведения съемки верхнеэчийская подсвита выделена в самостоятельную хабахскую свиту, а переходные слои между эчийской и кыгылтасской — в хорокытскую, что нашло отражение в использованной в статье стратиграфической схеме этого района.

КАМЕННОУГОЛЬНАЯ СИСТЕМА

Средний и верхний отделы

Имтанджинская свита изучена на руч. Хмурый (бассейн среднего течения р. Дянышка) и в среднем течении р. Келе. В верхней ее части обнаружены Martjanowskia angarica Radcz., Phyllotheca sp., Angaropteridium cardiopteroides (Schmalh.) Zal., Samaropsis (?) jurabaensis Rassk., S. cf. pauxilla Zal., S. (?) severnaensis Such., S. (?) angarica Rassk., Angarocarpus cf. ananievii Such., Cordaicarpus kovbassinae Such., Holcospermum (?) tchelchetensis Such. Большинство форм известны из мазуровского – алыкаевского горизонтов Кузбасса и их аналогов в Тунгусском бассейне.

Солончанская свита изучена на руч. Хмурый. В верхней ее части найдены семена Samaropsis pauxilla Zal. Из отложений этой свиты на р. Деленджа (бассейн р. Тумары) в 1976 г. С.А. Степановым были собраны, а С.В. Суховым и нами определены Phyllotheca tomiensis Radcz., Paracalamites crassus Gorel., Angaridium finale Neub., Rufloria theodorii (Tschirk. et Zal.) S. Meyen, R. subangusta (Zal.) S. Meyen, Samaropsis tscheremitchkiensis Such., S. aff. pauxilla Zal., S. cf. auriculata Neub., Cardiocarpus krapivinoensis Such. Эти виды характерны для мазуровского – алыкаевского горизонтов Кузбасса и их аналогов в других районах Ангариды.

Кыгылтасская свита изучена на руч. Хмурый и в среднем течении р. Деленджа. Растительные остатки, найденные в ее верхней половине, представлены Neuropteris djavolskiensis Such., Angaropteridium cardiopteroides (Schmalh.) Zal., Angaridium finale Neub., Evenkiella zamiopteroidea Radcz., E. cf. schortonotensis Gorel., Rufloria theadorii (Tschirk. et Zal.) S. Meyen, R. subangusta

(Zal.) S. Meyen, R. tschirkovae (Zal.) S. Meyen, Samaropsis auriculata Neub., S. euryptera Such., S. pauxilla Zall., Cardiocarpus cf. krapivinoensis Such., Cordaicarpus kovbassinae Such. Некоторые из этих видов встречаются в комплексах мазуровского – промежуточного горизонтов Кузбасса. Большинство же характерно только для алыкаевского, что дает нам основание сопоставить кыгылгасскую свиту с этим горизонтом.

ПЕРМСКАЯ СИСТЕМА

Нижний отдел

Хорокытская свита изучена на ручьях Хмурый, Мутный, Малиновый и Келлен-Хатахчаан (бассейн среднего течения р. Дянышка). В верхней ее части, на руч. Мутный, определен растительный комплекс, представленный Angaropteridium cardiopteroides (Schmalh.) Zal., Ginkgo-phyllum cf. vsevolodii Zal., G. primaevus Rassk., Evenkiella zamiopteroidea Radcz., E. cf. schortonotensis Gerel., Rufloria theodorii (Tschirk. et Zal.) S. Meyen, R. subangusta (Zal.) S. Meyen, R. tschirkovae (Zal.) S. Meyen, Samaropsis auriculata Neub., S. pauxilla Zal., Majsassia cf. elliptica Such. В составе этого комплекса имеются виды, характерные как для алыкаевского, так и для промежуточного горизонтов Кузбасса.

Эчийская свита палеоботанически не охарактеризована, так как представлена исключительно морскими отложениями.

Хабахская свита изучена в разрезах по р. Аллара-Хадарынья (бассейн р. Тумара) и ручьям Мутный и Малиновый. Из нее нами собраны Растасаlamites cf. vicinalis Radcz., Cordaites singularis (Neub.) S. Meyen, Rufloria cf. derzavinii (Neub.) S. Meyen, Crassinervia kuznetskiana (Chachl.) Neub., Samaropsis neuburgii f. bungurica Such., S. khalfinii Such., Sylvella cf. alata Zal., Skokia elongata (Taras.) Such. Виды в таком сочетании характерны для кемеровского - усятского горизонтов Кузбасса и бургуклинского горизонта Тунгусского бассейна.

Тумаринская свита изучена на ручьях Малиновый, Мутный, Келлен-Хатахчаан, реках Аллара-Хадарынья и Дулгалах. Растительные остатки. обнаруженные в ее верхней подсвите, представлены Uskatia conferta Neub., Paracalamites vicinalis Radcz., P. crassus Gorel, Sphenopteris tunguscana (Schmalh.) Zal., Cordaites latifolius (Neub.) S. Meyen, C. (?) magnus (Schved.) S. Meyen, C. singularis (Neub.) S. Meyen, Rufloria theodorii (Tschirk. et Zal.) S. Meyen, R. derzavinii (Neub.) S. Meyen, Crassinervia tunguscana Schved., Cr. primitiva Radcz., Cr. prokopiviensis (Chachl.) Radcz., Cr. gorlovskiana Such., Vojnovskia paradoxa Ne-ub., Nephropsis integerrima (Schmalh.) Neub., N. cochlearis Neub., Samaropsis cf. skokii Neub., S. danilovii Such., S. stricta Neub., S. cf. prokopievskiensis Such., S. elegans Neub., S. khalfinii Such., S. tumarensis Such., S. convexa Such., S. aff. pusilla Neub., S. intaensis Such., Cordaicarpus nanus Such., C. nasutus Such., Skokia elongata (Taras.) Such., Sylvella alata Zal., Carpolithus budnikovii Such., Cardiolepis verchojanica Such. В целом флористический комплекс тумаринской свиты может быть сопоставлен с комплексами кемеровского и усятского горизонтов Кузбасса и их аналогов.

Деленжинская свита изучена по рекам Деленджа, Балбук, Дянышка и ручьям Келлен-Хатахчаан и Малиновый (среднее течение р. Дянышка). Растительными остатками охарактеризована только верхнеделенжинская подсвита.

В верхней ее части найдены Uskatia conferta Neub., Petcheria sp., Cordaites clercii Zal., Crassinervia peltiformia Gorel., Lepeophyllum actaeonelloides (Geinitz.) Zal., Tungussocarpus elongatus (Such.) Such., T. budnikovii Such., Sylvella alata Zal., S. cf. serotina Neub., Carpolithus tipturensis Such. Все виды за исключением Tungussocarpus budnikovii Such. и Sylvella alata Zal., известных и в ранней перми, распространены в горизонтах кузнецкой и ильинской подсерий Кузбасса.

Из нижней половины подсвиты определены Zamiopteris glossopteroides Schmalh., Crassinervia primitiva Radcz., Samaropsis khalfirii Such., S. danilovii Such., S. stricta Neub., S. ampuliformis Neub., S. elegans Neub., Skokia elongata (Taras.) Such., Tungussocarpus subtychtensis Such., встречающиеся в кемеровском — усятском горизонтах Кузбасса и их аналогах в других районах Ангариды.

Выявленные комплексы растительных остатков указывают на возрастную неоднозначность вмещающих их отложений, что несколько меняет принятую возрастную датировку этой свиты /Решения..., 1982/.

Дулгалахская свита изучена в бассейне р. Тумара (р. Балбук и руч. Водопадный), в среднем течении р. Дянышка (ручьи Дальний и Келлен-Хатахчан) и р. Деленджа. Палеоботанически охарактеризована верхняя ее подсвита, откуда определены Cordaites gracilentus (Gorel.) S. Meyen, C. gorelovae S. Meyen, Rufloria brevifolia (Gorel.) S. Meyen, R. olzerassica (Gorel.) S. Meyen, R. cf. mitinaensis (Gorel.) S. Meyen, R. minima (Such.) S. Meyen, Crassinervia nervosa Gorel., Lepeophyllum actaeonelloides (Geinitz.) Zal., L. actaeonelloides f. microphyllum Such., L. kostomanovii Gorel., Nephropsis tomiensis Zal., Samaropsis erunakovensis Radcz., Cordaicarpus petrikensis Such., Tungussocarpus tychtensis (Zal.) Such. В таком составе растительный комплекс характерен для казанковомаркинского – ленинского горизонтов Кузбасса.

На Вилюйской синеклизе более полные разрезы верхнего палеозоя вскрыты глубокими скважинами в пределах центральной ее части (Хапчагайский вал) и находятся на расстоянии ЗОО км от ближайшего изученного естественного берегового разреза Западного Верхоянья (см. рис. 1). Они имеют примерно ту же мощность, что и разрезы западного склона Верхоянского хребта. При значительной литолого-фациальной изменчивости характеризуемых отложений и слабой их изученности проследить ритмосвиты Западного Верхоянья в разрезах Вилюйской синеклизы не удается. Вместе с тем более крупные трансгрессивно-регрессивные этапы, отвечающие примерно отделам систем, находят отражение в разрезах обоих рассматриваемых районов, отражая этапность позднепалеозойского осадконакопления в Верхоянском палеобассейне /Будников, 1984, 1986/, поскольку и те, и другие формировались в эпиконтинентальной его части.

К прибортовым зонам синеклизы верхнепалеозойские отложения резко выклиниваются. В этом направлении меняется и литофациальная их характери-

стика. Такая значительная изменчивость и слабая палеонтологическая охарактеризованность выделенных толш затрудняют их прослеживание, что выражается в выделении пяти типов разрезов в стратиграфической схеме Вилюйской синеклизы /Граусман и др., 1982/. Особый тип представляет собой разрез верхнепелеозойских отложений, вскрытый в Кемпендяйской впадине.

На данном этапе изученности относительно более полно палеоботаниче ски охарактеризована лишь верхняя часть разреза верхнего палеозоя Вилюй ской синеклизы. Данных о более древних отложениях, относимых к низам пер ми и карбону, несравненно меньше.

КАМЕННОУГОЛЬНАЯ СИСТЕМА

Средний — верхний отделы

Каменно угольные отложения в настоящее время выявлены по палеоботаническим данным в трех типах разреза Вилюйской синеклизы.

В Кемпендяйской впадине в кэдэпчикской толше (Кэдэпчикская скв. 1, инт. 1512-1860 м) из трех интервалов определены спорово-пыльцевые комплексы /Граусман, 1984/, дающие основание относить кэдэпчикскую толщу к нижнему - верхнему отделам каменноутольной системы. В самое последнее время В.В. Гершанович выделила из тех же интервалов комплексы, позволяющие, по ее мнению, отнести эту толщу к среднему - верхнему карбону.

В центральной части синеклизы на Хапчагайском валу в Средневилюйской скв. 27 в юрэнской толще (инт. 6519-6073 м) определены семена Samaropsis auriculata Neub, типичные для алыкаевского горизонта Кузбасса и его аналогов. Эти данные, с учетом положения в разрезе и большого сходства вещественного состава /Будников, 1986/, позволяют нам сопоставить юрэнскую толщу с кыгылтасской и нижней частью хорокытской ритмосвит Западного Верхоянья.

На Логлорском валу, в нижней части разреза верхнепалеозойских отложений в мохсоголохской толше найден Angaropteridium tyrganicum Zal. (Среднетюнгская скв. 239, инт. 3888-3900 м) /Граусман, 1984/, отмечаемый в острогском - алыкаевском горизонтах Кузбасса.

В Кэдэпчикской скв. 1 в низах мохсоголохской толши (инт. 1475,7-1485,2 м) нами найдены семена Holcospermum (?) tchelchetensis Such., известные из алыкаевского горизонта Кузбасса.

Вместе с тем из мохсоголохской толши в Байской скв. 1 (инт. 2834—3093 м) Е.К. Петровой /Петрова, Скрипина, 1978/ определен комплекс миоспор, характерный, по ее мнению, для ранней перми Ангариды.

В целом эти немногочисленные данные, с учетом положения мохсоголохской толши в разрезе, позволяют рассматривать почти всю ее возрастным аналогом балахонской серии Кузбасса (см. рис. 2). Нижняя граница
этой толши в большинстве изученных разрезов резкая. На Логлорском валу
она с размывом ложится на вулканогенно-карбонатно-терригенные отложения
девона — нижнего карбона. В южной части и юго-западном борту мохсоголохская толша с размывом залегает на девоне /Чыбыдинская скв. 465) и кембрии (Байская скв. 1). И только в Кэдэпчикской скв. 1 она с неясной границей согласно залегает на кэдэпчикской толще.

В центральной части Вилюйской синеклизы возрастным аналогом мохсо-голохской толши являются более чем 2000-метровый разрез верхнего палео-зоя, вскрытый сверхглубокой Средневилюйской скв. 27 (СВ-27), и еще какая-то часть каменно угольных отложений, залегающая ниже забоя этой сква-

жины (см. рис. 2). Эти мощные отложения разделены на юрэнскую, юнкюрскую, чочосскую, харбалахскую, кубалангдинскую толши.

ПЕРМСКАЯ СИСТЕМА

Нижний отдел

Юнкюрская толща (инт. 6073-5663 м., скв. СВ-27) палеоботанически не охарактеризована.

Чочосская толша (инт. 5663-5143 м, скв. СВ-27). С.В. Мейеном определены из нее Phyllopitys typ. heeri (Schmalh.) Zal., Phyllotheca ex gr. deliquescens (Goepp.) Schmalh. (инт. 5148-5153 м), Cordaites singularis (Neub.) S. Meyen, Rufloria derzavinii (Neub.) S. Meyen, R. meyenii Gluch., Nephropsis rhomboidea Neub. (инт. 5208-5214 м). Данный комплекс флоры характерен для ишановского - кемеровского горизонтов Кузбасса. В Западном Верхояные этот уровень флорой не охарактеризован, так как представлен морскими отложениями эчийской свиты.

Анализируя эти данные, с определенной долей условности можно предположить, что по положению в разрезе юнкюрская толща является возрастным аналогом промежуточного горизонта Кузбасса. В разрезах Западного Верхонянья ей соответствует верхняя часть хорокытской ритмосвиты (см. рис. 2).

Харбалахская толща (инт. 5143-4695 м, скв. СВ-27). В ней нами найдены Gordaites ex gr. singularis (Neub.) S. Meyen (инт. 5092-5100 м) и Crassinervia cf. tunguscana Schved. (инт. 5002-5012 м), известные в ранней перми Кузбасса.

Кубалангдинская толща (инт. 4695—4305 м, скв. СВ-27). С.В. Мейеном в интервале глубин 4361—4371 м определены Paracalamites sp., Cordaites singularis (Neub.) S. Meyen, Rufloria rasskazovae S. Meyen, R. ex gr. derzavinii (Neub.) S. Meyen, позволяющие считать эту толщу возрастным аналогом кемеровского – усятского горизонтов Кузбасса. В разрезах Западного Верхоянья уровню харбалахской и кубалангдинской толщ соответствуют хабахская и тумаринская свиты, на что указывает сходство их флористических комплексов.

Верхний отдел

Хомустахская толща прослежена в четырех типах разреза (см. рис. 2) и палеоботанически охарактеризована в Средневилюйской скв. 27, Среднетюнгских скв. 239 и 242 (СТ-239, СТ-242), Чыбыдинской скв. 465 (Ч-465) и Северотюнской скв. 2220 (Сев. Т-2220).

Анализ местонахождений обнаруженных растительных остатков позволил обособить комплексы флоры ее верхней и нижней половин, что несколько меняет проводимое ранее ее сопоставление с кузнецкой подсерией Кузбасса /Граусман и др., 1982/.

Из нижней половины хомустахской толици определены Samaropsis ampuliformis Neub. (СТ-242, гл. 3749 м), S. danilovii Such. (Сев. Т-2220, гл. 3372,5 и 3374,5 м), S. elegans Neub. (СТ-242, гл. 3749 м), S. stricta Neub. (СТ-242, гл. 3747,4 и 3753,7 м), Tungussocarpus cf. budnikovii Such. (СТ-242, гл. 3740 м), T. subtychtensis Such. (СТ-242, гл. 3749,0 и 3775 м), Skokia elongata (Тагаs.) Such. (Сев. Т-2220, гл. 3374,5 м и СТ-242, гл. 3734,6 м), Sylvella alata Zal. (Ч-465, гл. 3214 м). В целом этот комплекс характерен для усятского горизонта Кузбасса и его аналогов

в других районах Ангариды, котя такие формы, как Skokia elongata (Tarras.) Such. и Sylvella alata Zal. встречаются и в кузнецкой подсерии.

Вместе с тем из верхней половины толши определены Paracalamites angustus Such., (СТ-239, гл. 3332,3 м), Zamiopteris cf. crassinervis Gorel. (СТ-239, гл. 3304,7 м), Rufloria minima (Such.) S. Meyen (Ч-465, гл. 3154,6 м), Glottophyllum cf. karpovii Radcz., Cordaicarpus petrikensis Such. (Ч-465, гл. 3177,3 м), Tungussocarpus tychtensis (Zal.) Such. (СТ-242, гл. 3567,9 м), T. elongatus (Such.) Such. (М-20, гл. 4103,2 м) и Sylvella alata Zal. (СВ-27, гл. 3931 м), свидетельствующие о том, что вмешающие комплекс отложения могут быть параллелизованы с кузнецкой подсерией Кузбасса.

Почти аналогичным по составу комплексом флоры охарактеризована деленжинская ритмосвита Западного Верхоянья, что позволяет нам сопоставить ее с хомустахской толщей.

Харыйасская толша выделяется в разрезах центральной части Вилюйской синеклизы (Хапчагайский вал). Палеоботанически она охарактеризована в Средневилюйской скв. 27, где найдены Nephropsis cf. minuta Radcz. (гл.3817 м), Rufloria tenera (Gorel.) S. Meyen, Crassinervia cf. nervosa Gorel., Lepeophyllum actaeonelloides f. microphyllum Such. (инт. 3650-3660 м). Эти формы встречаются в кузнецкой и ильинской подсериях Кузбасса.

Кюндейская толша выделяется в том же типе разреза, что и харыйасская. Растительные остатки из нее нами найдены в Средневилюйской скв. 27 и Мастахской скв. 20 (M-20). Они представлены Nephropsis cf. apiculiformis Such. (M-20, гл. 3615 м) и Tungussocarpus tychtensis (Zal.) Such. (CB-27, гл. 3375,8 м). В таком сочетании они характерны для ильинской подсерии Кузбасса.

В разрезах Логлорского вала, Кемпендяйской впадины, юго-западного борта синеклизы практически безугольная часть разреза верхней перми не подразделяется на харыйасскую и кюндейскую толши. В этих разрезах выделяются дюлюнская и онхойдохская толши. Исходя из анализа имеющегося палеоботанического материала, мы приходим к выводу о том, что в разрезах Западного Верхояныя этому уровню соответствует нижнедулгалахская и нижняя часть верхнедулгалахской подсвиты (см. рис. 2).

Дюлюнская толша палеоботанически охарактеризована в Среднетюнгских скв. 239 и 242 и Улахан-Тюертской скв. 2410 (УТ-2410). Здесь найдены Rufloria cf. elliptica (Radcz.) S. Meyen (УТ-2410, инт. 3495-3506 м), R. minima (Such.) S. Meyen (СТ-239, инт. 3026-3032 м), Crassinervia arta Radcz., Lepeophyllum actaeonelloides (Geinitz.) Zal. (СТ-239, инт. 3032-3039 м), Cordaicarpus petrikensis Such. (СТ-239, инт. 3020-3026, 3032-3039 м; УТ-2410, инт. 3495-3506 м), Tungussocarpus tychtensis (Zal.) Such. (СТ-242, гл. 3331 м; УТ-2410, инт. 3495-3506 м), Т. elongatus (Such.) Such. (СТ-242, гл. 3331 м). Комплекс в таком наборе типичен для казанково-маркинского – нижней половины ленинского горизонтов Кузбасса.

Онхойдохская толща охарактеризована флорой в Чыбыдинской скв. 465 и Байской скв. 1 (Б-1). Здесь определены Rufloria cf. minuta (Radcz.) S. Meyen (Б-1, гл. 2540 м), Rufloria elliptica (Radcz.) S. Meyen и Cordaicarpus petrikensis Such. (Ч-465, гл. 2890,1 м), известные из казанково-маркинского – нижней половины ленинского горизонтов Кузбасса.

Завершает разрез верхнепалеозойских отложений Вилюйской синеклизы тарагайская толща, фиксирующая уровень повышенной угленосности, про-

слеживающийся в разрезах континентального верхнего палеоэоя Сибири /Будников, Будников, 1982; Будников, 1984/.

Эта толща выделяется в четырех типах разреза и охарактеризована богатым комплексом флоры, собранной в Среднетюнгских скв. 222, 239, 242, Северотюнгской скв. 2220, Улахан-Тюертской скв. 2410, Средневилюйских скв. 22 и 27, Мастахской скв. 20, Чыбыдинской скв. 465, Толонской скв. 11 (T-11). Тысакытских скв. 320 и 321 (TC-320 и TC-321). Из тарагайской толши определены Koretrophyllites typicus Radcz. (CT-242, гл. 3053 м), K. polcaschtensis (Chachl.) Radcz. (Ч-465, гл. 2716,2 м), Schizoneura cf. sibirica Neub. (СТ-2220, гл. 2627,6 м), Phyllotheca (?) ninaeana Radcz. (CT-239, гл. 2906 м), F. eliaschevitschii Radcz. (4-465, гл. 2716,2 м), Equisetina sp. (СТ-321, гл. 3723 м), Pecopteris cf. tajmyrensis Schved. (Сев. T-2220, гл. 2624,4 и 2627,6 м), Zamiopteris crassinervis Gorel. (Сев. T-2220, гл. 2867,5 м; СТ-242, гл. 3099,9 м), Cordaites cf. gorelovae S. Meyen (Сев. Т-2220, гл. 2867,5 м), C. gracilentus (Gorel.) S. Meyen (СТ-222, гл. 2895,8 м; СТ-239, гл. 2906,2 м; CT-242, гл. 3052 м), C. candalepensis (Zal.) (Сев. Т-2220, гл. 2867,5 м; Т-11, гл. 3430 и 3563 м), Meyen (ТС-320, гл. 3427 м; ТС-321, гл. 3726,5 м; СТ-C. clercii Zal. 222, гл. 2855 и 2955 м; СТ-242, гл. 3053 м; М-20, гл. 3279 м), С. cf. ? iljinskiensis (Radcz.) S. Meyen (TC-320, гл. 3366,5 м), С. cf. adleri (Radcz.) S. Meyen (Ч-465, гл. 2717,5 м), С. kuznetskianus (Gorel.) S. Meyen (СТ-222, гл. 2852 м; СТ-239, гл. 2906,2м), Rufloria cf. minuta (Radcz.) S. Meyen (СТ-222, гл. 2955 м), R. minima (Such.) S. Meyen (TC-321, гл. 3740 м; УТ-2410, гл. 3344,5м), R. olzerassica (Gorel.) S. Meyen (TC-321, гл. 3677м), R. cf. brevifolia (Gorel) S. Meyen (TC-321, гл. 3572 и 3677 M), Crassinervia cf. iljinskiensis Gorel. (TC-320, 3389,5 м), Cr. nervosa Gorel, (TC-320, гл. 3385,5 м; CT-222, гл. 2955 м), Cr. cf. elliptica Radcz. (TC-321, гл. 3677 м), Cr. pentagonata Gorel (CT-242, гл. 3067,8 м), Lepeophyllum rotundatum Radcz. (CT-222, rn. 2955 M), L. iljinskiensis Such. (TC-320, гл. 3478,4 м; TC-321, гл. 3723 м; CT-239, гл. 2731 м), L. actaeo-(Сев. Т-2220, гл. 2867,5 м; ТС-320, nelloides (Geinitz.) Zal. гл. 3364,5 м; ТС-321, гл. 3561, 3565, 3572 и 3726,5 м; СТ-239, гл. 2731 м; СТ-242, гл. 3055,8 м), L. actaeonelloides f. microphyl-(TC-320, гл. 3427 м), lum Such., L. orbiculatum Tolst. Nephropsis apiculiformis Such. (УТ-2410, гл. 3344,5 м), Samaropsis erunakovensis Radcz. (Сев. Т-2220, гл. 2867,5 м; М-20, гл. 3340 м), S. irregularis Neub. (TC-320, гл. 3478,4 м; TC-321, гл. 3726,5 м; Ч-465, гл. 2716,2 м; УТ-2410, гл. 3344,5 м; Т-11, гл. 3563 м; M-20, гл. 3340 м), S. borisovaensis Such. (TC-320, гл. 3386,5 м; CT-239, гл. 2731 м), S. iljinskiensis Such. (TC-320, гл. 3366,5 и 3389,5 м), S. kureikaensis Such. (Ч-465, гл. 2734,3 м; ТС-320, гл. 3366,5 м; ТС-321, гл. 3657,5 м), Cordaicarpus petrikensis Such. (Сев. Т-2220, гл. 2867,5 м; ТС-320, гл. 3420, 3427, 3460,5 м; ТС-321, гл. 3662 м; УТ-2410, гл. 3344,5 м), (CT-222, гл. 2852 м), Tungus-C. ex gr. iljinskiensis Radcz. socarpus tychtensis (Zal.) Such. (TC-320, rn. 3366,5, 3383, 3389,5, 3478,4, 3486,2 м; TC-321, гл. 3559, 3723 м; CT-242, гл. 3047, 3053, 3056,6 м; СТ-222, гл. 2877 и 2955 м; СТ-239, гл. 2731 м; M-20, гл. 3330 и 3340 м). T. elongatus (Such.) Such. (ТС-320, гл. 3385,5, 3423, 3478,4, 3486,2 м; СТ-222, гл. 2851 и

2852 м; CT-242, гл. 3057,6 м), T. rotundatum (Such.) Such. (TC-321, гл. 3723 и 3726,5 м), Sylvella sp. (TC-320, гл. 3478,4 м). Этот богатый растительный комплекс флоры представлен таксонами, имеющими различный диапазон возрастного распространения. Основу его составляют виды, характерные для казанково-маркинского – ленинского горизонтов Кузбасса, такие, как Cordaites cf. gorelovae S. Meyen, Rufloria brevifolia (Gorel.) S. Meyen, Cordaicarpus petrikensis Such. и др.

Некоторые из них встречаются в митинском - тайлуганском горизонтах. К ним относятся Lepeophyllum actaeonelloides (Geinitz.) Zal., Samaropsis erunakovensis Radcz., Tungussocarpus tychtensis (Zal.) Such. и др.

Анализируя полученный комплекс с целью более однозначного определения возраста охарактеризованных им отложений, в данном случае мы используем принцип "попарно руководящих видов", Так, совместное присутствие в нем форм из группы Cordaicarpus petrikensis, исчезающих в ленинское время, и Samaropsis kureikaensis, только появляющихся в конце ускатского, дает нам основание полагать, что в данном случае мы имеем дело с отложениями, являющимися аналогом ленинского горизонта Кузбасса.

В Западном Верхоянье этому уровню соответствует верхняя половина верхнедулгалахской подсвиты. В обоих районах, как на тарагайской толще, так и на дулгалахской ритмосвите со стратиграфическим перерывом залегает неджелинская свита нижнего триаса.

Разрез верхнепалеозойских отложений северо-западного борта синеклизы сильно сокращен. Здесь выделяется единая логлорская толща, сложенная песчаниками, переслаивающимися прослоями конгломератов и гравелитов. Изучена она нами в Хоргочумской скв. 283 (X-283), Северолинденской скв. 2 (СЛ-2) и Тюкян-Тюнгской скв. 1п (ТТ-1п). Отсюда определены Рһуlotheca cf. ninaeana Radcz (X-283, гл. 1731,6 м), Rufloria cf. mitinaensis (Gorel.) S. Meyen, Lepeophyllum iljinskiensis Such. Nephropsis cf. tomiensis Zal. (X-283, (СЛ-2, гл. 1539 м), гл. 1766,3 м), Tungussocarpus tychtensis (Zal.) Such. (Сл-2, гл. 1532,5 м), Т. elongatus (Such.) Such (X-283, гл. 1766,3 1787 м), T. rotundatus (Such.) Such. (СЛ-2, гл. 1532,5 м), Skokia elongata (Taras.) Such. (СЛ-2, гл. 1532,5, 1535,5 и 1538м), Cordaicarpus petrikensis Such. (X-283, гл. 1766,3 и 1821,8 м; ТТ-1п, гл. 1126 м). Этот комплекс представлен в основном видами, известными в старокузнецком - ленинском горизонтах Кузбасса.

На южном борту Вилюйской синеклизы сокращенный по мощности разрез верхнепалеозойских отложений выделяется в тогой дохскую толщу, представленную тем же набором пород, что и в логлорской. Разрез этой толщи изучен нами в Кумахской скв. 483, где найдены Nephropsis cf. minuta Radcz., Rufloria cf. minuta Radcz., Tungussogarpus ty—chtensis (Zal.) Such. (гл. 1252 и 1266 м). Все эти виды входят в состав позднепермского флористического комплекса Кузбасса.

Спорово-пыльцевой комплекс, выделенный из отложений тогойдохской толщи, вскрытой Андреевской скв. 2 (инт. 1584-1591,3 м), по мнению Т.Е. Михайловой /Граусман и др., 1982/, также свидетельствует в пользу ее позднепермского возраста.

Исходя из анализа строения ее разрезов в единичных скважинах южного борта синеклизы и помня о небольшом количестве палеонтологического
материала, на данном этапе изученности мы солидарны с В.В. Граусман,
В.Д. Матвеевым и С.В. Мейеном /Граусман и др., 1982/ и сопоставляем
тогойдохскую толщу с логлорской.

Приведенные в статье материалы дополняют палеонтологическую характеристику верхнепалеоэойских отложений Вилюйской синеклизы и Западного Верхоянья. Предложенная схема их корреляции является первым палеонтологически обоснованным вариантом.

СПИСОК ЛИТЕРАТУРЫ

- Андрианов В.Н. Верхнепалеозойские отложения Западного Верхоянья. М.: Наука, 1966. 130 с.
- Будников И.В. Главные этапы поэднепалеозойского осадконакопления в Верхоянской геосинклинали и на Сибирской платформе // Проблемы геологии и нефтегазоносности верхнепалеозойских и мезозойских отложений Сибири. – Новосибирск, 1984. – С. 97-105.
- Будников И.В. Литолого-фациальная основа корреляции позднепалеозойских отложений Вилюйской синеклизы и Западного Верхоянья // Палеоэкологический и литолого-фациальный анализы для обоснования детальности региональных стратиграфических схем. - Новосибирск, 1986. - С. 122-128.
- Будников В.И., Будников И.В. Закономерности углеобразования в позднем палеозое Сибирской платформы и ее складчатого обрамления // Новые данные по геологии угольных месторождений Средней Сибири. - Новосибирск, 1982. - С. 6-18.
- Будников И.В., Данилов В.И. Литология и палеонтологическая характеристика • верхнепалеосойских отложений Западного Верхоянья // Геология и геофизика. – 1985. – № 8. – С. 126–130.
- Голубева И.И., Граусман В.В., Мейен С.В., Петрова Е.К. О стратиграфическом расчленении отложений перми центральной части Вилюйской синеклизы // Стратиграфия нефтегазоносных отложений Якутии. Якутск, 1980.— С. 36-45.
- Горелова С.Г., Меньшикова Л.В., Халфин Л.Л. Фитостратиграфия и определитель растений верхнепалеоэойских угленосных отложений Кузнецкого бассейна. Кемерово: Кемеров. кн. изд-во, 1973. Ч. 1. 168 с.
- Граусман В.В. О находке каменно угольной флоры в Вилюйской синеклизе // Сов. геология. 1984. № 2. С. 70-72.
- <u>Граусман В.В., Матвеев В.Д. Мейен С.В. Стратиграфия пермских отложений Вилюйской синеклизы. // Изв. СО АН СССР. Сер. геол. 1982. № 11. С. 57-67.</u>
- Данилов В.И., Евтушенко В.Е., Меньшикова Л.В. и др. Палеонтологическая характеристика опорного разреза верхнепермских отложений кольчугинской серии Кузнецкого бассейна // Новое в стратиграфии и палеонтологии среднего и верхнего палеозоя Средней Сибири. Новосибирск, 1978.— С. 130-143.
- Дуранте М.В., Израилев Л.М. Флористические комплексы и стратиграфия каменно угольных и пермских отложений меридиональной части Западного Верхоянья // Бюл. МОИП. Отд. геол. 1977. Т. 52, вып. 4. С. 112—124.
- Петрова Е.К., Скрипина Г.Ф. К стратиграфии верхнепалеозойских отложений Вилюйской синеклизы // Бюл. НТИ. Геология и полезные ископаемые. Якутск: ЯФ СО АН СССР. 1978. С. 8–10.
- Решения Всесоюзного совещания по разработке унифицированных стратиграфических схем докембрия, палеозоя и четвертичной системы Средней Сибири. – Новосибирск, 1982. – 129 с.
- Сухов С.В., Будников И.В., Данилов В.И. Разрез нижнепермских отложений на р. Аллара-Хадарынья в Западном Верхоянье и его палеоботаническая

характеристика // Стратиграфия и палеонтология Сибири. - Новосибирск, 1981. - С. 34-42.

<u>Толстых А.Н.</u> Позднепалеозойская флора Западного Верхоянья. - Новосибирск: Наука, Сиб. отд-ние, 1974. - 103 с.

А.Б. Ивановский

ОДИНОЧНЫЕ РУГОЗЫ ИЗ ВЕРХНЕЙ ПЕРМИ ВОСТОКА РУССКОЙ ПЛАТФОРМЫ

В отложениях верхней перми (казанский ярус) восточных районов Русской платформы ругозы исключительно обильны, однако до сих пор они не подвергались систематическому изучению, лишь несколько экземпляров кратко описаны А.Н. Нечаевым /1894/, Б.К. Лихаревым /1913/, и все это вместе с собственными материалами было обобщено Е.Д. Сошкиной /Сошкина и др., 1941/.

В 1967 г. мне удалось посетить разрезы верхнего палеозоя Предурапья и Заволжья и собрать коллекцию кораллов. Частично эти материалы были опубликованы /Ивановский, 1972; Ильина, 1984/. В настоящее время
удалось завер шить обработку коллекции и, что представляется весьма существенным, дополнить и уточнить опубликованные ранее данные. Это касается
в первую очередь Calophyllum profundum (Germar) — вида, который казался мне чуть ли не всеобъемлющим. Подробные соображения изложены в "Замечаниях", сопровождающих описания изученных ругоз, которые приведены ниже.

Коллекция (№ 818) хранится в Центральном Сибирском геологическом музее при Институте геологии и геофизики СО АН СССР в Новосибирске.

Список местонахождений

Обр. 10. Левый берег руч. Сухой Изяк в с. Гороховка (Башкирия, 22 км по тракту к юго-западу от д. Федоровки).

Обр. 11. Левый берег р. Дема (2 км восточнее с. Никифорово, стоящего на шоссе Киргиз-Мияки - Аксеново).

Обр. 12. Правый берег р. Черемшан (сплошные солифлюкционные вы-

Обр. 14. Овраги в с. Камышла на правом берегу р. Сок.

Обр. 15. Правый берег р. Сок, склоны холмов в с. Татарский Байтуган.

TUI COELENTERATA

KЛACC ANTHOZOA

ОТРЯД Rugosa

ПОДОТРЯД Streptelasmatina

Надсемейство Laccophyllicae Grabau, 1928

Семейство Amplexocariniidae Soschkina, 1941

Род Amplexocarinia Sosckina, 1928

Типовой вид. Amplexus (Amplexocarinia) muralis Soschkina, 1928. Нижняя пермь западного склона Урала, р. Шугор.

Диагноз. Одиночные диафрагматофорные кораллы. Большие септы на ранних стадиях достигают оси, а на эрелых отступают от нее и образуют

аулос. Малые септы развиты слабо или отсутствуют. Иногда различима фоссула с укороченной главной септой. Днища полные плоские.

Распространение.? Верхний девон - пермь.

Amplexocarinia muralis Soschkina, 1928

Табл. I, фиг. 1, 2

Amplexocarinia muralis sp. n.: Сошкина, 1928, с. 379, рис. 19. Amplexocarinia muralis Soschk: Сошкина и др., 1941, с. 93, табл. VII, фиг. 5-7.

Голотип. № 562/146, ПИН. Северный Урал, р. Шугор, Средние Ворота. Нижняя пермь. Коралл очень маленький, не может быть расшлифован и переизучен.

Описание. Мелкие одиночные цилиндрические изогнутые у основания кораллы с хорошо выраженными эпитекой и покрывающей ее сверху голотекой. Чашки глубокие с плоским дном и отвесными стенками.

В начале роста коралла ровные одинаковые по длине септы достигают центра, где соединяются отложениями склеренхимы. В дальнейшем септы постепенно отступают от оси, их внутренние окончания загибаются и формируется аулос, в образовании которого фиброзная (?) склеренхима играет большую роль. Контратингентные малые септы развиты не у всех кораллов и не повсеместно. При изменении поперечника от 4 до 7 мм общее количество септ меняется в пределах 14-24. Иногда у внутреннего конца главной септы склеренхима отсутствует, аулос становится неполным и намечается тем самым фоссула. Периферический ободок составляет около 1/7 радиуса.

Днища редкие, почти всегда полные, по краям резко опущены, а в центральной зоне плоские, чаще слабовогнуты. В неточно ориентированных продольных сечениях следы дниш, септ и аупоса создают впечатление существования "осевых трубок" и дополнительных пластинок. Диссепименты не развиты.

Замечание. Е.Д. Сошкина /Сошкина и др., 1941/ различала два вариетета этого вида — minuta и yakovlevi, происходящие из нижней перми (артинский ярус) Урала и Приуралья. Скорее всего, указанные Е.Д. Сошкиной отличительные черты этих форм являются результатом проявления внутривидовой изменчивости /Сошкина и др., 1941, с. 95–97/, но имеющийся материал крайне недостаточен для того, чтобы делать на этот счет конкретные выводы.

Распространение. Пермь (артинский - казанский ярусы). Местонахождение. Обр. 11, 12, 15.

Род Paralleynia Soschkina, 1936

Типовой вид. Paralleynia permiana Soschkina, 1936. Нижняя пермь Южного Урала, р. Согур-сай.

Диагноз. Одиночные диафрагматофорные кораллы. Большие септы на ранних стадиях достигают оси, а на зрелых отступают от нее и соприкасаются внутренними ропалоидными концами. Малые септы выражены неповсеместно. Днища полные и неполные.

Распространение. Пермь.

Paralleynia permiana Soschkina, 1936

Табл. I, фиг. 3, 4, 6; табл. VI, фиг. 3

Paralleynia permiana gen. et sp. n.: Сошкина, 1936, с. 32, рис. 3-8.

^{*}Подробный список местонахождений кораллов приведен в начале статьи.

Paralleynia permiana Soschk.: Сошкина и др., 1941, с. 107, табл. XI, фиг. 1-3, рис. 23 (Сошкина ошибочно указела рис. 15,16).

Голотип. № 968/146. ПИН. Южный Урал, р. Согур-сай. Нижняя пермы. В кол. 146 не обнаружен. Неотип (избран А.Б. Ивановским /1984, с. 11/)- экз. 961/146. ПИН. Топотип см. /Ивановский, 1984, табл. VIII, фиг. 3/.

Описание. Мелкие одиночные конические кораллы с хорошо выраженными эпитекой и голотекой. Чашки очень глубокие с отвесными стенками.

В начале роста коралла септы более или менее ровные широкие, достигают центра. На этой стадии намечаются четыре септальные системы и главная фоссула. Уже на средних этапах развития септы от оси отступают и становятся отчетливо ропалоидными, соприкасаясь внутренними окончаниями; это
создает впечатление существования аулоса. Малые септы возникают спорадически. Если они развиты (?в области противоположной септы), то контратингентные. При изменении поперечника от 3 до 8 мм количество септ меняется от 16 до 26. Наружный ободок может составлять около 1/6 радиуса.

Дниша редкие, иногда полные, но чаще неполные, причем у эрелых форм в центральной эоне они могут быть сильновыпуклыми. Встречаются дополнительные пластинки. Диссепиментов нет.

Замечание. Этот вид отличается от представителей Amplexocarinia прежде всего характером осевой зоны, в данном случае внутренние концы септ просто примыкают друг к другу, тогда как во втором они соединены склеренхимой, в результате чего и формируется аулос. На это обращала внимание также Е.Д. Сошкина /1936; Сошкина и др., 1941/.

Распространение. Пермь (артинский - казанский ярусы). Местонахождение. Обр. 12, 14.

Надсемейство Polycoeliicae de Fromentel, 1861

Семейство Polycoeliidae de Fromentel, 1861

Род Calophyllum Dana, 1846

Типовой вид. Turbinolia donatiana King, 1848. Пермь Англии. Диагноз. Одиночные диафрагматофорные кораллы. Главная, боковые и противоположная септы длиннее и шире метасепт и расположены крестооб—разно. Днища полные, плоские у оси и опущены на периферии.

Распространение. ? Карбон - пермъ.

Calophyllum profundum (Germar in Geinitz, 1842)

Табл. III, фиг. 1; Табл. V, фиг. 2; табл. VI, фиг. 1, 2

Calophyllum profundum Germar: Ивановский, part. 1972, с. 5, табл. I-V.

Диагноз. Одиночные диафрагматофорные кораллы. Главная, противоположная и боковые протосепты длиннее и шире метасепт, могут быть ропалоидными и расположены крестообразно или почти крестообразно. Фоссупа отчетливо не выделяется. Днища выпуклые, полные или неполные.

Замечания. Этот вид по тем же материалам был детально описан ранее /Ивановский, 1972/, однако в то время я придавал слишком большое значение внутривидовой изменчивости. К сожалению, эта ошибка отразилась и в работах других исследователей (см. например, Fedorowski, 1982; Ильина, 1984/).

Благодаря работам Г. Флюгеля /Flügel, 1973a, b/, сейчас можно заключить, что среди пермских калофиллоидных ругоз выделяются две груп-

пы кораллов родового ранга, достаточно существенно отличающихся друг от друга прежде всего расположением метасепт – тетрамерным (типичные Calo-phyllum) и зафрентоидным (Groenlandophyllum). Поэтому наиболее характерными чертами внутреннего строения C. profundum мы можем признать следующие: кардинальная фоссула отчетливо не выделяется; расположение главной, противоположной и обеих боковых септ почти крестообразное, они длиннее и шире метасепт, могут быть ропалоидными, но их внутренние окончания не соединены склеренхимой.

Распространение. Верхняя пермь. Местонахождение. Обр. 10-12, 14, 15.

Род Groenlandophyllum Flügel, 1973

Типовой вид. Calophyllum (Groenlandophyllum) teicherti Flügel, 1973. Верхняя пермь (известняк с Martinia) Восточной Гренландии.

Диагноз. Одиночные диафрагматофорные кораллы с прекрасно выраженной главной и менее отчетливыми боковыми фоссулами. Главная, противоположная и боковые протосепты выделятся по длине и ширине. Днища полные и неполные, в центре коралла круто поднятые.

Замечания. Устанавливая этот род (подрод), X. Флюгель /Flügel, 1973b / характерным признаком его представителей считал отсутствие эпитеки на начальных стадиях роста коралла. Судя по приведенным фотографиям (там же, табл. I, II), автор имел дело с экземплярами неполной сохранности – такие явления у ругоз встречаются довольно часто. В этом отношении более значительным весомым признаком таких ругоз является зафрентоморфный облик внутреннего скелета на всех этапах развития полипняка. Иными словами, Groenlandophyllum может быть представлен как зафрентоморфный Calophyllum.

Распространение. Верхняя пермь.

Groenlandophyllum teicherti Flügel, 1973

Табл. II. фиг. 2-4

Calophyllum (Groenlandophyllum) teicherti subgen. et sp. n.: Flügel, 1973b, S. 12, Taf. III, Fig. I. Abb. 6.

Диагноз. Одиночные диафрагматофорные кораллы с этчетливыми на всех стадиях роста кардинальной и боковыми фоссулами. Главная, противопо-ложная и боковые протосепты выделяются по длине и ширине. Днища полные и неполные, в осевой зоне крутовыпуклые.

Описание. Мелкие одиночные конусообразные изогнутые у основания кораллы. Чашки глубокие с выпуклым дном и отвесными стенками. Голотека и эпитека очень тонкие, в процессе фоссилизации сохраняются плохо, на что обратил внимание также X. Флюгель /Flügel, 1973b/.

Внутреннее строение очень характерное – одновременно зафрентоморфное и калофиллоидное. В самом начале развития люмен выполнен плотно соприкасающимися септами, среди которых ясно выделяются четыре протосепты, расположенные как и у типичных Calophyllum крестообразно. В дальнейшем средние и наружные части септальных пластин сужаются и обособляется периферический ободок, у зрелых форм хорошо выражены три фоссулы, внутренние концы метасепт главных секстантов оканчиваются свободно, а противоположно-боковых – обычно соединены склеренхимой. На поздних стадиях роста они не соприкасаются. При изменении диаметра коралла от 5 до 12 мм

количество септ колеблется от 19 до 23. Малые септы отчетливо не развиты.

Днища обычно неполные. В центральной эоне их система круго поднята вверх. Развиты вздутые дополнительные пластинки. Диссепименты отсутствуют.

Распространение. Верхняя пермь. Местонахождение. Обр. 12, 14, 15.

Groenlandophyllum variabile (Soschkina, 1941)

Табл. III, фиг. 2, 3; табл. IV, фиг. 2-5.

Plerophyllum variabile, sp. n.: Сошкина и др., 1941, с. 83, табл. VII, фиг. 1-3.

Amplexizaphrentis pustulosa sp. n.: Flügel, 1973b, S. 37, Taf. IV, Fig. I, Abb. 17.

Голотип. № 1188/146. ПИН. Бассейн р. Онеги, р. Ломовая. Верхняя пермь, казанский ярус.

Диагноз. Одиночные диафрагматофорные кораллы. Главная, противоположная и боковые протосепты выделяются по длине и ширине. Метасепты окаймляют широкую занимающую центральную зону кардинальную фоссулу, боковые фоссулы выражены не всегда отчетливо. Днища полные и неполные, их система выпуклая.

Описание. Одиночные цилиндроконические обычно изогнутые кораллы, покрытые продольно-ребристой эпитекой, а сверху голотекой, на которой хорошо видны руги. Чашки глубокие с выпуклым дюм.

В начале роста септы широкие соприкасающиеся, хорошо различимы крестообразно расположенные главная, противоположная и боковые протосепты. У зрелых форм метасепты соединены посредством склеренхимы внутренними окончаниями и окаймляют кардинальную фоссулу, которая занимает всю центральную зону коралла. У боковых протосепт развито, правда не всегда ясное, расширение межсептальных промежутков. Главная септа обычно почти достигает оси и оканчивается свободно, но иногда может быть значительно короче. Малые септы постоянно не развиты, встречаются они лишь как исключение (одна – две) и не во всех экземплярах. На геронтической стадии септальные пластины становятся тонкими, отступают к периферии, но их осевые окончания часто остаются соединенными. При изменении диаметра от 5 до 18 мм общее число септ меняется в пределах 25-29.

Днища полные (редко) и неполные, круто подняты на периферии, а в центрельной эоне угловато-выпуклые и реже плоские. Дополнительные пластинки крупные вздутые. Диссепиментов нет.

Замечания. От Cr. teicherti отличается широкими окаймляющими крупную кардинальную фоссулу метасептами, вследствие чего боковые фоссулы становятся менее отчетливыми.

Распространение. Верхняя пермь. Местонахождение. Обр. ? 10, 12, 14, 15.

Род Gerthia? Grabau, 1928

Типовой вид. Polycoelia angusta Rothpletz, 1892. Индонезия, о. Тимор. Верхняя пермь.

Замечания. Голотип типового вида, вероятно, утерян, вследствие чего не переизучен. До тех пор, пока не будут детально исследованы топотипические материалы, нельзя сформулировать диагноз рода. Несмотря на это, сложилось представление, что Gerthia объединяет калофиллондных ругоз с длинной главной и ропалондными противоположной и боковыми протосептами. Такие формы действительно существуют и вряд ли их стоит включать в состав Calophyllum или Soschkineophyllum.

"Gerthia" sp.

Табл. V. фиг. 1, 3

Описание. На ранней стадии люмен выполнен плотно соприкасающимися септами. Главная, противоположная и боковые протосепты хорошо различимы, причем боковые по отношению к главной расположены перисто. У зрелых форм все септы, кроме достигающей оси длинной главной, становятся ропалощиными и соприкасаются внутренними окончаниями. Намечаются четыре септальные системы, соответствующие главным и противоположно-боковым секстантам. Кардинальная фоссула выражена, но не резко, она узкая длинная, достигает центра. Периферический ободок составляет 1/5-1/6 радиуса коралла. Малые септы не развиты. При поперечнике 5 мм – 21 септа, 8 мм – 23, 11 мм – 26 септ. Днища почти всегда неполные, выпуклые, в области противоположной септы они сильно вздутые. Встречаются того же облика дополнительные пластинки.

Распространение. Верхняя пермь. Местонахождение. Обр. 14, 15.

Pog Sassendalia Tidten, 1972

Типовой вид. Sassendalia turgidiseptata Tidten, 1972. Шпипберген. Нижняя пермь.

Диагноз. Одиночные диафрагматофорные кораллы с отчетливыми кардинальной фоссулой и боковыми псевдофоссулами. Широкая ропалоидная противоположная септа достигает оси, боковые - также ропалоидные, но короче, а главная - ровная и по длине не превышает метасепт. Днища выпуклые.

Распространение. Пермь.

Sassendalia bashkirica sp. nov.

Табл. І, фиг. 5

Голотип. № 818/19. ИГиГ. Р. Байтуган, Верхняя пермь, казанский ярус. Диагноз. Одиночные диафрагматофорные кораллы. Противоположная и боковые септы — длинные ропалоидные, главная — более короткая ровная. В противоположно-боковых секстантах метасепты ропалоидные, а в главных ровные и более короткие. Кардинальная фоссула открытая. Периферический ободок широкий. Дниша выпуклые.

Описание. Кораллы одиночные цилиндроконические рогообразно изогнутые. Эпитека продольно ребристая, голотека покрыта ругами. Чашка глубокая с отвесными стенками и выпуклым дном.

Периферическая зона представлена широким (до четверти радиуса коралла) ободком, внутрь от которого выступают септы. Протосепты выделяются
очень хорошо — противоположная достигает оси, она самая крупная с
ропалоидным концом; боковые также ропалоидные, но немного короче,
а главная ровная, еще более короткая и находится в отчетливой открытой фоссуле, расположенной на вогнутой стороне коралла. Метасепты обоих противоположно-боковых секстантов ропалоидные, соединены внутренними окончаниями, образуя при этом системы; в главных
секстантах они ровные и значительно более короткие. Малых септ нет. При
поперечнике 10 мм развито 24 септы, причем в каждом из главных секстантов по 4, а в противоположно-боковых по 6 (без протосепт). Дниша выпуклые, полные и неполные, редкие. Диссепименты отсутствуют.

Замечания. От второго известного представителя рода (типового вида) новый вид отличается наличием широкого не связанного с септами периферического ободка, более длинной главной септой и более интенсивно развитыми метасептами главных секстантов.

Распространение. Верхняя пермь, казанский ярус. Местонахождение. Обр. 15.

Семейство Pentaphyllidae Schindewolf, 1942

Род Pentaphyllum de Koninck, 1872

Типовой вид. Pentaphyllum armatum de Koninck, 1872. Нижний карбон Бельгии.

Диагноз. Одиночные диафрагматофорные кораллы. Главная, противоположно-боковые и боковые протосепты длинные, противоположная септа короче. Дниша редкие.

Распространение. Карбон - пермь.

Pentaphyllum hexaseptatum (Soschkina, 1928)

Табл. IV, фиг. 1

Tachylasma hexaseptatum sp. nov.: Сошкина, 1928, с. 361, табл. XXII, фиг. 5, 6, рис. 7.

Tachylasma hexaseptatum Soschkina: Сошкина и др., 1941, с. 49, табл. II, фиг. 1, 2; табл. XII, фиг. 3.

Pentaphyllum hexaseptatum (Soschk.): Ильина 1984, с. 88, рис. 35, а-г (но не табл. VI, фиг. 3, 4; табл. VII, фиг. 1, 4).

Голотип. № 418/146. ПИН. Северный Урал, р. Шугор. Пермь, артинский ярус.

Диагноз. Одиночный диафрагматофорный коралл. Отчетливо выделяются все протосепты кроме противоположной, которые достигают центра. В противоположно-боковых секстантах метасепты плотно соприкасаются, а в главных короткие, более тонкие.

Описание. В коллекции имеются два обломка одиночных кораллов высотой 17 и 20 мм. Эпитека продольно ребристая. Чашка глубокая воронковидная.

Главная, боковые и противоположно-боковые протосепты широкие и достигают центра коралла. Метасепты в главных секстантах широкие, ровные, очень короткие (до трети – четверти радиуса), по три в каждом секстанте. В противоположных – они длинные, соединяются внутренними окончаниями, а на ранних стадиях роста плотно примыкают друг к другу. Малые септы отчетливо не выделяются. При поперечнике 9 мм общее количество септ равно 23. Днища не изучены из-за фрагментарности материала. Диссепиментов нет.

Распространение. Пермь, артинский — казанский ярусы. Местонахождение. Обр. 12.

Надсемейство Hapsiphyllicae Grabau, 1928

Семейство Hapsiphyllidae Grabau, 1928

<u>Род</u> Euryphyllum Hill, 1938

Типовой вид. Euryphyllum reidi Hill, 1938. Пермь Австрелии, Квинсленд.

Диагноз. Одиночные диафрагматофорные кораллы. Большие септы достигают оси, располагаясь перисто по отношению к удлиненной закрытой фоссуле, рассеченной длинной главной септой. Намечаются боковые фоссулы. На ранних стадиях септы плотно соприкасаются, но в процессе роста стереозона от центра к периферии резко сокращается. Днища редкие, полные и неполные. Распространение. Пермь.

Euryphyllum minor Fontaine, 1961

Табл. II. фиг. 1, табл. IV. фиг. 6

Euryphyllum alloiteaui var. minor sp. et var. nov.: Fontaine, 1961, p. 67, pl. X, fig. 5.

Диагноз. Одиночные диафрагматофорные кораллы. На ранних стадиях септы плотно соприкасаются; на эрелых они тонкие, соединяются у оси и перисто расположены по отношению к достигающей центра кардинальной фоссуле, в которой находится длинная главная септа. Склеренхима резко сокращается к периферии, где сохраняется стереозона. Система полных и неполных дниш плоская или слабовыпуклая.

Описание. Небольшие (высотой 17-23 мм) одиночные конические рогообразно изогнутые кораллы, покрытые продольно ребристой эпитекой. Чашки бокалообразные не очень глубокие с плоским дном.

В начале роста полипняка септы плотно соприкасаются на всем протяжении от периферии до центра. На средних стадиях их пластинки немного искривляются, становятся уже, в результате чего освобождаются межсептальные промежутки и обособляется краевой ободок. Хорошо выражены главная, противоположная и боковые протосепты, расположенные крестообразно. Эта существенная черта допускает предположение, что Euryphyllum точнее считать представителем не Hapsiphyllidae, а Polycoeliidae. У эрелых форм септы достигают оси коралла, располагаясь при этом зафрентоидно по отношению к длинной закрытой кардинальной фоссуле, которая находится на вогнутой стороне и разделена пополам длинной тонкой доходящей до центра главной септой. Утолщающая септальные пластины фиброзная склеренхима на взрослых стадиях резко сокращается в направлении периферии. Вероятно, такие явления происходили в процессе диагенеза. Малые септы не развиты. При изменении диаметра от 4,5 до 8 мм общее число септ меняется от 19 до 22.

Днища неполные, реже полные, обычно подняты по краям и плоские или слабовыпуклые в центральной области коралла. Часто развиты дополнительные пластинки аналогичного облика. Диссепиментов нет.

Распространение. Верхняя пермь.

Местонахождение. Обр. 11, 12.

СПИСОК ЛИТЕРАТУРЫ

- Ивановский А.Б. Внутривидовая изменчивость, морфология и онтогенез скелета Calophyllum profundum (Rugosa) // Морфологические и филогенетические вопросы палеонтологии. М.: Наука, 1972. С. 4-9.
- Ивановский А.Б. История изучения палеозойских кораллов и строматопороидей. Ругозы (1975-1983). - М.: Наука, 1984. - 88 с.
- <u>Ильина Т.Г.</u> Историческое развитие кораллов. Подотряд Polycoeliina. М.: Наука, 1984. 184 с.
- Лихарев Б.К. Фауна пермских отложений окрестностей г. Кириллова Новгородской губернии // Тр. Геол. ком. Нов. сер. – 1913. – Т. 85. – 99 с.
- Нечаев А.Н. Фауна пермских отложений восточной полосы Европейской России // Тр. об-ва естеств. при Казан. ун-те. 1894. Т. 27, вып. 4.- С. 3-501.

- Сошкина Е.Д. Нюжнепермские (артинские) кораллы западного склона Северного Урала // Бюл. МОИП. Отд. геол. 1928. Т. 6, № 3/4. С. 339-392.
- Сошкина Е.Д. Новые виды нижнепермских (артинских) кораллов из Актюбинского района Южного Урала // Тр. Нефт. геол.-разв. ин-та. Сер. Б. 1936. Т. 61. С. 27–38.
- Сошкина Е.Д., Добролюбова Т.А., Порфирьев Г.С. Пермские Rugosa европейской части СССР // Палеонтология СССР. 1941. Т. 5, вып. 3, № 1. С. 9-230.
- Fedorowski J. Some rugosa corals from the Upper Permian of East Greenland // Rapp. Gronlands geol. unders. 1982. Vol. 108. P. 71-83.
- Flügel H. Zur Kenntnis des Typus von Calophyllum Dana, 1846:
 Turbinolia donatiana King, 1848 (Anthozoa) // Neues J. Geol. und Paläontol., Monatsh. 1973a. N 2. S. 61-66.
- Flügel H. Rugosa Korallen aus dem oberen Perm Ost-Grönlands // Verh. Geol. Bundesanst. - 1973b. - Bd 1. -S. 1-49.
- Fontaine H. Les madreporaires paleozoiques du Viet-Nam, du Laos et du Cambodge // Arch. Geol. Viet-Nam. 1961. Vol. 5. P. 5-276.
- Hill D. Rugosa and Tabulata: Treatise on Intertebrate Paleon-tology. Pt F. Boulder (Colo.): Lawrence (Kans.), 1981. 763 p.
- <u>Tidten G.</u> Morphogenetisch-ontogenetische Untersuchungen an Pterocorallian aus dem Permo-Karbon von Spitzbergen // Palaentographica. 1972. Bd 139. S. 1-63.

А.С. Дагис, А.А. Дагис, С.П. Ермакова

БИОСТРАТИГРАФИЯ НИЖНЕГО ОЛЕНЕКА СИБИРИ

После ревизии зоны Dieneroceras Ю.Н.Попова /1961/, проведенной в последние годы /Дагис А.С., Дагис А.А., 1982; Дагис А.С., 1983, 1986; и др./, объем нижнего оленекского подъяруса в Сибири был ограничен зонами hedenstroemi и tardus, в результате чего он стал достаточно полным эквивалентом смитского яруса Канадской схемы Э.Т. Тозера /Тоzer, 1965, 1967/.

Аналоги нижней эоны прослеживаются очень широко в пределах Северо-Восточной Азии /Дагис А.С. и др., 1979/ и устанавливаются практически во всех структурно-фациальных областях, где развиты нижнетриасовые отложения, в то время как зона tardus по аммоноидеям выделена лишь в двух районах — на Западном Верхояные и на юге Бакы-Нелыгехинской зоны. Более широко аналоги последней зоны, главным образом в пределах Верхояныя, устанавливаются по двустворкам и конодонтам /Дагис А.А., 1984/.

Зона hedenstroemi является гетерогенным подразделением и включает по крайней мере два различных комплекса аммоноидей. На возможность разделения этой зоны в Западном Верхоянье указывал Ю.В. Архипов /1974/, и эта идея была отражена в решениях Межведомственного стратиграфического совещания в Магадане в 1975 г. Вариант более детального (четырехчленного) деления зоны hedenstroemi предложила С.П. Ермакова /1977/, но эти построения не получили широкого признания. Подзоны в пределах зоны hedenstroemi впервые были предложены на Всесоюзном совещании по биостратиграфии Сибири и Дальнего Востока /Дагис А.С., 1986/. Данная

статья имеет своей целью обоснование схемы детальной стратиграфии нижнего оленека.

Зональная схема нижнего оленека разрабатывалась на материалах севера Средней Сибири и Верхоянья. Основной фактический материал опубликован ранее /Дагис А.С., Дагис А.А., 1982; Дагис, Казаков, 1984; Архипов и др., 1984/, но здесь он частично повторен в связи с детализацией разрезов и внесением корректив в определения фауны.

Наиболее западные разрезы достаточно полно палеонтологически охарактеризованного нижнего оленека известны в бассейне среднего течения р. Бу-ур /Дагис А.С., Дагис А.А., 1982/. Здесь на терригенно-вулканогенных образованиях улахан-юряхской свиты, предположительно индского возраста, залегает терютэхская свита, разрез которой может быть представлен в следующем виде:

- 1. Глины темно-серые, алевритовые, с мелкими глинисто-карбонатными конкрециями и отдельными крупными известковыми конкрециями. Эта разреза обнажается по р. Вендявкири. Отсюда определен специфический комплекс конодонтов - Neogondolella nepalensis, N. carinata, N. sibirica, Neospathodus pakistanensis, N. dieneri, N. curtus и др. и редкие аммоноидеи - Anakashmirites sp., Kelteroceras cf. неопределимые ювенильные раковины проптихиsubleptodiscus N тид (возможно, Koninckites). Первоначально последняя форма была определена нами как Hedenstroemia /Дагис А.С., Дагис А.А., 1982/, но теперь это определение следует признать некорректным. Видимая мощность слоя по р. Вендявкири около 9 м.
- 2. Более высокие горизонты терютэхской свиты изучены по рч. Кыра-Хос-Терюттээх. Глины голубовато-серые, с многочисленными небольшими (до 10 см) глинисто-карбонатными конкрециями, как правило, без органических остатков и крупными овальными карбонатными конкрециями, к которым при-урочены раковины ископаемых беспозвоночных. В слое многочисленны Несепаtroemia hedenstroemi и более редки крупные гладкие эволютные аммоноидеи, возможно, флемингитиды, относящиеся, по всей вероятности, к новому роду. Видимая мощность 5 м.
- 3. Те же группы с двумя прослоями крупных караваеобразных конкреций и прослоем глинистого известняка (0,2 м) в основании. Разнообразны аммоноидеи Clypeoceras gantmani, Meekoceras gracilitatis, Arcto-Hedenstroemia sp. (редкие), Anakashmiriblonistrandi. tes molensis, Kelteroceras vronskyi, Melagathiceras globosum, Juvenites aff. septentrionalis, Prosphingites? cf. slossi и конодонты Neogondolella mosheri, N. buurensis, N. jakutensis, N. dieneri. N. curtus и др. Neospathodus waageni. происходят основные находки двустворок также Posidonia mimer, Bakevellia reticularis B. olenekensis. Видимая мощность 4 м, терютэхская свита в этом районе перекрывается норийскими песчаниками тумульской свиты /Дагис А.С., Дагис А.А., 1982/. Восточнее, в нижнем течении рек Буур, Оленек, в дельте Лены и на Северном Хараулахе, к нижнему оленекскому ярусу относится чекановская свита, имеющая очень стабильную литологическую характеристику на этой площади /Казаков и др., 1982; Дагис, Казаков, 1984/. Во всех регионах она залегает на улахан-юряхской свите и перекрывается аргиллитами ыстаннахской свиты, охарактеризованной аммоноидеями зоны enomphala верхнего оленека.

Чекановская свита имеет двучленное деление. Нижняя ее часть представлена темно-серыми глинами или аргиллитами с прослоями сидеритовых и карбонатных конкреции мощностью 2-20 м. Аммоноидеи встречены только в одном разрезе на побережье Оленекского залива (пос. Ыстаннах-Хочо), от-

куда Ю.Д. Захаровым /1978/ указаны Pseudosageceras sp., Clypeoceras astakhovae (= Clypeoceras? gantmani). Верхняя часть чекановской свиты представлена тонким переслаиванием битуминозных известняков и алевролитов мощностью 1-15 м, образовавшихся в условиях некомпенсированного осадконакопления. Аммоноидеи в известняках редки и плохой сохранности. В нижней и средней частях пачки из разных местонахождений из-BECTHЫ Clypeoceras? cf. gantmani, Clypeoceras? sp., Meekoceras gracilitatis, Arctoceras blomstrandi, Kelteroceras sp., Anakashmirites sp. Очень разнообразны конодонты, которые минозных известняках представлены двумя комплексами /Дагис А.А., 1984/. В большей части толщи встречаются Neogondolella mosheri (доминант), N. jakutensis, N. buurensis, Neospathodus dieneri, N. curtus и др. В верхних горизонтах битуминозных известняков очень редки Neogondolella mosheri. исчезает Neospathodus dieneri, ряд видов рода Xaniognathus и появляются первые Neogondolella milleri. В некоторых разрезах (р. Артист-Юрэгэ) к этому уровню приурочено появление Claraia occidentalis. Аммоноидеи редки, однообразны и плохой сохранности (Xenoceltites sp.).

Очень широко распространены нижнеоленекские отложения в Западном Верхоянье. Здесь к ним отнесена мономская свита, сложенная преимущественно аргиллитами и глинистыми алевролитами /Архипов, 1974/. Она залетает на песчаных или песчано-глинистых отложениях таганджинской (или устькельтерской) свиты и перекрывается песчаниками сынгынканской свиты, не содержащими фаунистических остатков, которые позволили бы провести их точную возрастную привязку. Мономская свита часто достаточно полно охарактеризована аммоноидеями и включает несколько последовательных комплексов. Для иллюстрации сказанного приведем несколько конкретных разрезов мономской свиты Западного Верхоянья.

1. Бассейн верхнего течения р. Лээписке, руч. Бырахтадья, 9 км от устья. Здесь на песчаниках таганджинской свиты согласно залегают:

Мощность, м

- - 6. Песчаники сынгынканской свиты.

В другом обнажении по р. Бырахтадья (в 4 км от устья) в верхней части мономской свиты, примерно 30 м ниже ее кровли, встречены Wasatchites tardus, Anasibirites aff. multiformis, Dieneroceras aff. knechti, которые залегают над слоями с Clypeoceras tzaregradskii, Anakachmirites sp., Kelteroceras vronskyi, Posidonia mimer, Bakevellia reticularis, B. olenekensis,

II. Бассейн верхнего течения р. Тумара, руч. Цератитовый (правый приток р. Кельтер), 2 км от устья.

На косослоистых песчаниках с прослоями алевролитов таганджинской свиты согласно залегают: Мощность, м 1. Переслаивание аргиллитов темно-серых и алевролитов светло-серых, 2. Аргиллиты темно-серые, с прослоями более светлых алевролитов, с многочисленными карбонатными конкрециями. В 2 м от основания встречена 3. Аргиллиты серые, на выветренной поверхности вишневые, с отдельными слоями (до 40 м) более светлых алевролитов и прослоями небольших глинисто-карбонатных конкредий, Аммоноидеи (от основания): 5,5 м - Неdenstroemia sp., 7.0 - Hedenstroemia sp., 9,0-12,0 - Hedenstroemia hedenstroemi, 14,0-18,0 - H. hedenstroemi, 23,0 M -4. Те же аргиллиты, в верхней части обнаженные лишь фрагментарно. Аммоноидеи (от основания): 15,0 м - Clypeoceras? tzaregradskii, Kelteroceras sp., 19,0-23,0 - Clypeoceras? tzaregradskii, Kelteroceras vronskyi. Anakashmirites sp., Arctoceras sp., Hedenstroemia sp., 55,0 M - Clypeoceras? sp. 60 5. Аргиллиты темно-серые, с тонкими прослоями полосчатых алевролитов. Встречаются редкие уплощенные глинисто-карбонатные конкреции..... 20 6. Толща переслаивания аргиллитов темно-серых, глинистых и алевролитов более светлых Видимая мощность III. Бассейн верхнего течения р. Тумара, рч. Урепина (правый приток р. Нуора), 2,7 км от устья. Контакт с таганджинской свитой задернован. Мощность, м

- 1. Аргиллиты темно-серые, с прослоями более светлых алевролитов в основании. В слое многочисленны карбонатные конкреции. Аммоноидеи (от основания): 6,0 м - Hedenstroemia sp., 14,0-16,0 - Hedenstroe-2. Те же аргиллиты. Clypeoceras? tzaregradskii (в 18 м 3. Аргиллиты темно-серые, на выветренной поверхности вишневые, с многочисленными конкрециями с Clypeoceras? sp. 6 4. Аргиллиты серые, с крупными караваеобразными карбонатными конкрециями и с отдельными прослоями и линзами известкового алевролита. Многочисленны аммоноидеи Clypeoceras? tzaregradskii, Kelteroce-
- ras vronskyi, K. kiparisovae, Hedenstroemia sp., Melagathice-
 - 6. Толща переслаивания аргиллитов темно-серых и более светлых
- IV. Бассейн верхнего течения р. Тумара, руч. Ингнери (левый приток р. Нуора), в 4,5 км от устья.

Мощность, м

- 1. Аргиллиты темно-серые, с многочисленными известковыми конкрециями различной формы и размеров. Аммоноидеи: 10,0 м - Hedenstroemia hedenstroemi, 12,0 - H. hedenstroemi, 32,0 - H. hedenstroe-
- 2. Аргиллиты серые, на выветрелой поверхности вишнево-бурые, с многочисленными конкрециями. Аммоноидеи: 5,0 м - Clypeoceras? tzaregradskii, 8,0 - Clypeoceras? tzaregradskii, Kelteroceras

Близкая последовательность аммоноидей в нижнеоленекских отложениях обнаружена также в Восточном Верхоянье. Наиболее полный разрез этого подъяруса изучен в бассейне р. Томпо по руч. Лекеер (правый приток р. Кевенде). Он был кратко описан в связи с проведением геологических экскурсий 27-го Международного геологического конгресса /Архипов и др., 1984/. Ниже приводится этот же разрез, но он уточнен и детализирован в связи с получением дополнительных материалов. На мошной толше глинистых алевролитов с прослоями крупнозернистых алевролитов и песчаников в верхней части, содержащей в нижней половине Vavilovites spp., залегают:

Мощность, м

- 3. Аргиллиты темно-серые, с прослоями небольших глинисто-карбонатных конкреций и с отдельными крупными овальными карбонатными конкрециями. Редки аммоноидеи Clypeoceras? sp. (ex. gr. tzaregradskii), Kelteroceras vronskyi, Melagathiceras globosum. Здесь же встречены двустворки Posidonia mimer, Bakevellia reticularis и конодонты Neogondolella mosheri, N. composita, N. jakutensis, Neospathodus waageni, Arctocristatus borealis.
- 4. Аргиллиты темно-серые, с прослоями крупных (до 1 м) овальных конкреций, иногда с текстурой cone-in-cone. В слое многочисленны крупные Clypeoceras? (С.? gantmani, С.? tzaregradskii), более редки другие аммоноидеи-Paranorites; cf. kolymensis, Kelteroceras vronskyi, Anakashmirites sp., Arctoceras sp................30
- 6. Алевролиты темно-серые, с редкими прослоями мелких конкреций. Более 50 м. Органические остатки в этой толще не встречены. Она перекрывается темно-серыми глинистыми алевролитами с прослоями более светлых крупнозернистых алевролитов в верхней части, содержащими редкие Breoceras sp. (первоначально эти формы / Архипов и др., 1984/ были определены как Dieneroceras ex gr. dieneri, но, учитывая их крупные размеры и форму раковины, более вероятной следует считать их принадлежность к Boreoceras ex gr. demokidovi) Более 50

Раннеоленекские аммоноиден Сибири нуждаются в ревизии, поскольку многие виды и роды из этого уровня трактуются разными исследователями далеко не однозначно. Достаточно привести род Hedenstroemia, из которого нередко выделяются многие виды и даже различные роды, диагностирование которых практически неразрешимая задача. То же самое можно сказать о формах, относимых обычно к родам Clypeoceras (инволютные ра-

ковины) и Paranorites (более эволютные раковины), которые, по всей вероятности, являются эндемичным родом. Ревизия раннеоленекских аммоноидей нами только начата и приведенные определения в известной мере предварительны. Несмотря на это, оперируя, по сути дела, только родовыми определениями, в пределах нижнего оленека можно установить три достаточно дискретных во времени и хорошо прослеживаемых по площади комплекса аммоноидей. Самый нижний из них, обнаруженный во всех регионах, кроме низовьев Оленека и Лены, а также Северного Хараулаха, представлен практически одним родом - Hedenstroemia и скорее всего одним видом - H. hedenstroemi. Кроме хеденштремий в этой части разреза встречаются труднодиагностируемые (из-за "вульгарного" облика) крупные, гладкие, эволютные формы, возможно флемингитиды. Единичные экземпляры рода Hedenstroemia известны также и в следующем комплексе, где они представлены как правило небольшими экземплярами, вероятно, относящимися к другому виду.

Наиболее широко распространен средний комплекс, прослеживаемый от Восточного Таймыра до Охотского побережья и четко устанавливаемый во всех приведенных разрезах. Наиболее характерны для него крупные Clypeoceras? и Paranorites?, а также Arctoceras, Melagathiceras, Kelteroceras. Более редки, но представляют большой интерес для широких корреляций виды родов Euflemingites, Juvenites, Meekoceras, Prosphingites?

Наиболее молодой комплекс распространен ограниченно и представлен небольшим количеством аммоноидей. Наиболее четко он устанавливается в бассейне р. Лээписке, где встречены характерные прионитиды (Wasatchites, Anasibirites) и род Dieneroceras, в более ранних работах ошибочно сближенный с поэднеоленекским Dieneroceras (= Boreoceras) demokidovi /Архипов, 1974/. В бассейне р. Томпо на этом уровне встречен лишь Xenoceltites subevolutus — форма широко распространенная совместно с прионитидами на Свальбардском архипелаге /Weitschat, Lehmann, 1978/.

Выделенные три последовательных комплекса аммоноидей в нижнеоленекских отложениях характеризуют три биостратона — эону Hedenstroemia
hedenstroemi с двумя подэонами — H. hedenstroemi и Paranorites?
kolymensis и зону Wasatchites tardus. Номенклатуру зональных подразделений нижнего оленека нельзя считать безупречной. Более логичной была
бы трактовка всех подразделений в качестве самостоятельных эон, неудачным следует признать выбор вида-индекса подэоны kolymensis, являющегося редкой формой и др., но, желая сохранить стабильность зональной схемы,
эти изменения мы откладываем до завершения палеонтологической ревизии
раннеоленекских аммоноидей.

Аммоноидная схема (см. таблицу) достаточно хорошо коррелируется, по крайней мере для центрального сектора Советской Арктики и Верхоянья, с зональной схемой, выработанной по конодонтам /Дагис А.А., 1984/. Зона milleri является несомненным аналогом зоны tardus. Конодонты зоны mosheri обнаружены только с аммоноидеями подзоны kolymensis, но нижняя граница распространения комплекса неясна. Несколько условной является корреляция конодонтовой зоны repalensis и подзоны hedenstroemi. Дело в том, что конодонты пока не встречены совместно с родом Hedenstroemia, но комплекс зоны nepalensis был выделен из низов терютэхской свиты, которые заведомо моложе подзоны kolymensis и содержат уже оленекские роды аммоноидей. Возможно, что в данном случае границы конодонтовых и аммоноидных зональных подразделений не совпадают. Нет также полной уверенности в том, что зона nepalensis не охватывает отчасти индеполной уверенности в том, что зона nepalensis не охватывает отчасти инде

Ярус	Подъярус	Аммоноидные . зоны		Конодонтовые зоны	Слои по двуст- воркам
		Wasatchites tardus		Neogondolella milleri	Claraia occidentalis
Оленекский	Нюкний	hedenstroemi	Paranorites? kolymensis	Neogondolella mosheri	Posidonia mimer
		Hedenstroemia hedenstroemi	Hedenstroemia hedenstroemi	Neogondolella nepalensis	

ский ярус, поскольку встреченный в ней вид Neospathodus pakistanensis характерен также для верхов инда.

Двустворки очень редки и представлены долгоживущими палеотаксодонтами в подзоне hedenstroemi, но подзона kolymensis содержит очень карактерный комплекс /Дагис, Курушин, 1985/, в котором доминируют роды Posidonia (P. mimer, P. olenekensis) и Bakevellia (B. reticularis, B. olenekensis). Специфическим видом двустворок для зоны tardus является Claraia occidentalis, широко распространенный на этом уровне в других бореальных регионах (Свальбард, Канада).

Корреляция зональной схемы нижнего оленека Сибири в пределах бореальных регионов не вызывает больших затруднений. Зона tardus эквивалентна одноименной зоне Арктической Канады и Британской Колумбии /Silberling, Tozer, 1968/ и слоям с Wasatchites Свальбарда /Корчинская, 1975/. Подзона kolymensis Сибири, в которой встречены роды Euflemingites, Meekoceras, Juvenites, Megalaticeras и др., может быть сопоставлена тольЛопастная линия. Вентральная лопасть узкая и глубокая, разделенная низким медиальным седлом на две ветви. Боковая лопасть очень широкая, первая умбональная лопасть не широкая и значительно мельче.

Сравнение. По форме раковины описываемые экземпляры наиболее близки к Juvenites septentrionalis Smith /Smith, 1932, р. 110, tab. 31, fig. 31-40/, отличаясь лишь незначительно более узким умбиликусом и более тонкой скульптурой. По строению лопастной линии и характеру скульптуры большое сходство обнаруживается с J. dieneri Hyatt et Smith /Hyatt, Smith, 1905, р. 79, tab. 7, fig. 5-25/, по форме раковина у оленекских экземпляров более эволютная и менее вздутая.

Распространение. Оленекский ярус, зона hedenstroemi, подзона kolymensis севера Средней Сибири.

Материал. Низовье р. Оленек, рч. Кыра-Хос-Терюттээх (бассейн р. Буур) - 4 экз.

СПИСОК ЛИТЕРАТУРЫ

- Архинов Ю.В. Стратиграфия триасовых отложений Восточной Якутии. Якутск: Якут. кн. изд-во, 1974. 270 с.
- Архипов Ю.В., Афанасьев М.Г., Дагис А.А. и др. Экскурсия 054. Пермские и триасовые отложения Якутии // Сводный путеводитель экскурсий: 27-й Международный геологический конгресс. Новосибирск, 1984. С. 68-88.
- Воинова Е.В., Кипарисова Л.Д., Робинсон В.Н. Головоногие // Атлас руководящих форм ископаемых фаун СССР. М., 1947. Т. VII: Триасовая система. С. 124—175.
- <u>Дагис А.А.</u> Раннетриасовые конодонты севера Средней Сибири. Новосибирск: Наука. Сиб. отд-ние, 1984. — 69 с.
- <u>Дагис А.С.</u> Основные вопросы детальной стратиграфии и палеобиогеографии бореального нижнего триаса // Мезозой Советской Арктики. Новосибирск, 1983. С. 19–27.
- <u>Пагис А.С.</u> Проблемы биостратиграфии триаса Сибири и Дальнего Востока // Биостратиграфия мезозоя Сибири и Дальнего Востока. – Новосибирск, 1986. – С. 9-16.
- <u> Дагис А.С., Архипов Ю.В., Бычков Ю.М.</u> Стратиграфия триасовой системы Северо-Восточной Азии. - М.: Наука, 1979. - 241 с.
- <u>Дагис А.С., Дагис А.А.</u> Корреляция бореального нижнего триаса // Геология и геофизика. 1982. № 4. С. 3-9.
- Дагис А.С., Дагис А.А., Казаков А.М., Курушин Н.И. Стратиграфия триаса Буур-Оленекского района // Био- и литостратиграфия триаса Сибири. М., 1982. С. 74-81.
- <u>Пагис А.С., Казаков А.М.</u> Стратиграфия, литология и цикличность триасовых отложений севера Средней Сибири. Новосибирск: Наука. Сиб. отд-ние, 1984. 176 с.
- Дагис А.С., Курушин Н.И. Триасовые брахиоподы и двустворчатые моллюски севера Средней Сибири. М.: Наука, 1985. 159 с.
- Ермакова С.П.О возможности расчленения зоны Hedenstroemia mojsisovicsi (нижний триас) в Верхоянье // Бкл. НТИ. Якутск, 1977.- С. 7-9.
- Захаров Ю.Л. Раннетриасовые аммоноидеи Востока СССР. М.: Наука, 1978. 224 с.

- Казаков А.М., Дагис А.С., Карогодин Ю.Н. Литостратиграфические подразделения триаса севера Средней Сибири // Био- и литостратиграфия триаса Сибири. - М.: Наука, 1982. - С. 5-36.
- Корчинская М.В. Биостратиграфия и фауна триасовых отложений Свальбарда: Автореф. дис. ... канд. геол.-мин. наук. Л., 1975. 25 с.
- <u>Попов Ю.Н.</u> Триасовые аммоноидеи Северо-Востока СССР. М.: Госгеолтехиздат, 1961. - 179 с.
- Hyatt A., Smith J.P. The Triassic cephalopod genera of North America // U.S. Geol. Surv. Prof. Pap. 1905, Ser. C, N 40. 394 p.
- Silberling N.J., Tozer E.T. Biostratigraphic classification of the marine Triassic in North America // Geol. Soc. Amer. Spec. Pap. 1968. N 110. 63 p.
- Smith J.P. Lower Triassic ammonoids of North America | U.S. Dept. Interior. Prof. Pap. 1932. N 167. 199 p.
- Tozer E.T. Triassic stratigraphy and faunas, Queen Elizabeth Islands, Arctic Archipelago // Geol. Surv. Canada. 1961.- N 316. 116 p.
- Tozer E.T. Lower Triassic stages and ammonoid zones of Arctic Canada // Geol. Surv. Canada. 1965. Pap. 65-12. 14 p.
- Tozer E.T. A standart for triassic time // Bull. Geol. Surv. Ca-nada. 1967. N 156. 101 p.
- Weitschat W., Lehmann U. Biostratigraphy of the uppermost part of the Smithian Stage (Lower Triassic) of the Botneheia, W-Spitzbergen // Mitt. Geol. Paläont. In-t. Univ. Hamburg. 1978. Hf. 48. S. 85-100.

А.М. Казаков

ФАЦИАЛЬНО-ГЕНЕТИЧЕСКАЯ МОДЕЛЬ И ЛИТОСТРАТИГРАФИЯ НИЖНЕТРИАСОВЫХ ОТЛОЖЕНИЙ ВИЛЮЙСКОЙ СИНЕКЛИЗЫ И ЗАПАДНОГО ВЕРХОЯНЬЯ

Формирование триасовых отложений в пределах Западного Верхояныя и Вилюйской синеклизы происходило в пограничной полосе между сущей и морем. Морской бассейн устойчиво располагался в течение всего периода на северо-востоке Азии /Атлас... 1966/. Подобные зоны являются одним из главных участков терригенного осадконакопления на Земле, а наиболее активные из них приурочены к дельтам крупных рек - первому глобальному поясу лавинной седиментеции /Лисицин, 1984/. Комплексы дельтовых отложений отличаются сочетанием черт речных и морских осадков, большими мощностями и высокой скоростью аккумуляции. Эти особенности присущи триасу Западного Верхоянья и Вилюйской синеклизы. Система мощностью до 2,2 км представлена чередующимися образованиями; мелководно-морскими с остатками морской (в том числе стеногалинной) фауны, солоновато-водными прибрежными с редкими раковинами фораминифер и с ходами червей и пресноводными с остатками наземных растений. Скорость осадконакопления в среднем по системе 55 м/млн лет. Для сравнения - скорость седиментации в подводном конусе выноса р. Амазонки в голоцене составляет 20-60 мм/1000 лет /Лисицин, 1984/. Если при этом учесть значительное уплотнение триасовых пород по сравнению с современными наносами р. Амазонки, то триасовое осадконакопление следует считать более "скоростным".

Суммарная мощность таганджинско-мономских образований (верхний

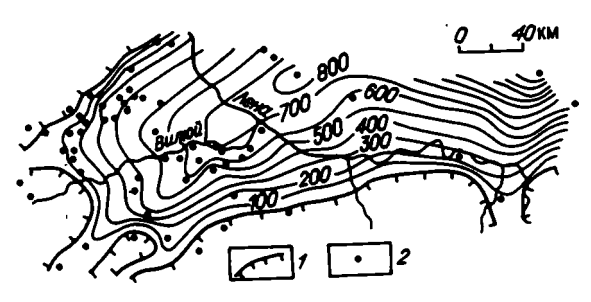


Рис. 1. Карта суммарных мощностей таганджинской и мономской свит.

 границы современного распространения отложений;
 скважины и обнажения.

инд - нижний - верхний оленек) достигает 820 м (рис. 1).

Соответственно скорость осадкообразования (в зависимости от предлагаемых неоднозначных абсолютных датировок раннего триаса — 15 /Афанасьев и др., 1975/ или 6 /Odin, Kennedy, 1982/ млн лет) может достигать 90—220 м/млн лет. Призма таганджинско-мономских отложений ориентирована на северо-восток и хорошо согласуется с очертаниями Вилюйской синеклизы. Максимальная мощность отмечается в центральной части синеклизы. Это свидетельствует об однонаправленном выносе терригенного материала по Вилюйскому желобу в пределы Западного Верхоянья, а также с постоянном и унаследованном прогибании земной коры.

В поэднем инде (таганджинское время) (рис. 2, 3) заведомо морские шельфовые обстановки седиментации существовали в Южном Верхоянье. Здесь (бассейны рек Вост. Хандыга, Томпо) нижний триас полностью охарактеризован остатками стеногалинной фауны /Архипов и др., 1984/. Западное Верхоянье представляло собой подводную дельтовую платформу, в меньшей степени надводную, а также склон и основание дельты, периодически менявших свое положение по латерали. Палеобатиметрические колебания предопределили четырех членное строение таганджинской свиты.

В опорном разрезе Западно-Верхоянской фациальной зоны (бассейн р. Нуора) первая (нижняя) подсвита в основании сложена темно-зелено-серы-

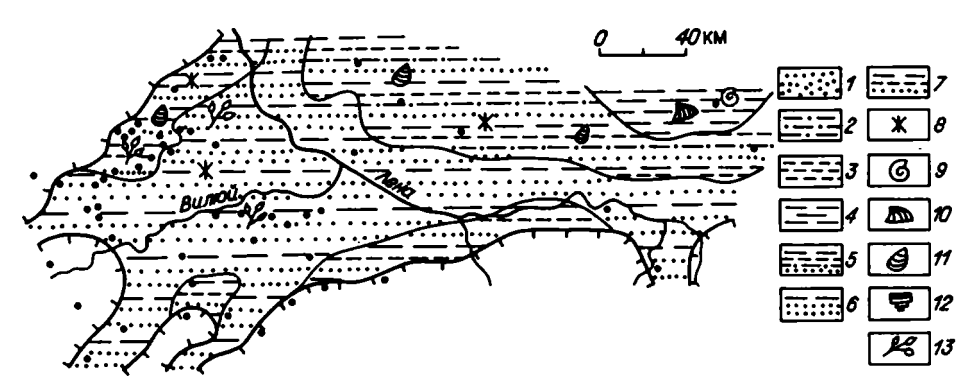
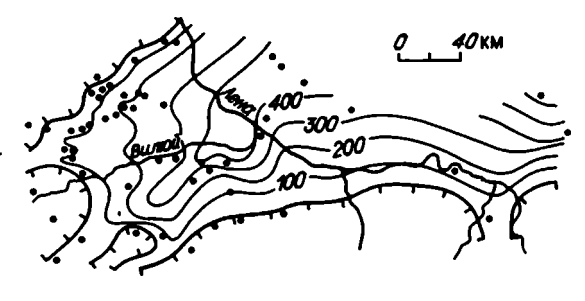


Рис. 2. Литолого-фациальная схема Вилюйской синеклизы и Западного Верхоянья в позднем инде (таганджинское время).

1 - песчаники и крупнозернистые песчаные алевролиты; 2 - крупнозернистые алевролиты; 3 - алевролиты; 4 - аргиллиты и мелкозернистые глинистые алевролиты (нижняя - средняя сублитораль); 5 - продельта, фронт дельты (нижняя часть); 6 - фронт дельты (верхняя часть), дельтовая платформа, нижняя часть аллювиальной равнины; 7 - дельтовая платформа (краевые части, существенно лагунные отложения); 8 - пестроцветность пород; 9 - аммоноидеи; 10 - двустворчатые моллюски; 11 - конхостраки; 12 - фовраминиферы; 13 - флора. Ост. усл. обозн. см. на рис. 1.

Рис. 3. Карта мощностей таганджинской свиты (верхняя часть инда). Усл. обозн. см. на рис. 1...

ми горизонтально- и мелкокосослоистыми крупнозернистыми алевролитами нижней части фронта дельты, переслаивающи-



мися с темно-серыми неяснослоистыми мелкозернистыми глинистыми алевролитами продельты (12 м) и песчаниками верхней части фронта дельты
(12 м) - светло-серыми средне-мелкозернистыми с горизонтальной, косой
(серии до 0,3 м) и перекрестной слоистостью. Они сменяются флишоидами
продельты (53 м) - темно-серыми неясногоризонтальнослоистыми мелкозернистыми глинистыми алевролитами и аргиллитами с алевритовыми турбидитами. Подсвита завершается (33 м) продельтовыми темно-серыми аргиллитами.

Вторая подсвита представлена более мелководными, в основном песчано-алевритовыми осадками фронта дельты с подчиненными прослоями продельтовых мелкозернистых алевролитов. В основании залегают песчаники (22 м) зеленовато-серые мелкозернистые с прослоями аргиллитов, с остатками конхострак, с подводно-оползневыми "рулетами", характерными для краевых частей дельты. Они сменяются (16 м) продельтовыми темно-серыми мелкозернистыми глинистыми алевролитами и аргиллитами. Далее прослеживаются снова осадки фронта дельты – песчаники (38 м) пестрецветные, полосчатые, мелкозернистые, горизонтально- и косослоистые, алевролиты (17 м) зеленовато-серые, крупнозернистые, с горизонтальной мелкой косой мульдообразной и волнистой слоистостью, с текстурами оползания, с прослойками продельтовых аргиллитов и глинистых алевролитов, песчаники (10 м) темно-зеленовато-серые, мелкозернистые, неслоистые.

Третья подсвита отличается более глубоководным генезисом. В основании залегают осадки (83 м) продельты – оскольчатые темно-серые аргилиты и различно окрашенные мелкозернистые глинистые алевролиты с алевритовыми турбидитами – горизонтально- и косослоистыми алевролитами мощностью 2-30 см иногда с подводно-оползневыми "рупетами", мелкими включениями фосфоритов, с остатками конхострак. Выше (82 м) среди флишоидов продельты, представленных темно-серыми аргилитами и глинистыми алевролитами с прослоями алевритовых турбидитов (0,2-0,4 м), появляются прослои (до 15 м) песчаников верхней части фронта дельты – серых светлых средне-мелкозернистых с горизонтальной крупной (серии 0,2-0,4 м) косой и перекрестной слоистостью, со скоплениями глинистой гальки различных размеров, образовавшейся за счет разрушения межканальных осадков дельтовой платформы.

Четвертая подсвита более мелководная, сложена песчаными образованиями верхней части фронта дельты и дельтовых бороздин платформы, с подчиненными прослоями глинисто-алевритовых пород продельты, нижней части фронта дельты и межрусловых участков платформы. Посчаники (мощностью 3-10 м) - полосчатые, пестроцветные, коричнево-, зеленовато- и светло-серые средне-мелкозернистые крупнокосослоистые, перекрестно-слоистые (серии до 1,5 м), горизонтально-слоистые, со скоплениями глинистой гальки. Глинисто-алевритовые породы (мощностью 2-6 м) - с горизонтальной и волнистой слоистостью, неслоистые, иногда с небольшими "рулетами" подводных оползней.

Геохимические показатели (аутигенно-минералогические формы железа,

рассеянный органический углерод и их соотношения) съидетельствуют о неустойчивом солевом режиме седиментационного бассейна. В балансе железа для более "мористых" отложений (первая и третья подсвиты) количество закисного железа составляет 78-81%, обломочного - 8-13 %, для более мелководных (вторая и четвертая подсвиты) соответственно 56-74 и 18-35 %. Значения отношения пиритного железа к органическому углероду (0,0-0,6) колеблются преимущественно в пределах, характерных для пресноводных и солоновато-водных фаций.

Вилюйская синеклиза, занимавшая в фациальном ряду крайнее приближенное к источникам сноса положение, представляла собой дельтовую платформу, преимущественно надводную (см. рис. 2). Осадки отлагались в ветвящихся дельтовых каналах, протоках, бороздинах, на межрусловых участках, в лагунах, реликтовых озерах, болотах, старицах. Формировались бары, косы, пересыпи. Состав и строение отложений здесь близки западноверхоянским, но с элементами большей "мелководности" (гранулометрический состав, косослоистые текстуры, пестроцветность, прослои внутриформеционных остроутловатых брекчий, конгломератов, остатки наземных растений и их корневых систем, трешины усыхания и т.п.). Необходимо отметить значительное участие в составе пород синеклизы, особенно в ее краевых частях, хорошо окатанного основного вулканогенного материала, прослои орто- и паратуффитов. Это свидетельствует о том, что продукты основного вулканизма, широко развитого в раннем триасе на Сибирской платформе, в значительных объемах поступали из областей сноса в пределы Вилюйской синеклизы. Ввиду слабой устойчивости к выветриванию и транспортировке они концентрировались главным образом в краевых частях бассейна седиментации. Основные вулканические источники располагались, видимо, в пределах Тунгусской синеклизы.

Весьма характерно для таганджинской свиты Вилюйской синеклизы и Западного Верхоянья отсутствие остатков морской фауны. Довольно широко развиты лишь конхостраки — эвригалинные организмы, находки которых ча— ще связаны с пестроцветными отложениями лагун. Это можно объяснить значительной опресненностью вод бассейна за счет речного стока и интенсивным поступлением терригенного материала, быстро засыпавшего дно авандельты.

Оленекский век - время максимальной трансгрессии в триасе на северо-востоке Азии, связанной с эвстазией Мирового океана. Пик ее приходится на ранний оленек /Казаков и др., 1982/. В Западном Верхоянье и Вилюйской синеклизе этому времени соответствуют в целом также наиболее "мористые" отложения триаса (мономская свита): на востоке - сероцветные нормально-морские со стеногалинной фауной, на западе - красноцветные опресненные с конхостраками (рис. 4). Подъем уровня океана вызвал постепенное затопление дельты морскими водами. Основной источник сноса, его направление, интенсивность и области разгрузки оставались прежними (см. рис. 2-4; рис. 5). На начальном этапе трансгрессии в бортовых районах Вилюйской синеклизы (краевые части дельты) сразу же широкое развитие получили системы лагун, в то время как в ее центральной осевой части сохранились гидродинамически активные условия потоков. При дальнейшем продвижении моря к источникам сноса значение потоковых систем уменьшилось, господствующее положение заняли лагуны, сообщавшиеся между собой и с морем.

В опорном разрезе триаса Западно-Верхоянской фациальной зоны (бассейн р. Нуора) мономская свита представлена нормально-морскими средненижнесублиторальными алевритово-глинистыми осадками с остатками аммоноидей, двустворок и других морских организмов. В основании (26 м) залегают среднесублиторальные продельтовые темно-серые глинистые неясно- и тонкогоризонтальнослоистые алевролиты с линзой (1 м) внутриформационного

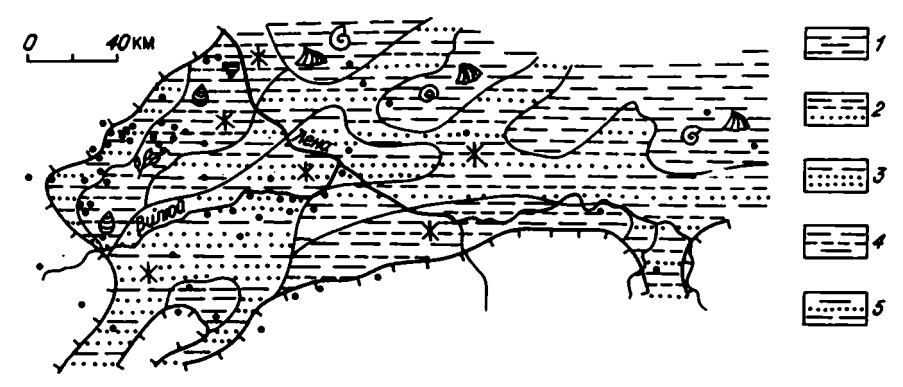


Рис. 4. Литолого-фациальная схема Вилюйской синеклизы и Западного Верхоянья в раннем - поэднем оленеке (мономское время).

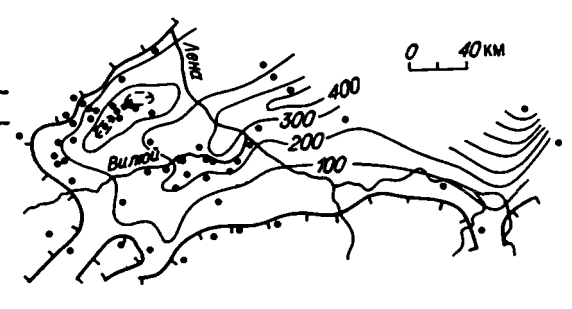
1 - нижняя - средняя сублитораль, продельта; 2 - фронт дельты, дельтовая платформа (нижняя часть); 3 - фронт дельты (верхняя часть), дельтовая платформа, нижняя часть аллювиальной равнины; 4 - дельтовая платформа (краевые части, лагунные отложения); 5 - дельтовая платформа (краевые части, лагунно-аллювиальные отложения). Ост. усл. обозн. см. на рис. 1, 2.

глинистого конгломерата. Выше (58 м) алевролиты переслаиваются с нижнесублиторальными темно-серыми оскольчатыми аргиллитами, содержат раковины аммоноидей, двустворок, конхострак. Свита завершается (23 м) нижнесублиторальными темно-серыми, тонко- и неясногоризонтальнослоистыми аргиллитами с остатками аммоноидей, двустворок, конхострак. По определению Н.И. Курушина, доминантами мономского сообщества были бакевеллии. Трофическую структуру ценоза слагают фильтраторы высокого уровня - биссусноприкрепляющиеся моллюски, кроме того, характерны зарывающиеся эвриоксибионтные организмы (конхостраки). Это сообщество селилось на мягких глинистых грунтах затишных участков, главным образом нижней сублиторали. Многочисленны псевдопланктонные двустворки (посидонии), обитавшие, по-видимому, в условиях слабоподвижной гидродинамики открытых частей морского бассейна при нормальном кислородном режиме. Значительный вынос пресных вод в Западно-Верхоянскую эону подтверждается редкостью находок стеногалинных аммоноидей, присутствием конхострак и геохимическими данными (содержание пиритного железа 0,5-0,6 % от реакционноспособного, значение отношения пиритного железа к органическому углероду (0-0,22) преимущественно в пределах, характерных для солоновато-водных фаций и т.д.).

Вилюйская синеклиза в оленеке представляла собой подводную, в меньшей степени надводную дельтовую платформу (см. рис. 4). В ее краевых частях в течение всего мономского времени стабильно располагалась сложная

система лагун, имевших связь с морем (остатки фораминифер на Северо-Линденской площади) и сообщавшихся между собой проли-

Рис. 5. Карта мощностей мономской, хайлахской свит и верхней части теганджинской свиты (нижний оленек и нижняя часть верхнего оленека). Усл. обозн. см. на рис. 1.



ния интервала 3400—3430 м представлен песчаником зеленовато-серым, светло-зеленовато-серым мелкозернистым, средне-мелкозернистым, средне-зернистым, крупнокосослоистым, неяснослоистым и массивным, прослоями известковистым, с глинистой галькой различных размеров рассеянной и в виде скоплений, внутриформационных конгломератов. Песчаник полевошпатово-кварцево-граувакковый с хлоритовым, гидрослюдисто-хлоритовым, кальцитовым цементом. Зерна полуокатаны и окатаны. Состав: кварц, серицитизированные плагиоклазы, пелитизированный ортоклаз, микроклин, обломки кремнистых пород, фельзитов, хлоритизированных основных эффузивов, глинистых пород, девитрифицированное вулканическое стекло, хлоритизированный биотит, гидратированный мусковит. Встречаются тонкие полоски естественного шлиха, состоящие из черных рудных минералов.

Литостратиграфическое строение нижнетриасовых отложений Вилюйской синеклизы и Западного Верхоянья показано на рис. 7. Сложные возрастные и латеральные взаимоотношения таганджинской, мономской и хайлахской свит вызывают необходимость выделения таганджинского и мономского горизонтов. В данном случае под горизонтом понимается региональное хроностратиграфическое подразделение, объединяющее по латерали одновозрастные породы разнюго литологического состава — свиты, подсвиты, их части. Его назначение — инструмент для всевозможных геологических построений (палеогеографических, палеотектонических, структурных и т.п.), требующих изохронной корреляции.

Мономский горизонт считается региональным экраном основного продуктивного комплекса Вилюйской синеклизы — таганджинской свиты. Приведенные материалы свидетельствуют о его латеральной неоднородности, значительном участии в составе горизонта песчаных и алевритовых пород в центральной осевой части синеклизы. При проведении нефтегазогеологических работ необходимо учитывать, что в пределах развития хайлахской свиты качество мономского экрана значительно ухудшается, ранг его может меняться на покальный. Генетическая интерпретация нижнетриасовых отложений как дельтовых требует пересмотра представлений о характере и типах возможных неантиклинальных ловушек на основе эволюции микрофаций дельты.

СПИСОК ЛИРЕРАТУРЫ

- <u>Атлас</u> литолого-палеогеографических карт СССР. М.: ГУГК и МГ СССР, 1966. Т. 3. Триас.
- Афанасьев Г.Д., Зыков С.И. Геохронологическая шкала фанерозоя в свете новых значений постояжного распада. М.: Наука, 1975. 130 с.
- Казаков А.М., Дагис А.С., Курушин Н.И. Основные черты палеогеографии триаса севера Средней Сибири // Геология и нефтегазоносность Енисей-Хатангского бассейна. – М.: Наука, 1982. – С. 54-75.
- <u>Лисицин А.П.</u> Глобальные пояса лавинной седиментации // Обстановка осадконакопления и их эволюция. - М.: Наука, 1984. - С. 4-35.
- Архипов Ю.В., Афанасьев М.Г., Дагис А.А. и др. Пермские и триасовые отложения Якутии // Сводный путеводитель экскурсий О52, О53, О54, О55: 27-й Международный геологический конгресс. – Новосибирск: Наука. Сиб. отд-ние, 1984. – С. 68-88.
- Odin G.S., Kennedy W.J. Mise & jour de léchelle de témps mésozoiques. // Acad. sci. 1982. Sér. 2, vol. 294, N 6. P. 383-386.

ПОСИДОНИИ ИЗ ТРИАСОВЫХ ОТЛОЖЕНИЙ СИБИРИ И ДАЛЬНЕГО ВОСТОКА

Род Fosidonia был установлен X. Бронном в 1828 г. с типовым видом P. becheri Bronn из нижнего карбона Германии. Несмотря на более чем 150-летнюю историю исследования вопрос о его объеме, диагностике и таксономическом положении остается не вполне ясным. В "Treatise on Invertebrate Paleontology" / 1969/ диагноз рода следующий: "Раковины овальные либо ромбические с концентрическими складками, ушки отсутствуют либо слабо развитые у взрослых особей; овоидные раковины с субцентральными макушками, расположенными вдоль короткого замочного края; биссусный вырез известен только у ювенильных карбоновых форм". Род Posidonia распространен от нижнего карбона до верхней юры.

А.М. Садыков /1962/, изучавший позднедевонских и раннекарбоновых посидоний Центрального Казахстана, в диагнозе рода указывает, что "... замочный край прямой или слабо изогнутый, с тонкой бороздкой для линейной связки, замок беззубый; ушки редуцированы до полного исчезновения. На внутренней поверхности — два отпечатка мускулов—замыкателей: передний — маленький, соскообразный, приближенный к переднему верхнему углу раковины; задний — достаточно большой, неглубокий, расположенный приблизительно посередине высоты створки, на некотором расстоянии от заднего края. Мантийная линия неизвестна, однако, можно полагать, является цельной. Остракум двуслойный, причем внутренний перламутровый слой чрезвычайно тонкий".

Из триасовых отложений (нижнеоленекский подъярус) впервые представитель рода Posidonia - P. mimer Oeberg с архипелага Свальбард был описан Р. Обергом /Oeberg, 1877/. В начале XX в. Р. Виттенбург /Wittenburg, 1910/ и Д. Бём /Böhm, 1912/ из оленекского яруса Свальбарда описали два вида: Posidonomya (= Posidonia) backlundi Witt. В 50-х годах и позднее из бореальи Posidonia tenuissima Böhm. ного триаса, главным образом нижнего, были установлены следующие виды посидоний: P. christophori Fopow, 1948, P. olenekensis Popow, 1964, P. subtilis Bytschk, et Efim., 1968, P. sossunovi Bytschk. et Efim., 1968, P. kulensis Bytschk., 1976, P. ekiatapensis Bytschk. et Efim., 1976, P. sibirica Kur., 1980, P. taimyrensis Kur., 1980. Из Приморского края Л.Д. Кипарисовой /1938. 1954, 1972; Атлас..., 1947/ приведены описания нескольких видов из нижнего триаса: Posidonia sp. nov. indet. (= P. mimer), P. aff. tenuissima Böhm (= P. tenuissima), P. sp. (вероятно, P. mimer), из анизийского яруса - P. abrekensis Kipar., P. ussurica Kipar., из ладинского - P. wengensis Wissm., из карнийского - P. subwengensis Kipar. Т.М. Окуневой /1976/ из инда и нижнего оленека Хабаровского края описаны Posidonia cf. mimer Oeberg (= P. mimer), P. abrekensis Kipar. (=P. mimer) # P. tenuissima следний вид установлен в верхнеоленекском подъярусе Мангышлака /Гаврилова, Курушин, 1986/. Несмотря на такую большую историю изучения посидоний, ни для одного из вышеуказанных видов не было приведено описания внутреннего строения раковины. Лишь Л.Д. Кипарисовой /1972/ в диагнозе рода Posidonia было указано наличие тонкой бороздки для линейной Связки.

Материалом для данной статьи послужила коллекция посидоний (около 5000 экз.), собранная главным образом авторами, а также геологами ПГО "Якутскгеология" преимущественно из нижнего оленека (зона hedenstroemi, подзона kolymensis). Хорошая сохранность раковин позволила выявить элементы внутреннего строения: замочную плошадку с треугольной, скошенной кзади широкой и мелкой лигаментной ямкой под макушкой, один мускульный отпечаток и три-четыре субконцентрические, прерывающиеся на мускульном отпечатке, примакушечные круры. Кроме того, раковины имеют переднее и заднее зияния и маленькие ушки.

Таким образом, исследованные раковины, имея внешнее сходство с родом Posidonia, характеризуются совершенно иным внутренним строением и на этом основании выделяются в новый род Peribositria. Следует подчеркнуть, что внутренние элементы раковины, в частности примакушечные круры и мускульные отпечатки, были отмечены лишь у некоторых видов. Так, круры, укрепляющие раковину, развиты только у Peribositria tenuissima и P. ророwi, а мускульные отпечатки – и у P. mimer. Круры отсутствуют у видов P. mimer, F. backlundi, P. sossunovi и P. sibirica, имеющих грубую гофрированную скульптуру, и у форм P. subtilis, P. tai—myrensis, P. jakutica, P. inflata и P. borealis с ослабленными концентрическими складками. По-видимому, эти элементы не всегда сохраняются. С другой стороны, функциональное назначение крур заключается в укреплении раковины. И не вполне ясен факт их отсутствия у видов с ослабленной концентрической скульптурой (возможно, круры и мускульные отпечатки могут иметь таксономическое значение).

Новый род Peribositria по наличию лигаментной ямки близок роду Bositra Gregorio из юры Европы. Однако у последнего длина ямки составляет 45 % длины замочного края, тогда как у Peribositria эта величина равна 35 %. Мускульные отпечатки у бозитр не известны, а примакушечные круры отсутствуют.

Р. Джефферис и П. Минтон /Jefferies, Minton, 1965/, проведшие ревизию некоторых юрских посидоний (Р. buchi, Р. radiata), отнесли их к роду Bositra. Кроме этого, ими был рассмотрен вопрос функциональной морфологии вида В. buchi, на основании чего постулировано: средства передвижения бозитр были аналогичны таковым семейства Ресtinidae. Исходя из фациальных особенностей, можно предположить, что В. buchi (Römer) был, скорее всего, нектопланктонным (пелагическим), а не псевдопланктонным, так как в типичной фации (сланцы, часто битуминозные, с незначительным содержанием известняка) этого вида редко отмечаются находки других возможных представителей псевдопланктона; отсутствуют признаки прикрепления на всех стадиях жизни и имеются морфологические признаки способности организма к плаванию (переднее и заднее зияния, тонкая раковина, предполагаемый широкий угол открывания) /Jefferies, Minton, 1965/.

Перибозитрии, вероятнее всего, также вели пелагический образ жизни. Их находки приурочены к битуминозным известнякам, аргиллитам и глинам совместно с пелагическими организмами (аммоноидеи, наутилоидеи) и тон-костенными двустворками (бакевеллии, лептохондрии, даонеллы). Наличие переднего и заднего зияний, тонкой раковины, мускульного отпечатка с бороздками и примакушечных крур, которые не только укрепляли раковину, но и, возможно, могли нести вспомогательную функцию при открывании створок, указывают, вероятно, на возможность передвигаться подобно современным пектинидам и лимидам.

При подготовке статьи авторы пользовались советами и консультациями А.С. Дагиса, Ю.М. Бычкова, М.В. Корчинской и И.В. Полуботко. Общая

редакция статьи и номенклатурные замечания сделаны А.С. Дагисом. Всем вышеназванным лицам авторы выражают самую искреннюю признательность.

Оригиналы коллекции № 853 хранятся в монографическом отделе Геоло-гического музея Института геологии и геофизики СО АН СССР в Новосибирске.

KJACC BIVALVIA

ПОДКЛАСС Pteriomorphia

ОТРЯД Pectinoida

Семейство Posidoniidae Frech, 1909

Pog Peribositria Kurushin et Truschelev, gen. nov.

Название рода от регі (лат.) - около и от близкого рода Воsitra.

Типовой вид. Peribositria mimer (Oeberg), нижний триас, оленекский ярус, нижний подъярус, архипелат Свальбард.

Описание. Раковина от маленьких до крупных размеров, тонкостенная, равностворчатая, с передним и задним зияниями, от округлой до удлиненно-скошенной, слабо- и сильновыпуклая, с наибольшей выпуклостью в примакушечной, средней или нижней части, обычно с килеобразным перегибом и пологой депрессией, ограничивающей киль. Макушки маленькие, приостренные, вздутые, центральные или эксцентричные, прямые или несколько направленные вперед, слабо выступающие над замочным краем. Наружная поверхность с концентрической, радиальной или комбинированной скульптурой. Ушки маленькие, четко отделены от переднего и заднего краев раковины и находятся в плоскости смыкания створок.

Замочный край прямой и составляет 0,2-0,6 длины раковины. Под макушкой находится треугольная, скошенная кзади, широкая лигаментная ямка. Мускульный отпечаток среднего размера, овальный, слабоуглубленный, различной степени рельефности, с продольными бороздками и расположен в примакушечной части. В верхней половине раковины развито до 3-4 субконцентрических, прерывающихся на мускульном отпечатке рядов различной протяженности примакушечных крур. Иногда короткие круры радиального направления отмечаются в средней части створки и на мускульном отпечатке (рис. 1).

Видовой состав. Из триасовых отложений известно 18 видов: Peribositria mimer (Oeberg), P. backlundi (Wittenburg), P. tenuissima (Böhm), P. christophori (Popow), P. popowi (Bytschkov), P. sossunovi (Bytschkov et Efimova), P. subtilis (Bytschkov et Efimova), P. ekiatapensis (Bytschkov et Efimova), P. abrekensis (Kiparisova), P. ussurica (Kiparisova), P. wengensis (Wissmann), P. subwengensis (Kiparisova), P. sibirica (Kurushin), P. taimyrensis (Kurushin), P. jakutica sp. nov., P. borealis sp. nov., P. tompoensis sp. nov., P. inflata sp. nov.

Сравнение. От рода Posidonia Bronn отличается наличием замочной площадки пластинчатого строения с треугольной лигаментной ямкой, одним мускульным отпечатком и примакушечными крурами. От Bositra Gregorio — наличием ясного мускульного отпечатка, примакушечными крурами и менее широкой лигаментной ямкой. От Aulacomyella Furlandi — присутствием переднего ушка и внутренним строением. От Didymotis Gerhard — наличием переднего ушка, меньшим задним ушком, отсутствием углубленных радиальных ребер в средней части раковины.

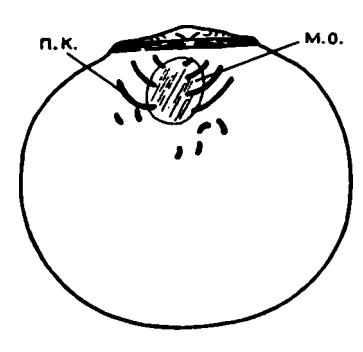


Рис. 1. Левая створка рода Peribositria gen. nov.; п. к. примакушечные круры, м.о. – мускульный отпечаток.

Распространение. Триас, космополит.

Peribositria mimer (Oeberg, 1877)

Табл. IX, фиг. 1-11; рис. 2

Posidonia mimer: Oeberg, 1877, S. 15, Tab. V, Fig. 9-14; Kittl, 1912, S. 28;

Tozer, 1961, p. 101, tab. XXVIII, fig. 6; Архипов, 1974, табл. У, фиг. 2; Бычков и др., 1976, с. 63, табл. 3, фиг. 14; Корчинская, 1982, табл. VI, фиг. 4; Дагис, Курушин, 1985, с. 96, табл. XIX, фиг. 5. (поп 6; табл. XX, фиг. 1).

Posidonia cf. mimer: Полов, 1961, табл. XI, фиг. 2; Окунева, 1976, с. 31, табл. I, фиг. 5, 14.

Posidonia mimer olenekensis: Возин, Тихомирова, 1964, с. 25, табл. II, фиг. 2; Бычков и др., 1976, с. 63, табл. 3, фиг. 17-19.

Posidonia olenekensis: Дагис, Курушин, 1985, с. 97, табл. XIX, фиг. 7-9; табл. XX, фиг. 2-5; Курушин, 1985, с. 87, табл. IV, фиг. 6, 7.

Posidonia sp. nov. indet.: Кипарисова, 1938, с. 236, табл. III, фиг. 17, 18; табл. IV, фиг. 4.

Fosidonia kulensis: Бычков и др., 1976, с. 63, табл. 3, фиг. 15.

Posidonia abrekensis: Окунева, 1976, с. 31, табл. I, фит. 10, 11.

Голотип. Не обозначен. В качестве лектотипа предлагаем экземпляр, изображенный у П. Оберга/Oeberg, 1877, S. 15, Tab.V, Fig. 11/ Оленекский ярус, нижний подъярус архипелага Свальбард.

Описание. Раковины среднего размера (до 17 мм в высоту и 22 мм в длину), овальные либо овально-трапециевидные, иногда слегка скошенные (В/Д = 0,7-0,85), слабо и умеренно выпуклые с наибольшей выпуклостью в примакушечной части, равностворчатые. У овально-трапециевидных экземпляров задний край косо усечен и имеет угловатое сочленение с нижним и замочным краями. Замочный край прямой, относительно короткий и составляет 1/3 длины раковины. Макушки маленькие, слабо эксцентричные (отстоят от переднего края примерно на 2/5 длины раковины), вздутые и слегка выступают за замочный край. В задней части раковины проходит килеобразный перегиб либо он отсутствует. Поверхность створок покрыта неравномерными концентрическими складками и моршинами, часто разными по силе: от грубых до умеренных. Промежутки между ними узкие и довольно глубокие. Иногда наблюдается тонкая радиальная струйчатость. Ушки небольшие, уплошенные, тупотреугольные. Переднее ушко маленькое, очень узкое, заднее – длиннее переднего в 1,3 раза и несколько шире его.

Лигаментная ямка треугольная, довольно широкая, мелкая, заметно скошена кзади и расположена под макушкой. Мускульный отпечаток среднего размера, овальный, с мелкобугристой поверхностью и находится под макушкой (рис. 2).

Рис. 2. Левая створка Реribositria mimer (Oeberg).

	1

		,		_	
Размеры (мм	_	-	5.45		
№ экэ.	В	Д	В/Д	ДПЧ	ДПЧ/Д
853/1, n.c.	17,0	22,0	0,77	9,0	0,41
853/2, n.c.	14,5	21,0	0,69	9,0	0,43
853/3, л.с.	16,8	20,0	0,84	8,3	0,42
853/5, n.c.	13,5	18,0	0,75	7, 5	0,42
853/7, n.c.	14,2	17,0	0,83	7,5	0,44
853/8, л.с.	11,7	13,0	0,90	6,0	0,46

Изменчивость. Выражается в варьировании очертаний раковины от овальных, овально-трапециевидных до слабо скошенных (В/Д = 0,7-0,85), различной степени проявления килеобразного перегиба либо в его отсутствии. Концентрические складки и моршины изменяются от грубых до умеренных, относительно регулярных в верхней части раковины и неравномерных, ослабевающих книзу, или в различной степени нерегулярности по всей поверхности. Моршины обычно резче выражены у раковин, происходящих из битуминозных известняков. Радиальная струйчатость проявляется от едва заметной до отчетливой.

Сравнение. От близкого вида Peribositria backlundi (Witt.), описанного ниже, отличается значительно меньшей раковиной, более удлиненными очертаниями, обычно нерегулярной концентрической скульптурой и килеобразным перегибом.

От форм, описанных Л.Д. Кипарисовой как Peribositria wengensis Wissm. /1954, с. 26, табл. XVIII, фиг. 3, 4/ из ладина Приморского края, отличается большей раковиной, многочисленными концентрическими моршинами и складками и, как правило, наличием килеобразного перегиба и радиальной струйчатости.

Замечание. На основании изучения изменчивости на выборках, происходящих из одной плоскости напластования, мы считаем виды P. olenekensis и P. kulensis младшими синонимами вида P. mimer.

Распространение. Нижнеоленекский подъярус архипелага Свальбард, Арктической Канады и Земли Франца-Иосифа; зона hedenstroemi, подзона kolymensis севера Средней Сибири; подзона kolymensis и зона tardus хр. Орулган; подзона kolymensis Северо-Востока СССР; нижнеоленекский подъярус, зона Meekoceras boreale Хабаровского края; нижний триас, оленекский ярус Приморского края.

Материал. Более 4000 экз. практически из всех районов Бореальной области и Монголии (сборы А.С. Дагиса).

Peribositria backlundi (Wittenburg, 1910)

Табл. ІХ, фиг. 12-14

Posidonomya backlundi: Wittenburg, 1910, с. 36, табл. I, фиг. 4, 5; Kittl, 1912, S. 29; Архипов, 1974, табл. IV, фиг. 3, 4.

Голотип. Не обозначен. В качестве лектотипа принимается экземпляр, изображенный y Wittenburg, 1910, с. 36, табл. I, фиг. 4. Оленекский ярус, зона Arctoceras blomstrandi, подзона Euflemingites архипелага Свальбард, о. Эдж, гора Сигельфьеллет.

Описание. Раковины крупные, достигающие 50 мм в длину и высоту, округные (В/Д = 1,0), слабовыпуклые, с наибольшей выпуклостью в примакушечной части. Замочный край прямой, относительно короткий и составляет немногим более 1/3 длины раковины. Макушки маленькие, почти центральные или слегка смещены вперед и едва выступают за замочный край. Створка покрыта регулярными пологими концентрическими моршинами, иногда раздваивающимися. В 10 мм от макушки на 10 мм высоты створки приходится 5-7 моршин. Промежутки между ними гребневидные, узкие. Как правило, развиты пинии роста и тонкие радиальные струйки, отчетливее выраженные в нижней половине. Эти струйки на внутренней поверхности ослабевают, отчего кажутся уплошенными. Ушки узкие, тупотреугольные, причем заднее несколько длиннее переднего.

Размеры (мы	a):				
№ экз.	. B	Д	В/Д	ДПЧ	ДПЧ/Д
853/11, m.c.	49	48	1,02	21	0,43
853/12, n.c.	45	44	1,02	20	0,45
853/13, л.с.	37	40?	0,92?	17?	0,42?
853/14, п.с.	40?	39	1,02?	18	0,46
853/15, л.с.	32	37?	0,86?	14?	0,38?
853/16, л.с.	35	36	0,97	16	0,44
853/17. n.c.	35	· 32	1.09	13	0,37

Изменчивость. Проявляется в варьировании очертаний раковины от округлых до несколько удлиненных, изменении количества концентрических моршин на 10 мм от 5 до 7 и в степени выраженности радиальной ребристости от слабой до отчетливой.

Сравнение. От близкого вида Peribositria sibirica /Курушин, 1980, с. 81, табл. IX, фиг. 1-6/ из эон Parasibirites grambergi и Olenekites spiniplicatus севера Средней Сибири отличается обычно большей раковиной, грубыми концентрическими моршинами, тонкими линиями нарастания и отсутствием извилистых радиальных струек.

Замечание. Верхоянские экземпляры отличаются от таковых архипелага Свальбард вытянутой по высоте раковиной, более коротким замочным краем, радиальной струйчатостью и почти центральными, слегка эксцентричными макушками.

Распространение. Нижнеоленекский подъярус, зона blomstrandi, верхи подзоны euflemingites архипелага Свальбард; зона hedenstroemi хр. Кулар и Верхоянья.

Материал. 2 экз. - хр. Кулар, бассейн р. Омолой, верховья р. Кюсгюлююр (сборы В.М. Олешко); 9 экз. - Верхоянский хребет, верховья р. Томпо, р. Сосукчан (сборы А.Е. Соболева), 7 экз. - верховья р. Томпо, р. Агылки (сборы М.С. Щербакова).

Peribositria tenuissima (Böhm, 1912)

Табл. Х, фиг. 1-9; рис. 3

Posidonia tenuissima: Bohm, 1912, S. 8, Tab. I, Fig. 11,12; Окунева, 1976, с. 8, табл. I, фиг. 12, 13; Гаврилова, Курушин, 1986, с. 132, табл. I, фиг. 11.

Posidonia aff. tenuissima: Кипарисова, 1938, с. 237, табл. III, фиг. 16, 19.

Posidonia mimer: Курушин, 1985, с. 96, табл. XIX, фиг. 6 (non 5); табл. XX, фиг. 1; Курушин, 1985, с. 87, табл. IV, фиг. 5.

Голотип. Не обнаружен. В качестве лектотипа предлагается экземпляр, изображенный у Д. Бёма /Вёhm, 1912, с. 8, табл. I, фиг. 11/. Оленекский ярус, нижний подъярус архипелага Свальбард, мыс Рейн.

Описание. Раковины среднего размера (до 30 мм в длину и 26 мм в высоту), почти округлые, с длиной, несколько превышающей высоту (В/Д = 0,8-1,0), слегка суженные кверху, слабовыпуклые. Замочный край прямой, короткий и составляет 0,26-0,3 длины раковины. Макушки субцентральные, маленькие, вздутые и слегка возвышаются над замочным краем. Килеобразный перегиб едва выражен либо отсутствует. Поверхность створок покрыта довольно равномерными, тонкими концентрическими складками, промежутки между которыми уже самих складок, и линиями нарастания. Изредка отмечается радиальная струйчатость. Ушки маленькие, узкие, уплощенные, тупотретутольные, гладкие. Заднее ушко длиннее переднего в 1,5 раза.

Лигаментная ямка треугольная, широкая, скошенная кзади, мелкая. Мускульный отпечаток среднего размера, овальный, без четких границ, с отчетливыми бороздками и штриховкой. В примакушечной части и несколько ниже на внутренней поверхности створок имеются три круры (рис. 3).

Размеры (м	м):				
№ экз.	В	Д	В/Д	ДПЧ	ДПЧ/Д
853/18, л.с.	17,2	21,0	0,82	9,6	0,46
853/19, л.с.	18,4	20,5	0,90	9,5	0,46
853/20, n.c.	16,3	17,5	0,93	8,7	0,49
853/21, n.c.	15,1	17,3	0,87	7,7	0,45
853/22, n.c.	14,6	15,0	0,97	6,5	0,43
853/23, л.с.	13,2	15,0?	0,88?	7,0?	0,47?
853/24, л.с.	10,2	12,0	0,85	5,0	0,42
853/25, л.с.	6,5	8,5	0,77	3,3	0,39

Изменчивость. Проявляется в очертаниях раковины от округлых до несколько вытянутых в высоту (B/J = 0.8-1.0), различной степени выраженности концентрических складок от едва заметных, тонких до умеренных. Для отдельных раковин отмечаются радиальная стручатость и килеобразный перегиб.

Сравнение. От Feribositria mimer отличается тонкой неморшинистой концентрической скульптурой, более округлыми очертаниями и обычно коротким замочным краем.

Ot Peribositria ekiatapensis (Bytschkov et Efimova) /Бычков и др., 1976, с. 64, табл. 2, фиг. 3, 4/ из зоны hedenstroemi Чукотки отличается округлыми очертаниями, субцентральной макушкой, коротким замочным краем, тонкой равномерной концентрической скульптурой.

Распространение. Оленекский ярус, нижний подъярус архипелага Свальбард: зона hedenstroemi, подзона kolymensis севера Средней Сибири; зоны hedenstroemi (подзона kolymensis) и tardus хр. Орулган; зона hedenstroemi, подзона kolymensis Южной Якутии; зона Меекосегаs boreale Хабаровского края; оленекский ярус Приморского края; верхнеоленекский подъярус, зона Stacheites undatus Мангышлака.

Материал. 50 экз. — Верхоянский хребет, верховья р. Леписке, руч. Бырахтадья; 60 экз. — р. Барайы, руч. Мол: 75 экз. — верховья р. Томпо, руч. Лекеер; 2 экз. — р. Бурагаганджа, 15 экз. — руч. Дадойо; 31 экз. — верховья р. Индигирки, р. Кобюме; 30 экз. — север Средней Сибири, низовья р. Оленек, реки Буур. Улахан-Хос-Терюттээх; 5 экз. — архипелаг Свальбард, Сассен-фьорд (сборы М.В. Корчинской).



Рис. 3. Правая створка Peribositria tenuissima (Böhm).

Peribositria popowi (Bytschkov, 1976)

Табл. Х, фиг. 10-16; рис. 4

Posidonia ророwi: Бычков и др., 1976, с. 64, табл. 2, фиг. 5, 7. Голотип. № 10/8301 (правая створка). ЦГМ. Истоки р. Колымы, бассейн р. Кеньеличи; оленекский ярус, зона hegenstroemi.

Описание. Раковины преимущественно среднего размера (до 15-18 мм в длину и высоту), иногда крупные (до 38 мм в длину и высоту), овальные, с высотой, почти равной длине (В/Д = 0,9-1,0), оттянутым задненижним краем, слабовыпуклые. Замочный край прямой, короткий и равен 1/5 длины раковины. Макушки маленькие, субцентральные, иногда слегка эксцентричные (отстоят от переднего края на 2/5 длины раковины), направлены вперед и незначительно выступают за замочный край. От макушки к задненижнему краю иногда намечаются слабо выраженные пологая депрессия и килеобразный перегиб либо они отсутствуют. Поверхность раковины покрыта концентрическими, нерегулярными, обычно слабыми складочками, линиями роста и радиальными бороздками, наиболее отчетливыми в центральной нижней частях. Бороздки расчленяют поверхность раковины на плоские радиальные ребра, делящиеся дополнительными бороздками в середине и у нижнего края. Иногда у нижнего края ребра тонко расщепляются многочисленными неравномерно расположенными бороздками. Ушки маленькие, узкие, тупотреугольные, уплощенные; заднее слегка длиннее переднего. Ушки обособлены от створок перегибом и плавно соединяются с передним и задним краями.

Мускульный отпечаток большой, округлый, слабоуглубленный, расположен в примакушечной части и покрыт грубыми радиальными бороздками. На внутренних ядрах в примакушечной части имеется три-четыре субконцентрические, прерывающиеся на мускульном отпечатке примакушечные круры, расположенные почти на равном расстоянии друг от друга. Иногда в средней части раковины и на мускульном отпечатке развиты короткие круры радиального направления (рис. 4).

Размеры (мм):							
№ экз.	В	Д	В/Д	дпч	ДПЧ/Д		
853/27, л.с.	38,0	37,2	1,02	17,3?	0,47?		
853/28, n.c.	34,0	35,0	0,97	14,0?	0,40?		
853/29, л.с.	25,0	28,0	0,89	13,0?	0,46?		
853/30, л.с.	24,0?	28,0	0,86?	14,5	0,40		
853/31, n.c.	26,0	27,2	0,95	10,0	0,37		

Изменчивость. Выражается в степени рельефности концентрических складок и радиальных бороздок от четких до слабых. Килеобразный перегиб и депрессия отсутствуют или очень слабо выражены.

Сравнение. Своеобразными плоскими радиальными ребрами, разделенными бороздками и делющимися дополнительными бороздками в центральной и нижней частях раковины, описанный вид четко отличается от других известных видов Peribositria и по характеру радиальной скульптуры приближается к представителям рода Daonella, как было отмечено Ю.М. Бычковым /Бычков и др., 1976/. От близкого вида Peribositria christophori Рис. 4. Правая створка Feribositria popowi (Bytschkov).

/Попов, 1948, с. 155, табл. І, фиг. 5/ из зоны hedenstroemi верховий р. Колымы от личается плоскими радиальными ребрами и субцентральной макушкой.



Замечание. При описании вида Peribositria popowi Ю.М. Бычков указывает, что передняя и задняя ветви замочного края сходятся под углом 115°/Бычков и др., 1976, с. 65/. В нашей коллекции изученный вид имеет прямой замочный край с ушками, которые, вероятнее всего, не сохрани-пись у колымских экземпляров.

Распространение. Оленекский ярус, зона hedenstroemi верховий р. Колымы; зона hedenstroemi, подзона kolymensis и зона tardus Верхоянского хребта.

Материал. 40 экз. – Верхоянский хребет, бассейн р. Тумара, верховья р. Нуора; З экз. – р. Леписке, руч. Бырахтадья; 12 экз. – верховья р. Томпо, руч. Лекеер; 10 экз. – руч. Дадойо; 22 экз. – междуречье верховий рек Тумара и Белянка (сборы А.Н. Гома); 5 экз. – север Средней Сибири, низовья р. Оленек, реки Буур, Кыра-Хос-Терюттээх.

Peribositria sossunovi (Bytschkov et Efimova, 1968) Табл. X, фиг. 17-19

Posidonia sossunovi: Бычков, Ефимова, 1968, с. 213, табл. 50, фиг. 4, 5; Бычков и др., 1976, с. 64, табл. 3, фиг. 10,11.

Голотип. № 6a/8264 (левая створка). ЦГМ. Низовья р. Колымы, р. Мал. Анюй, бассейн р. Бол. Кэпэрвеем; оленекский ярус, нижний подъярус.

Описание. Раковины небольшие (до 11 мм в длину и 7 мм в высоту), овально-трапециевидные, слегка скошенные, удлиненные (В/Д = 0,6-0,7), слабовыпуклые, с оттянутым задненижним краем. Замочный край прямой, относительно длинный и составляет около половины длины раковины. Макушки маленькие, почти центральные, либо слабо эксцентричные (ДПЧ/Д = 0,3-0,4), вздутые, слегка выступающие за замочный край. Скульптура представлена редкими (двумя-тремя) концентрическими морщинами, развитыми в нижней части раковины, линиями нарастания и тонкой радиальной ребристостью, четко выраженной в верхней части. Заднее ушко в 1,5 раза длиннее переднего.

Размеры (мм):							
№ экз.	В	Д	В/Д	дпч	ДПЧ/Д		
853/34, п.с.	7,0	10,2	0,70	3,6	0,35		
853/35, л.с.	6,5	9,0	0,72	3,4	0,38		
853/36, л.с.	7,0	9,0	0,77.	2,8	0,31		

Изменчивость. Выражается в варьировании макушки относительно переднего края (ДПЧ/Д = 0,3-0,4) и незначительной удлиненности раковины (В/Д = 0,6-0,7).

Сравнение. От Peribositria mimer отличается небольшой, более удлиненной раковиной, концентрическими моршинами, развитыми в нижней части и четко выраженной радиальной ребристостью.

Распространение. Нижнеоленекский подъярус низовий р. Колымы и района Чаунской губы; зона hedenstroemi (подзона kolymensis) и tardus Верхоянского хребта.

5 3ax, 530 65

Материал. 30 экз. — верховья р. Томпо, руч. Дадойо; 1 экз. — верховья р. Барайы, руч. Мол; 5 экз. — хр. Орулган; верховья р. Леписке, руч. Бырахтадья.

Peribositria sibirica (Kurushin, 1980)

Табл. ХІ, фиг. 1

Posidonia sibirica: Курушин, 1980, с. 81, табл. IX, фиг. 1-6; Дагис, Курушин, 1985, с. 98, табл. XX, фиг. 6-10.

Диагноз. Раковина крупная, почти округлая, с многочисленными регулярными концентрическими складками и тонкими, как правило, извилистыми в разной степени, реже прямыми радиальными струйками.

Pаспространение. Оленекский ярус, зоны grambergi и spiniplicatus севера Средней Сибири; ранний спат Арктической Канады и Британской Колумбии.

Материал. Свыше 250 экз. практически из всех разрезов верхнеоленекского подъяруса севера Средней Сибири.

Peribositria taimyrensis (Kurushin, 1980)

Табл. XI, фиг. 2, 3

Posidonia taimyrensis: Курушин, 1980, с. 83, табл. IX, фиг. 7, 8; Дагис, Курушин, 1985, с. 100, табл. XXI, фиг. 1, 2.

Диагнов. Раковина маленькая, округлая, с редкими довольно широкими неравномерными концентрическими складками, наиболее выраженными в нижней части.

Распространен и е. Анизийский ярус, зона rotelliforme Восточного Таймыра; зона nevadanus Новосибирских островов.

Материал. 25 экз. - Восточный Таймыр, м. Цветкова; 15 экз. - Новосибирские острова, о. Котельный, лагуна Станции (сборы А.Г. Константинова).

Peribositria jakutica Kurushin et Truschelev, sp. nov.

Табл XI, фиг. 4-10; рис. 5

Posidonia sp.: Возин, Тихомирова, 1964, с. 26, табл. XI, фиг. 1. Название вида — по нахождению в Якутии.

Голотип. № 853/37 (правая створка). ИГиГ. Верхоянский хребет, верховья р. Томпо, руч. Дадойо; оленекский ярус, зона hedenstroemi, подзона kolymensis.

Диагноз. Раковина крупная, овально-трапециевидная, удлиненная с тонкой радиальной и концентрической скульптурой.

Описание. Раковины крупные (до 30 мм в высоту и 41 мм в длину), с передним и задним зияниями, овально-трапециевидные, удлиненные, слабоскошенные, с оттянутым задненижним краем, слабо и умеренно выпуклые. Замочный край прямой, довольно длинный и равен 2/5 длины раковины. От макушки к задненижнему краю проходят слабо выраженные килеобразный перегиб и депрессия либо они отсутствуют. Макушки маленькие, слегка эксцентричные (ДПЧ/Д = 0,4), вздутые, приостренные, едва выступающие за замочный край. Поверхность створок покрыта довольно равномерными, тонкими, концентрическими складками, более сгущенными вблизи макушки, и линиями роста. Радиальная скульптура представлена тонкими ребрышками трех порядков, которые становятся более однородными и ослабленными с приближением к замочному краю, а в задней части уплощенными и обычно слегка



волнистыми. Ушки тупотреугольные, уплощенные, соединяются с краями раковины пологой кривой. Заднее ушко длиннее переднего в 1,7 раза.

Замочная площадка узкая, пластинчатого строения. Лигаментная ямка треугольная, скошенная кзади, широкая, мелкая (рис. 5).

Размеры (мм	азмеры (мм):				
№ экэ.	В	Д	В/Д	ДПЧ	ДПЧ/Д
853/37, п.с.	30,0	41,0	0,73	16,0	0,39
853/38, л.с.	19,5	28,5	0,68	11,0	0,39
853/39, л.с.	23,5	33,3	0,71	12,5	0,38
853/40, п.с.	11,0	17,0	0,65	8,0	0,47
853/41, л.с.	6,8	10,0	0,68	4,3	0,43

Изменчивость. Выражается в различной степени проявления концентрических складок от частых слаборельефных до редких, грубых, равномерных. Заметно варьирует степень выраженности радиальных ребрышек, особенно в примакушечной части, от слабых, едва заметных до отчетливых. У некоторых форм намечаются килеобразный перегиб и депрессия либо они отсутствуют.

Сравнение. От Peribositria mimer отличается крупными размерами, большей удлиненностью раковины, менее развитой концентрической скулынтурой, резкими радиальными ребрышками трех порядков и более длинным замочным краем.

От P. borealis sp. nov., описанного ниже, отличается меньшей, овально-трапециевидной удлиненной раковиной, эксцентричными макушками и довольно длинным замочным краем.

Распространение. Оленекский ярус, зона hedenstroemi, подзона kolymensis Верхоянского хребта.

Материал. 49 экз. — верховья р. Томю, руч. Лекеер; 8 экз. — руч. Дадойо; более 70 экз. — р. Тумара, верховья р. Нуора; 30 экз. — р. Менкере, низовья р. Сынчи.

Peribositria borealis Kurushin et Truschelev, sp. nov.

Табл. XII, фиг. 1, 2

Название вида - от boreus (лат.) - северный.

Голотип. № 853/42 (правая створка). ИГиГ. Верхоянский хребет, верховья р. Томпо, руч. Дадойо; оленекский ярус, эона hedenstroemi, подзова kolymensis.

Диагноз. Раковина очень крупная, почти округлая, с тонкой радиальной ребристостью третьего-четвертого порядков и многочисленными равномерными концентрическими складками.

Описание. Раковины очень крупные (до 70 мм в высоту и 80 мм в длину), почти округлые (В/Д = 0,8-0,9), слабовыпуклые, с наибольшей выплуклостью в средней части. Замочный край прямой, относительно короткий и равен 1/4 длины раковины. Макушки маленькие, центральные, вздутые и едва выступают за замочный край. Створки покрыты тонкими радиальными ребрышками третьего-четвертого порядков, иногда сближенными, ослабевающими в примакушечной части и исчезающими у замочного края. Межреберные промежутки плоские, обычно широкие. Концентрические складки очень слабые, довольно равномерные, линии нарастания отчетливые. Ушки плоские, узкие, тупотреугольные, с тонкими линиями роста. Заднее ушко длинее переднего примерно в 2 раза.

Замочная площадка узкая, пластинчатого строения, с треугольной широкой мелкой лигаментной ямкой.

Размеры (мм) :		
№ экз.	В	Д	В/Д
853/42, п.с.	67,5	78,0?	0,86?
853/43, п.с.	35,0.	44,0	0,80
853/44, п.с.	38,0	41,5	0,90
853/45, л.с.	29,0	36,0	0,80

Изменчивость. Проявляется в варьировании очертаний раковины от почти округлых до несколько удлиненных (B/Д = 0.8-0.9), в рельефности радиальных ребрышек и концентрических складок от слабых до умеренных.

Сравнение. От P. tenuissima отличается очень крупными размерами и радиальными ребрышками третьего-четвертого порядков.

От P. backlundi отличается более крупной раковиной, нерегулярной слабой концентрической скульптурой и радиальными ребрышками третьего-четвертого порядков.

Распространение. Оленекский ярус, зона hedenstroemi, подзона kolymensis Верхоянского хребта.

Материал. 36 экз. — верховья р. Томпо, руч. Дадойо; 9 экз. — р. Брюнгаде, руч. Бол. Отыдях.

Peribositria tompoensis Kurushin et Truschelev, sp. nov.

Табл. XII, фиг. 3-6

Название вида - по нахождению в бассейне р. Томпо.

Голотип. 853/49 (раковина с полураскрытыми створками). ИГиГ. Верхоянский хребет, верховья р. Томпо, руч. Дадойо; оленекский ярус, зона heddenstroemi подзона kolymensis.

Диагноз. Раковина крупная, сильно удлиненная, овально-трапециевидная, с резко эксцентричной макушкой.

Описание. Раковины крупные (высотой до 22 мм и длиной до 60 мм), овально-трапециевидные, сильно удлиненные (В/Д = 0,4, реже - 0,5), неравносторонние, слабовыпуклые, с оттянутым задним и почти прямым нижним краем, имеющим вогнутость в средней части. Замочный край прямой, довольно длинный и равен 2/5 длины раковины. Макушки маленькие, резко экспентричные (ДПЧ/Д = 0,2-0,35), приостренные, вздутые и слегка выступают за замочный край. От макушки к задненижнему краю обычно следует довольно широкое радиальное ребро, выше которого ребрышки ослабевают и исчезают. Створки покрыты довольно равномерными слабыми и умеренными концентрическими складками и линиями роста, а также нитевидными радиальными ребрышками второго-третьего порядков, иногда уплощенными в задней части. Ушки узкие, уплощенные, тупотреугольные. Заднее ушко длиннее переднего в 1,5-1,9 раза.

Замочная площадка узкая, пластинчатого строения, с треугольной скошенной кзади широкой лигаментной ямкой.

Размеры (мм):							
№ экэ.	В	Д	В/Д	ДПЧ	ДПЧ/Д		
853/47, л.с.	18,0	45,0	0,40	15,0	0,33		
853/48, ц.р.	16,0	38,0	0,42	8,0	0,21		
853/49, ц.р.	17,0	34,5	0,49	13,0	0,37		
853/50, л.с.	6,3	10,2	0,60	4,3	0,42		

Изменчивость. С возрастом раковина становится удлиненней, задний край сильнее оттянутым и макушки эксцентричнее. Индивидуальная изменчивость проявляется в незначительной удлиненности раковины (В/Д = 0,4-0,5), слабой и умеренной выраженности концентрических складок и радиальных ребрышек.

Сравнение. От наиболее близкого по форме вида Peribositria subtilis /Бычков, Ефимова, 1968, с. 212, табл. 50, фиг. 3/ из нижнеоленекского подъяруса низовий р. Колымы отличается очень крупной раковиной, резко эксцентричной макушкой, более резкой концентрической скульптурой и радиальными ребрышками второго-третьего порядков.

OT P. jakutica sp. nov. отличается удлиненной раковиной, резко экспентричными макушками и менее выраженной радиальной скупьптурой.

Распространение. Оленекский ярус, эона hedenstroemi, подзона kolymensis Верхоянского хребта.

Материал. 12 экз. - верховья р. Томпо, руч. Лекеер; 8 экз. - руч. Дадойо; 1 экз. - низовья р. Оленек, бассейн р. Буур, р. Улахан-Терюттээх.

Peribositria inflata Kurushin et Truschelev, sp. nov.

Табл. XII, фиг. 7-9

Название вида - от inflatus (лат.) - вздутый.

Голотип. № 853/33 (левая створка). ИГиГ. Верхоянский хребет, верховья р. Томпо, руч. Дадойо; оленекский ярус, зона hedenstroemi, подзона kolymensis.

Диагноз. Раковина среднего размера, овально-трапециевидная, с коленообразным перегибом в нижней части, редкими нерегулярными складками и радиальными ребрами трех порядков.

Описание. Раковины среднего размера (до 22 мм в длину и 19 мм в высоту), овально-трапециевидные, слабо скошенные и слегка удлиненные (В/Д = 0,85), умеренно выпуклые с коленообразным перегибом в нижней части. Замочный край прямой, относительно длинный и равен примерно половине длины раковины. Макушки маленькие, вздутые, почти центральные либо слегка эксцентричные (ДПЧ/Д = 0,4), едва выступающие за замочный край. От макушки к задненижнему краю проходит едва выраженная узкая депрессия. Створки покрыты редкими неравномерными копцентрическими складками, более отчетливыми в нижней, реже примакушечной части и линиями роста. Радиальная скульптура представлена тонкими ребрышками трех порядков, ослабевающими вблизи макушки. Ушки тупотреугольные, узкие, причем заднее незначительно длиннее переднего.

Размеры (мм):

№ экз.	В	Д	В/Д	ДПЧ	ДПЧ/Д
853/32, π.c. 853/33, π.c.		22,0? 20,0		11,0 8.0	0,50? 0.40

Изменчивость. Проявляется в числе и степени выраженности концентрических складок, особенно в примакушечной части, радиальной ребристости вблизи макушки и варьировании макушки от почти центральной до слегка эксцентричной (ДПЧ = 0,4-0,5).

Сравнение. По наличию коленообразного перегиба в нижней части раковины данный вид четко отличается от всех известных видов рода Peribositria. Распространение. Оленекский ярус, эона hedenstroemi, подзона kolymensis Верхоянского хребта.

Материал. Более 40 экз. - верховья р. Томпо, руч. Дадойо.

СПИСОК ЛИТЕРАТУРЫ

- Атлас руководящих форм ископаемых фаун СССР. Л.; М.: Госгеолтехиздат, 1947. Т. VII: Триасовая система. 252 с.
- <u>Архипов Ю.В.</u> Стратиграфия триасовых отложений Восточной Якутии. Якутск: Якут. кн. иэд-во, 1974. 270 с.
- Бычков Ю.М., Ефимова А.Ф. Новые раннетриасовые посидонии Северо-Востока СССР // Новые виды древних растений и беспозвоночных СССР. М.: Недра, 1986. Вып. П, ч. 1. С. 212-214.
- Бычков Ю.М., Дагис А.С., Ефимова А.Ф., Полуботко И.В. Атпас триасовой фауны и флоры Северо-Востока СССР. М.: Недра, 1976. 267 с.
- Возин В.Ф., Тихомирова В.В. Полевой атлас двустворчатых и головоногих моллюсков триасовых отложений Северо-Востока СССР. М.: Наука, 1964. 196 с.
- Гаврилова В.А., Курушин Н.И. Раннетриасовые двустворчатые моллюски Мангышлака // Ежегодн. Всесоюзного палеонтол. об-ва. – Л.: Наука. Ленингр. отд-ние, 1986. – Т. XXIX. – С. 124-138.
- Дагис А.С., Курушин Н.И. Триасовые брахиоподы и двустворчатые моллюс-ки севера Средней Сибири. М.: Наука, 1985. 160 с.
- Кипарисова Л.Д. Нижнетриасовые пластинчатожаберные Уссурийского края // Тр. геол. ин-та. М.; Л.: Изд-во АН СССР, 1938. Т. VII. : С. 197-311.
- Кипарисова Л.Д. Полевой атлас характерных комплексов фауны и флоры триасовых отлюжений Приморского края. - М.: Госгеолтехиздат, 1954. -127 с.
- Кипарисова Л.Д. Палеонтологическое обоснование стратиграфии триасовых отложений Приморского края. — М.: Недра, 1972. — Ч. 2: Поэднетриасо вые двустворчатые моллюски и общая стратиграфия. — 246 с.
- Корчинская М.В. Объяснительная записка к стратиграфической схеме мезозоя (триас) Свальбарда. Л., 1982. 99 с.
- Курушин Н.И., Новые триасовые посидонии Средней Сибири // Палеонтология и стратиграфия триаса Средней Сибири. М.: Наука, 1980. Вып. 448.- С. 81-85.
- Курушин Н.И. Двустворчатые моллюски нижнетриасовых битуминозных известняков Якутии // Стратиграфия и палеонтология докембрия и фанерозоя Сибири. Новосибирск, 1985. С. 83–92.
- Окунева Т.М. Раннетриасовые моллюски из района хр. Большие Чурки (Хаба-ровский край) // Стратиграфия и литология палеозойских и мезозойских отложений Дальнего Востока и Забайкалья. Л., 1976. Т. 263. С. 28–45.
- Попов Ю.Н. Некоторые виды скифских и среднетриасовых аммонитов и пелеципод из бассейна р. Колымы // Материалы по геологии и полезным ископаемым Северо-Востока СССР. Магадан: Сов. Колыма, 1948. Вып. 3. С. 151-158.
- <u>Попов Ю.Н.</u> Триасовые аммоноидеи Северо-Востока СССР. М.: Госгеолтехиздат, 1961. – Т. 79. – 179 с.
- Садыков А.М. Среднепалеовойские двустворчатые моллюски Атасу (Центральный Кавахстан). Алма-Ата: Ивд-во АН КавССР, 1962. 114 с.

- Böhm J. Über Triasversteinerungen von Bellsunde auf Spitzbergen // Arkiv för Zoologi. K. Svenska Vetenskapsakademian. - 1912. - Bd 8, H. 1, N 2. - 15 S.
- Jefferies R.P.S., Minton P. The mode of Life Two Jurassic species of 'Posidonia' (Bivalvia) // Palaeontological Association London. 1965. Vol. 8, p. 1. P. 156-185.
- <u>Kittl E.</u> Materialen zu einer Monographie der Halobiidae und Monotidae der Trias // Result. wiss. Erforsch. Balatonsees.-1912. Bd 1. Th. IV. S. 1-230.
- Oeberg P. Trias Försteningar fran Spetsbergen // Kgl. Sven. vet akad. handl. 1877. Bd 14, H. 14. S. 1-19.
- <u>Tozer E.T.</u> Triassic stratigraphy and faunas, Queen Elizabeth Island, Arctic Archipelago // Geol. Surv. Canada Mem. 1961. N 316. P. 1-116.
- <u>Treatise</u> on Invertebrate Paleontology. Part N. Mollusca, 6, Eivalvia. N.Y., 1969-1971. Vol. 1/3. 1224 p.
- Wittenburg P. Uber einige Triasfossilien von Spitzbergen // Тр. геол. музея им. Петра Великого Импер. Акад. наук. 1910.-Т. 4, вып. 5.-С. 63-74.

А.С. Дагис, А.Ю. Егоров, А.М. Казаков, Н.И. Курушин

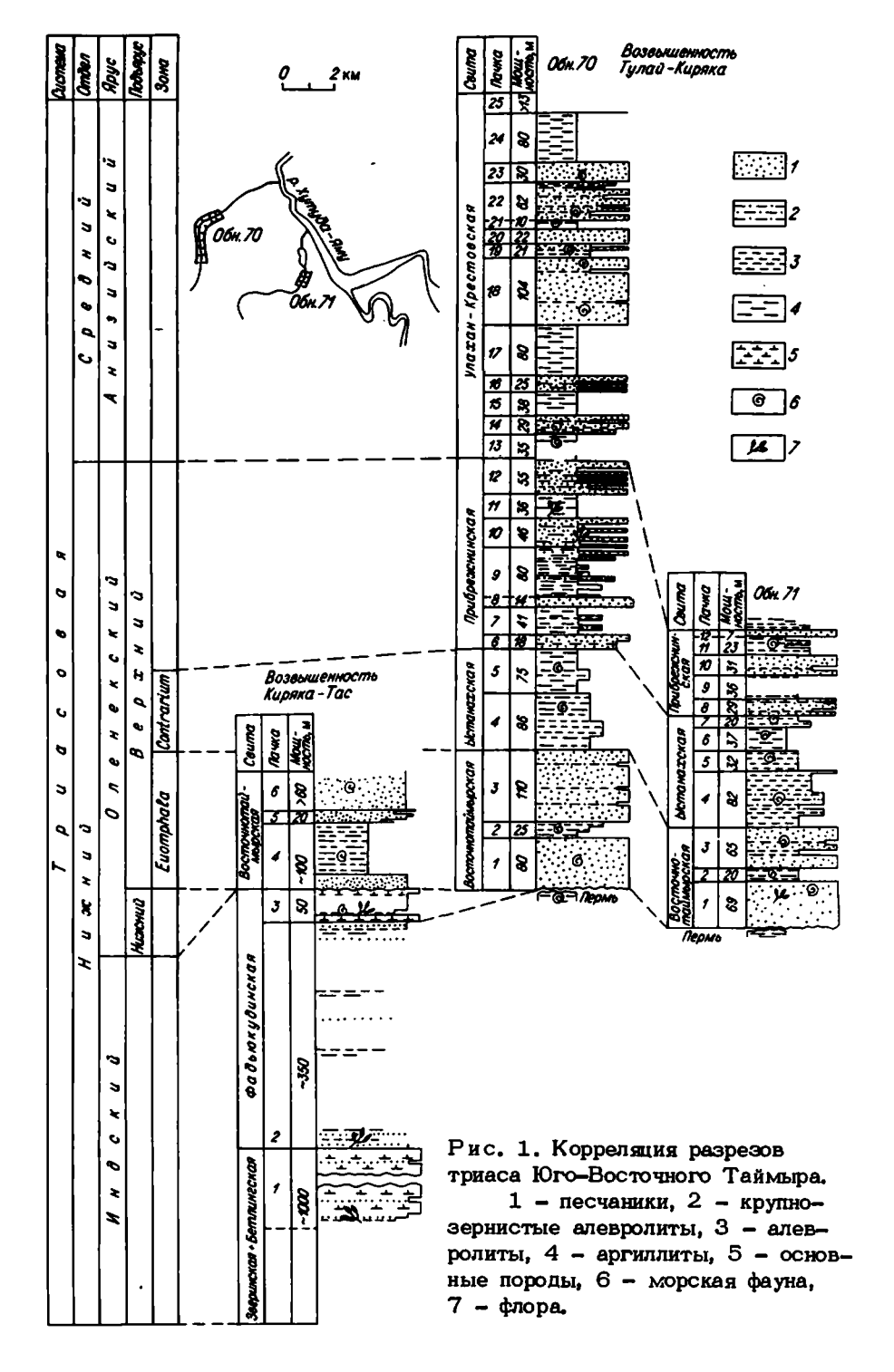
СТРАТИГРАФИЯ ТРИАСОВЫХ ОТЛОЖЕНИЙ ЮГО-ВОСТОЧНОГО ТАЙМЫРА

В пределах Юго-Восточного Таймыра выходы триаса известны на возвышенностях Тулай-Киряка и Киряка-Тас. Они были изучены и описаны В.А. Виноградовым. Результаты его исследований с дополнениями опубликованы И.С. Грамбергом /Сакс и др., 1959/. В.А. Виноградов по стратиграфическому положению выделяет индский ярус с Myalina aff. schamarae, оленекские отложения с Xenodiscus karpinskii, X. demokidovi и средний триас.

В результате полевых работ 1985 г., проведенных А.М. Казаковым, Н.И. Курушиным (СНИИГТиМС), А.Ю. Егоровым (НПО "Аэрогеология"), А.Г. Константиновым (ИГиГ СО АН СССР), получены новые данные, позволяющие существенно уточнить и детализировать разрез триаса этого района. Отложения, отвечающие индскому ярусу и низам верхнего оленека, изучены на возвышенности Киряка-Тас, оленекский и анизийский ярусы — на возвышенности Тулай-Киряка (рис. 1). Описание разрезов Киряка-Тас выполнено А.Ю. Егоровым, Тулай-Киряка — А.М. Казаковым, остатки аммоноидей определены А.С. Дагисом, двустворчатых моллюсков — Н.И. Курушиным.

возвышенность киряка-тас

Обнажения наиболее низких горизонтов туфолавовой толщи расположены на возвышенности Холидье, более высоких — в районе горы Первой, соответственно в 20-25 и 15 км к западу от оз. Кунгусалах. Здесь выделяются зверинская + бетлингская нерасчлененные и фадыокудинская свиты, относимые к индскому ярусу, и восточнотаймырская, датируемая низами верхнего оленека. В верхней части фадыокудинской свиты обособлена пачка туфопесчаников с двумя покровами базальтов (см. рис. 1, пачка III), которая может быть аналогом цветковомысской свиты, установленной на м. Цветкова /Казаков и др., 1982/.



Зверинская + бетлингская свиты нерасчлененные

1. Базальты афировые, в верхних частях покровов миндалекаменные, оливиновые и безоливиновые, в редких покровах трахибазальты, в низах толши пикробазальты. В нижней половине толши отмечаются прослои базальтовых туфов. Повсеместно — редкие прослои аргиллитов с растительными остатками. Среди них Г.Н. Садовниковым определены: Neocalamites aff. triassica, Lepidopteris cf. arctica, Tomiostrobus cf. belozerovi, Carpolites cf. zvetkoviensis, C. ex. gr. cinetus, Tomiophyllum sp., Taeniopteris sp., Radicites sp., Mesenteriophyllum sp. Мощность толши около 1000 м.

Фадыскудинская свита

- 2. Пестроцветные алевролиты и аргиллиты с подчиненными прослоями. песчаников. Толща обнажена весьма фрагментарно по ряду ручьев между возвышенностью Холидье и горой Первой. В ее низах собраны Pleuromeia cf. taimyrica, P. (Kuorria) sp., Lycoderma sp., Radicites sp., Lepidophyllum sp. Мощность 350 м. Вышележащие горизонты обнажевы на горе Первой.
- 3. Туфолесчаники с подчиненными прослоями туфоалевролитов и двумя покровами базальтов в основании и кровле.

Туфопесчаники зеленовато—серые, косослоистые, разнозернистые. Гранулометрическая сортировка обломочных зерен очень плохая, окатанность различная. Состав обломочной части меняется снизу вверх по разрезу от кварцево—грауваккового до грауваккового. В низах разреза среди обломков пород
преобладают риолиты фельзитовой и микропойкилитовой структуры. Обломки
кварца часто имеют форму, типичную для вкрапленников риолитов. Выше по
разрезу, в граувакковых разностях, преобладают обломки гиалобазальтов. Пирокластическая примесь устанавливается в однородных по составу породах
по содержанию угловатых обломков среди окатанных. Ее количество достига—
ет в отдельных прослоях 40 %. Цемент в туфопесчаниках кальцитовый, крупнозернистый, пойкилитовый, коррозионный.

Туфо алевролиты темно-серые, глинистые, с тонкой горизонтальной слоистостью. Сложены практически неокатанными обломками основных плагиоклазов, кварца, базальтов, а в низах разреза и фельзитов - глинистым и глинисто-пренитовым матриксом.

Базальты слагают два покрова мощностью 10 и 2 м. Они – оливиновые и анальцимовые, миндалекаменные в верхней части покровов. Миндалины выполнены кальцитом. Структуры разнообразны (гиалопилитовая, толеитовая, спилитовая), но в целом отличаются обилием вулканического стекла.

В средней части пачки в туфоалевролитах были собраны Plagiostoma sp., Planirhynchia sp., Orbiculoidea sibirica, Lingula sp., Paracalamites sp. Мощность пласта 50 м. Мощность свиты 400 м.

Восточнотаймырская свита

4. Алевролиты глинистые, темно-серые, с многочисленными горизонтами карбонатных и фосфатных конкреций. В основании залегает базальный горизонт, сложенный песчаниками зеленовато-серыми, разнозернистыми, граувакковыми, с многочисленными, но маломощными (первые дециметры) прослоями и линзами мелкогалечных конгломератов, псефитовый материал которых представлен исключительно гиалобазальтами. Мощность базального горизонта 20 м. В алевролитах в интервале 3-50 м от подошвы из конкреций были собраны Bajarunia cf. euomphala, B. alexandri, B.? taimy-rensis, B. cf. taimyrensis, Pseudosageceras longilobatum, Anaploceras ex gr. taimyrensis, Plagiostoma aurita, в верхних 20 м - Bajarunia sp., Myalina kochi, Bakevellia subarctica, Megadesmus gromovi. Общая мощность пачки 100 м.

5. Переслаивающиеся туфы, туффиты, туфопесчаники, граувакковые песчаники и алевролиты. Пачка залегает на подстилающих отложениях с размывом и конгломератами в основании. Галька в последних сложена миндалекаменными базальтами, среднезернистыми диабазами, редко осадочными породами. Вулканогенные породы приурочены к двум горизонтам в верхах и низах пачки мощностью 6 и 7 м. Средняя часть - граувакковые песчаники. Нижний горизонт, обогащенный пирокластическим материалом, представлен переслаивающимися туфами и туффитами зеленовато-серой окраски. Туфы базальтовые витролитокластические разнозернистые, преимущественно псефитово-псаммитовые с кальцитовым цементом. Во многих прослоях отмечаются вулканические бомбы диаметром 5-7 см, содержание которых достигает 25 % объема породы. Туффиты содержат до 50 % примеси слабо окатанных зерен кварца, плагиоклазов, обломков основной массы риолитов. В них встречаются линзовидные скопления двустворок и брахиопод, среди которых определены Myalina kochi. Bakevellia lapteviensis, Megadesmus gromovi, Pseudopermophorus sp., Orbiculoidea sibirica, Lingula sp.

Верхний горизонт представлен вишнево-красным базальтовым туффитом кристалло-литокластическим гравийно-псаммитовым. Терригенная примесь представлена окатанными обломками кварца, микроклина, плагиоклазов, рассланцованных аргиллитов, слюдисто-глинистых, слюдисто-кремнистых сланцев, микрофельзитов, базальтов. Цементируют обломки гидроокислы железа, придающие породе красную окраску. Общая мощность пачки 20 м.

6. Песчаники светлые, зеленовато-серые, прослоями вишнево-красные, по составу обломочной части миктитовые слюдистые с многочисленными го-ризонтами песчано-карбонатных конкреций с остатками двустворок Бakevellia lapteviensis, B. sp., Myalina kochi, Megadesmus gromovi и брахиопод Orbiculoidea sibirica, Lingula sp. Мощность видимая 60 м.

ВОЗВЫШЕННОСТЬ ТУЛАЙ-КИРЯКА

Наиболее полные выходы триасовой системы приурочены к долинам двух небольших притоков р. Хутуда-Яму (см. рис. 1). На западном ручье обнажаются восточнотаймырская, ыстанахская, прибрежнинская свиты оленека и низы улахан-крестовской свиты среднего триаса (обн. 70), на восточном ручье – восточнотаймырская, ыстанахская и прибрежнинская свиты (обн. 71). Описание восточнотаймырской и ыстанахской свит приводится по обн. 71, остальных подразделений – по обн. 70.

Верхнепермские отложения представлены чередующимися пачками черных аргиллитов, серых мелкозернистых песчаников и песчано-алевритово-глинистых флишоидов с Myonia gibbosa, M. sp.

Между пермью и триасом в обоих обнажениях прослеживается интрузия микрогранитов, возраст которых определяется как верхнеюрский – меловой.

Нижний триас

Восточнотаймырская свита

- 1. Песчаники мелкозернистые и алевролиты крупнозернистые, песчаные, зеленовато-серые, с мелкой горизонтальной и неясной слоистостью, массивные, прослоями известковистые с плитчатой и крупнообломочной отдельностью, полевошпато-кварцево-граувакковые с гидрослюдисто-хлоритовым, хлоритовым, кальцитовым цементом. Состав: кварц, плагиоклазы, ортоклаз, обломки кремнистых пород, фельзитов, основных эффузивов, глинистых пород, слюдистых сланцев, хлориты, хлоритизированные обломки, вулканическое стекло, мусковит, биотит, черные рудные. В пачке содержатся частые конкрещионные прослои, состоящие из разобщенных известковых и известковофосфоритовых конкреций. В верхней части пачки - аммоноидеи Boreoceras Myalina kochi, Bakevellia lapteviensis, demokidovi: двустворки B. subarctica, B. aff. prima, Pseudolimea kaplani, Myophoria orbicularis, Megadesmus gromovi; брахиоподы Orbiculoidea sibirica. Lingula sp.; propa Lepidopterus aff. toretziensis Stanisl. ность - 69 м.
- 2. Туфоалевролиты темно-серые, с зеленоватым оттенком, разнозернистые, глинистые, крупнооскольчатые, иногда с мелкой горизонтальной слоистостью, граувакково-аркозовые, с гидрослюдисто-хлоритовым матриксом. В составе обломочного материала преобладают полевые шпаты, среди которых много пирокластических остроугловатых обломков основных плагиоклазов. Присутствуют кварц, обломки кремнистых пород, основных эффузивов, стекло, хлориты, хлоритизированные обломки, черные рудные, мусковит. Через 0,1—0,3 м прослеживаются конкреционные прослои, состоящие из разобщенных мелких известковистых конкреций. Аммоноидеи Вајагипіа euomphala, Вогеосетая demokidovi, В. lenaense; двустворки Myalina kochi, Bakevellia lapteviensis, B. varians, Palaeonucula prisca, Taimyrodon taimyrensis, Megadesmus gromovi; брахиоподы Lingula sp. Мошность 20 м.
- 3. Туфопесчаники темно-зелено-серые, на отдельных участках пятнами и прослоями красно-бурые, сиренево-красные, полосчатые, средне-, мелкозернистые, иногда с небольшими внутриформационными глинистыми конгломератами, массивные, реже с горизонтальной мелкой косой и волнистой слоистостью, с подчиненными прослоями алевролитов темно-серых, мелкозернистых, глинистых, оскольчатых. Песчаники кварцево-полевошпато-граувакковые, со значительным участием вулканокластического материала с хлоритовым, гидрослюдисто-хлоритовым, кальцитовым, регенерационным кварцевым цементом. В составе обломочных компонентов: кварц, в значительно большем количестве плагиоклазы различной основности - выветрелые переотложенные и свежие остроугольные пирокластические, обломки пород, главным образом основных эффузивов, как правило, хлоритизированных, хлориты, хлоритизированные обломки, кремнистые и глинистые породы, кварциты. Полосчатые разности обогащены окисленными железистыми рудными минералами (естественный шлих), придающими породе красную окраску. Матрикс глинистых алевролитов гидрослюдисто-хлоритовый, хлоритовый, терригенные частицы представлены в основном полевыми шпатами и кварцем, хлоритизированными обломками, В пачке содержатся многочисленные конкреционные прослои, состоящие из разобщенных известковых конкреций различных размеров. Аммоноидеи Ва-Boreoceras lenaense; двустворки Promytijarunia euomphala, lus borealis, Myalina kochi, Bakevellia lapteviensis, B. vari-Leptochondria minima, Palaenucula prisca, Dacryomya skorochodi. Мошность 65 м.

Ыстанахская свита

- 4. Алевролиты темно-серые, со слабым зеленоватым оттенком, мелкозернистые и аргиллиты алевритовые, оскольчатые, с подчиненными слоями туфоалевролитов, крупнозернистых и мелкозернистых туфопесчаников темнозелено-серых, реже полосчатых пестроцветных, горизонтально-слоистых, массивных. Близ основания пачки - прослой (3-5 см) витролитокластического известкового туфоконгломерата. Алевролиты мелкозернистые, с обильным (до 50%) гидрослюдисто-хлоритовым матриксом. Терригенные частицы представлены преимущественно плагиоклазами, реже кварцем и калишпатами, обломками кремнистых пород. Крупнозернистые алевролиты и песчаники кварцевополевошпато-граувакковые с гидрослюдисто-хлоритовым, хлоритовым, кальцитовым цементом, со значительной примесью вулканокластического материала. В пачке заключены частые известковые конкреционные прослои. Аммоноидеи Boreoceras lenaense, B. aff. lenaense; двустворки Myalina ko-Bakevellia varians, Megadesmus sp.; брахиоподы Lingula sp. Мощность 82 м.
- 5. Алевролиты темно-серые, мелкозернистые и разнозернистые, глинистые, оскольчатые, с частыми известковыми конкреционными прослоями. Алевролиты кварцево-полевошпато-граувакковые, граувакково-аркозовые, с гидрослюдисто-хлоритовым, хлоритовым, кальцитовым цементом. Содержание глинистого матрикса достигает 50 %. Довольно много пирокластических обломков. Частые ходы илоедов. Аммоноидеи Nordophiceras contrarium, N. aff. contrarium, Praesibirites egorovi, P. tuberculatum; двустворки Bakevellia sp.; брахиоподы Lingula sp. Мошность 32 м.
- 6. Аргиллиты темно-серые, алевритовые, оскольчатые, тонкогоризонтальнослоистые, с плоскими известковыми конкрециями. Основная масса крупно-чешуйчатая, гидрослюдисто-хлоритовая; терригенный материал представлен кварцем, полевыми шпатами, обломками кремнистых и эффузивных пород, хлоритами, часто изотропными. Аммоноидеи Nordophiceras contrarium, Praesibirites egorovi, P. tuberculatum; двустворки "Streblopteria" newelli. Мошность 37 м.
- 7. Неравномерное переслаивание (внизу тонкое ленточное, вверху крупное) аргиллитов алевритовых и мелкозернистых глинистых алевролитов с алевролитами темно-зеленовато-серыми, крупнозернистыми. Аргиллиты хлорит-гидрослюдистые, с ориентированным расположением частиц (одновременное погасание). Среди терригенного материала много призматических пирокластических плагиоклазов. Алевролиты кварцево-полевошпато-граувакковые. Двустворки Bakevellia lapteviensis, B. varians. Мошность 20 м.

Прибрежнинская свита

- 8. Туфопесчаники (ортотуффиты) мелко-среднезернистые и крупнозернистые туфоалевролиты темно-зелено-серые, зеленовато-серые, с горизонтальной и крупной косой слоистостью, с обильными известковыми конкрециями различных размеров. Среди песчаников прослеживаются прослои (до 0,2 м) разногалечных песчаных литокластических туфоконгломератов. Песчаники, так же как и туфоконгломераты, граувакковые, сложены окатанными и хорошо окатанными обломками основных эффузивов, а также кремнистых пород, в меньшей степени зернами кварца, халцедона, глинистых пород, полевых шпатов, бурого стекла, хлоритов, часто изотропных. Цемент хлоритовый и кальцитовый. Мощность 18 м.
- 9. Неравно мерное чередование мелкозернистых песчаников, крупнозернистых и мелкозернистых глинистых алевролитов, алевритовых аргиллитов.

Окраска пород зеленовато-серая, темно-серая, красновато-коричневая. В пачке содержатся многочисленные известковые конкреционные прослои. Песчаники и алевролиты кварцево-полевошпато-граувакковые, граувакково-аркозовые, с гидрослюдисто-хлоритовым и кальцитовым цементом, аргиллиты гидрослюдисто-хлоритовые. В составе красноцветных пород много железистых окислов. Мощность 40 м.

- 10. Туфопесчаники зелено-серые, мелко-среднезернистые, разнозернистые с гравием, вверху мелкозернистые крупнокосо- и горизонтально-слоистые, с прослойками туфоконгломератов, с частыми известковыми конкрециями, граувакковые, с хлоритовым, гидрослюдисто-хлоритовым, кальцитовым и регенерационным кварцевым дементом. В составе преобладают обломки основных эффузивов, кремнистых пород, хлориты. Мошность 14 м.
- 11. Неравномерное чередование алевролитов, аргиллитов и мелкозернистых песчаников. Окраска пород зелено-серая, темно-серая, красновато-коричневая, полосчатая. Слоистость горизонтальная, мелкая косая, волнистая. В пачке заключены многочисленные известковые конкреции. Туфопесчаники граувакковые, в полосчатых разностях много окисленных железистых рудных минералов (естественный шлих). Мощность 80 м.
- 12. Чередование (1-5 м) туфопесчаников, ортотуффитов, литокластических туфов ярко-зелено-серых, иногда полосчатых пестроцветных, мелко-среднезернистых, крупнокосослоистых, с прослойками гравийно-галечных туфоконгломератов; аргиллитов темно-серых, красновато-коричневых, оскольчатых, неясногоризонтальнослоистых, с обильными остатками хвошей и их корней и алевролитов разнозернистых, темно-зеленовато-серых. Песчаники граувакковые, сложены обломками основных эффузивов, хлоритами, часто изотропными и с реликтовыми витрофировыми структурами, кремнистыми породами, в меньшей степени полевыми шпатами, кварцем, глинистыми породами, иногда отмечаются полуразрушенные пироксены. Цемент хлоритовый, кальцитовый, гидрослюдисто-хлоритовый. В пачке содержатся частые известковые конкреции, растительный детрит, остатки членистостебельных Paracalamites sp., Equisefites? sp. Мощность 46 м.
- 13. Аргиллиты алевритовые и мелкозернистые глинистые алевролиты темно-серые, иногда прослоями красноцветные, оскольчатые, неясногоризонтальнослоистые, с редкими мелкими прослоями зелено-серых туфовлевролитов, содержащих обильные остатки хвощей. Аргиллиты хлорит-гидрослюдистые, с ориентированным расположением частиц (одновременное погасание), красноцветные разности содержат значительное количество железистых окислов. В пачке содержатся многочисленные известковые конкреции, Мощность 36 м.
- 14. Неравномерное чередование туфопесчаников зеленовато-серых, мелкозернистых, мелко-среднезернистых, горизонтально-волнисто- и крупнокосо-споистых, аргиллитов алевритовых и алевролитов мелкозернистых, глинистых, темно-серых, красновато-коричневых, тонкогоризонтальнослоистых и неслоистых оскольчатых. Песчаники граувакковые, кварцево-полевошпато-граувакковые с хлоритовым, гидрослюдисто-хлоритовым, кальцитовым, регенерационным кварцевым цементом. Они сложены обломками основных эффузивов, кремнистых пород, хлоритами, часто изотропными, зернами кварца, плагиоклазов, ортоклазов, стекла, халцедона. В пачке заключены редкие мелкие прослои внутриформационных глинистых конгломератов, частые известковые конкреционные прослои, скопление остатков хвощей. Мошность 55 м.

Улахан-крестовская свита

- 15. Аргиллиты темно-серые, мелкоалевритистые, гидрослюдисто-хлоритовые, оскольчатые, с шестоватой отдельностью, с мелкими прослоями зеленовато-серых алевролитов, с септариевыми известковыми конкрециями. Двустворки Pseudocorbula sp. Мощность 35 м.
- 16. Переслаивание (1-6 м) туфопесчаников густо-зелено-серых, мелкозернистых, горизонтально- и косослоистых, содержащих мелкие прослои внутриформационных глинистых конгломератов и аргилитов алевритовых или мелкозернистых глинистых алевролитов темно-серых, оскольчатых. Песчаники
 кварцево-полевошпато-граувакковые, граувакковые, с хлоритовым, гидрослюдисто-хлоритовым, кальцитовым цементом. В составе песчаников очень много хлоритов с реликтовыми признаками основных эффузивов, придающих породе густой зеленый цвет. Помимо хлоритов обломки основных эффузивов,
 кремнистых пород, плагиоклазы, калишпаты, кварц, стекло. Аргиллиты мелкоалевритистые, гидрослюдисто-хлоритовые, с обильным мелким фюзенизированным и галефицированным растительным детритом. В пачке содержатся многочисленные известковые конкреционные прослои. Двустворки Cresslya. sp.
 Мошность 30 м.
- 17. Аргиллиты алевритовые и мелкозернистые глинистые алевролиты темно-серые, оскольчатые, гидрослюдисто-хлоритовые, с известковыми конкрециями. Мощность около 38 м.
- 18. Переслаивание (2-9 м) туфопесчаников густо-зелено-серых и аргиллитов алевритовых или мелкозернистых глинистых алевролитов темно-серых, оскольчатых, как и в пачке 14. Мощность 25 м.
- 19. Аргиллиты алевритовые и алевролиты мелкозернистые, глинистые, темно-серые, оскольчатые, с редкими мелкими (0,2-0,4 м) прослоями крупнозернистых слоистых алевролитов, с известковыми конкрециями. Мошность 80 м.
- 20. Песчаники темно-серые, зелено-серые средне-мелкозернистые, мелкозернистые горизонтально-, волнисто-, мелко- и крупнокосослоистые, с редкими пластами (2-3 м) темно-серых мелкозернистых глинистых алевролитов. Песчаники полевошпато-кварцево-граувакковые, кварцево-полевошпато-граувакковые с хлоритовым цементом. Состав: кварц, плагиоклазы, микроклин, ортоклаз, обломки основных эффузивов, кремнистых пород, фельзитов, глинистых пород, хлориты, бурое стекло, халщедон. В пачке содержатся многочисленные известковые конкреционные прослои. Двустворки Bakevellia arctica, Meleagrinella sp., Myophoria laevigata, Pseudocorbula sp., Gresslya sp.; брахиоподы Costispiriferina lenaensis. Мощность 104 м.
- 21. Алевролиты темно-серые, почти черные, разнозернистые, граувак-ково-аркозовые, с обильным гидрослюдисто-хлоритовым матриксом, с частой мелкой глобулярной сыпью пирита. В средней части прослой темно-зелено-серого мелкозернистого песчаника. Много известковых конкреций. Двуствор-ки Mytilus nativus. Мощность 20 м.
- 22. Песчаники густо-зелено-серые, мелко-среднезернистые, неясногоризонтальнослоистые, массивные, кварцево-полевошпато-граувакковые, с хлоритовым и гидрослюдисто-хлоритовым цементом, с частыми известковыми конкреционными прослоями. В составе песчаников много хлоритов, обломков основных эффузивов. Мошность 22 м.

- 23. Аргиллиты темно-серые, почти черные, мелкоалевритистые, хлоритгипрослюдистые, с глобулярными скоплениями пирита, неясногоризонтальнослоистые, с игольчатой отдельностью, с редкими известковыми конкреционными прослоями. Двустворки Bakevellia arctica, B. aff. rara, Mytilus nativus; брахиоподы Lingula sp. Мошность 10 м.
- 24. Песчаники темно-зелено-серые мелкозернистые горизонтально- и косослоистые, массивные, кварцево-полевошпато-граувакковые, с хлоритовым цементом. В составе терригенных компонентов значительное участие приниманот хлориты и хлоритизированные обломки. Прослеживаются подчиненные прослои темно-серых разнозернистых глинистых алевролитов и алевритовых аргиллитов. В основании пачки внутриформационный конгломерат (15 см). Много известковых конкреций. Двустворки Bakevellia arctica, B. czeljuskini, Mytilus sp., Myophoria laevigata, M. aff. laevigata. Мощность 62 м.
- 25. Песчаники темно-серые, с зеленоватым оттенком, мелкозернистые, массивные, кварцево-полевошпато-граувакковые, с хлоритовым цементом, с небольшими (0,2-0,7 м) прослоями темных крупнозернистых алевролитов. В пачке заключены частые известковые конкреционные прослои. Аммоноидеи Arctohungarites ex gr. triformis, Мошность 30 м.
- 26. Аргиллиты темно-серые, мелкоалевритовые, хлорит-гидрослюдистые, с ходами илоедов, микроконкрециями пирита, микрослоистые за счет ориенти-рованного расположения глинистых и терригенных частиц, оскольчатые, с известковыми конкреционными прослоями. Мощность 80 м.
- 27. Песчаники темно-серые, с зеленоватым оттенком, кварцево-полевошпато-граувакковые, с повышенным содержанием хлоритов, с хлоритовым и гидрослюдисто-хлоритовым цементом, мелкоплитчатые, с редкими растительными остатками. Мощность более 13 м.

Вышележащие отложения уничтожены эрозией.

В описанных разрезах выделяются индские, оленекские и среднетриасовые отложения. Индские образования известны только на возвышенности Кирака-Тас, к ним на основании стратиграфического положения ниже фаунистически охарактеризованных оленекских отложений отнесены аналоги зверинской, бетлингской и фадыокудинской свит.

В.А. Виноградовым /Сакс и др., 1959/ индские отложения указывались в разрезах возвышенности Тулай-Киряка на основании находок Myalina aff. schamarae. Но в этом регионе древнейшими отложениями триаса являются верхнеоленекские толши зоны euomphala, и выделение инда связано с неправильным определением Promyalina schamarae. В обоих районах разрез оленекского яруса начинается с верхнего подъяруса. На возвышенности Тулай-Киряка наиболее полно палеонтологически охарактеризована нижняя половина верхнего оленека.

В районе возвышенности имеется один из наиболее полных разрезов зон euomphala и contrarium. Зона euomphala (восточнотаймырская свита, пачки 1-3, обн. 70, 71) содержит Bajarunia euomphala и Вогеосегаз demokidovi, характерные для верхней подзоны (planorbis) этой зоны. В более высоких слоях (ыстанахская свита, пачки 4-7, обн. 71) выделяются аналоги зоны contrarium, в пределах которой устанавливаются два последовательных комплекса аммоноидей: нижний с Boreoceras lenaense и верхний с Nordophiceras contrarium, Praesibirites egorovi, P. tuberculatum, что позволяет выделить аналоги подзон lenaen—
se и tuberculatum.

В районе возвышенности Киряка-Тас палеонтологически охарактеризована лишь зона euomphala (восточнотаймырская свита, пачки 4-6).

Здесь, наряду с долгоживущими формами (Pseudosageceras longiloba-

tum), встречены новые виды рода Bajarunia, точное положение которых в инфразональной схеме зоны euomphala не вполне ясно. Bajarunia ale—хапdri и B.? taimyrensis имеют узкие вентральные стороны, перетяжки и бугорки на ранних оборотах, свойственные для самых древних баяруний подзоны eiekitensis. О древности этих отложений свидетельствует также отсутствие рода Boreoceras, появляющегося в подзоне planorbis. Таким образом, аммоноидеи из зоны euomphala возвышенности Киряка-Тас могут быть несколько древнее комплекса из восточнотаймырской свиты возвышенности Тулай-Киряка. Соответствует ли комплекс с эндемичными баяруниями возвышенности Киряка-Тас подзоне eiekitensis или может быть сопоставлен с низами подзоны planorbis, в настоящее время не вполне ясно.

В прибрежнинской свите возвышенности Тулай-Киряка обнаружены эндемичные двустворки Myalina vinogradovi. Pseudocorbula sp. Свита выделена по литологическим особенностям. В вышележащей улахан-крестовской свите, которая завершает разрез триаса, встречены двустворки Mytilus nativus, Bakevellia arctica, B. czeljuskini, Myophoria laevigata брахиоподы Costispiriferina lenaensis, характерные Сибири. Единственный цератит из верхней части пачки анизийского яруса 25(23) Arctohungarites ex gr. triformis указывает на зону decipiens. подзону triformis среднего анизия.

Верхнеоленекские и анизийские отложения Юго-Западного Таймыра формировались в прибрежной части морского бассейна, батиметрические условия которого неоднократно менялись.

Песчаные осадки восточнотаймырской свиты (пачки 1,3) накопились в мелководных обстановках верхней сублиторали с неустойчивым батиметрическим, солевым и гидродинамическим режимом. Об этом свидетельствуют разнозернистый песчаный состав осадков, горизонтально-, волнисто- и косослоистые текстуры, совместное нахождение в пределах пачки остатков аммоноидей, двустворок и флоры, экологические особенности бентоса. Сообщество, обитавшее на песчаном дне с сильной динамикой придонных вод и хорошей аэрацией, представлено неподвижными сестонофагами - биссусными двустворками, фильтраторами высокого уровня (крупнораковинные, толстостенные бакевеллии) либо подвижными и неподвижными суспензионными питетелями зарывающимися и биссусными организмами (миофории, лингулы, бакевеллии). Характерными формами являлись преимущественно зарывающиеся (мегадесмусы, кардиниоидесы и псевдопермофорусы), реже биссусные (миалины, промитилусы и лептохондрии) сестонофеги. Из сопутствующих организмов отмечаются прикрепляющиеся (орбикулоидеи) и порхающие (плагиостомы, псевдолимеи) фильтраторы, а также зарывающиеся детритофаги (дакриомии). Пелагические беспозвоночные (аммоноидеи) крайне редки. Наличие миалинид в этом типе сообществ свидетельствует о возможностях опресненных условий бассейна. В среднесублиторальных обстановках сформировались глинистоалевритовые породы восточнотаймырской свиты (пачка 2). В палеоценозе, приуроченном к пачке 2 (см. рис. 1), выделяется два сообщества: собираюшие детритофаги низкого и высокого трофических уровней (палеонукулы и таймыродоны), характерные для глинистых грунтов затишных участков с затрудненным кислородным режимом и неподвижные сестонофаги (мелкие тонкораковинные бакевеллии), приуроченные к алевритовым осадкам со слабой гипродинамикой среды. Характерными формами в этих палеоценозах были подвижные суспензионные питатели низкого уровня (мегадесмусы). Из пелагических организмов многочисленны аммоноидеи.

Ыстанахская свита – отложения более глубоководные. На это указывакот глинистый состав осадков, преимущественно горизонтально-слоистые текстуры, находки стеногалинной фауны (аммоноидеи, наутилоидеи) и т.д. В папеоценозе из алевритовых прослоев доминируют неподвижные сестонофаги (бакевеллии и миалины), обитавшие на крупнозернистых алевритовых грунтах с хорошей аэрацией и умеренной динамикой придонных вод. С глинистыми слоя ми связаны неподвижные тонкораковинные сестонофаги ("стреблоптерии") обитатели затишных условий средней сублиторали.

Прибрежнинская свита отлагалась в обстановках морского мелководья, лагун, кос, баров, пляжей, маршей и т.п. Это подтверждается разнозернистым составом осадков, текстурами различных типов, пестроцветностью пород, значительными скоплениями остатков хвощей. К верхней части свиты приурочено сообщество неподвижных сестонофагов — крупнораковинных (до 100 мм) толстостенных (до 11 мм) биссусных фильтраторов высокого уровня (миалины). Этот реофильный палеоценоз, обитавший на алевритово-песчаных грунтах прибрежно-мелководных участков верхней сублиторали, предпочитал сильную динамику придонных вод с нормальным кислородным режимом. Наличие практически моновидового сообщества (крайне редки зарывающиеся эвриоксибионтные фильтраторы) с высокой популяционной плотностью и экология миалин свидетельствуют, скорее, об опресненных обстановках.

В среднем триасе обстановки оставались также довольно мелководными (верхне- и среднесублиторальными). Для начала раннего анизия характерно моновидовое сообщество неподвижных сестонофагов - биссусных двустворок, фильтраторов высокого уровня (бакевеллии), обитавших в условиях повышенной динамики среды и хорошей аэрации в пределах верхней сублиторали. Присутствие в пелеоценозе одного вида с высокой плотностью заселения может свидетельствовать, по-видимому, о влиянии опресненных условий, унаследованных от позднеоленекского бассейна. Это подтверждается отсутствием аммоноидей. В дальнейшем разнообразие бентоса возрастает, однако доминант сообщества по-прежнему составляют неподвижные сестонофаги (бакевелии) - обитатели прибрежного песчаного мелководья верхней сублиторали с нормальным кислородным режимом и повышенной гидродинамикой. В палеоценнозе характерны миофории и митипусы - любители подвижных придонных вод. Пелагические организмы крайне редки.

Ниже приведены описания двух новых видов аммоноидей, выполненные A.C. Дагисом, и описания пяти новых видов двустворок, выполненные H.И. Курушиным.

Bajarunia alexandri Dagys, sp. nov.

Табл. XIII, фиг. 1-4; табл. XIV, фиг. 1

Название вида дано по имени А.Ю. Егорова.

Голотип. № 766/303. ИГыГ. Юго-Восточный Таймыр, возвышенность Киряка-Тас; оленекский ярус, зона euomphala.

Диагноз. Раковины эволютные, со слабо объемлющими оборотами, средних и крупных размеров. Боковые стороны уплощены, вентральная округ-ленная или слегка приостренная. Умбиликус широкий, умбиликальная стенка низкая, закругленная.

Форма. На первых 2-3 оборотах сечение поперечно-овальное с шириной большей высоты. Четвертый, реже пятый обороты имеют округлые сечения. На пятом обороте сечения начинают удлиняться, приобретают очертания, близкие к округленно-треугольным. Наибольшая ширина оборотов на этой стадии находится у умбиликального края, вентральная сторона обычно слегка приострена. При дальнейшем росте сечения оборотов становятся удлиненно-овальными, боковые стороны уплощаются, вентральная сторона обычно становится более округлой, хотя у некоторых экземпляров может сохраниться при-

остренность вентральной стороны. На ранних стадиях обороты очень слабо объемлющие. Начиная с четвертого-пятого оборотов степень объемлемости увеличивается, но она остается незначительной (менее 1/3 оборота). Умби-пикус широкий, мелкий у вэрослых форм и более глубокий у молодых экземп-пяров. Соответственно умбиликальная стенка более высокая и крутая до конца пятого оборота и низкая, округленная на последних двух оборотах. Жилая камера занимает около половины последнего оборота. Устье простое с небольшим вентральным выступом.

Размеры	(MM):						
№ экз.	Д	В	Ш	Ду	В/Д	Ш/Д	Ду/Д
766/303	50,5	15,1	11,0	23,4	30	22	46
766/304	82,5	23,0	13,8	40,5	28	17	49
766/305	62,2	19,2	10,2	28,2	31	17	45
766/306	59,1	15,5	11,2	28,0	26	19	47
766/307	50,3	13,8	11,2	24,5	28	22	49
766/308	45,2	13,5	9,2	20,5	30	20	46
766/310	48,0	12,5	10,4	24,0	26	22	50
766/311	40,8	13,0	9,2	17,5	32	23	43
766/312	32,5	10,8	8,2	13,0	33	23	40

Скульптура. Раковина у вэрослых форм гладкая, с тонкими сигмоидальными струйками роста, немного оттянутыми к устью на вентральной стороне. На третьем – начале пятого оборотах имеются низкие, но достаточно отчетливые редкие (до 12 на оборот) бугорки, которые затем переходят в низкие складки, прослеживающиеся иногда до предпоследнего оборота.

Лопастная линия. Вентральная лопасть с отчетливо зазубренными ветвями, всегда короче лопасти L, которая является наиболее глубокой. U^1 также всегда короче L,U^2 расположена в основном на внешней стороне. Седло между U^2 и I неотчетливое. Ширина и очертания остальных седел изменчивы (рис. 2).

Изменчивость. Варьируют в основном степень эволютности раковины и связанные с ней высота и ширина оборотов. Наиболее эволютные раковины (табл. XIII, фиг. 1) характеризуются самыми низкими и относительно более толстыми оборотами с наиболее широкой и закругленной вентральной стороной и слабо утолщенными боковыми сторонами. Раковины с наименьшей эволютностью (табл. XIII, фиг. 4) имеют наиболее уплощенные и высокие обороты и слегка приостренную вентральную сторону.

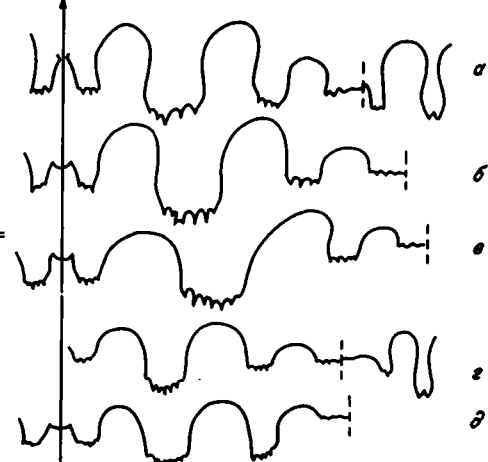
Сравнение. От типового вида рода Bajarunia euomphala отличается более эволютной формой раковины, менее высокими и слабее объемлющими оборотами. От B. eiekitensis /Полов, 1962, с. 184, табл. III, фиг. 5/ также отличается большей эволютностью раковины, отсутствием ясной приостренности вентральной стороны, а также значительно более крупными размерами.

Замечания. Новый вид, особенно его наиболее эволютные экземпляры, очень схожи с древнейшими представителями рода Boreoceras, в первую очередь такими, как B. demokidovi Popow. От последних он отличается несколько большей уплошенностью раковины и строением структуры – более короткой вентральной лопастью, которая всегда короче лопасти L.

Близкой к новому виду является форма, описанная из примерно одновозрастных отложений дельты Лены как Bajarunia sp. /Дагис, Ермакова, 1988/. Она не включена в синонимику нового вида в связи с тем, что

Pис. 2. Лопастные линии Bajarunia alexandri Dagys, sp. nov. (a-в) и Bajarunia taimyrensis Dagys, sp. nov. (r, д).

а - экз. 766/309 при В = 11,0 и \mathbb{H} = 7,3 мм; б - экз. 766/303 при \mathbb{B} = 12,0 мм, \mathbb{H} = 7,7 мм; \mathbb{B} - экз. 766/308 при \mathbb{B} = 12,5 мм, \mathbb{H} = 8,0 мм; \mathbb{F} - экз. 766/302 при \mathbb{B} = 10,5 мм, \mathbb{H} = 4,8 мм; \mathbb{A} - экз. 766/301 при \mathbb{B} = 11,0 мм, \mathbb{H} = 4,9 мм.



имеет более толстые обороты с более высокой умбиликальной стенкой и сильнее выраженную скульптуру.

Распространение. Оленекский ярус, зона Вајатunia euomphala, подзона Вајатunia eiekitensis севера Средней Сибири.

Материал. Восточный Таймыр, возвышенность Киряка-Тас - 28 экз.

Bajarunia? taimyrensis Dagys, sp. nov.

Табл. X.IV, фит. 2-5

Название вида дано по п-ову Таймыр.

Голотип. № 766/299. ИГиГ. Юго-Восточный Таймыр, возвышенность Киряка-Тас; оленекский ярус, зона euomphala.

Диагноз. Раковины полуинволютные, небольших размеров. Обороты тонкие с уплощенными боковыми сторонами и отчетливо приостренной вентральной стороной. Умбиликус мелкий, умеренно узкий, умбиликальные стенки низкие.

Форма. До четвертого оборота раковина со слабообъемлющими оборотами, имеющими поперечно-овальные и округлые сечения. На пятом обороте увеличивается относительная высота оборотов, они становятся удлиненно-овальными, уплощаются боковые стороны и приостряется вентральная сторона. Одновременно резко возрастает объемлемость оборотов. Взрослые формы имеют тонкие раковины с сильно уплощенными на боках оборотами и отчетливо приостренную вентральную сторону. Последние 2-3 оборота облекают предыдущий немного более чем на половину. Умбиликус мелкий, умбиликальные стенки низкие, но крутые. Жилая камера составляет около 2/3 последнего оборота.

Размеры	(MM):						
№ экз.	Д	В	Ш	Д.,	В/Д	Ш/Д	ДДД
				У			У
766/299	44,0	18,8	7,5	12,0	43	17	27
766/300	44,0	19,2	_	11,4	44	-	26
766/302	36,5	16,5	6,5	10,3	45	18	28
766/301	28,0	12,5	5,1	7,5	45	18	27

Скульптура. Вэрослые раковины жидкие, с тонкими либо сигмоидально изогнутыми линиями роста. На ранних стадиях (3-4 оборота) отмечаются неравномерные бугорки на боковых сторонах и, вероятно, имеются пережимы.

Лопастная линия. Вентральная лопасть неглубокая, короче лопасти L. Последняя является самой глубокой лопастью на внешней стороне сутуры. U^2 расположена на умбиликальном шве. Лопасть I нечетко отделена от U^2 . Седла низкие, довольно широкие, обычно с немного уплощенными вершинами (см. рис. 2).

Сравнение. Отчетливо приостренную вентральную сторону имеет Вајагunia eiekitensis Popow, от которой описываемый вид отличается более тонкой со значительно более инволютной раковиной. Бугорки на внутренних оборотах тонкие, свойственны В. alexeevae /Попов, 1961, с. 39,
табл. XXV, фиг. 7/, но последний вид имеет более толстую раковину с округленной вентральной стороной, чем существенно отличается от описываемого.

От B. euomphala Keys. новый вид отличается большей инволютностью раковины, более тонкими оборотами и приостренной вентральной стороной.

Замечания. Новый вид отличается от большинства форм, отнесенных к роду Bajarunia, формой раковины (приостренностью вентральной стороны). Вполне вероятно, этот вид совместно с B. eiekitensis следует выделить в самостоятельный таксон более высокого ранга.

Распространение. Оленекский ярус, зона Bajarunia euomphala, подзона Bajarunia eiekitensis севера Средней Сибири.

Материал. Восточный Таймыр, возвышенность Киряка-Тас - 6 экз.

Pog Promytilus Newell, 1942

Promytilus borealis Kurushin, sp. nov.

Табл. XV. фиг. 1-3

Название вида от boreus (лат.) - северный.

Голотип. № 766/313 (левая створка). ИГиГ. Восточный Таймыр, возвышенность Тулай-Киряка, бассейн р. Хутуда-Яму; оленекский ярус, зона euomphala.

Диагнов. Раковина небольшая, слабо изогнутая, умеренно скошенная со слабо заметными концентрическими линиями роста.

Описание. Раковины небольшие, достигающие 18 мм в длину и 14 мм в высоту, митилоидные, слабо изогнутые, различной степени удлиненности (В/Д = 1,06-0,66), умеренно скошенные. Задний край слабовыпуклый, довольно длиный и равен примерно 2/3 длины раковины. Брюшной край прямой с едва выраженным синусом и небольшой лопастью вблизи макушки; задний – узкий, несколько оттянутый. Макушки почти терминальные, притупленные, небольшие. Створки умеренно выпуклые, с резким апикальным гребнем в примакушечной части. От макушки к верхней части брюшного края проходит слегка выраженная широкая депрессия. Створка покрыта частыми, слабо заметными, сглаженными концентрическими складочками и многочисленными линиями нарастания.

Нимфы толстые, оставляющие на ядрах округлые, широкие и довольно глубокие бороздки. Мускульные отпечатки овальные, передний — маленький, задний — среднего размера. Мантийная линия прерывистая. Вблизи макушки расположено пять-шесть мелких висцеральных отпечатков.

Размеры (мм):									
№ экз.	В	Д	В/Д	Вп	Вп/В	Д	∠ CK		
766/313, л.с.	11,6	17,6	0,66	3,2	0,28	19,5	46°		
766/314, п.с.	13,3	12,5	1,06	3,6	0,27	15,2	51°		
766/315, π.с.	10,0	12,4	0,80	3,0	0,30	13,7	51 ⁰		

766/316, л.с.	9,5	11,5	0,83	2,8	0,20	12,2	59°
766/317, п.с.	8,8	9,6	0,92	3,C	0,34	10,0	58°
766/318, л.с.							

Изменчивость. Выражается в различной степени удлиненности раковин от вытянутых в высоту до несколько удлиненных ($B/\Pi = 1,06-0,66$) и изменении угла скошенности ($CK = 46-59^{\circ}$).

Сравнение и замечание. От вида Modiola paronai /Bittner, 1985, S. 48, Tab. V, Fig. 19/, который, вероятно, относится к роду Promytilus и известен из карния Южных Алып, отличается умеренно скошенной раковиной, притупленными макушками, менее развитыми лопастью и брюшным синусом.

От Promytilus retusus Chronick, описанного В.А. Муромцевой /Пермские... отложения..., 1984, с. 40, табл. 4, фиг. 1; 3-12, 20/ из верхней перми Русской платформы, Приуралья и Пай-Хоя, отличается менее выраженными лопастью и депрессией, а также отсутствием радиальной струйчатости на ядрах.

По наличию небольшой передней лопасти, апикального гребня и брюшного синуса изученный вид отнесен к роду Promytilus.

Фациальная приуроченность и тафономическая характеристика. Находки вида довольно часты в песчаниках в ориктоценозе с ракушняковыми скоплениями бакевеллий, кардиниоидесов, миалин, лептохондрий и миофорий. Экземпляры представлены разобщенными неокатанными створками, иногда деформированными, лежащими вдоль плоскостей наслоения. Захоронение промитилусов происходило, вероятно, в довольно подвижной среде недалеко от мест обитания.

Условия обитания. Представители вида обитали на прибрежно-мелководных песчаных грунтах верхней сублиторали в условиях подвижной гидродинамической активности и хорошей вэрации. Плотных поселений не образовывали.

Распространение. Оленекский ярус, верхний подъярус Восточного Таймыра.

Материал. 20 экз. - Восточный Таймыр, возвышенность Тулай-Ки-ряка, бассейн р. Хутуда-Яму.

<u>Род</u> Myalina Koninck, 1842

Myalina vinogradovi Kurushin, sp. nov.

Табл. XV, фиг. 4

Название вида в честь В.А. Виноградова.

Голотип. № 766/322 (левая створка). ИГиГ. Восточный Таймыр, возвышенность Тулай-Киряка, бассейн р. Хутуда-Яму; оленекский ярус, верхняя часть.

Диагнов. Раковина очень крупная и толстостенная, сильновыпуклая, с умеренно развитым задним крылом и резким килем.

Описание. Раковины очень крупные, достигающие 90 мм в высоту и 71 мм в длину, сильно толстостенные (до 11 мм) от едва до сильно вытяннутых в высоту, почти равностворчатые, слабо скошенные, сильновыпуклые, суженные книзу. Замочный край прямой, длинный и составляет 0,8-0,9 длины раковины. Брюшной край слабовыпуклый, задний – прямой. Макушки прозогирные, терминальные, маленькие, заостренные, клювовидно изогнутые кпереди. Киль резкий. Угол скошенности равен 50-70°. Скульптура представлена концентрическими линиями роста. Вблизи макушки на брюшном крае имеется биссусная выемка.

Замочная площадка длинная, относительно широкая, пластинчатого строения, с одним коротким зубовидным выростом под макушкой на каждой створке. Мускульные отпечатки и мантийная линия не сохранились.

Размеры (мм):

№ экз.	В	Д	В/Д	Bn	Bn/B	Дн	
766/319, ц.р.	88,0	62,3	1,41	31,5	0,36	97,0	70 ⁰
766/320, ц.р.	73,4	71,0	1,03	28,0	0,38	91,5	50°
766/321, ц.р.	63,0	56,4	1,12	22,2	0,35	69,8	57°
766/322, л.с.	66,4	44,0	1,50	26,0	0,39	71,0	69°

Изменчивость. Проявляется в варьировании очертаний раковин от едва до сильно вытянутых в высоту ($B/\Pi = 1,03-1,50$) и угла скошенности ($2CK = 50-70^{\circ}$).

Сравнение. От близкого вида Myalina (Myalina) kiparisovae /Дагис, Курушин, 1985, с. 60, табл. X, фиг. 4-6, табл. XI, фиг. 1/ из среднего триаса севера Средней Сибири отличается более крупной, очень толстостенной, сильновыпуклой раковиной с умеренно развитым крылом и слабовыпуклым брюшным краем и резким килем.

От Myalina kochi/Spath, 1935, р. 10, tab. 10, fig. 5/ из верхнеиндских отложений Восточной Гренландии отличается очень крупной, толстостенной раковиной с менее развитым задним крылом и слабовыпуклым брюшным краем.

Фациальная приуроченность и тафономическая характеристика. Представители вида многочисленны в крупнозернистых алевролитах
совместно с единичными псевдокорбулами и захоронены в виде гнезд либо
единично рассеянных экземпляров. Как правило, это делые крупные раковины,
довольно часто деформированные, реже створки удовлетворительной сохранности, ориентированные параллельно напластованию. Часты фрагменты раковин, несущие следы окатанности. Многочисленны остатки хвошей. Захоронение
миалин происходило, вероятнее всего, на мелководных участках при сильной
гидродинамике и со значительной транспортировкой.

Условия обитания. Селился на илисто-песчаных грунтах при сильной подвижности придонных вод и нормальном кислородном режиме в условиях опресненных обстановок прибрежного мелководья верхней сублиторали.

Распространение. Оленекский ярус, верхняя часть верхнего подъяруса Восточного Таймыра.

Материал. 14 экз. - Восточный Таймыр, возвышенность Тулай-Киряка, бассейн р. Хутуда-Яму.

Род Bakevellia King, 1848

Подрод Maizuria Nakazawa, 1959

Bakevellia (Maizuria) subarctica Kurushin, sp. nov.

Табл. XV, фиг. 5-7

Название вида по сходству с видом arctica.

Голотип. № 766/326 (ядро правой створки). ИГиГ. Восточный Таймыр, возвышенность Тулай-Киряка, бассейн р. Хутуда-Яму; оленекский ярус, зона euomphala.

Диагнов. Раковина крупная, широкая, ромбическая, с весьма эксцентричными макушками и концентрическими линиями нарастания.

Описание. Раковины крупных размеров (до 35 мм в высоту и 60 мм в длину), толстостенные, ромбические, широкие (B/Д = 0.6-0.8), слабо не-

равностворчатые и скошенные. Замочный край прямой, длинный и равен 0,8 длины раковины. Передний край умеренно выпуклый, задний — прямой, нижний — оттянутый, узкий, сильновыпуклый. Макушки прозогирные, весьма эксцентричные (отстоят от переднего края на 1/3 длины замочного края) и слегка выступают за замочный край.

Левая створка слабовыпуклая, незначительно выпуклее правой. Макушка довольно массивная. Киль выражен достаточно отчетливо. Створка покрыта многочисленными концентрическими линиями нарастания. Макушка на правой створке меньшего размера, чем на левой. Киль выражен слабее. Скульптура аналогична таковой левой створки, но несколько ослаблена. Переднее ушко небольшое, слабовыпуклое, заднее – большое, уплощенное, крыловидное, с приостренным окончанием.

Длинная широкая замочная площадка несет две субквадратных лигаментных ямки, расположенные в верхней ее половине. В замке левой створки развито по одному короткому переднему и относительно длинному заднему зубу, в замке правой створки — по одному переднему и по два задних зуба. На передней замочной ветви имеется 6-7 псевдотаксодонтных зубчиков, на задней их не отмечено.

Мускульные отпечатки овальные: задний – большой, передний – очень маленький. Мантийная линия прерывистая. Вблизи макушки находятся три мел-ких висцеральных отпечатка.

Размеры	(MM):							
№ экз.	В	Д	В/Д	вп	Вп/В	ДПЧ	ДПЧ/)	1 CK
766/323, π. c.	35,00	60,00	0,59	11,50	0,33	16,00	0,27	28°
766/324, п. р.	42,00	56,00	0,75	14,00	0,33	16,00	0,29	42°
766/325, л. с.	31,00	48,50	0,64	13,00	0,42	10,00	0,21	300
766/326, л. с.	35,50	45,00	0,79	10,40	0,30	11,50	0,25	41°
766/327, л. с.	30,30	42,80	0,71	10,50	0,34	11,40	0,26	52°
766/328, п. с.	27,50	38,00	0,72	9,00	0,32	11,80	0,31	42°
766/329, п. с.	18,00	25,50	0,71	5,50	0,31	7,00	0,27	38°
766/330, п. с.	16,00	22,00	0,73	4,00	0,25	6,00	0,27	40°
766/331, п.с.	11,60	18,30	0,63	3,10	0,26	5,00	0,27	42°
766/332, п. с.	11,00	17,00	0,65	2,90	0,26	5,00	0,29	400

Изменчивость. По мере роста раковины нижний край становится более узким и оттянутым, уменьшается коэффициент выпуклости от 0.42 до 0.25. Индивидуальная изменчивость выражается в различной степени удлиненности (B/D = 0.3-0.4), скошенности ($LCK = 28-52^{\circ}$), изменении коэффициента выпуклости раковины (Bn/B = 0.3-0.4) и незначительной степени эксцентричности макушки (Dn/D = 0.2-0.3).

Сравнение. Новый вид отличается от Bakevellia (Maizuria) arctica (Kipar.) /Курушин, 1980, с. 55, табл. IV, фиг. 1-4; табл. V, фиг. 2, рис. 2/ из анизийского яруса северо-востока Азии ромбической раковиной, немассивными, более эксцентричными макушками, сильнее развитым задним ушком и некоторыми особенностями строения замочного аппарата.

От Б. (М.) lapteviensis /Курушин, 1980, с. 64, табл. V, фиг. 7, 8; табл. VI, фиг. 1, рис. 5/ из верхнеоленекского и нижнеанизийского подъярусов северо-востока Азии отличается более крупной, широкой и ромбической слабовыпуклой раковиной, а также менее развитыми макушками.

От В. (М.) ladinica /Курушин, 1980, с. 70, табл. IV, фиг. 5; табл. V, фиг. 1; табл. VII, фиг. 1-5, рис. 6/ из ладина и нижнего карния северо-востока Азии отличается ромбической раковиной, не массивными и эксцентричными макушками, а также слабо выраженной концентрической скульптурой и менее развитым замочным аппаратом.

Фациальная приуроченность и тафономическая характеристика. Обилен в песчаниках и образует два типа захоронений: ракушняковый и рассеянный. В ракушняках (линзовидных прослоях, выдержанных по
латерали на десятки метров и мощностью до 0,5 м) бакевеллии совместно с
миофориями являются доминантами ориктоценозов. Из характерных форм встречаются миалины, другие представители бакевеллий и орбикулоидеи, редки
псевдолимеи, беззамковые брахиоподы и гастроподы. Бакевеллии представлены разрозненными створками, вложенными друг в друга, часто обломанными
и деформированными, а также целыми раковинами, лежащими вдоль непластования. Крупные экземпляры значительно преобладают, сохранность удовлетворительная. Отмечаются следы сортировки и транспортировки. Вид был захоронен, вероятнее всего, в условиях сильной гидродинамики среды в пределах
верхней сублиторали.

В рассеянных захоронениях бакевеллии обнаружены вместе с лингулами, составляя ядра ориктоценозов. Многочисленны ходы илоедов, ориентированные вдоль плоскостей напластования. Редки миофории и зубы рыб. Целые раковины и створки бакевеллий содержатся примерно поровну, их фрагменты единичны. Экземпляры крупные, сохранность хорошая. Захоронение происходило, вероятно, на мелководных участках с повышенной динамикой вод вблизи от мест обитания.

Условия обитания. Обитал на песчаных грунтах при сильной динамике среды в условиях хорошей аэрации прибрежно-мелководных участков бассейна. Мог образовывать плотные поселения.

Распространение. Верхнеоленекский подъярус, зона euomphala. Восточного Таймыра.

Материал. Около 70 экз. - Восточный Таймыр, возвышенность Тулай-Киряка, бассейн р. Хутуда-Яму, 5 экз. - возвышенность Киряка-Тас (сборы Ю.А. Богомолова).

Bakevellia (Maizuria) czeljuskini Kurushin, sp. nov. Табл. XV, фиг. 8-11

Название вида в честь С. Челюскина.

Голотип. № 766/334 (целая раковина). ИГиГ. Восточный Таймыр, возвышенность Тулай-Киряка, бассейн р. Хутуда-Яму, анизинский ярус.

Диагноз. Раковина крупная, сильно и умеренно удлиненная, неравностворчатая, изогнутая, скошенная, со слабовогнутой правой створкой и очень эксцентричными макушками.

Описание. Раковины крупные, с длиной до 63 мм и высотой 26 мм, толстостенные, сильно и умеренно удлиненные (В/Д = 0,3-0,4), неравностворчатые, изогнутые, скошенные. Замочный край прямой, длинный и составляет 0,7 длины раковины. Передний край умеренно выпуклый, задний — прямой, нижний — узкий, оттянутый. Макушки прозогирные, небольшие, очень эксцентричные (отстоят от переднего края на 1/4-1/3 длины замочного края) и выдающиеся за замочный край.

Левая створка слабовыпуклая. Макушка хорошо развитая, киль отчетливый. Скульптура представлена многочисленными линиями нарастания. Правая створка слабовогнутая, с менее развитой макушкой, пологим килеобразным перегибом и ослабленными линиями нарастания. Переднее ушко меньше заднего, почти уплошенное, приостренное. Заднее — едва выпуклое.

Замочная площадка длинная, довольно широкая, с четырьмя почти прямо угольными ямками, расположенными на задней замочной ветви и под макушкой. В замке левой створки имеются длинный задний и короткий передний зуб; в замке правой — два задних зуба и один передний. На задней вет—

ви развито 6-8 мелких псевдотаксодонтных зубчиков. Мускульные отпечатки овальные: передний — маленький, задний — большой. Мантийная линия прерывистая. Вблизи макушки расположены три мелких висцеральных отпечатка.

Размеры	(MM):					
№ экз.	В	Д	В/Д	Вп	Вп/В ДПЧ	ДПЧ/Д СК
766/333, ц. р.	26,0	62,5	0,42	5,8	0,23 12,6	0,20 19°
766/334, ц. р.	17,5	62,2	0,27	5,7	0,32 12,5	$0,20 ext{ } 19^{\circ}$
766/335, ц. р.	19,4	60,0?	0,32?	5,5	0,28 12,5	0,21? 19 ⁰
766/336, ц. р.	20,0	58,0	0,35	4,9	0,25 11,0?	0,19? 20°
766/337, ц. р.	18,7	56,0	0,33	5,5	0,30 11,0	0,20 18 ⁰
766/338, п. р.	17,7	49,4	0,36	4,8	0,27 11,0	0,22 18°
766/339, л. с.	3,5	11,2	0,31	1,2	0,34 3,2	0,28 17°

Изменчивость. Выражается в варьировании очертаний раковины от сильно и умеренно удлиненных (В/Д = 0,27-0,42) и изменении коэффициента выпуклости (Вп/В = 0,23-0,32).

Сравнение. От близкого вида Bakevellia (Maizuria?) czekano-wskii /Курушин, 1980, с. 68, табл. VI, фиг. 2-5/ из верхнего анизия севера Средней Сибири новый вид отличается толстостенной, более скошенной, изогнутой, сильно неравностворчатой раковиной со слабовогнутой правой створкой, очень эксцентричными макушками и четырымя связочными ямками.

От B. (М.) lapteviensis /Курушин, 1980, с. 64, табл. V, фиг. 7,8; табл. VI, фиг. 1, рис. 5/ из верхнеоленекского и нижнеанизийского подъярусов Сибири и северо-востока Азии отличается вышеотмеченными признаками, а также сильно и умеренно удлиненной раковиной.

Фациальная приуроченность и тафономическая характеристика. Находки вида многочисленны в линзовидном внутриформационном
конгломерате песчаного слоя в ориктоценозе с другими бакевеллиями, митилусами, миофориями и крупными гастроподами. Раковины бакевеллий целые,
корошей сохранности с сомкнутыми створками, иногда деформированные, без
следов окатанности и ориентированы параллельно напластованию. Доминируют
крупные экземпляры. Представители вида захоронены, вероятно, вблизи от
мест обитания без значительной транспортировки в условиях мелководья.

Условия обитания. Селился на песчаных грунтах с галечником при повышенной динамике придонных вод и хорошей аэрации в пределах верхней сублиторали.

Распространение. Анизийский ярус Восточного Таймыра.

Материал. 55 экз. - Восточный Таймыр, возвышенность Тулай-Киряка, бассейн р. Хутуда-Яму.

<u>Род</u> Megadesmus Sowerby, 1838

Megadesmus gromovi Kurushin, sp. nov.

Табл. XV, фиг. 12-16

Название вида в честь К.М. Громова.

Голотип. № 766/341 (целая раковина). ИГиГ. Восточный Таймыр, возвышенность Киряка-Тас; оленекский ярус, зона euomphala.

Диагнов. Раковина крупная, овально-удлиненная, с тупым килеобразным перегибом и слабо эксцентричными макушками.

Описание. Раковины крупные (до 49 мм в длину и 35 мм в высоту), овально-удлиненные (В/Д = 0,6-0,7), умеренно выпуклые, равностворчатые. Передний край равномерно округлый, нижний - слабовыпуклый; задний - косо

усеченный, несколько оттянутый. Макушки прозогирные, небольшие, острые, загнутые внутрь, слабо эксцентричные (ДПЧ/Д = 0,40-0,45). Шиток явственный. Килеобразный перегиб тупой. Створки покрыты частыми нерегулярными концентрическими складками и многочисленными тонкими линиями нарастания. Радиальная скульптура обычно представлена слегка выраженными струйками, сохраняющимися, как правило, на ядрах.

В замочном аппарате правой створки зубной выступ, в левой – ямка для зубного выступа. Нимфы хорошо развитые. Задний мускульный отпечаток среднего размера, округлый; передний – несколько меньше заднего, удлиненно-овальный, с вогнутостью вблизи макушки. Над передним аддуктором расположено два небольших овальной формы педальных мускульных отпечатка – протрактор и ретрактор. Выше заднего аддуктора развит один маленький ретрактор. Вблизи макушки на переднем апикальном крае находится два мелких висцеральных отпечатка. Мантийная линия цельная, без синуса.

Размеры (мм): № экз.	В	Д	В/Д	дпч	дпч/д
766/341, ц. р.	33.0	48.7	0.67	20.4	0.42
766/342, п. р.	34,2	47,5	0.72	22,5	0.47
766/343, ц. р.	28,4	39,8	0,71	16,0	0,40
766/344, ц. р.	20,3	31,4	0,64	12,3	0,39
766/345, n. c.	12,5	22,0	0,57	8,3	0,38
766/346, ц. р.	10.2	17,5?	0.58	7,0	0,40

Изменчивость. Проявляется в степени удлиненности раковины (В/Д = 0,6-0,7), эксцентричности макушек (ДПЧ/Д = 0,40-0,45) и едва выраженной радиальной струйчатости либо в ее отсутствии.

Сравнение. От Megadesmus borealis Murom. / Пермские... отложения..., 1984, с. 92, табл. 45, фиг. 6; табл. 49, фиг. 6/ из верхней перми (уфимский ярус) Южного Верхоянья и Пай-Хоя новый вид отличается незияющей, умеренно выпуклой раковиной и обычно радиальными струйками.

Фациальная приуроченность и тафономическая характеристика. Вид многочислен в песчаниках в ориктоценозе с миалинами, крупными бакевеллиями, миофориями и аммоноидеями; редок в аргиллитах совместно с палеотаксодонтами, мелкими бакевеллиями и аммоноидеями. Экземпляры представлены как цельми раковинами, так и створками хорошей сохранности, лежащими преимущественно вдоль наслоения. Следы окатанности
отсутствуют, фрагменты редки. Крупные раковины преобладают. Захоронение
происходило, скорее всего, без существенного переноса в условиях мелководья.

Условия обитания. Обитал на песчаных, реже илистых грунтах, главным образом в пределах верхней сублиторали при нормальном кислородном режиме и повышенной, иногда слабой гидродинамической активности. Плотных поселений не образовывал.

Распространение. Оленекский ярус, зона euomphala Восточного Таймыра.

Материал. 75 экз. - Восточный Таймыр, возвышенность Тулай-Киряка, бассейн р. Хутуда-Яму; 45 экз. - возвышенность Киряка-Тас (сборы Ю.А. Богомолова).

- <u>Дагис А.С., Ермакова С.П.</u> Бореальные позднеоленекские аммоноидеи. М.: Наука, 1988. 133 с.
- Дагис А.С., Курушин Н.И. Триасовые брахиоподы и двустворчатые моллюски севера Средней Сибири. М.: Наука, 1985. 160 с.
- Казаков А.М., Дагис А.С., Карогодин Ю.Н. Литостратиграфические подразделения триаса севера Средней Сибири // Био- и литостратиграфия триаса Сибири. - М.: Наука, 1982. - С. 5-36.
- Курушин Н.И. Триасовые бакевеллии (Mollusca, Bivalvia) Средней Сибири // Палеонтология и стратиграфия триаса Средней Сибири. — М.: Наука, 1980. — С. 51—80.
- Пермские морские отложения и двустворчатые моллюски Советской Арктики / Под ред. Муромцевой В.А. Л.: Недра. Ленингр. отд-ние, 1984. 208 с.
- <u>Попов Ю.Н.</u> Триасовые аммоноидеи Северо-Востока СССР. Л.: Гостоптехиздат, 1961. – Вып. 79. – 179 с.
- Полов Ю.Н. Новые виды аммоноидей из оленекского яруса Верхоянья и Лено-Оленекского междуречья // Проблемы нефтегазоносности Советской Арктики. Палеонтология и биостратиграфия. – Л.: Гостоптехиздат, 1962. – С. 176-195.
- Сакс В.Н., Грамберг И.С., Ронкина З.З., Аплонова Э.Н. Мезозойские отложения Хантайской впадины. Л.: Гостоптехиздат, 1959. 226 с.
- Bittner A. Lamellibranchiaten der alpinen Trias // Abh. Geol. Reichsanst. Wien, 1895. Bd 18, H. 1. S. 1-235.
- Spath L. F. Additions to the Eotriassic invertebrate fauna of East Greenland // Medd. Grøland, 1935. Vol. 118, N 2. P. 1-115.

А.Ю. Егоров, Л.И. Куликова

СТРАТИГРАФИЧЕСКОЕ ПОЛОЖЕНИЕ РАННЕТРИАСОВЫХ ТРАППОВ ТАЙМЫРА

Разрезы нижнего триаса Таймыра можно рассматривать как ключевые для выяснения стратиграфического положения траппов Тунгусской синеклизы, примыкающей к Таймыру с юга. Это связано с тем, что на Таймыре восточные разрезы содержат как морские, так и зажатые между ними континентальные слои с богатыми флористическими комплексами. К западу такие смешанные разрезы сменяются континентальными, в которых морская фауна встречается только на единичных трансгрессивных уровнях. В то же время все разрезы Таймыра в том или ином количестве содержат вулканические породы трапповой формации.

Изученность опорных разрезов триаса Таймыра крайне неравномерна. Разрез на м. Цветкова изучен наиболее детально. Он изучался И.М. Мигаем /1952/, И.С. Грамбергом /1964/, М.Н. Вавиловым и М.Е. Капланом /1974/, А.С. Дагисом и др. /1984/ и др.

И.М. Мигай выделил между пермскими и анизийскими отложениями эффузивно-туффитовую свиту мощностью 285 м, относимую к пермотриасу; подоленекские слои мощностью 185 м и оленекские слои мощностью 110 м, соответствующие зоне spiniplicatus.

И.С. Грамберг /1964/ установил, что "в районе имеются две (а не одна, как предполагал И.М. Мигай) туфолавовые толши. Одна из них связана непрерывным переходом с верхнепермскими отложениями и содержит растительные остатки пермского облика. Вторая залегает в основании разреза триасовых отложений и охарактеризована остатками флоры, указывающими на мезозойский возраст вмещающих пород. Толши разделены поверхностью размыва и угловым несогласием". К сожалению, И.С. Грамберг не указывает площади распространения своей нижней туфолавовой свиты. В разрезе нижнего триаса он выделяет индский и оленекский ярусы, разделенные на ритмы; к индскому ярусу относит эффузивно-туффитовую толшу и подоленекские слои И.М. Мигая.

М.Е. Каплан /Вавилов, Каплан, 1974/ выделил в составе индского яруса нижнюю терригенную туфолавовую и верхнюю терригенную толши, разделив, таким образом, эффузивно-туффитовую толщу И.М. Мигая на две, а верхнюю терригенную сопоставив с подоленекскими слоями.

В.П. Белозеров и Г.Н. Садовников /Садовников и др., 1981/ выделили из нижней терригенной толши самостоятельную марининскую свиту мощностью 200 м, представленную аргиллитами и алевролитами с тонкими прослоями песчаников без углей, содержащими Tomiostrobus aff. gorskyi (Vlad.), Т. tomiensis (Neub.), Pleuromeia (Skilliostrobus?) sp., Lepidopteris sp., Peltaspermum sp. и др. Свита залегает на серощветных угленосных отложениях скалистой свиты с кордаитами и перекрывается пестроцветными аргиллитами и алевролитами эффузивно-туффитовой свиты И.М. Мигая с Pleuromeia (Skilliostrobus?) sp., Tomiostrobus aff. gorskyi (Vlad.), T. migayi (Schwed.), T. cf. tomiensis (Neub.), Todites sp., Acrostichides cf. tunguskanum (Pryn.), Cladophlebis cf. taimyrensis Schwed., Lepidopteria arctica Mog.

Приведенные списки свидетельствуют о близости флористических комплексов марининской и эффузивно-туффитовой свит, о наличии крупного рубежа между скалистой и марининской свитами, на котором кордаитовая палеофитная флора сменилась постпалеофитной.

Последнее наиболее детальное комплексное изучение этого разреза проведено группой сибирских исследователей /Казаков и др., 1982 а, б; Дагис, Казаков, 1984/ и др. В результате их работ этот разрез стал одним из эталонных для среднесибирской зональной схемы, в нем также выделены новые литостратиграфические подразделения. В нижнем триасе установлены кешинская, цветковомысская, восточнотаймырская, ыстанахская и прибрежнинская свиты. Кешинская свита представлена преимущественно сероцветными песчаниками, алевролитами и аргиллитами. Свита содержит по всему разрезу многочисленные растительные остатки.

Цветковомысская свита сложена туфами, орто- и паратуффитами, чередующимися с красно-бурыми аргиллитами. В верхней части свиты – три покрова мандельштайнов.

Восточнотаймырская свита представлена чередующимися песчаниками, алевролитами, паратуффитами, туфами. В нижней половине свиты собран обширный флористический комплекс, который, по мнению Н.К. Могучевой, близок к кешинскому. В верхней половине свиты собраны остатки позднеоленекских Boreoceras sp.

Ыстанахская свита сложена морскими темно-серыми туфоаргиллитами, переходящими в верхней части в глинистые туфоалевролиты с многочисленными остатками аммоноидей обеих подзон зоны spiniplicatus.

Прибрежнинская свита завершает разрез нижнего триаса и представлена прибрежно-морскими туфолесчаниками с подчиненными прослоями алевролитов и аргиллитов в нижней части. Окраска песчаников в нижней части свиты пестроцветная, в верхней - зеленовато-серая. Все остальные породы сероцветные. Свита содержит остатки аммоноидей подзоны subrobustus.

Возраст первых двух свит условно принимается индским, третьей - раннеоленекским, четвертой и пятой - позднеоленекским /Дагис, Казаков, 1984/.

На р. Чернохребетной триасовые отложения изучались И.М. Митаем /1952/, М.Н. Вавиловым, М.Е. Капланом /1974/, выделившими здесь отложения нижнего оленека и современной зоны euomphala.

Г.Н. Садовников и Э.Ф. Орлова /Садовников и др., 1981/ протянули сода с м. Цветкова марининскую свиту, в которой они собрали близкий комплекс флоры. Над марининской свитой эти авторы выделяют мошную пестроцветную толшу, в нижней и верхней частях сложенную красными алевролитами и мелкозернистыми песчаниками. Среди последних в конкрециях встречаются двустворки и Arctoceras cf. оеbergi. Средняя часть пестроцветной толши сложена пестрыми, преимущественно красными алевролитами и артиллитами с многочисленными Pleuromeia (Skilliostrobus?), реже Mesenteriophyllum sp., Tomiostrobus migayi (Schwed.), Neocoretrophyllites sp. и др., а также отмечены конхостраки Liostheria ingatjevi Nov., Cyclestheria rossica Nov., Pseudostheria sibirica Nov. и др.

На возвышенности Тупай-Киряка И.С. Грамберг /Сакс и др., 1959/ выделил в основании триаса отложения индского яруса, представленные пестроцветной пачкой песчаников с линзами конгломератов с Myalina schamaгае (Bittn.), а выше — оленекского яруса, представленные песчаниками, в
низах серо-зелеными, в верхах — пестроцветными с Dieneroceras cf. demokidovi, Nordophiceras schmidti. В этом разрезе сейчас выделяются отложения оленекского и анизийского яруса (см. статью А.С. Дагиса и
др. в этом сборнике).

Г.Н. Садовников на возвышенности Тулай-Киряка выделяет в нижней части разреза фадьюкудинскую свиту /Садовников и др., 1981/, к которой относит до 600 м пестроцветных отложений, включающих в верхней части слои с Dieneroceras (= Boreoceras).

В хр. Киряка-Тас В.Н. Сакс и др. /1959/ описали на угленосных пермских образованиях зверинскую свиту^ж, представленную основными туфами, туффитами, базальтами, мошностью около 300 м, выше – бетлингскую свиту, сложенную базальтами, реже – туффитами с остатками Quadracladus в нижней части, а еще выше – морские оленекские образования.

Разрез на р. Фадъюкуда изучали И.М. Мигай /1954/, В.А. Черепанов /Шведов, 1957/, Э.Ф. Орлова и Г.Н. Садовников /Садовников и др., 1981/.

В.А. Черепанов /Шведов, 1957/ впервые выделил фадыхкудинскую и мамонову свиты. Фадыхкудинская свита, по его данным, сложена полимиктовыми конгломератами, полимиктовыми туфопесчаниками, алевролитами, базальтовыми и риолитовыми туфами. Свита содержит остатки Anodontophora (= Unionites) cf. fassaensis. Мощность свиты 1100 м.

Мамонова свита сложена алевролитами, переслаивающимися с конгломератами и песчаниками, в нижних горизонтах содержит Unionites cf. fassaensis, U. cf. canalensis, в верхних Neocalamites carcinoides Harris и др. Мошность свиты 2100 м.

Г.Н. Садовников /Садовников и др., 1981/ выделяет над лавовой толщей попутненскую толщу (30 м), в стратотипе (р. Бол. Боотанкага) сложенную светло-серыми мягкими алевролитами с прослоями конгломератов в ниж-

^{*}Впервые зверинская и бетлингская свиты были выделены Г.А. Ковалевой в 1963 г. соответственно на р. Звериной в Центральном Таймыре и на о. Бетлинга на оз. Таймыр.

разрезов собрал остатки растений Arctostichides? sp., Kirjamkenia? sp., Yavorskia?s., Elatocladus ex gr. pachyphyllus Pryn., Marattia? sp., Cladophlebis ex gr. nebbeusis (Brongn.), C. cf. whitbiensis (Brongn.), Nilsonia? ex gr. brevis Brongn., Glossophyllum? sp., Carpolites ex gr. cinatus Nath., Brachyphyllum. sp., Pityophyllum ex gr. longifolium Nath., Conites? sp. Первые четыре формы встречаются в вулканогенных образованиях Тунгусского и Кузнецкого бассейнов, остальные, по мнению Г.Н. Садовникова, близки к кейперским.

Над попутненской толщей Г.Н. Садовников выделял фадыокудинскую свиту мощностью 1400-15500 м, разделенную на три толщи. Из нижней толщи им собраны Paracalamites sp., Cladophlebis? sp., Rhizomopteris sp., Lepidopteris cf. arctica Mog., а из средней - Neocalamites ex gr. merianii (Brongn.), Carpolites sp.

Г.Н. Садовников резко увеличил мощность мамоновой свиты и разделил ее на четыре части. Нижняя (1900 м) представлена почти исключительно черными алевролитами и аргиллитами. Во второй (100 м), наряду с аналогичными породами, присутствуют многочисленные, часто мощные прослои песчаников и конгломератов. Третья (700 м) сложена красными алевролитами и аргиллитами, четвертая (1200 м) - черными алевролитами и аргиллитами. В низах нижней толщи на реках Кыйда и Фадьюкуда найдены двустворки Unionites breviformis (Spath) U. canalensis (Cat.), U. cf. borealis (Spath), U. fassaensis (Wissm.), U. montisfluvii Zeil., Myalina cf. pavligae Popow, Atomodesma errabunda Popow, Posidonia subwengensis Kipar. и др. Остатки растений очень редки: в нижней части свиты Danaeopsis aff. emarginatum Brick, Cladophlebis? vaccensis Ward., Glossophyllum? sp.: во второй толше Cladophlebis? sp., Sphenobaiera? ex gr. pulchella (Heer) (onp. Г.Н. Садовникова) и в верхней толще многочисленные Dzergalanella aff. dzergalanensis Genk. (по М.Ф. Нейбург - это Schizoneura).

Возраст мамоновой свиты Г.Н. Садовников определяет как норийский и ратский, но нижняя часть ее может быть и более древней.

Из приведенных списков видно, что флористический комплекс фадьюку—динской свиты близок к указанным для восточных разрезов, остальные флористические комплексы имеют существенные отличия. Комплексы двустворок, несмотря на их смешанный характер, наиболее близки к оленекским.

Корреляция всех указанных свит по материалам 3-го Межведомственного регионального стратиграфического совещания по мезозою и кайнозою Средней Сибири в Новосибирске в 1978 г. /Решения..., 1981/ представляется следующим образом. Цветковомысской свите на м. Цветкова соответствуют фадьюкудинская, аятаринская и верхи бетлингской свиты Центрального Таймыра. Остальная часть бетлингской и зверинская свита коррелируются с кешинской свитой м. Цветкова. Ланные полевых сезонов в 1985—1986 гг. позволяют провести эту корреляцию по-другому, а кроме того, заставляют вообще взглянуть по-новому на стратиграфию нижнего триаса Таймыра. Определения растительных остатков выполнялись Г.Н. Садовниковым и Н.К. Могучевой, конхострак — Э.Ф. Орловой, двустворок — Н.И. Курушиным, брахиопод и аммоноидей — А.С. Дагисом.

Расчленение разреза на м. Цветкова, проведенное А.С. Дагисом и А.М. Казаковым /1984/, полностью соответствует нашим взглядам. Поэтому описание этого разреза здесь не приводится. Вызывает сомнение только отнесение кешинской свиты к индскому ярусу. Против этого свидетельствует практически полная идентичность флористических комплексов кешинской и

восточнотаймырской свит, а также сокращенная мощность этого разреза по сравнению с более западными.

В других разрезах сделана попытка опознать подразделения, выделенные на м. Цветкова. На р. Чернохребетной снизу вверх выделяются:

Кешинская свита

1. Песчаники зеленовато-серые, с подчиненными прослоями темно-серых алевролитов и аргиллитов. В основании, как и на м. Цветкова, пестропветные валунно-галечные конгломераты; более 90 % валунов и галек сложены базальтами. Общая мощность свиты 130 м.

Цветковомысская свита

2. Переслаивающиеся туфопесчаники и туфоалевролиты с прослоями туффитов и покровом миндалекаменных базальтов в нижней части, мощность 30 м. Общая мощность свиты 100 м.

Восточнотаймырская и ыстанахская свиты

Нижние горизонты разреза, непосредственно перекрывающие туфолавовую цветковомысскую свиту, обнажены здесь фрагментарно. Судя по высыпкам и отдельным коренным выходам, эту часть разреза слагают:

3. Алевролиты темно-серые, с редкими прослоями зеленовато-серых песчаников и вишнево-красных аргиллитов. Мошность 10С м.

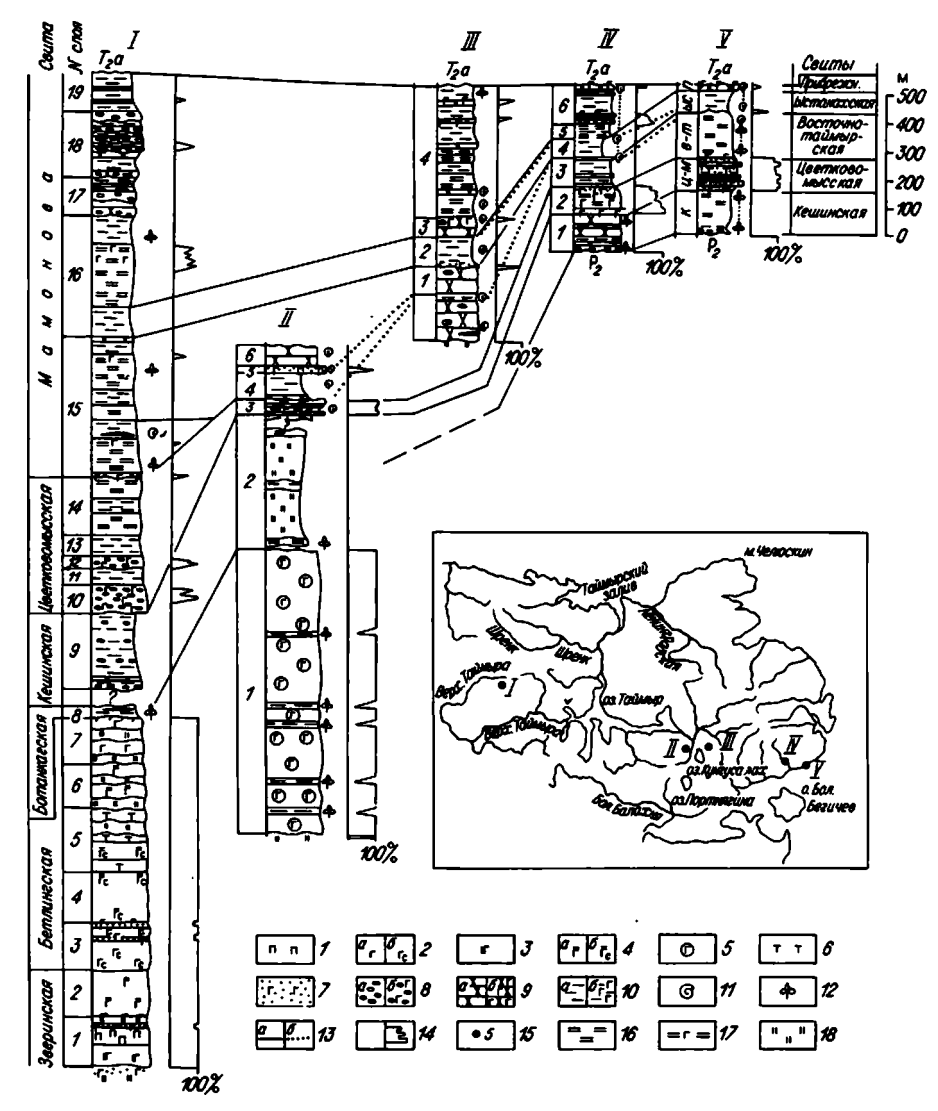
В верхах интервала в сидеритовых конкрециях встречаются редкие не-определимые остатки аммоноидей.

Вышележащие отложения хорошо обнажены.

4. Монотонная пачка черных глинистых алевролитов мошностью 70 м с многочисленными горизонтами карбонатных конкреций. Из этих конкреций в нижних 10 м собраны Bajarunia euomphala (Keys.), Koninckiteides posterius (Popow), Boreoceras cf. demokidovi (Popow), Pseudosageceras longilobatum Kipar.; в инт. 10-30 м от подошвы – Boreoceras lenaense Dagys et Konst., Nordophiceras contrarium; в инт. 30-50 м от подошвы — Praesibirites tuberculatus Dagys et Konst.; в инт. 50-55 м — Parasibirites rariaculeatus; в инт. 55-70 м — Parasibirites grambergi Popow, P. mixtus Popow, P. subpretiosus Popow, P. kolymensis Bytsck., F. efimovae Bytsck., Sibirites pretiosus Mojs., S. aff. pretiosus Mojs., S. elegans Dagys et Ermak. sp. nov.

Глинистые алевролиты пачки 4 наиболее целесообразно сопоставить с ыстанахской свитой м. Цветкова, а подстилающую ее пачку 3 — с восточно-таймырской свитой. Но тогда объем ыстанахской свиты, включающей в себя в стратотипе только зону spiniplicatus, увеличится на динероцерасовые слои, а объем восточнотаймырской свиты соответственно уменьшится. Повидимому, здесь удобнее выделить новые свиты.

- 5. Алевролиты темно-серые, чередующиеся с пачками их тонкого переслаивания с песчаниками зеленовато-серыми. В отдельных прослоях устанавливается до 40 % пирокластического материала. По всей мощности пачки встречаются редкие Boreomeekoceras keyserlingi (Mojs). Мощность пачки 50 м.
- 6. Симметричный ритм, низы и верхи которого обогащены песчаниками, средняя часть сложена алевролитами и аргиллитами. В отдельных прослоях отмечается примесь пирокластического материала. В средней части в карбонатных конкрециях отмечаются многочисленные Olenekoceras



Основные опорные разрезы нижнего триаса Таймыра.

1 - пикробазальты; 2 - 4 - базальты; 2 - афировые (а - полнокристаллические, б - стекловатые), 3 - оливинофировые полнокристаллические, 4 плагио- и полифировые (а - полнокристаллические, б - стекловатые); 5 - нерасчлененые базальтовые толци; 6 - трахибазальты; 7 - туфы, туффиты;
8 - псефиты (а - конгломераты, б - туфоконгломераты); 9 - псаммиты (а песчаники, б - туфопесчаники); 10 - алевриты и пелиты (а - алевролиты и
аргиллиты, б - туфоалевролиты, туфоаргиллиты); 11, 12 - палеонтологические сборы: 11 - фауна, 12 - флора; 13 - корреляционные линии литостратиграфических (а) и биостратиграфических (б) подразделений; 14 - содержание вулканической примеси (%); 15 - опорные разрезы (I - р. Фадьюкуда,
II, III - возвышенности Киряка-Тас (II) и Тулай-Киряка (III), IV р. Чернохребетная, V - м. Цветкова); 16 - тонкое чередование алевролитов и песчаников; 17 - то же с туфогенной примесью основного состава;
18 - задернованные участки.

middendorffi (Keys.), C. cf. nikitini (Mojs.), Keyserlingites subrobustus (Mojs.), Olenekites spiniplicatus Мојs. Мошность ритма 140 м.

Пачки 5 и 6 можно достаточно уверенно сопоставлять с прибрежнинской свитой м. Цветкова.

В среднем и верхнем течении р. Чернохребетной покровов базальтов не встречено. Однако на обоих участках выделяются толши, содержащие горизонты, обогащенные пирокластическим материалом, которые подстилаются континентальными толщами, лишенными туфогенной примеси, а перекрываются морскими отложениями оленекского яруса. Это дает основание коррелировать толши, содержащие туфогенную примесь с цветковомысской свитой, подстилающие их отложения — с кешинской, а перекрывающие — с восточнотаймырской. В верхнем течении р. Чернохребетной в аргиллитах из низов восточнотаймырской свиты были собраны Posidonia mimer Oeberg, Anakashmirites borealis Tozer, Melagathiceras globosum Popow и др.

Западнее, в районе оз. Кунгусалах, на возвышенностях Киряка-Тас и Тулай-Киряка, разрез нижнего триаса становится еще более полным и мошным, дополняясь снизу новыми толщами.

Нижняя часть этого разреза обнажается на возвышенности Холидье, входящей в возвышенность Киряка-Тас (см. рисунок).

Снизу вверх в разрезе триаса здесь выделяются следующие подразделения:

Зверинская и бетлингская свиты

1. Базальты афировые и плагиофировые, миндалекаменные в верхних частях покровов, редкие покровы трахибазальтов; в низах толщи - оливинофировые базальты и пикробазальты. В нижней половине толщи отмечаются прослои базальтовых туфов и по всей мощности - редкие прослои аргиллитов с растительными остатками. Среди них Г.Н. Садовниковым определены Neocalamites aff. triassica (Radz.), N. sp., Lepidopteris cf. arctica Mog., L. sp., Tomiostrobus cf. belozerovi Sadovn., Carpolites cf. zvetkoviensis Mog., C. ex gr. cinotus Nath., C. sp., Tomiophyllum sp., Taeniopteris sp., Radicites sp., cf. Mesenteriophyllum sp., Filices gen. ind. Общая мощность толши около 1 км.

Кешинская свита

2. Пестроцветные алевролиты и аргиллиты с подчиненными прослоями песчаников. Толща обнажена весьма фрагментарно по ряду ручьев между возвышенностью Холидье и горой Первой. В ее низах собраны Pleuromeia cf. taimyrica Sadovn., P. sp., P. (Kuorria) sp., Lycoderma sp., Radicites sp., cf. Lepidophyllum sp. Мощность свиты 450 м.

Все вышележащие горизонты обнажены на горе Первой.

Цветковомысская свита

3. Туфопесчаники с подчиненными прослоями туфоалевролитов и двумя покровами базальтов в основании и кровле, мощностью 10 и 2 м. Туфопесчаники зеленовато-серые. В составе обломков пород в низах пачки преоблада-кот риолиты, выше — гиалобазальты. Пирокластическая примесь устанавливается в однородных по составу породах по содержанию угловатых обломков среди окатанных. Ее количество достигает в отдельных прослоях 40 %. Туфоалевролиты темно-серые с глинистым и глинисто-пренитовым матриксом.

Базальты нижнего покрова безоливиновые, с единичными вкрапленниками плагиоклаза и стекловатой основной массой с толентовой структурой. К кровле увеличивается количество стекла (от 40 до 60 %) и кремнисто-железистых миндалин. Базальты верхнего покрова афировые или микропорфировые, полифировые, раскристаллизованные, с микродолеритовой и метельчатой (в кровле) структурами.

В средней части пачки в туфовлевролитах были собраны Flagiostoma aurita Popow, Planirhynchia sp., Orbiculoidea sibirica (Mojs.), Paracalamites sp. Общая мощность свиты 50 м.

Восточнотаймырская свита

- 4. Алевролиты глинистые, темно-серые, с многочисленными горизонтами карбонатных и фосфатных конкреций. В основании залегает базальный горизонт, сложенный песчаниками зеленовато-серыми, разновернистыми, с многочисленными, но маломощными (первые дм) прослоями и линзами мелкогалечных конгломератов, псефитовый материал которых представлен исключительно гиалобазальтами. Мощность базального горизонта 20 м. В алевролитах в инт. 3-50 м от подошвы из конкреций были собраны Вајагиліа aff. euomphala (Keys.), В. alexandri Dagys sp. nov., В? taimyrensis Dagys sp. nov., Pseudosageceras longilobatum Kipar., Anaploceras ex gr. taimyrensis (Schast.), а в верхних 20 м Вајагиліа sp., Myalina kochi Spath., Bakevellia sp. nov., Gresslya sp. Общая мощность пачки 100 м.
- 5. Переслаивающиеся туфы, туффиты, туфопесчаники, песчаники и алевролиты. Пачка залегает на подстилающих отложениях с размывом и конгломератами в основании. Галька в последних сложена миндалекаменными базальтами, среднезернистыми долеритами, редко осадочными породами. Туфогенные породы приурочены к двум горизонтам в верхах и низах пачки мощностью 6 и 7 м. Средняя часть сложена песчаниками. Нижний горизонт, обогащенный пирокластическим материалом, представлен переслаивающимися туфами и туффитами зеленовато-серой окраски. Туфы базальтовые витролитокластические, разнозернистые, преимущественно псефитово-псаммитовые с кальцитовым цементом. Во многих прослоях отмечаются вулканические бомбы диаметром 5-7 см, содержание которых достигает 25 % объема породы. Туффиты содержат до 50 % примеси слабо окатанных зерен кварца, плагиоклазов, обломков основной массы риолитов. В них встречаются линзовидные скопления двустворок и брахиопод, среди которых определены Myalina kochi Spath., Bakevellia lapteviensis Kur., Gresslya sp. nov., Orbiculoidea sibirica (Mojs.).

Верхний горизонт сложен вишнево-красными базальтовыми туффитами, кристалло-литокластическими, гравийно-псаммитовыми. Терригенная примесь представлена окатанными обломками кварца, микроклина, плагиоклазов, рассланцованных аргиллитов, слюдисто-глинистых, слюдисто-кремнистых сланцев, микрофельзитов, базальтов. Цементируют обломки гидроокислы железа, придающие породе красную окраску. Общая мощность пачки 20 м.

6. Песчаники светлые, зеленовато-серые, с прослоями вишнево-красных, с многочисленными горизонтами песчано-карбонатных конкреций, содержащих остатки двустворок Bakevellia lapteviensis Kur., B. sp., Nyalina kochi Spath., Gresslya sp. и брахиопод Orbiculoidea sibirica (Mojs.). Видимая мошность 60 м.

Вышележащие горизонты обнажаются на возвышенности Тулай-Киряка, расположенной к востоку от оз. Кунгусалах (см. рисунок). Разрез нижнего триаса здесь повсеместно начинается с зоны euomphala оленекского яруса. Коррелятивным горизонтом, общим для возвышенностей Тулай-Киряка и

Киряка-Тас, является пачка темно-серых глинистых алевролитов, обдержаших характерную для этой эоны Bajarunia euomphala (Keys.).

Над коррелятивным горизонтом алевролитов в разрезе возвышенности Тулай-Киряка выделяются следующие пачки:

- 1. Песчаники темные, зеленовато-серые, в отдельных прослоях пестроцветные, с горизонтами крупных караваеобразных песчано-карбонатных конкреций. Мощность 90 м.
- 2. Алевролиты темно-серые, в низах пачки песчанистые, в средней части глинистые с многочисленными горизонтами карбонатных конкреций, содержащих остатки аммоноидей, характерных для зоны contrarium: Nordophiceras contrarium (Popow), Praesibirites tuberculatus Dagys et Kon., P. egorovi Dagys et Er. а также наутилоидей Phaedrismocheylus sp., двустворок Bakevellia varians Kur., B. lapteviensis Kur., Palaenucula prisca Kur., Gresslya sp., Unionites sp. В основании пачки залегает метровый горизонт витрокластических базальтовых ксенотуфов псефитовой структуры с коррозионным кальцитовым цементом. Общая мощность пачки 100 м.
- 3. Песчаники темные, зеленовато-серые, с горизонтами эллипсоидальных песчано-карбонатных конкреций, содержащих редкие Bakevellia sp. В верхах пачки отдельные горизонты содержат пирокластическую примесь, вероятно, среднего состава в количестве до 15 %. Мощность пачки 70 м.
- 4. Неравномерное (от первых сантиметров до 60 м) флишоидное переслаивание песчаников зеленовато-серых, алевролитов зеленовато-серых и аргиллитов зеленовато-серых и вишнево-красных. Песчаники в отдельных прослоях содержат туфогенную примесь (до 50 %) среднеосновного состава. В низах пачки собраны остатки двустворок Pseudocorbula gregaroides Phil., P. sp., Pleuromeia sp., по всей мощности многочисленны остатки хвощей Paracalamites sp. В верхах пачки кроме хвощей встречаются Pleuromeia? sp., Equisetites gen. et sp. ind., Yuccites sp., Carpolites ex gr. minor Pryn. Мощность пачки 480 м. Выше залегают породы анизийского яруса.

Пачка 2 разреза на возвышенности Тулай-Киряка хорошо сопоставляется с пачкой 4 в нижнем течении р. Чернохребетной, т.е. с ыстанахской свитой в увеличенном объеме, вышележащие отложения — с прибрежнинской свитой.

К западу от этих участков, в Центральном Таймыре, мощность разреза нижнего триаса еще более возрастает. Одновременно меняется фациальный состав отложений. Разрез становится почти целиком континентальным и лишь один горизонт, наиболее трансгрессивный, содержит морскую фауну нижнего подъяруса оленекского яруса. Представительный разрез такого типа изучен в бассейне верхнего течения р. Фадьюкуда.

В основании триаса эдесь залегает туфолавовая толша, соответствуюшая зверинской и бетлингской свитам, мощностью около 1200 м. Она широко распространена на западе Таймыра, где была детально изучена В.А. Салмановым. Этот исследователь, используя комплекс петрографических и структурно-текстурных особенностей вкрапленников, расчленил эверинскую и бетлингскую свиты на подсвиты, уверенно опознаваемые в разрезах других районов, в том числе и на р. Фадьюкуда.

Нижний контакт туфолавовой толщи на р. Фадьюкуда повсеместно тектонический, чем обусловлено отсутствие в разрезе нижней подсвиты зверинской свиты.

Зверинская свита

Средняя подсвита

1. Меланократовые оливинофировые, реже афировые оливиновые базальты и пикробазальты, массивные и миндалекаменные, полнокристаллические или с незначительным количеством стекла (структура микродолеритовая, пой-килофитовая и толеит-пойкилофитовая). Состав миндалин: пренит, цеолиты, кальцит, кварц. Отмечаются отдельные прослои литокластических гравийно-псаммитовых и псаммитовых базальтовых туфов. В низах разреза породы претерпели значительное зеленокаменное преобразование. Видимая мощность 175 м.

Верхняя подсвита

2. Полифировые и афировые оливиновые и оливинсодержащие базальты, мезо- и меланократовые, несколько более щелочные, чем нижележащие, с пойкилофитовой структурой, массивные и миндалекаменные. Миндалины сложены кальцитом и кварцем. Отмечаются единичные прослои псаммито-алевритовых базальтовых туфов. Мощность подсвиты 150 м.

Бетлингская свита

Нижняя подсвита

- 3. Нижняя пачка. Афировые базальты, оливинсодержащие, умеренно глиноземистые, с толеит-пойкилофитовой структурой. Мощность 170 м.
- 4. Средняя пачка. Плагиофировые и полифировые оливинсодержащие базальты, часто со стекловатой основной массой. Мощность 175 м.
- 5. Верхняя пачка. Чередование покровов афировых и микропорфировых (плагио- и полифировых) базальтов и несколько более лейкократовых и стекловатых трахибазальтов и андезитобазальтов. Преобладают трахибазальты.
 Мощность 225 м.

Средняя подсвита

- 6. Нижняя пачка. Полнокристаллические оливинсодержащие базальты, плагиофировые, полифировые и афировые, с микродолеритовой и пойкилофитовой структурами. Единичные покровы плагиофировых и афировых трахибазальтов. Мощность 145 м.
- 7. Верхняя пачка. Полнокристеллические афировые оливинсодержащие базальты, отдельные покровы оливиновых базальтов. Мощность 170 м.

Вышележащие подразделения бетлингской свиты в этом разрезе отсутствуют.

Над туфолавовой толщей с корой выветривания в основании залегает ботанкагская свита.

8. Алевролиты глинистые, темно-серые, с линзами углей, мощностью до 1 м, редкими прослоями темно-серых песчаников, мощностью 0,5-1,0 м, с обильными остатками Elatocladus cf. pachyphyllum Pryn. на поверхностях напластования. Видимая мощность 20 м. Верхний контакт задернован и вероятно, проходит по разрыву.

Выше ботанкагской свиты залегают пестроцветные отложения, ранее относимые к фадьюкудинской свите, среди которых четко выделяются две части: нижняя — глинистая и верхняя — туфогенно—осадочная. Первая не обнаружива—ет существенных отличий от кешинской свиты, а вторая от цветковомысской. В связи с этим мы считаем возможным использовать эдесь названия восточнотаймырских свит.

Кешинская свита

9. Алевролиты глинистые, вишнево-красные, с многочисленными горизонтами караваеобразных сидеритовых конкреций. В нижней части горизонт внутриформационных конгломератов мошностью 10 м, в 20 м выше него – прослой зеленовато-серых песчаников мошностью также 10 м.

Общая видимая мощность 270 м.

Цветковомысская свита

 Песчаниково-конгломератовая пачка с подчиненными прослоями алевролитов, базальтовых туфов и туффитов.

Конгломераты составляют более 80 % объема пачки. Галька в основном сложена породами туфолавовой толши, залегающей в основании триаса. Песчаники, туфопесчаники и алевролиты залегают среди конгломератов в виде лина, протяженностью до 50 м, мошностью до 1 м. Туфы и туффиты образуют редкие прослои и линаы мошностью до 0,7 м, все они базальтового состава кристаллом, литом и витрокластические, разной размерности — от пелитовой до псаммитовой.

Общая мощность пачки 100 м.

- 11. Алевролиты глинистые, вишнево-красные, с многочисленными горизонтами сидеритовых конкреций, редкими прослоями песчаников зеленовато-серых и пестроцветных, мошностью до 4 м. В отдельных прослоях песчаников отмечается туфогенная примесь до 10 %. Мошность 55 м.
- 12. Конгломераты валунные и галечные, с линзами и маломощными прослоями песчаников, алевролитов, туфопесчаников и туфов в верхней части. Туфы тонкие, пепловые, интенсивно пренитизированные. Мощность пачки 40 м.
- 13. Алевролиты глинистые, вишнево-красные, с редкими горизонтами сидеритовых конкреций, 10-метровым базальным слоем песчаников в основании. Мошность 70 м.
- 14. Пестроцветная пачка ритмично переслаивающихся туфогенных и вулканомиктовых песчаников, алевролитов и аргиллитов. Строение ритма близко к симметричному. Мошность ритмов 15-30 м. Песчаники слагают низы и верхи ритмов. Среди них отмечаются как зеленовато-серые, так и пестроцветные разности. Алевролиты связаны с песчаниками постепенными переходами. Аргиллиты вишнево-красные слагают центральные части ритмов. Общая мошность пачки 200 м.

Вышележащие отложения объединяются в мамонову свиту. В этом интервале свиты Восточного Таймыра опознаются с большим трудом. Нижнюю часть разреза, сложенную пестроцветными породами, преимущественно алевролитами, с фауной нижнего подъяруса оленекского яруса, вероятно, следует коррелировать с восточнотаймырской свитой, верхнюю (с мощными конгломератовыми пачками) — с наиболее регрессивной — прибрежнинской, а среднюю — соответственно с ыстанахской. Однако удобнее было бы установить здесь новые стратиграфические подразделения.

Сейчас разрез мамоновой свиты представляется в следующем виде:

15. Сероцветная толща неравномерно переслаивающихся зеленоватосерых песчаников и темно-серых алевролитов с подчиненными прослоями аргиллитов. Алевролиты несколько преобладают в разрезе, составляя около 60 % его объема. Они слагают слои мощностью от 4 до 50 м, песчаники от 1 до 40 м. Близ основания толши отмечается горизонт туфов мошностью 1 м. Туфы базальтовые, витро-, кристалло-, литокластические, псаммитовые, с примесью слабо окатанных зерен кварца и полевого шпата (10 %).

В низах толщи были собраны растительные остатки Neocalamites sp., Madygenia sp., а в 130 м от подошвы в дециметровом прослое би-

туминозных известняков Posidonia mimer Oeberg, Unionites sp. и др., характерные для нижнего подъяруса оленекского яруса; выше по разрезу – снова остатки Neocalamites sp. Общая мощность толщи 480 м.

16. Пестроцветная существенно алевролитовая толща с многочисленными, но маломощными прослоями песчаников и туфопесчаников. Нижние 85 м сложены переслаивающимися вишнево-красными и темно-серыми алевролитами. Вышележащие 100-110 м представляют собой флишоидную пачку ритмично переслаивающихся пестроцветных алевролитов, сероцветных песчаников и туфопесчаников, содержащих до 40 % пирокластической примеси основного состава. Алевролиты резко преобладают в разрезе, слагая пачки по 20-30 м, песчаники образуют прослои по 1-2 м.

Над этой пачкой залегает сероцветная пачка аналогичного строения, мощностью 115 м, с остатками Neocalamites sp.

Завершают разрез толши алевролиты вишнево-красные с многочисленными сидеритовыми конкрециями, мошностью 80 м. Общая мошность толши 380-400 м.

- 17. Пестроцветная толща ритмично переслаивающихся пластов конгломератов (5-30 м), песчаников (до 30 м) и алевролитов (20-50 м) в соотношении 3:2:5. Общая мощность пачки 145-150 м.
- 18. Сероцветная флишоидная толща ритмично переслаивающихся конгломератов, песчаников и алевролитов с единичными прослоями туфопесчаников и туфоалевролитов. Мошность ритмов в низах и верхах толщи составляет 40-50 м, в средней части 10-15 м. Соотношение компонентов изменчиво. Общая мощность толщи около 250 м.
- 19. Алевролиты темно-серые, реже вишнево-красные, с редкими мало-мощными (до 2 м) прослоями песчаников, с многочисленными горизонтами конкреций битуминозных известняков и сидеритовых. В отдельных прослоях песчаников отмечается пирокластическая примесь до 10 %. Общая мощность 140 м.

Выше залегают отложения, содержащие флористические комплексы кейперского облика, условно отнесенные к анизийскому ярусу.

Изложенный материал позволяет сделать следующие выводы:

- 1. На Таймыре в нижнем триасе выделяются два стратиграфических уровня развития базальтовых лав. Нижний уровень расположен ниже кешинской свиты и ее аналогов. Эффузивы этого уровня широко распространены в центре и на западе Таймыра. На Восточном Таймыре эти эффузивы отсутствуют из-за неполного разреза. Верхний уровень приурочен к цветковомысской свите, залегающей над кешинской и ее аналогах. Эффузивы этого уровня развиты на Восточном Таймыре. На возвышенности Киряка-Тас распространены оба уровня эффузивов.
- 2. Литостратиграфические подразделения, выделенные на м. Цветкова; достаточно уверенно прослеживаются почти во всех разрезах Восточного и Центрального Таймыра. Наиболее четко опознаются цветковомысская, ыстанахская и прибрежнинская свиты.

Цветковомысская свита имеет вулканогенный состав. На возвышенности Киряка-Тас и в верховьях р. Чернохребетной она содержит фауну нижнего подъяруса оленекского яруса.

Ыстанахская свита отвечает наиболее трансгрессивному уровню верхнего подъяруса оленекского яруса, представленному монотонной пачкой глинистых алевролитов с обильными и разнообразными остатками морской фауны.
Свита имеет скользящие возрастные границы. С запада на восток возраст
свиты изменяется. Так, на возвышенности Тулай-Киряка в ней содержатся
аммоноидеи зоны contrarium, на р. Чернохребетной – euomphala, contrarium, grambergi, на м. Цветкова – grambergi и spiniplicatus.

Прибрежнинская свита соответствует регрессивному уровню верхнего подъяруса оленекского яруса, обогащенному песчаниками. Во всех разрезах, кроме р. Фадьюкуда, свита содержит фауну зоны spiniplicatus.

Остальные свиты Восточного Таймыра опознаются труднее. Восточнотаймырская свита залегает между цветковомысской и ыстанахской. На возвышенностях Киряка-Тас и Тулай-Киряка она содержит фауну зоны euomphala, отделяясь от перекрывающей ее ыстанахской мощными пачками песчаников. На р. Чернохребетной этих песчаников нет, и фауна этой зоны "уходит" в ыстанахскую свиту, а в восточнотаймырской встречаются только неопределимые остатки аммоноидей.

Кешинская свита залегает под вулканогенной цветковомысской и повсеместно содержит обильный флористический комплекс, весьма сходный с кешинским. Возраст этой свиты, как и нижележащих, остается пока проблематичным. По стратиграфическому положению их следует относить к индскому ярусу или более древним образованиям. Однако, учитывая общую аридизацию климата бореальной области в индский век, отмеченную многими исследователями /Дагис, Казаков, 1984/, следовало бы ожидать заметных отличий кешинского комплекса от восточнотаймырского, если бы кешинская свита имела индский возраст. То же относится и к ботанкагской свите, залегающей под кешинской и содержащей мощные линзы углей, а также к зверинской и бетлингской свитам, в которых на возвышенности Киряка—Тас встречены комплексы флоры, близкие к кешинским.

СПИСОК ЛИРЕРАТУРЫ

- Вавилов М.Н., Каплан М.Е. Триасовые отложения мыса Цветкова (Восточный Таймыр) // Биостратиграфия бореального мезозоя. Новосибирск, 1974. С. 24–39.
- <u>Грамберг И.С.</u> Стратиграфия триасовых отложений мыса Цветкова (Восточный Таймыр) // Уч. зап. НИИГА. Региональная геология. Л., 1964. Вып. 2. С. 5–30.
- <u>Дагис А.С., Казаков А.М.</u> Стратиграфия, литология и цикличность триасовых отложений севера Средней Сибири. Новосибирск: Наука. Сиб. отд-ние, 1984. 176 с.
- Казаков А.М., Дагис А.С., Карогодин Ю.Н. Литостратиграфические подразделения триаса севера Средней Сибири. // Био- и литостратиграфия триаса Сибири. - М.: Наука, 1982a. - С. 5-36.
- Казаков А.М., Дагис А.С., Курушин Н.И. Ссновные черты палеогеографии триаса севера Средней Сибири // Геология и нефтегазоносность Енисей—Хатангского бассейна. М.: Наука, 1982б. С. 54–75.
- Мигай И.М. Геологическое строение района мыса Цветкова на Восточном Таймыре // Тр. НИИГА. 1952. Т. 306. С. 1-68.
- Решения 3-го Межведомственного регионального стратиграфического совещания по мезозою и кайнозою Средней Сибири. Новосибирск: МСК СССР, 1981. 89 с.
- Садовников Г.Н., Орлова Э.Ф., Белозеров В.П. Переход от перми к триасу в континентальных отложениях Таймыра и Западного Верхоянья // Изв. АН СССР. Сер. геол. 1981. № 5. С. 25—39.
- Сакс В.Н., Грамберг И.С., Ронкина З.З., Аплонова Э.Н. Мезозойские отложения Хатангской впадины // Тр. НИИГА. 1959. Т. 99. С. 1–226.
- Шведов Н.А. К стратиграфии триасовых толщ Таймырского полуострова // Сб. ст. по палеонтологии и стратиграфии. Л., 1957. Вып. 6. С. 3-15.

O CUCTEMATUYECKOM ПОЛОЖЕНИИ РОДОВ PARAGLYCERITES EISENACK И ARITES KOZUR

Роды Paraglycerites Eisenack, 1939 и Arites Kozur, 1967, известные по находкам в триасово-юрских отложениях Европы, были первоначально отнесены к сколекодонтам. Позднее их описывали как крючки рук головоногих моллюсков /Kulicki, Szaniawski, 1972; Zawidzka, 1974/. П. Кулицкий и Х. Шанявский отмечали общее внешнее сходство этих родов с крючками /Rieber, 1970/, присутствие продольного киля, который интерпретировался ими как граница, отделяющая поверхность крючка, покрытая мягкой тканью, и некоторые иные возможные признаки идентификации. Однако, на наш взгляд, роды Paraglycerites и Arites являются челюстными аппаратами полихет, составляющих определенную филогенетическую ветвь этого класса аппаратов. Они входили в состав аппарата лабидогнатного типа, состоящих из одной пары максилл, левой и правой МІ, располагающихся в форме "щищов", в верхней части которых находится один загнутый крючкообразный зуб (клык), их внутренний край лишен дентального ряда. У современного рода Nereis челюстной аппарат также состоит из одной пары максилл и лишен базальных пластинок. Однако челюсти нереисов, помимо хорошо выраженного верхнего клыка, имеют очень четкий дентальный ряд (табл. XVI, фиг. 11, 12, 16). Челюсти другого современного рода Glyсега устроены просто, без внутреннего дентального ряда, однако имеют широкую крылообразную форму и, вероятно, несли иную функциональную нагрузку (табл. XVI, фиг. 13). Таким образом, у современных полихет мы не находим пока идентичных челюстных аппаратов /Szaniawski, 1974/.

Происхождение родов Paraglycerites и Arites, по-видимому, связано с известным девонским родом Sciotoprion, который может быть вероятной предковой формой. Его первые максиллы такие же узкие; удлиненные, с крючкообразным верхним зубом (клыком) (табл. XVI, фиг. 10), а у типового вида Sciotoprion klondikensis отмечается один крупный зубец на внутреннем крае МI; подобный зубец имеется и у форм вида Paraglycerites necans из юрских отложений Прибалтики /Eisenack, 1939; рис. 1, A, Б/. Однако челюстной аппарат рода Sciotoprion состоит не из одной пары максилл, как у исследуемых мезозойских родов, а из двух пар: левой и правой МІ, левой и правой МІ.

Изучение морфогенеза челюстного аппарата современного вида Ophryотгосна schubravyi, проведенное А.Б. Цетлиным /Цетлин, 1980/, показало, что у достаточно взрослых червей параллельно с уже имеющимися максиллярными пластинками образуются парные левая и правая МІ, располагающиеся в форме "шищов" и составляющие внешний ряд аппарата. После
окончания дифференцировки внешнего ряда, т.е. левой и правой МІ, внутренняя пара максилл сбрасывается через кишечный тракт и образуется двухрядный аппарат. Однако при задержке сбрасывания наряду с уже сформированными и вполне дифференцированными левой и правой МІ, остаются и внутренние максиллярные пластинки, т.е. образуется четырехрядный челюстной аппарат. Четырехрядность аппарата возникает при задержке процесса сбрасывания. Подобное явление чередования двух- и четырехрядных аппаратов, наблюдаемое в онтогенезе Ophryotrocha schubravyi, может проявляться и в любой филогенетической ветви полихет.

Таким образом, можно полагать, что на определенном этапе развития филогенетической линии, предки которой не ясны, образовался четырехряд-

ный челюстной аппарат рода Sciotoprion, имеющий внешние узкие длинные максиллы (левая и правая МІ - "щипцы") и внутренние максиллы (левая и правая МІІ), которые сохранились ввиду задержки сбрасывания (рис. 1, А). Поэднее внутренние максиллы сбрасываются и в мезозое появляются роды Paraglycerites и Arites с двухрядными челюстными аппаратами, у которых левые и правые МІ (рис. 1) сходны с первыми максиллами девонского рода Sciotoprion. Наряду с такой резкой олигомеризацией челюстного аппарата происходит и утрата дентального ряда, который у рода Sciotoprion находился на левой и правой МП. Таким образом, формируется своеобразная линия в развитии, имеющая всего одну пару узких, удлиненных максилл без дентального ряда. У современных полихет пока не описане подобных челюстных аппаратов. Можно предположить, что эта линия в филогенетическом развитии оказалась тупиковой. По-видимому, роды Sciotop-Paraglycerites и Arites, связанные общностью морфологии единством происхождения, целесообразно объединить в самостоятельное семейство Sciotoprionidae fam. nov. Ранее всеми исследователями каждый из этих родов относился к неопределенному семейству.

Микроструктура челюстных стенок современных и ископаемых полихет изучалась достаточно подробно в поперечных срезах и путем исследования отдельных участков под сканирующим электронным микроскопом /Strauch, 1973; Mierzejewska, Mierzejewski, 1978; и др./. При этом отмечалось присутствие внешнего компактного, уплотненного слоя кутикулы, под которым располагаются три столбчатых слоя, пронизанных разнонаправленными системами пор. Нами рассматривались под электронным сканирующим микроскопом челюсти Arites vulgaris. Наружный плотный кутикулярный слой местами оказался поврежденным и под ним отчетливо виден первый столбчатый слой (табл. XVII, фиг. 1, 2). На отдельных фрагментах челю-

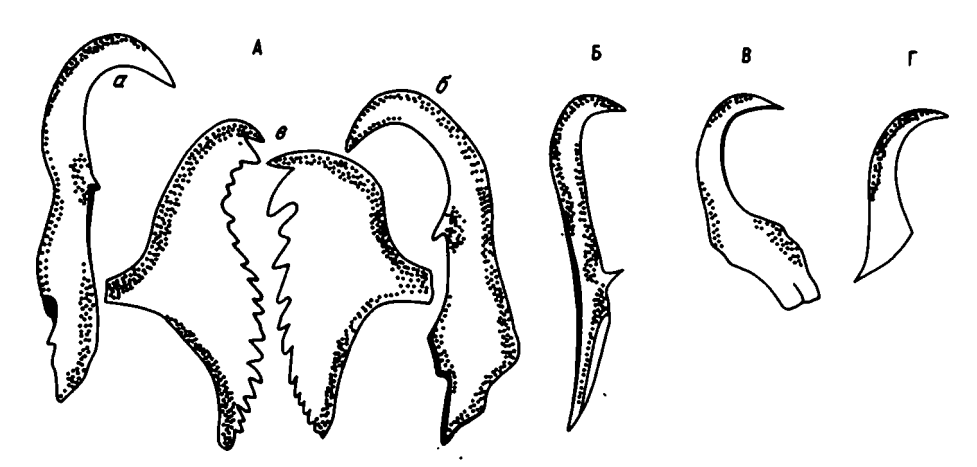


Рис. 1. Челюстные элементы семейства Sciotoprionidae fam. nov. A - Sciotoprion klondikensis Boyer (по Р. Boyer /1975/): а - левая МІ, б - правая МІ, в - левая и правая МІІ, х60, Северная Америка, Огайо, девон, эйфель, формация Колумбус; Б - Paraglycerites necans Eisenack (по Eisenack /1939/): левая МІ, х60, Прибалтийский регион, юра; В - Sciotoprion sp.: левая МІ, х60, север Тимано-Печорской провинции скв. 3 Мядловейяхская, инт. 3292,5-3307,3 м, верхний девон, фамен, мурзакаевский горизонт; Г - Arites vulgaris Козиг: левая МІ, х40, Шпицберген, обн. 1/101, нижний триас, ладин.

сти гладкая, плотная кутикула и первый столбчатый слой местами разрушены. Это дает возможность наблюдать очень тонкие, почти параллельные столбики третьего слоя (табл. XVII, фиг. 3). Подобные структуры наблюдаются и на челюстях современного Nereis virens (табл. XVII, фиг. 4). При рассмотрении отдельных участков максилл проявляются и системы пор, пронизывающие столбчатые образования (табл. XVII, фиг. 5, 6). Описанное нами строение стенок Arites vulgaris идентично тому, что наблюдал Ф. Illтраух у палеозойских и мезозойских сколекодонтов / Strauch, 1973, Tab. 1, Fig. 1-6; Tab. 4, Fig. 20, 21/.

Вдоль максилл обычно прослеживается продольный киль, он либо достаточно четко обособлен, либо вдоль этого киля у древних челюстей часто прокодит трешина (табл. XVI, фиг. 2—8, 10, 13—15, 17). Подобный киль отмечается и на челюстях современных полихет (табл. XVI, фиг. 16). Внутри челюсти, вдоль этого киля проходил канал, в котором располагались железы, вырабатывающие секрет, анестезирующий жертву /Ушаков, 1955/. Нельзя согласиться с Ц. Кулицким и Х. Шанявским, рассматривающими этот киль, как рубед прикрепления мягкой ткани также и потому, что, по нашим наблюдениям, он располагается на той части максиллы современной Clycera capitata, которая лишена покрова мягкой ткани (рис. 2).

Исследуемые серповидные мезозойские челюстные элементы полихет не могли быть орудием перетирания пиши, они, вероятно, были орудием загребания, захвата пиши, как это представляется для современных Nereis pelagica /Беклемишев, 1950/. Крючки цефалопод, вероятно, также служили для загребания, захвата. Такая функциональная конвергенция привела к определенному внешнему сходству челюстных элементов исследуемых нами родов мезозойских полихет с крючками рук цефалопод.

Материал для изучения был получен при растворении образдов, отобранных по разрезам Средней Сибири. В разрезе м. Цветкова (Восточный Таймыр) находки рода Arites (вид Arites sibiricus sp. nov.) были приурочены к середине позднего оленека, основанию ыстанахской свиты, обн. 1, сл. 2, 6, 10. Для этого периода были характерны условия нижней сублиторали, с накоплением тонкодисперсных алевритовых аргиллитов /Дагис, Казаков, 1984/. В Буур-Оленекской фациальной зоне этот же вид найден в разрезе по р. Тайон-Уйолаах, обн. 39, пачка ІІ; в Лено-Оленекской зоне - в разрезах в районе пос. Ыстаннах-Хочо (обн. 14, сл. 11в) и рч. Нууча-Юрэгэ (обн. 12a). Уровни его находок коррелируются эдесь с основанием нижнего оленека и с чекановской свитой /Дагис, 1984/. Формирование чекановской свиты, представленной в нижней части глинистыми осадками, тонкодисперсными аргиллитами, проходило также в условиях нижней сублиторали. Изучение материала по триасовому разрезу м. Цветкова еще не завершено, и мы не можем представить границы стратиграфического распространения Arites siи его приуроченность к различным горизонтам литорали. Однако, наши, пока еще предварительные, наблюдения фиксируют находки этого вида в интервале от раннего до середины позднего оленека на едином фациальном уровне нижней сублиторали.

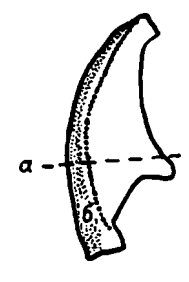


Рис. 2. Расположение линии прикрепления мягкой ткани (а) и киля (б) на левой МІ современной полихеты Glycera capitata Ouenst.

Помимо материалов по Средней Сибири, изучалась коллекция Arites vulgaris из среднего триаса и нижнего ладина Шпицбергена, любезно переданная А.А. Дагис, которой автор выражает свою признательность.

Автор благодарен А.С. Дагису и Р.М. Мяннилю за полезные советы и обсуждения, а также сотрудникам сектора высших червей ЗИН АН СССР, Г.Н. Бужинской и В.В. Хлебовичу за предоставленную возможность изучения современных полихет.

Ниже приводится описание семейства Sciotoprionidae fam. nov. и двух видов рода Arites.

КЛАСС POLYCHAETA GRUBE, 1850

OTPAI Errantida Audouin et Milne-Edwards, 1832

Надсемейство Eunicea Grube, 1850

Семейство Sciotoprionidae fam. nov.

Диагноз. Челюстной аппарат лабидогнатного типа, состоящий из одной или двух пар максилл. Поддержки отсутствуют, базальная пластинка отсутствует либо прикреплена к левой МІ. Первые максиллы узкие, серповидные, лишены внутреннего дентального ряда. В их верхней части находится крючко-образный очень крупный зуб (клык), располагающийся часто почти трансверсально, а в средней части МІ может быть один конусовидный зубчик. Вторые максиллы (МІІ) либо отсутствуют, либо субтреугольные, с синусоидально изогнутым внутренним краем, на котором располагаются два более крупных конических зуба (в верхней части) и 11-14 более мелких зубчиков. В средней части МІІ субпрямоугольное крыло, наружный синус широкий, открытый, пульпная полость овальная, открытая.

Состав семейства Sciotoprion Boyer, 1975; Arites Kozur, 1967; Paraglycerites Eisenack, 1939.

Сравнение. От известного семейства Kielanoprionidae /Szania-wski, 1968/ описываемое семейство отличается узкой серповидной формой первых максилл МІ и отсутствием на их внутреннем крае дентального ряда; синусоидальным внутренним краем вторых челюстей МІІ, отсутствием у них резко удлиненной базальной части и срединным трансверсальным расположением наружного субпрямо угольного крыла.

Геологический возраст. Девон - мел.

Род Arites Kozur, 1967

Falcunus: Kulicki et Szaniawski, 1972, p. 403.

Типовой вид. Arites vulgaris Kozur, 1967, триас, лединский ярус Гермении.

Arites vulgaris Kozur, 1967

Табл. XVI, фиг. 1-7, 14-17; табл. XVII, фиг. 1-3, 5, 6; рис. 1, Г

Arites vulgaris; Kozur, S. 47, Tab. V. Fig. 8.

Phragmoteuthida: Zawidzka, 1974, tab. 1, fig. 1-8; tab. 2, fig. 1-6; tab. 3, fig. 1-7. Диагноз. Узкие серповидные максиллы. В их верхней части находится крупный крючкообразный зуб. Дорзальная сторона оттянута в базальной части и образует субконическое крыло. Дентальный ряд и базальные пластинки отсутствуют.



Рис. 3. Изменчивость верхнего зуба (клыка) Arites vulgaris Ko-zur, x40, Шпидберген, обн. 1/101, средний триас, ладин.

Описание. Удлиненные серповидные максиллы (левая и правая МІ) с верхним заостренным узким зубом (клыком), располагающимся почти трансверсально. Их внутренние края слабовогнутые, почти прямые, лишены дентального ряда. Базальная часть расширена и оканчивается длинным оттянутым острым дорзальным крылом. Внешний боковой край в верхней части выпуклый, дугообразный, а в нижней несколько сигмоидально изогнутый.

Размер. Длина МІ 0,7-0,9 мм; длина клыка 0,15-0,2 мм. Изменчивость выражается в разной степени изгиба верхнего зуба (клыка) (рис. 3).

Сравнение. В размере элементов челюстного аппарата и в их общей форме наблюдается сходство изучаемого материала с типовым, однако он отличается почти трансверсальным расположением верхнего клыка, слабовогнуютым или почти прямым внутренним краем и слабо выраженной прогнутостью внешнего края.

Распространение. Триас, ладинский ярус, Upper Muschelkalk, Тюрингия и Силезия.

Местонахождение и материал. 12 экз. Шпицберген, обн. 1/101 и 1/102; средний триас, нижний ладин (см. статью А.А. Дагис и М.В. Корчинской в наст. сборнике).

Arites sibiricus sp. nov.

Табл. XVI, фиг. 8, 9

Название вида по нахождению в Сибири.

Голотип. № 14-11в. Побережье моря Лаптевых, пос. Ыстаннах-Хочо, обн. 14, сл. 11; нижний триас, оленекский ярус, эона Hedenstroemia hedenstroemi.

Описание. Челюсти продолговатой формы, снабженные в верхней части широким, коротким прямостоящим зубом (клыком). Внутренний край лишен дентального ряда, почти прямой в верхней трети, ниже дугообразно выпуклый. Внешний край почти прямой, оканчивается в базальной части конусовидным крылом.

Размер. Длина челюстей 0,4-0,6 мм; длина верхнего клыка 0,05-0,1 мм.

Сравнение. Arites sibiricus отличается от A.vulgaris толстым очень коротким верхним зубом и отсутствием сигмоидального изгиба внутреннего и внешнего края челюстей.

Местонахождение и материал. 15 экз. Север Средней Сибири, Восточный Таймыр, м. Цветкова, обн. 1, сл. 2, 6; бассейн р. Буур, р. Тай-он-Уйолах, обн. 39; побережье Оленекского залива моря Лаптевых, пос. Ыстаннах-Хочо, обн. 14, сл. 11в и рч. Нууча-Юрэгэ, обр. 12-а. Нижний триас, оленекский ярус, чекановская и ыстаннахская свиты.

СПИСОК ЛИТЕРАТУРЫ

<u>Беклемишев К.В.</u> Питание Nereis pelagica и функциональное значение его челюстного аппарата // Докл. АН СССР. – 1950. – Т. 123, № 5. – С. 1093-1095.

- <u> Дагис А.А.</u> Раннетриесовые конодонты севера Средней Сибири. М.: Наука, 1984. 70 с.
- Дагис А.С., Казаков А.М. Стретиграфия, литология и цикличность триесовых отложений севера Средней Сибири. Новосибирск: Наука. Сиб. отд-ние, 1984. 176 с.
- Ушаков П.В. Многощетинковые черви Дальневосточных морей СССР (Polychaeta). М.; Л.: Изд-во АН СССР, 1955. 445 с.
- <u> Цетлин А.Б.</u> Cphryotrocha schubravyi sp. n. и проблема эволюции, челюстного аппарата Eunicemorpha (Polychaeta) // Зоол. журн.-1980. - Т. 59, вып. 5. - С. 666-676.
- Boyer P.S. Polychaeta jaw apparatus from the Devonian of central Ohio // Acta palaeontologica Polonica. 1975. Vol. XX, N 3. P. 425-435.
- <u>Eisenack A.</u> Einige neue Annelidenreste aus dem Silur und dem Jura des Baltikums // Zeitschrift für Geschieberforschung und Flachlandsgeologie. 1939. Bd 15, H. 3. S. 153-176.
- Kozur H. Scolecodonten aus dem Muschelkalk des germanischen Binnenbecken // Deutsche Akad. Wiss. Mh. 1967.- Bd 9, H. 11. S. 842-886.
- Kozur H. Zur Klassifikation und phylogenetischen Entwicklung der fossilen Phyllodocida und Eunicida (Polychaeta) // Freiberger Forschungs Hefte, Paläeontol. 1970. H. C 260. S. 35-81.
- Kulicki C., Szaniawski H. Cephalopod arm hooks from the jurassic of Poland // Acta Palaeontol. Polonica. 1972. Vol. 17, N 3. P. 379-419.
- Mierzejewska G., Mierzejewski P. Ultrastructure of jaws of the fossil and recent Eunicida (Polychaeta) // Acta Palaeontol. Polonica. 1978. Vol. 23, N 3. P. 317-339.
- Rieber H. Phragmoteuthis? ticinensis n. sp. ein Coleidea-Rest aus der Grenzbilumenzone (Mittlere Trias) des Monte San Giorgio (Kt. Tessin Schweiz) // Palaontol. Ztschr. 1970.– Bd 44, N 1/2. S. 32-40.
- Strauch F. Die Feinstruktur einiger Scolecodonten // Senckenbergiana lethaea. – 1973. – Bd 54 (1). – S. 1–19.
- Szaniawski H. Three new polychaete jaw apparatuses from the Upper Permian of Poland // Acta Palaeontol. Polonica. 1968. Vol. 13, N 4. P. 255-281.
- Szaniawski H. Some Mesozoic scolecodonts congeneric with Recent forms // Acta Palaeontol. Polonica. 1974. Vol. 19, N 2. P. 179-199.
- Zawidzka K. Cephalopod arm hooks from the Muschelkalk of Poland // Acta geologica Polonica. 1974. Vol. 24, N 2.- P. 241-248.

А.А. Дагис, М.В. Корчинская

ТРИАСОВЫЕ КОНОДОНТЫ СВАЛЬБАРДА

За сравнительно короткий период изучения триасовых конодонтов Свальбарда были получены данные /Birkenmajer, Trammer, 1975; Trammer, 1978; Weitschat, Lehmann, 1978; Hatleberg, Clark, 1984/, в том Учитывая общую количественную обедненность этих комплексов, а также нахождение в разрезе Питнеродден Neospathodus cristagalli выше Neospathodus pakistanensis, мы рассматриваем эти комплексы как один, включающий Neospathodus dieneri Sweet, Ellisonia triassica Müller.

Кроме того, в этом комплексе Д. Кларк /Hatleberg, Clark, 1984/ указывает Neogondolella elongata Sweet, которая первоначально (голотип) была описана из терминальных слоев нижнего триаса Соляного кряжа /Sweet, 1970/. Свальбардская N. elongata не изображена и, скорее всего, не относится к этому виду.

Более молодые раннетриасовые конодонты известны из западных районов Свальбарда - Рейноддена, Питнероддена, где оленекские отложения (формапия Стикки-Кип) являются наиболее мощными и разделяются на две части-Исклеттен-слои (Iskletten Member) и Каосфьеллет-слои (Kaosfjellet Исклеттен-слои содержат, по данным В. Хатлеберга и Д. Клар-Member). ка /Hatleberg, Clark, 1984/, две группы фауны. Одна включает Fosidonia mimer Oeberg и Arctoceras blomstrandi (Oeberg), другая -Pseudomonotis (= Eumorphotis) cf. occidentalis Bitt, шие на более или менее полный объем нижнего оленека (смитского яруса). В этих слоях в районах Питнеродден Е. Хатлебергом и Д. Кларком /Hatleустановлено несколько конодонтовых комплексов, berg, Clark, 1984/ соответствующих выделенным ими зонам 4-7, которые, к сожалению, точно не привязаны к макрофауне. Нижний комплекс включает Neogondolella nevadensis (Clark) z Ellisonia triassica Müller соответствует эоне 4, следующий охарактеризован Neospathodus homeri (Bender) и Ellisonia triassica Müller и относится к зоне 5, затем комплекс с Neospathodus collinsoni Sollien, N. cf. triangularis (Bender), N. homeri (Bender), Neogondolella aff. mombergensis соответствующий зоне 6 и, наконец, Neogondolella jubata Sweet, N. elongata Sweet, Neospathodus homeri (Bender) # Ellisonia triassica Müller, относимые к эоне 7. Определение конодонтов, составляющих эти четыре комплекса, требуют уточнений: Neogondolella nevadensis Clark следует отнести к N. mosheri (Коzur et Mostler), Neospathodus homeri (Bender) " N. triangularis (Bender) - K Neospathodus waageni Sweet, Neospathodus collinsoni Sollien является, вероятно, новым родом и видом, а Neogondolella jubata значительно ближе K Neogondolella composita Dagis. В такой интерпретации эти комплексы соответствуют Parachiroghathus - Furnishius и, возможно, Neospathodus conservativus конодонтового стандарта и имеют много общего с конодонтами зоны Hedenstroemia hedenstroemi Сибири /Дагис, 1984/. Верхней части исклеттен-слоев соответствует комплекс конодонтов, описанный В. Вайтшатом и У. Леманом /Weitschat, Lehmann, 1978/ с южного побережья Сассен-фьорда (Botneheia).В изученном разрезе с Arctoceras blomstrandi Oeberg и Wasatchites tridentinus Spath и другими аммоноидеями были встречены Neogondolella milleri (Clark), N. nevadensis (Clark), N. planata (Clark), N. jubata Sweet M Neospathodus waageni Sweet. После уточнения определений конодонтов (Neogondolella nevadensis и N. planata = N. mosheri; N. jubata = = N. jakutensis/Дагис, Корчинская, 1987/ этот комплекс конодонтов указывает на зону Neogondolella milleri конодонтового стандарта, соответствуя эоне Wasatchites tardus Сибири и Канады.

Слои Каосфьеллет (Kaosfjellet) формации Стикки Кип охарактеризованы Svalbardiceras spitzbergensis Frebold, Keyserlingites subrobustus Mojs., Claraia aranea Tozer /Tozer, Parker, 1968/.

В этих слоях конодонты встречены в районе Рейнодден /Hatleberg, Clark, 1984/ и представлены Neogondolella nevadensis (Clark), Xaniognathus sp., Ellisonia triassica Müller и Neogondolella mombergensis (Tatge); Neogondolella mombergensis с большей уверенностью может быть определена как Neogondolella jubata. Вызывает сомнения также определение Neogondolella nevadensis, но точная видовая принадлежность этой формы не ясна, так как нет ее изображений описаний. Учитывая коррекции определений, терминальный комплекс конодонтов нижнего триаса Свальбарда может быть сопоставлен с эоной Neogonконодонтового стандарта в широком смысле, как ее первоdolella jubata начально трактовал В. Свит /Sweet, 1970/, и с одноименной зоной Сибири /Дагис, 1984/. По аммоноидеям на Свальбарде доказаны аналоги только самой верхней эоны верхнего оленека бореальных регионов - Keyserlingites subrobustus /Корчинская, 1982/ и, вероятно, этим стратиграфическим интервалом здесь ограничено распространение комплекса конодонтов с Neojubata (см. таблицу).

Среднетриасовые отложения Свальбарда охарактеризованы конодонтами значительно хуже. В районе Рейнодден в основании формации Ботнехейа встречена Neogondolella regale — вид, характерный для самых верхов оленекского (спэтского) яруса (Британская Колумбия, северные Арктические острова, север Сибири) и для нижнего подъяруса анизийского яруса (Турция). Этому же стратиграфическому уровню, по-видимому, соответствуют отложения в районе Питнеродден с Neogondolella elongata Sweet.

Самый молодой конодонтовый комплекс установлен нами в отложениях среднего триаса южного побережья Сассен-фьорда (Botneheia) из известняков с Ptychites cf. euglyphus Mojs., Ussurites spitzbergen-Он содержит Neogondolella transita Kozur et sis Oeberg. Mostler, N. longa Budurov et Stefanov, N. spitzbergensp. nov. Два первых вида характерны для нижнего ладина Западной Европы. На близкий стратиграфический уровень указывает комплекс конодон-TOB Neogondolella mombergensis mombergensis Tatge, N. mombergensis media Kozur N. haslahensis trammeri Kozur, приводимый И. Траммером / Trammer, 1978/ для ладинских отложений Хорнсунда.

Ниже приводятся описания конодонтов из триасовых отложений Свальбарда.

<u>Род</u> Neogondolella Bender et Stoppel, 1965

Neogondolella longa Budurov et Stefanov, 1973

Табл. XVIII, фиг. 12-16, 18, 19

Neogondolella longa: Budurov et Stafanov, 1973, c. 305, табл. I, фиг. 16-22; 1974, табл. II, фиг. 20,21; 1975, c. 16, табл. III, фиг. 13; Budurov, Ganev et Stefanov, 1979, tab. II, fig. 3, 4; Мі-еtto et Petroni, 1979, p. 9, tab. I, fig. 3; Міеtto et Petroni, 1981, p. 532, tab. 57, fig. 1.

Gondolella longa: Trammer, 1975, tab. 23, fig. 2, 3; Zawid-zka, 1975, tab. 43, fig. 2.

Gondolella constricta: Kovács und Kozur, 1980, Tab. 3, Fig. 4.

Gondolella pseudolonga: Kovács, Kozur, Mietto, 1980, S. 218, Tab. 1, Fig. 1-4; Papsova, Pevny, 1982, tab. XX, fig. 14a, b; tab. XXI, fig. 5a, b; 8a, b; 10a, b; 12a, b.

8 3ax, 530 113

Gondolella mombergensis mombergensis: Trammer, 1978, tab. I, fig. 3, 4.

Голотип. Neogondolella longa Budurov et Stefanov /1973, табл. I, фиг. 16-18) нижний ладин Болгарии (Голо-Бордо).

Описание. Стройные, удлиненные формы с узкой платформой, протягивающейся на основную часть длины конодонта. Нарастание платформы в ширину в направлении заднего конца конодонта происходит очень постепенно и
незначительно. Наибольшая ширина платформы отмечается в задней ее трети.
Боковые стороны платформы узкие, с приостренными и слегка приподнятыми
краями, с узкими сглаженными желобками вдоль осевого гребня. На заднем
конце платформа имеет округлые очертания, со слегка отогнутыми вниз краями, охватывает главный зубец осевого гребня в виде полей шляты.

Осевой гребень состоит из узких, плоских зубцов количеством до 20 и даже более. Основная часть зубцов слита практически во всю свою высоту, оставляя свободными лишь края своих вершин. Вершины зубцов либо приостренные треугольной формы, либо приостренные округлой формы. Первый тип вершин, как правило, характерен для передних зубцов (8), второй – для срединных. Краевые зубцы (3) на заднем конце конодонта наиболее дискретные. Главный зубец невысокий, лишь слегка превышающий предшествующие ему зубцы, обособленный в значительной части, округлый, приостренный, слегка отклоненный назад. Нарастание зубцов в высоту происходит очень незначительно в направлении переднего конца конодонта. Центральные зубцы (10) приблизительно одной высоты. Внешний край осевого гребня неровно зазубренный.

На нижней поверхности – высокий приостренный киль, в центре которого узкая, расширяющаяся в направлении заднего конца борозда, переходящая в узкую, длинную петлеобразную выемку. Края выемки высокие, приостренные.

Размеры (м.	a):			
№ экз.	Д	Ш	Д/Ш	
578-340	1,1	0,25	4,4	
578-341	0,9	0,25	4	
578-342	0,8	0,2	4	
578-343	0,6	0,15	4	
578-344	0.43	0.08	5	

Изменчивость. Индивидуальная изменчивость проявляется главным образом в форме осевого гребня. Зубцы, составляющие осевой гребень у представителей описываемого вида, могут слабо отличаться по высоте и тогда осевой гребень очень напоминает по внешним очертаниям таковой у Neogondolella regale Mosher. У ряда же экземпляров краевые зубцы – передние и задние – более высокие по сравнению с центральными, хотя отличия эти не резкие. Изменчивость проявляется также в степени слитности зубцов осевого гребня. Для большей части экземпляров, особенно взрослых, характерна высокая степень слитности зубцов, но встречаются отдельные экземпляры, у которых свободной остается примерно 1/4 часть высоты зубцов.

Возрастная изменчивость проявляется в форме платформы. У молодых экземпляров она более узкая, и, как правило, еще не охватывает главный зубец. Главный зубец у молодых экземпляров выражен более значительно по сравнению с остальными зубцами осевого гребня, но с ростом конодонта эта разница значительно уменьшается.

Сравнение. Наиболее близким видом к описываемому является, не-

сомненно, Neogondolella constricta Mosher et Clark, от которого N. longa отличается формой заднего конца платформы и соотношением ее с краевым главным зубцом осевого гребня. У представителей описываемого вида задний конец платформы округлый, плавно соединенный с остальной частью платформы, в то время как у N. соnstricta задний конец платформы отделяется одним или двумя (с обеих сторон платформы) асимметричными вырезами, что придает ему полуостровной характер. Главный зубец слит с задним концом платформы и довольно значителен по сравнению с остальными зубцами осевого гребня. От N. regale Mosher, с которым описываемый вид сближает форма осевого гребня, последний отличается значительно более удлиненной и стройной платформой и формой ее заднего конца, охватывающего зубец в виде полей шляпы.

Геологический возраст и географическое распространение. Болгария, Польша, Венгрия, Чехословакия, Италия, Шпицберген - нижнеладинский подъярус (Fassan).

Местонахождение, материал. Шпицберген, южное побережье Сассен-фьюрда, г. Ботнехейа, обн. 1/101 - 16 экз.

Neogondolella transita (Kozur et Mostler), 1971 Ταδπ. XVIII. φατ. 9, 17

Gondolella transita; Kozur et Mostler, 1971, p. 13, tab. 2, fig. 12; Kozur et Mirauta, 1980, tab. I, fig. 1; Kovács und Kozur, 1980, Tab. 4, Fig. 14; Tab. 5, Fig. 7a, b, c; Mietto et Petroni, 1981, p. 555, tab. 57, fig. 9.

Голотип. Gondolella transita Kozur et Mostler /1971, p. 13, tab. 2, fig. 12/, нижний ладин (верхний Fassan) Венгрии.

Описание. Удлиненные конодонты с платформой, протягивающейся на всю их длину. Нарастание платформы в ширину происходит очень постепенно в направлении заднего конца конодонта. Наибольшая ширина платформы в срединной части ее. Задний конец платформы – асимметрично суженный. Боковые стороны ровные, с утолщенными краями в срединной части, в направлении переднего и заднего конца платформы они утоньшаются.

Осевой гребень низкий, в задних 2/3 своего простирания характеризуется спитными, трудно поддающимися подсчету зубцами. Зубцы более высокие и более дискретные в передней части осевого гребня, с боков уплощенные, треугольной формы. Осевой гребень тянется до заднего края платформы и слегка асимметрично изогнут влево у заднего конца. На нижней стороне высокий киль, в центре которого узкая борозда, переходящая в очень маленькую, слабо выраженную выемку. Выемка расположена на некотором расстоянии (примерно 1/5 от всей длины конодонта) от заднего края платформы, окружена высокими краями, четко выступающими в боковом виде конодонта.

Размеры (м	ıм):		
№ экз.	Д	Ш	Д/Ш
578-345	1,1	0,23	4,7
578-346	0,6	0,13	4,6
578-347	0.5	0.15	3,3

Сравнение. Описываемый вид сходен с Neogondolella excentrica (Budurov et Stefanov), но отличается более низким осевым гребнем и слитными зубцами, составляющими большую часть осевого гребня. Кроме того, большая часть представителей N. excentrica характеризуется изогнутостью заднего конца конодонта влево либо вправо. Из-за недостаточного количества материала мы не можем с уверенностью говорить о сходстве или различии сравниваемых видов в этом отношении. П. Миетто и М. Петрони / Mietto, Petroni, 1981 / считают эти виды синонимами, и, возможню, не без основания, так как в отличие от нас они располагали достаточным материалом. Те же признаки (низкий осевой гребень, слитность зубцов) отличают N. transita от N. bakalovi. Кроме того, описываемый вид характеризуется меньшей оттянутостью ямки от заднего конца платформы. По сравнению с N. longa Budurov et Stefanov наш вид имеет оттянутую от заднего конца платформы выемку и осевой гребень, простирающийся до самого заднего края платформы, и асимметричный задний конец платформы.

Геологический возраст и географическое распространение. Венгрия, Румыния, Италия, Шпицберген - ладинский ярус, нижний подъярус (Fassan).

Местонахождение и материал. Шпицберген, южное побережье Сассен-фьюрда, г. Ботнехейа, обн. 1/102 - 4 экэ.

Neogondolella spitzbergensis sp. nov.

Табл. XVIII, фиг. 10, 11

Neogondolella mombergensis: Budurov et Stefanov, 1975, табл. II, фиг. 24, 25; табл. III, фиг. 14, 15; Čatalov, Budurov, Stefanov, 1979, табл. I, фиг. 10.

Neogondolella mombergensis mombergensis: Trammer, 1978, tab. I, fig. 3a, b, c, 4; Nicora et Kovács, 1984, tab. 9, fig. 9a, b, c; tab. 10, fig. 5b, a, c.

Gondolella navicula: Nogami, 1968, tab. 8, fig. 16a, b. Paragondolella navicula navicula: Mosher, 1968, tab. 116, fig. 20-27.

Голотип. № 578-331. ИГиГ СО АН СССР. Шпицберген, южное побережье Сассен-фьорда, г. Ботнехейа, обн. 1/102, лединский ярус, нижний подъярус.

Диагноз. Удлиненные конодонты с четко выраженной, равномерно развитой платформой, протягивающейся на всю длину конодонта, охватывающей терминальный зубец. Осевой гребень на большей части представлен слитными зубцами, наиболее высокими и дискретными в передней части. Задние и центральные зубцы либо одной высоты, либо центральные чуть ниже.

Описание. Удлиненные конодонты с четко выраженной платформой, протягивающейся на всю длину. Нарастание платформы в ширину начинается от переднего конца и идет постепенно, равномерно, но интенсивно в передней трети. Затем нарастание платформы замедляется и в своей центральной части, правильнее сказать, в центральной трети, она достигает наибольшей ширины и остается постоянной, так что боковые стороны ее на этом отреже практически параллельны. Слабое сужение платформы отмечается в задней ее трети, задний конец ее широкоовальный. Края платформы утолщенные, приподнятые. На заднем конце края платформы слегка отогнуты книзу. Пористые боковые стороны отделены от осевого гребня гладкими четкими желобами. Осевой гребень составлен довольно многочисленными зубцами (20), трудно поддающимися подсчету из—за слитности на большей его части. Передние зубцы (6-7) наиболее высокие, сильно уплощены с боков, со свободными приостренными вершинами треугольной либо закругленной формы. В направлении заднего конца зубцы постепенно либо резко понижаются. Цент—

ральные и задние зубцы слиты, одинаковые по высоте, либо центральные зубцы ниже в той или иной степени. Главный зубец краевой, может быть не полностью, но в той или иной степени обособленным.

На нижней поверхности высокий киль с отвесными внешними краями и с постепенно выполаживающимися внутренними краями. В центре киля узкая глубокая борозда, заканчивающаяся маленькой ямкой. Нижняя поверхность сильно изогнута и сбоку имеет форму асимметричной дуги.

Размеры (мм):			
№ экэ.	Д	Ш	Д/Ш
578-348	1,25	0,35	3,6
578-349	1,25	0,38	3
578-350	0,95	0,35	4

Сравнение. Описываемый вид сходен с Neogondolella longa Budurov et Stefanov, но отличается иным соотношением длины и ширины конодонтов, иным строением осевого гребня. Представители Neogondolella spitzbergensis sp. nov. характеризуются более широкой платформой по сравнению с таковой у представителей Neogondolella longa, более низким осевым гребнем в задней и центральной частях, более выраженной разницей в высоте между передними и остальными зубцами осевого гребня. По сравнению с N. navicula /Huckriede, 1958. Tab. 12. данный вид характеризуется более высоким и уплощенным осевым гребнем, большей степенью дискретности передних зубцов осевого гребня, приподнятыми и приостренными краями платформы, более высоким килем. В отличие от N. mombergensis (Tatge) описываемый вид отличается совершенно иным типом строения осевого гребня, включающего слитность зубцов, как правило, более низкую высоту осевого гребня в центральной части, в то время, как y N. mombergensis нарастание зубцов в высоту происходит равномерно в направлении заднего конца конодонта.

Геологический возраст и географическое распространение. Болгария, Шпицберген - нижний ладинский подъярус (Fassan); Невада - формация Прида (Prida) - средний анизий - верхний ладин; Индонезийский Тимор - ладинский ярус, Австралия - анизийский ярус (верхняя часть).

Местонахождение и материал. Шпицберген, южное побережье Сассен-фьорда, г. Ботнехейа, обн. 1/102 - 6 экз.

Neogondolella sweeti sp. nov.

Табл. XVIII, фиг. 7, 8

Neogondolella elongata: Sweet, 1970, tab. 3, fig. 18, 23, 25; Hatleberg et Clark, 1984, Tab. I, Fig. 4, 7, 8, 11, 14, $_{\rm IRO}$ fig. 10.

Голотип. № 578—327. ИГиГ СО АН СССР. Нижний триас, верхний индский (динерский подъярус), Шпицберген, южное побережье Ван-Кейли-фьорда, м. Альстронд.

Диагноз. Короткие конодонты с широкой массивной платформой, составляющей 1/2-2/3 длины конодонтов. Передние зубцы осевого гребня значительно превышают все остальные. На нижней поверхности высокий киль, центральная борозда узкая, глубокая, с очень маленькой петлеобразной выемкой.

Описание. Короткие конодонты с массивной платформой. Платформа

составляет 1/2-2/3 длины конодонта. Начинаясь от середины или от передней трети конодонта, она резко расширяется, достигает наибольшей ширины в задней трети конодонта, затем, постепенно сужаясь, приобретает широкоокруглые или неправильной формы очертания своего заднего конца. Боковые стороны платформы приподняты значительно вверх и имеют утолщенные округлые края. Широкие ложбины по обеим сторонам осевого гребня четко выражены. Осевой гребень состоит из 8-10 зубцов. Передние зубцы (3-4) очень высокие, дискретные, от округлых пикообразных до слегка уплощенных с боков, высокотреугольной формы. Эти зубцы составляют 1/2-1/3 длины осевого гребня. Затем в направлении переднего конца они резко понижаются. В этой части осевого гребня зубцы уплощенные, с округлыми или приостренными вершинами, часть из них слита, но со свободными вершинами. Задние зубны (от 1 до 4) могут быть полностью дискретными, пикообразными либо уплощенными с боков, треугольной формы. Главный зубец всегда краевой, конический с острой вершиной, края платформы примыкают к нему с боков либо он выступает даже за их пределы, упираясь своим основанием на края киля, окружающие выемку. На нижней поверхности высокий киль с приостренными краями и отвесными внешними стенками. В центре узкая глубокая борозда, переходящая в очень маленькую петлеобразную выемку. Нижний край асимметрично дугообразно изогнут.

Размеры (мм):			
№ экз.	Д	Ш	Ш/Д
Голотип	0,68	0,3	2,2
578-351	0,6	0,3	2
578-352	0,58	0,18	3
578-353	0.55	0.25	2,2

Изменчивость. Индивидуальная изменчивость проявляется в строении осевого гребня и в размерах платформы. Осевой гребень, сохраняя общую тенденцию развития — резкое различие по высоте передних и задних зубщов, в то же время характеризуется различными вариациями в строении отдельных зубцов и в их соотношении друг с другом, что отмечалось уже выше при описании данного вида. Изменчива длина платформы. Как уже указывалось выше, она изменяется по отношению к длине конодонта от 1/2 до 2/3.

Сравнение. Описываемый вид сходен с типичными Neogondolella elongata, изображенными В. Свитом /Sweet, 1970, tab. 2, fig. 4-8/из отложений формации Mianvali слоя Narmia (= верхняя часть оленекского яруса). Представители описываемого вида отличаются более короткой, более широкой и более массивной платформой, более резко выраженной глубокой бороздой на нижней стороне и очень слабо выраженной выемкой. Данный вид внешне напоминает также Neogondolella mosheri Kozur et Mostler, но отличается более короткой и широкой платформой, резким различием по высоте передних и задних зубцов гребня, меньшим по размерам и менее оттянутым книзу главным зубцом, очень маленькой, плохо выраженной выемкой на нижней стороне.

Замечания. На наш взгляд, экземпляры, описанные В. Свитом /Sweet, 1970, tab. 3, fig. 18, 23, 25/ как Neogondolella elongata из слоев Mittivali формации Mianvali Пакистана, существенно отличается от голотипа этого вида /Sweet, 1970, tab. 2, fig. 6-8/, происходящего из этого же района, но из более молодых отложений — формация Mianva— li, слои Narmia. Отличия заключаются в строении осевого гребня и нижней стороны. У экземпляров из слоев Mittivali более резко выражен пере—

ход от передних зубцов к задним, более четко выражена глубокая борозда в центре киля и значительно меньше выемка. Кроме того, следует добавить более широкую платформу с резким ее расширением в направлении заднего конца конодонта. Скорее всего, здесь мы имеем дело с совершенно разными формами, отличными как внешне, так и по стратиграфическому положению и, на наш взгляд, принадлежащими разным видам. С аналогичным явлением мы встречаемся в работе Е. Хатлеберга и Д. Кларка /Hatleberg. 1984/. Здесь к виду Neogondolella elongata отнесены, по нашему мнению, также разные формы, отличные внешне и разъединенные сравнительно большим стратиграфическим промежутком. Это, с одной стороны, экземпляры, изображенные на табл. VIII, фиг. 4, 7, 8, 11, 14, с другой - на фиг. 10 той же таблицы. Первые происходят из формации Vardebukta, слоев Siksaken (верхний инд) Шпицбергена, второй - из отложений формации Воtneheia (анизий) этого же района. Эти два стратиграфических уровня с находками Neogondolella elongata не связаны промежуточными уровнями, где бы отмечалось присутствие названного вида. Скорее всего, в данном случае мы также имеем дело с разными видами, что подтверждают и внешние различия (строение осевого гребня, форма и положение главного зубца) их.

Геологический возраст и географическое распространение. Западный Пакистан, формации Mianvali, слои Mittivali (верхний инд), Шпицберген, формации Vardebukta (верхний инд).

Местонахождение, материал. Шпицберген, южное побережье Ван-Кейли-фьорда, Альстронд, обн. 9/116 - 5 экз.

Pog Neospathodus Mosher, 1968

Neospathodus svalbardensis Trammer, 1975

Табл. XVIII. фит. 1-6.

Neospathodus svalbardensis: Birkenmajer, Trammer, 1975, p. 306, tab. 1, fig. 5-7; tab. 2, fig. 1-7.

Голотип. Neospathodus svalbardensis Trammer /1975, tab. 2, fig. 1a, b/, формация Vardebukta, основание верхнеиндского (=динерский) подъяруса, Шпицберген, Хорнсунд.

Описание. Удлиненные конодонты. Гребень состоит из 10-12 зубцов. Зубцы узкие, с округлыми либо слегка уплощенными боковыми поверхностями, слитые на основную часть своей высоты, вершины свободны. Вершины зубцов пикообразны либо округлы. Наиболее высокие зубцы в задней части осевого гребня, затем они очень незначительно понижаются, оставаясь примерно равными по высоте в передней половине осевого гребня. Задние 2-3 зубца заметно отклонены назад, остальные вертикальны. Главный зубец высокий, изогнутый дугообразно в различной степени. Нижняя часть конодонта низкая, с широким четко выраженным боковым ребром. На нижней поверхности высокий приостренный киль, с расширяющейся кзади осевой бороздой, переходящей довольно резко в выемку. Выемка большая, задняя ее стенка от овальных до прямоугольных очертаний. Нижний край прямой либо приподнят в задней части, под выемкой.

Размеры (мм)	:		
№ экэ.	Д	В	В/Д
578-354	0,6	0,4	1,5
578-355	0,55	0,25	2

Сравнение. Описываемый вид сходен с Neospathodus pakistanensis Sweet, но отличается более высокими и узкими зубцами осевого гребня, дугообразным главным зубцом с пикообразной вершиной.

Геологический возраст и географическое распространение. Шпицберген, формация Vardebukta, верхнеиндский подъярус.

Местонахождение и материал. Шпипберген, р. Лузитания, Сассен-фьорд, южное побережье обн. 14/18 - 3 экз.; Регерг-фьорд, обн. 4/131 -2 экз.

СПИСОК ЛИТЕРАТУРЫ

- <u>Дагис А.А.</u> Раннетриасовые конодонты севера Средней Сибири М.: Наука, 1984. С. 68.
- <u>Дагис А.А., Корчинская М.В.</u> Первые находки конодонтов в отоперасовых слоях Свальбарда // Бореальный триас. М.: Наука, 1987. С. ОО.
- Корчинская М.В. Объяснительная записка к стратиграфической схеме мезовоя (триас) Свальбарда. Л., 1982. 99 с.
- Корчинская М.В. Биостратиграфия индского яруса Шпицбергена // Геология осадочного чехла архипелага Шпицберген. Л., 1986. С. 77-97.
- Bender V.N., Stoppel D. Perm-Conodonten // Geol. Jb. 1965.- Bd 82. S. 331-364.
- Birkenmajer K., Trammer I. Lower Triassic conodonts from Hornsund, South Spitsbergen // Acta geol. pol. 1975. Vol. 25, N 2. P. 299-308.
- Budurov K.I., Stefanov S. Etliche neue Plattform Conodonten aus der Mitteltrias Bulgariens // Докл. Болг. АН. 1973. Т.26, № 6. С. 803-806.
- Budurov K., Stefanov S. Die Zahnreihen-Conodonten aus der Trias des Golo-Bardo-Gebirges // Изв. Геол. Ин-т Бълг. АН. Сер. палеонтол. 1974. Т. 23. С. 89-104.
- Budurov K., Stefanov S. Neue daten Über die Conodontenchronologie der balkaniden mittleren Trias // Докл. Болг. АН. – 1975. – Т. 28. № 6. – С. 791–794.
- Budurov K., Ganev M., Stefanov S. Conodonten stratigraphie der Anis-Ladin-Grenzschichten in der Trias des Elena-Tvårdiea-Passes (Zentralbalkan) // Geologica Balcanica. 1979. Vol. 9, N 2. P. 105–110.
- <u>Čatalov G.A., Budurov K.I., Stefanov S.A.</u> Ladinian sediments and conodonts in a part of the central Balkan range //Докл. Болг. АН. 1979. Т. 32, № 6. С. 789-791.
- Hatleberg E.E., Clark D.L. Lower Triassic conodonts and biofacies interpretation: Nepal and Svalbard // Geol. et Palaeont. Marburg. 1984. N 18. S. 101-127.
- Huckriede L. Die Conodonten des mediterranen Trias und ihr stratigraphischen Wert // Paläont. Zeitschr. - 1958. -Bd 32. - S. 141-175.
- Kovács S., Kozur H. Stratigraphische Reichweite der wichtigsten Conodonten (ohne Zahnreihenconodonten) der Mittel und Obertrias // Geol. Paläont. Mitt. Innsbruck. 1980. Bd 10, N 6. S. 47-78.
- Kovács S., Kozur H., Mietto P. Gondolella pseudolonga n. sp. (Conodontophorida), an important Lower Ladinian guide form // Geol. Paläont Mitt. Innsbruck. 1980. Bd 10, N 6. S. 217-221.

- Kozur H., Mirauta E. Eine interessante Conodonten fauna aus dem hoheren Fassan (Unterladin) der Arieseni Decke (nördliches Apuseni Gebirge, Rumänien) // Geol. Paläont. Mitt. Innsbruck. 1980. Bd 10, N 6. S. 223–234.
- Kozur H., Mostler H. Probleme der Conodontenforschung in der Trias // Geol. Paläontol. Mitt. Innsbruck. 1971. Vol. 1.- P. 1-19.
- Kozur H., Mostler H. Neue Conodonten aus dem Jungpaläozoikum und der Trias // Geol. Paläont. Mitt. Innsbruck. - 1976.-Bd 6, N 3. - S. 1-33.
- Mietto P., Petroni M. Conodonti a plattforma del limite Anisico - Ladinico nella sezione di San Ulderico nel Tretto (Prealpi Vicentino, Italia nord - orientale) // Mem. sci geol.-1979. - Vol. 32. - P. 1-18.
- Mietto P., Petroni M. The ladinian platform conodonts in the Campogrosso section (Recoaro area NE Italy) and their stratigraphic significance // Riv. Ital. Paleont. 1981. Vol. 86, N 3. P. 543-561.
- Mosher L.C. Triassic conodonts from western North America and Europe and their correlation // J. Paleontol. 1968. Vol. 42, N 4. P. 895-947.
- Nicora A., Kovács S. Conodont fauna from the Rotelliforme, Meeki and Occidentalia zones (Middle Triassic) of Humboldt Range, Nevada, Western - North America // Riv. It. Faleont. Strat. - 1984. - Vol. 90, N 2. - P. 135.
- Nogami Y. Trias-Conodonten von Timor, Malaysia und Japan (Paleontological Study of Portuguese Timor, 5) // Mem. Fac. Sci. Kyoto Univ., Ser. Geol. et Miner. 1968. Vol. 34, N 2. P. 115-136.
- Papsova I. Pevny I. Finds of conodonts in Reifling limestones of the West Carpathians (the Choč and Strazov nappes) // Zapad. Karpaty, Sér. Paleont. (Bratislava). 1982. N 8.- P. 77-90.
- Sweet W.C. Uppermost Permian and Lower Triassic conodonts of the Salt Range and Trans Indus Ranges, West Pakistan // Stratigraphic boundary problems. Permian and Triassic of West Pakistan. 1970. N 4. P. 207-275.
- Tozer E.T., Parker I.R. A standart for Triassic time // Geol. Surv. Can. 1967. Bul. 156. P. 1-163.
- <u>Trammer I.</u> Middle Triassic (Ladinian) conodonts and cephalopod arm hooks from Hornsund Spitsbergen // Acta geol. pol. 1978. Vol. 28, N 2. P. 283-287.
- Weitschat W., Lehmann U. Biostratigraphy of the uppermost part of the Smithian stage (Lower Triassic) at the Botneheia, W-Spitsbergen // Mitt. Geol. Paläontol. Inst. Univ. Hamburg. 1978. N 48. S. 85-100.
- Zawidzka K. Conodont stratigraphy and sedimentary environment of the Muschelkalk in Upper Silesia // Acta Geol. Polonica. 1975. Vol. 25, N 2. P. 217-256.

ТРИАСОВЫЕ НАУТИЛИДЫ АРХИПЕЛАГА СВАЛЬБАРД

Первые сведения о триасовых наутилидах архипелага Свальбард относятся ко второй половине прошлого столетия, когда в 1865 г. Г. Линдстромом/Lindström, 1865/ из коллекции, собранной экспедицией А. Норденскьольда в триасовых отложениях м. Тордсен (рис. 1), был описан Nautilus nordenskjöldi. В 1877 г. П. Оеберг / Öberg, 1877/, описывая триасовые окаменелости, доставленные из того же района последующими шведскими экспедициями, отнес к виду N. nordenskjöldi Lindström форму, имевшую в отличие от голотипа необычную, быстро возрастающую в ширину раковину с поперечно-линзовидным сечением оборотов. Несколько позже Э. Мойсисович / Mojsisovics, 1886/ ревизовал коллекции шведских исследователей и выделил по экземпляру, описанному П. Оебергом, новый вид Nautilus sibyllae. При этом Э. Мойсисович указал, что N. nordensk-jöldi и N. sibyllae происходят из "даонелловых известняков".

В дальнейшем систематическое и стратиграфическое положение указанных видов уточнялось. Так, N. sibyllae Mojsisovics был выделен К. Динером/Diener, 1915/в новый род Sibyllonautilus, а вид N. пог-denskjöldi Lindström по особенностям формы раковины, перегородочной линии и положению сифона отнесен Б. Каммелом / Киmmel, 1953/к роду Syringonautilus. Т. Тозер и Р. Паркер / Tozer, Parker, 1968/ сопоставили триасовые отложения м. Тордсен с фауной, первоначально описанной Г. Линдстромом, П. Оебергом и Э. Мойсисовичем, с отложениями зоны Frechites chischa верхнего анизия Британской Колумбии. В современной схеме триаса Свальбарда данный стратиграфический интервал соответствует зоне

а. Ш п и и б е р г е н

а. Баренца

ис-форра

в а здак

в ельсунн

о докм

о докм

о докм

о докм

F. laqueatum /Корчинская, 1982/.

Кроме отмеченных видов, приводятся определения Proclydonautilus triadicus (Mojsisovics) из нижне-карнийских отложений о. Эдж /Клубов, 1965/ и Sibyllo-nautilus sp. из отложений зоны Indigirites tozeri

Рис. 1. Местонахождения триасовых наутилид на архипелаге Свальбард.

1 - южное побережье Ван-Кейлен-фьорда, м. Тоскана; 2-4 - Земля Диксон: 2 - м. Тордсен, 3 - гора Чермакфьеллет, Драшедален; 4 - Зауриендален; 5 - Земля Норденскьольда (гора Ботнехейа, Флоуердаллен); 6 - бухта Агард; 7 - бухта Уиче; 8 - о. Эдж (мыс Хеглина); 9 - о. Надежда (гора Лингефьеллет). нижнего ладина Земли Норденскьольда и Земли Диксон /Weitschat, Lehmann, 1983/.

Собственно этими немногочисленными сведениями и ограничиваются наши энания о триасовых наутилидах архипелага,

В настоящей статье приводится описание небольшой коллекции наутилид, которая существенно расширяет наши представления о систематическом составе и стратиграфическом распространении этой группы в триасовых отложениях Свальбарда.

Материал был собран М.В. Корчинской в результате проведенных в период с 1969 по 1974 г. тематических исследований триасовых отложений в ряде районов западного (Ван-Кейлен-фьорд, м. Тоскана) и восточного (бухты Уиче и Агард) побережий о. Шпицберген, а также на о. Надежда (гора Лингефьеллет). Работы проводились в составе шпицбергенской партии Научно-исследовательского института геологии Арктики (ныне ПГО "Севморгеология", г. Ленинград). Кроме того, коллекция наутилид была пополнена несколькими экземплярами, собранными Б.А. Клубовым в 1962 г. на о. Эдж (м. Хеглина).

Ниже приводятся краткая литологическая и фаунистическая характеристики тех интервалов, в которых были сделаны находки наутилид. В качестве биостратиграфической основы в работе использована зональная схема, разработанная М.В. Корчинской /1982/. Определения аммоноидей и двустворок сделаны М.В. Корчинской.

ЮЖНОЕ ПОБЕРЕЖЬЕ ВАН-КЕЙЛЕН-ФЬОРДА (м. Тоскана)

Из прослоя темно-серых глинистых алевролитов с желваковыми фосфоритами в основании толши, имеющей, по устному сообщению М.В. Корчинской, анизийский возраст, сделаны находки представителей нового вида Arcto-nautilus toscanensis. Другой фауны в прослое встречено не было.

БУХТА УИЧЕ

В данном районе в основании пачки темно-серых аргиллитов с конкрециями глинистых сидеритов, содержащих аммоноидеи Nathorstites gibbosus Stolley, N. cf. tenuis Stolley, Paracladiscites sp., Protrachyceras sp. и двустворки Halobia zitteli Lindström, характерные для зоны Halobia zitteli нижнего карния, обнаружен Germanonautilus sp. I.

БУХТА АГАРД

В аргиллитах с красно-бурыми с поверхности глинисто-сидеритовыми конкрециями, содержащих остатки двустворок Halobia zitteli Lindström и аммоноидей Nathorstites sp. зоны Halobia zitteli, встречены представители нового вида и рода наутилид - Grumantoceras korchinskajae.

ОСТРОВ ЭДЖ (м. Хеглина)

Здесь, в темно-серых аргиллитах с чечевицевидными конкрециями глинистого известняка (часто в конкрециях наблюдаются выделения пирита)

					о. Ш	лицберген
Система	Отдел	Ярус	Подъярус	Зона, слои с фауной /Корчинская, 1982/	Ван-Кейлен- фьорд, м. Тоскана	м. Тордсен /Lindström, 1865; Öeberg, 1877; Mojsisovics,1886/
		Норийский	Средний Верхний			
	Верхний		Нижний	Слои с Pterosire-		
	<u> </u>	ский	Верхний	Слои с Lima, My- iophoria и Pleuro- phorus		
Триасовая		Карнийский	Нижний	Halobia zitteli		
		Ладинский	Верхний	Nathorstites mcconnelli		
		Лад	Нижний	Ptychites nanuk		
	Средний	,	Верхний	Frechites laqueatum	Arctonautilus	Syringonautilus nordenskjöldi, Sibyllonautilus sibyllae
		Анизийский	Средний	Слои с Anagymno- toceras, Hollandi- tes и Gymnoto- ceras	loscanensis	
			Нижний	Lenotropites caurus		

•					
Земля Диксон, Земля Норден- скьольда /We- itschat, Le- hmann, 1983/	Бухта Уиче	Бухта Агард	о. Эдж, м. Хеглина	о. Надежда, гора Лингефьеллет	
•	Germano- nautilus sp. I	Grumanto- ceras ko- rchins- kajae	Proclydona- utilus stan- toni, Germa- nonautilus ? sp.	Proclydona- utilus ex gr. seimkanensis, Germanona- utilus sp. II	
Sibyllona- utilus sp.					

/Клубов, 1955/, вместе с двустворками Halobia zitteli Lindström и аммоноидеями Nathorstites tenuis Stolley, N. gibbosus Stolley, N. sp., которые характеризуют эону Halobia zitteli нижнего карния, найдены наутилиды Proclydonautilus stantoni Smith и Germanonautilus (?) sp. Экземпляр, по которому в настоящей статье описан вид Fr. stantoni, в работе Б.А. Клубова /1965/ был ошибочно определен как Pr. triadicus (Mojsisovics).

ОСТРОВ НАДЕЖДА (гора Лингефьеллет)

Из темно-серых аргиллитов с прослоями сидеритовых конкреций с остатками аммоноидей Pterosirenites nelgechensis (Archipov), P. cf. obručevi forma nabeshi (McLearn), двустворок Halobia aotii Kobayashi et Ichikawa, H. fallax Mojsisovics, H. cf. obručevi Kiparisova и многочисленными позвонками рептилий происходят наутилиды Germanonautilus sp. II и Proclydonautilus ex gr. seimkanensis Bytschkov. Эта часть разреза выделена М.В. Корчинской /1982/ в слои с Pterosirenites нижнего нория.

Таким образом, наутилиды не известны в нижнем и распространены почти по всему разрезу среднего и верхнего триаса архипелага Свальбард, но не образуют крупных скоплений. Они не обнаружены в зоне Nathorstites mcconnelli ладинского яруса и слоях с Lima, Myiophora и Pleurophorus карнийского яруса (см. таблицу). Отложения последнего стратиграфического интервала характеризуются огрублением осадочного материала, и в них также отсутствуют находки аммоноидей /Корчинская, 1982/.

Ниже приводится описание семи видов триасовых наутилид архипелага Свальбард. В работе приняты следующие условные обозначения основных параметров раковины: Π – диаметр раковины, B – высота оборота, Π — ширина оборота, Π – диаметр умбиликуса, B – расстояние от центра сифона до его дорсальной стороны, B – внутренняя высота оборота (расстояние от вентральной до дорсальной стороны оборота), $\Pi_{\rm C}$ – диаметр сифона, $\Pi_{\rm K}$ – диаметр соединительного кольца сифона, $\Pi_{\rm M}$ – диаметр перегородочной трубки.

^Т Автор искренне признателен М.В. Корчинской и Б.А. Клубову, предоставившим коллекционный материал для изучения, Г.Ю. Ковгану, выполнивше му большую часть фотографических работ.

Изученная коллекция хранится в монографическом отделе Музея Института геологии и геофизики СО АН СССР в Новосибирске под № 849.

СИСТЕМАТИЧЕСКОЕ ОПИСАНИЕ

ОТРЯД Nautilida

ПОДОТРЯД Rutoceratina

Надсемейство Tainoceratacea Hyatt, 1883

Семейство Tainoceratidae Hyatt, 1883

Pog Germanonautilus Mojsisovics, 1902

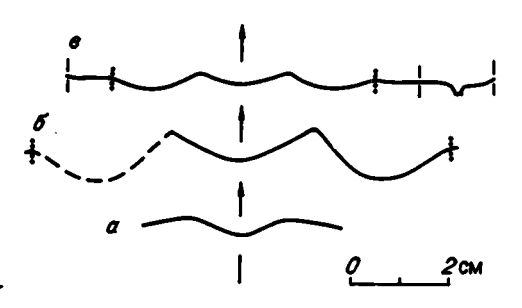
Germanonautilus sp. I

Табл. XIX, фиг. 1, рис. 2, б

Описание. В нашем распоряжении имеется два фрагмента одной раковины. Один из них представляет собой часть фрагмокона, другой - остатки

Рис. 2. Перегородочные линии представителей рода Germanonautilus, x0,7.

a - G.?sp., экз. 849/2, при В = 21 мм и Ш = 32 мм; б - G. sp. I, экз. 849/1; перегородочная линия снята с отпечатка; в - G. sp. II, экз. 849/3, при В = 20 мм и Ш = 30 мм.



жилой камеры. На сохранившейся части фрагмокона заметно, что вентральные и умбиликальные перегибы отчетливые, причем последние в виде толстых великов. На фрагменте жилой камеры вдоль угловатых вентральных перегибов расположены удлиненные ориентированные субпараллельно бугорки. По-видимому, у данного экземпляра вентральные бугорки появляются на поздних стадиях онтогенеза. Поверхность раковины покрыта продольными и более отчетливыми поперечными струйками роста. Последние на вентральной стороне образуют широкий и глубокий синус. Перегородочная линия, насколько позволяет судить сохранность материала, с широкими равномерно вогнутыми и относительно неглубокими вентральной и латеральными лопастями (рис. 2, 6).

Замечания и сравнения. По форме раковины, характеру скульптуры и строению перегородочной линии мы уверенно относим данный экземпляр к роду Germanonautilus. К сожалению, сохранность нашего материала не позволяет проводить корректного сравнения с другими видами рода. Однако можно отметить, что по характеру скульптуры, а именно по появлению на поздних стадиях онтогенеза сильных удлиненных бугорков вдоль вентральных перегибов, к описываемому экземпляру наиболее близок C. cassianus (Мојвіsovics)/Mojsisovics, 1882, S. 268, Tab. 89, Fig. 1/ из отложений зоны Trachyceras aon нижнего карния Восточных Альп.

Распространение. Верхний триас, карнийский ярус, нижняя часть зоны Halobia zitteli архипелага Свальбард*.

Germanonautilus sp. II

Табл. XIX, фиг. 2; рис. 2, в

Описание. В нашем распоряжении находится экземпляр, представляющий собой вторые половины первого и второго оборотов раковины, которые дают сравнительно полное представление о ее форме.

Раковина дисковидная, полуинволютная. В конце второй половины первого оборота на латеральных сторонах наблюдается отчетливый пережим, после которого раковина резко расширяется. Поперечное сечение раковины в начале второй половины первого оборота круглое, после пережима становится близким к округло-трапециевидному. На второй половине второго оборота поперечное сечение раковины трапециевидное (в начале полуоборота Ш/В = 1,37). Умбиликальные стенки уплошенные, косо наклонены к плоскости симметрий раковины. Латеральные стороны также уплощенные. Умбиликальные и вентральные перегибы отчетливые, угловатые. Вентральная сторона уплощенная, довольно широкая, чуть приподнята над перегибами. Дорсальная сторона вогнута на 3/4 высоты предыдушего оборота. Умбиликус, по-видимому, был узким. Вдоль вентральных перегибов (это особенно хорошо наблюдается в начале второй половины второго оборота) расположены косо

Местонахождения описываемых видов даны в объяснениях к таблицам.

ориентированные удлиненные бугорки, которые незначительно продолжаются на латеральных сторонах. Перегородочная линия с широкими равномерно вогнутыми вентральной и латеральными лопастями; на умбиликальных сторонах линия прямая. Дорсальная лопасть широкая и неглубокая, с маленькой аннулярной лопастью. Аннулярный отросток слабый. Сифон широкий ($\Pi_{\rm C}/B_{\rm O}$ = 0,17), занимает субдорсальное положение ($\Pi_{\rm C}/B_{\rm O}$ = 0,24).

Сравнение. От близкого по характеру скульптуры и степени эволютности раковины G. sibiricus Sobolev /Соболев, 1989, табл. 7, фиг. 1—3; табл. 8, фиг. 1/ из отложений зоны Neosirenites pentastichus карнийского яруса Северо-Восточной Азии отличается более ранней дифференциацией вентролатеральных бугорков и их косой ориентировкой. У G. sibiricus на втором обороте вместо вентролатеральных бугорков вдоль вентральных перегибов наблюдаются шнуровидные продольные утолшения. Кроме того, описываемый вид отличается от сибирского более мелкой вентральной лопастью. От близкого по степени эволютности G. kyotanii Na-kazawa /Nakazawa, 1959, p. 129, pl. 11, fig. 1, text-fig. 2/из зоны Monotis ochotica норийского яруса Западной Японии и зоны Оta-рiria ussuriensis Северо-Восточной Азии /Соболев, 1989/ отличается присутствием бугорков вдоль вентральных перегибов.

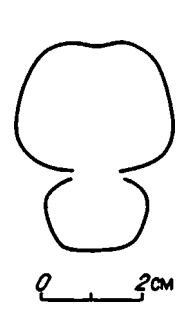
Распространение. Верхний триас, норийский ярус, слои с Pterosirenites архипелага Свальбард.

Germanonautilus? sp.

Табл. XIX. фиг. 3; рис. 2, а, 3

Описание. Описываемый экземпляр представляет собой ядро жилой камеры, составляющее почти половину внешнего оборота, с частично сохранившимися внутренними оборотами.

Раковина небольших размеров, инволютная, на ранних оборотах дисковидная, на поздних — вздутая дисковидная. Поперечное сечение раковины на внутренних оборотах трапециевидное (Ш/В = 1,48), с довольно широкой, уплощенной вентральной и уплошенными латеральными сторонами, отчетливыми вентральными и умбиликальными перегибами (рис. 3). На внешнем обороте поперечное сечение становится округло-трапециевидным (в начале полуоборота Ш/В = 1,50, в конце — 1,27). Умбиликальные стенки на данной стадии онтогенеза крутые, округленные. Латеральные стороны слабовыпуклые, медленно сходятся к относительно широкой вентральной стороне, с глубоким желобком по середине. К устью желобок становится менее заметным. Умбиликальные и вентральные перегибы широкоокругленные, неотчетливые. Внешний оборот почти полностью объемлет внутренние обороты. Умбиликус очень узкий. На вентральной стороне жилой камеры кроме желобка наблюдаются ча-



стые поперечные складки, расположенные параллельно струйкам нарастания. Перегородочная линия с широкой, равномерно вогнутой и относительно неглубокой вентральной лопастью (рис. 2, а). Остальные детали ее строения, к сожалению, не наблюдаются. Положение сифона неизвестно.

Замечания и сравнение. Определение систематической принадлежности данного экземпляра весьма за-

Рис. 3. Поперечное сечение раковины Germanonauti-lus? sp., x0,7; экз. 849/2.

труднительно, с одной стороны, из-за неудовлетворительной сохранности, а с другой - из-за необычной его формы. Однако, учитывая форму раковины на внутренних и отчасти на внешних оборотах, а также характер вентральной попасти перегородочной линии, описываемый экземпляр мы условно относим к роду Grermanonautilus. В литературе известны инволютные формы наутилид из карнийских отложений, которые своим трапециевидным поперечным сечением оборотов и характером перегородочной линии близки к представителям рода Germanonautilus, Это, например, Nautilus brembanus Moisisovics /Mojsisovics, 1882, S. 283, Tab. 90, Fig. 4/ Trachyceras aonoides нижнего карния Южных Алып и Germanonautilus? anceps Sobolev /Соболев, 1989, табл. 9, фиг. 2/ из отложений нижнего карния севера Средней Сибири. От обоих видов свальбардский экземпляр отличается глубоким желобком на вентральной стороне. Описываемый экземпляр имеет поразительное сходство по форме раковины и характеру перегородочной линии с некоторыми представителями верхнепалеозойского рода Соеlogasteroceras Hyatt, 1893 из семейства лироцератид. По-видимому, данное сходство является конвергентным.

Распространение. Верхний триас, карнийский ярус, зона Halobia zitteli архипелага Свальбард.

Род Arctonautilus Sobolev, 1989

Arctonautilus toscanensis Sobolev, sp. nov.

Табл. ХХ, фиг. 1, 2; рис. 4, 5

Название вида по м. Тоскана на о. Шпицберген.

Голотип. № 849/4. ИГиГ. Остров Шпицберген, южное побережье Ван-Кейлен-фьорда, м. Тоскана; средний триас, анизийский ярус.

Диагноз. Раковина вздутая, дисковидная. Поперечное сечение раковины на третьем обороте округло-трапециевидное (Ш/В = 1,36), с широкой слабовыпуклой вентральной стороной, отчетливыми округленными умбиликальными и вентральными перегибами. Умбиликус умеренно узкий (Д /Д = 0,23). Перегородочная линия с широкими и неглубокими вентральной и латеральной лопастями. Сифон дорсоцентральный или центродорсальный.

Форма. Раковина средних размеров, полуинволютная, вздутая, дисковидная. В конце первого оборота на латеральных сторонах раковины обозначен пережим. Выше пережима раковина резко расширяется. Поперечное сечение раковины на втором и на первой половине третьего оборота округло-трапециевидное (рис. 4). Умбиликальные стенки круто наклонены к плоскости симметрии раковины, на ранних оборотах, так же как и латеральные стороны, слабовыпуклые, на поздних – уплощенные. Умбиликальные перегибы широкоокругленные, неотчетливые, на третьем обороте становятся более резкими. Вентральная сторона вогнута на 1/3 высоты предыдущего оборота. Умбиликус умеренно узкий.

Размеры (мм):

№ экз.	Оборот	Д	В	Ш	Ду	Ду/Д	Ш/В
849/4	1 1/2						
голотип	2	66,0	31,5	43,4	16,0	0,24	1,38
	2 1/3	82.8	40.0	54,5	19,3	0.23	1.36

Скульптура. Сохранившаяся часть второй половины первого оборота раковины до пережима на латеральных сторонах покрыта тонким сетчатым

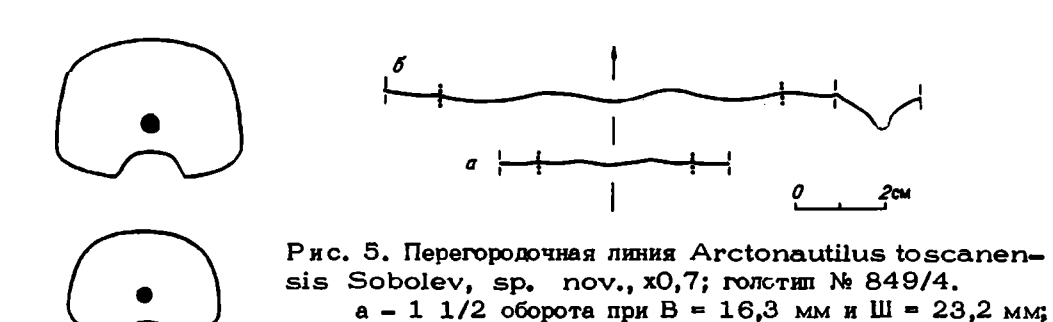


Рис. 4. Поперечное сечение раковины Arctonautilus toscanensis Sobolev, sp. nov., x0,7; голотип № 849/4 (1 1/2; 2 и 2 1/3 оборота). Перечень оборотов идет от начала раковины.

б - 2 оборота при В = 31,5 мм и Ш = 43,4 мм.

рисунком, образованным пересечением продольных и поперечных ребрышек. Последние на вентральной стороне образуют широкий, неглубокий синус. Данная сохранившаяся часть первого оборота является остатком эмбриональной раковины. Выше пережима на латеральных сторонах ядра раковины наблюдаются три коротких поперечных ребра, которые усиливаются с приближением к вентральной стороне. С конца первых полутора и на последующих оборотах раковина гладкая.

Перегородочная линия (рис. 5). В конце первых полутора оборотов перегородочная линия с широкой и неглубокой вентральной лопастью и почти прямая на латеральных сторонах и умбиликальных стенках. В конце второго и начале третьего оборота линия с широкими и неглубокими вентральной и латеральными лопастями, прямая на умбиликальных стенках; дороальная лопасть довольно узкая и глубокая, с глубокой аннулярной лопастью.

Сифо и шпрокий (на втором и третьем оборотах $\Pi_c/B_0 = 0.14-0.15$), в начале второго оборота занимает дорсоцентральное положение ($B_{_{\rm II}}/B_{_{\rm O}} = 0.35$), в конце оборота – центродорсальное ($B_{_{\rm II}}/B_{_{\rm O}} = 0.38$), на третьем обороте – дорсоцентральное ($B_{_{\rm II}}/B_{_{\rm O}} = 0.37$). Детальное строение сифона удалось изучить в пришлифовке начала второй половины второго оборота (экз. 849/5). Сифон сохранился в трех камерах (табл. XX, фиг. 2). В плоскости симметрии раковины перегородочные трубки с вентральной стороны ортохоанитовые, с дорсальной – субортохоанитовые. Соединительные кольца средней длины ($\Pi_{_{\rm II}}/\Pi_{_{\rm II}} = 0.46$), субцилиндрические ($\Pi_{_{\rm II}}/\Pi_{_{\rm II}} = 1.61-1.77$).

Сравнение. От типового вида A. dolganensis Sobolev /Соболев, 1989, табл. 19, фиг. 1; табл. 20, фиг. 1/ из нижнеанизийских отложений севера Средней Сибири и Восточной Якутии отличается более выпуклой
вентральной линией. У сибирского вида перегородочная линия с глубокой языковидной вентральной лопастью. От А. ljubovae (Schastlivtceva) /Соболев, 1989, табл. 21, фиг. 1, 2; табл. 23, фиг. 2, 3/ из нижнеанизийских
отложений севера Средней Сибири отличается более эволютной раковиной с
более отчетливыми вентральными перегибами и слабо дифференцированной перегородочной линией. От близкого по строению перегородочной линии А. migayi Sobolev /Соболев, 1989, табл. 22, фиг. 1; табл. 23, фиг. 1/ из
зоны Сzekanowskites decipiens среднего анизия Восточного Таймыра отличается более эволютной раковиной и округло-трепециевидным попе-

речным сечением взрослых оборотов с более отчетливо дифференцированными вентральной и латеральными сторонами. От A. egorovi Sobolev /Соболев, 1989, табл. 25, фиг. 1; табл. 26, фиг. 1–3/, распространенного в отложениях верхнего анизия севера Средней Сибири и Восточной Якутии, отличается слабо дифференцированной перегородочной линией и более высоким положением сифона. У сибирского вида сифон занимает субдорсальное положение.

Замечания. Близкую с новым видом форму раковины и перегородочную линию имеет Syringonautilus nordenskjöldi (Lindström) /Lindström, 1985, S. 1, Tab. 1, Fig. 1/, известный на архипелаге из отложений верхнеанизийской зоны Frechites laqueatum. Однако A. toscanensis отличается присутствием поперечных ребер на начальных оборотах раковины, которые отчетливо определяют его родовую принадлежность.

Распространение. Средний триас, анизийский ярус архипелага Свальбард.

Материал. 2 экземпляра.

Род Grumantoceras Sobolev, gen. nov.

Название рода от Груманта - поморского названия архипелага Свальбард.

Типовой вид - Grumantoceras korchinskajae Sobolev, sp. nov.; карнийский ярус, зона Halobia zitteli архипелага Свальбард.

Диагноз. Раковина эволютная, дисковидная. Поперечное сечение раковины гексагональное, с крышевидной вентральной стороной. Средняя часть вентральной стороны хорошо обозначена продольным килевидным утолщением. Дорсальная сторона вогнута незначительно. Латеральные стороны несут поперечные ребра. Кроме того, вся поверхность раковины покрыта частыми продольными ребрышками. Перегородочная линия с широкой неглубокой вентральной лопастью, разделенной надвое небольшим седлом, широкими и неглубокими латеральными и умбиликальными лопастями; дорсальная лопасть широкая, довольно глубокая. Анкулярный отросток отсутствует.

Видовой состав. Типовой вид.

Замечания и сравнения. Новый род выделен по единственному фрагменту раковины, на котором достаточно хорошо проявлены оригинальные морфологические признаки. По присутствию хорошо развитой скульптуры, представленной толстыми поперечными ребрами на латеральных сторонах и частыми продольными ребрышками на всей поверхности раковины, а также принимая во внимание широкоэволютную форму раковины, новый род ближе всего стоит к семейству Tainoceratidae. От всех известных родов данного семейства род Grumantoceras отличается гексагональным поперечным сечением оборотов с крышевидной вентральной стороной и отсутствием аннулярного отростка.

Распространение. Карнийский ярус архипелага Свальбард.

Grumantoceras korchinskajae Sobolev, sp. nov.

Табл. XXI, фиг. 1; рис. 6, 7

Название вида в честь палеонтолога М.В. Корчинской.

Голотип. № 849/6. ИГиГ. Остров Шпицберген, бухта Агард, гора Руслагенфьеллет; верхний триас, карнийский ярус, зона Halobia zitteli.

Форма. Судя по имеющемуся в нашем распоряжении обломку фрагмокона, составляющего чуть более трети оборота, раковина достигала крупных размеров (по-видимому, не менее 120 мм в диаметре), была эволютной, дисковидной (рис. 6). По форме слабовогнутой дорсальной стороны можно утверждать, что вентральная сторона предыдущего оборота была относительно

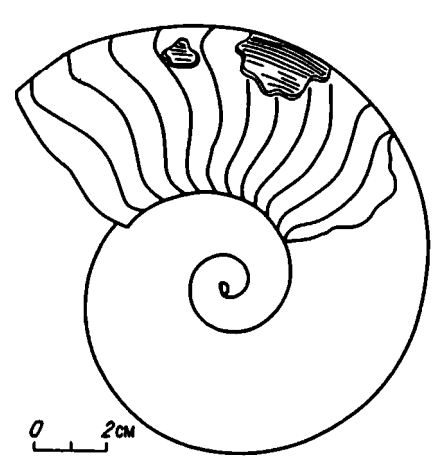
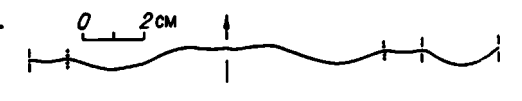


Рис. 6. Реконструкция раковины Grumantoceras korchinskajae, x0,5.

широкой и крышевидной. Поперечное сечение сохранившейся части раковины гексагональное, с широкой крышевидной вентральной стороной (Ш/В = 1,04). Средняя часть
вентральной стороны хорошо обозначена
продольным килевидным утолщением. Умбиликальные стенки уплощенные, косо наклонены к плоскости симметрии раковины. Латеральные стороны слабовыпуклые. Умбиликальные перегибы крутые, округленные,
вентральные широкоокругленные, неотчетливые.

Скульптура. На латеральных сторонах раковины развиты довольно редкие (на ширину раковины приходится четыре ребра) толстые поперечные ребра. Ребра наклонены в сторону навивания раковины, начинаются на умбиликальных перегибах, с приближением к вентральной стороне расширяются и усиливаются. На вентральную сторону ребра не заходят. На сохранившихся участках раковинного слоя наблюдаются частые

Рис. 7. Перегородочная линия Grumantoceras korchinskajae Sobolev, gen. et sp. nov., x0,7; голотип № 849/6, при В = 47 мм и Ш = 49 мм.



продольные ребрышки, которые косо пересекаются более редкими и тонкими зигзагообразными струйками роста (табл. XXI, фиг. 1r). Продольные ребрышки покрывали поверхность предыдущего оборота, о чем можно судить по отпечаткам на дорсальной стороне.

Перегородочная линия (рис. 7). Описана в диагнозе рода.

Сифон не наблюдается.

Распространение. Верхний триас, карнийский ярус, эона Halobia zitteli архипелага Свальбард.

ПОДОТРЯД Liroceratina

Надсемейство Clydonautilaceae Hyatt, 1900

Семейство Clydonautilidae Hyatt, 1900

Род Proclydonautilus Mojsisovics, 1902

Proclydonautilus stantoni Smith

Табл. ХХІ, фиг. 2; рис. 8

Proclydonautilus stantoni: Smith, 1927, p. 103, pl. 85, fig. 6-11; Kummel, 1953, p. 82, pl. 10, fig. 1-6.

Форма. Раковина небольших размеров, инволютная, почти сферическая. Поперечное сечение оборотов близкое к полукруглому. Латеральные стороны выпуклые. Вентральные перегибы широкоокругленные, отчетливые. Вентральная сторона широкая, слабоуплошенная. Умбиликус замкнутый.

Размеры (мм):				
№ экз.	Д	В	Ш	Ш/В
849/7	35,8	22,6	27,2	1,20

Скульптура. На латеральных сторонах ядра раковины наблюдается слабая поперечная моршинистость, образование которой, по-видимому, связаню с пучками поперечных струек роста на раковине.

Перегородочная линия (рис. 8) на внешнем обороте с неглубокой и довольно узкой вентрельной лопастью, асимметричными и глубокими латеральными, широкими и неглубокими умбиликальными лопастями. Седла между умбиликальными и латеральными лопастями незначительно уплощенные; седла между латеральными и вентральной лопастью довольно широкие и округленные. Сифон не известен.

Сравнение. От наиболее близкого вида Pr. triadicus (Mojsiso-vics)/Mojsisovics, 1873, S. 27, Tab. 14, Fig. 1-4/ из отложений зон Trachyceras austriacum — Т. subbullatus Карнийских Альп отличается более широкой раковиной с уплощенной вентральной стороной.

Распространение. Верхний триас, карнийский ярус, зона Tropites dilleri Калифорнии; зона Halobia zitteli архипелага Свальбард. Материал. 1 экземпляр.

Proclydonautilus ex gr. seimkanensis Bytschkov Табл. XX, фиг. 3

Описание. Материалом к описанию послужил единственный отпечаток оборота раковины. По нему был изготовлен слепок, на котором достаточно хорошо отразились специфические морфологические признаки данной формы.

Раковина была довольно крупных размеров, инволютной, дисковидной. Поперечное сечение оборота трапециевидное (табл. XX, фит. 36). Вентральная сторона узкая и уплощенная, отделяется от уплощенных латеральных сторон отчетливыми перегибами. Поверхность оборота покрыта очень частыми тонкими поперечными и более слабыми продольными ребрышками, которые при пересечении образуют характерный сетчатый орнамент. Поперечные ребрышки с приближением к вентральными перегибам отклюняются назад, а на вентральной стороне образуют широкий и неглубокий синус. На расстояние, равное 0,5 см, в средней части вентральной стороны приходится 6 ребрышек.

Замечания и сравнение. Сохранность нашего материала, конечно, не позволяет провести полного определения. Однако по форме поперечного сечения оборота и характеру скульптуры данный экземпляр ближе всего к виду Pr. seimkanensis Bytschkov /Бычков, 1976, с. 90, табл. 53, фиг. 1/ из эон Pterosirenites obručevi и Otapiria ussuriensis норийского яруса Северо-Восточной Азии. От близкого по форме раковины и скульптуре Pr. natosini McLearn/McLearn, 1946, р. 1, pl. 2, fig. 1, 2/ из отложений эоны Himavatites columbianus норийского яруса Британской Колумбии наш экземпляр отличается более узким по-

Рис. 8. Перегородочная линия Proclydonautilus stantoni Smith x1; эка. 849/7, при В = 20 мм и III = 25 мм.



перечным сечением оборота и более тонкими и частыми поперечными ребрыш-ками.

Распространение. Верхний триас, норийский ярус, слои с Pterosirenites архипелага Свальбард.

СПИСОК ЛИТЕРАТУРЫ

- <u>Бычков Ю.М.</u> Класс Cephalopoda // Атлас триасовой фауны и флоры Северо-Востока СССР. М.: Недра, 1976. С. 88-150.
- <u>Клубов Б.А.</u> Геологический очерк острова Эдж // Материалы по геологии Шпицбергена. Л., 1965. С. 71-83.
- Корчинская М.В. Объяснительная записка к стратиграфической схеме мезозоя (триас) Свальбарда. Л.: Севморгеология, 1982. 99 с.
- Соболев Е.С. Триасовые наутилиды Северо-Востока Азии. Новосибирск: Наука. Сиб. отд-ние, 1989. ОО.
- <u>Diener C.</u> Cephalopoda triadica. Fossilium Catologus. I. Animalia. Ps. 8. Berlin, 1915. 369 S.
- Kummel B. American Triassic coiled nautiloids // U.S. Geol. Surv. Prof. Pap. 1953. Vol. 250. P. 1-104.
- Lindström G. Om Trias och Juraförsteningar fram Spetsbergen // Kgl. sven. vetenskapsakad. handl. - 1865. - Bd 6, N 6. - S. 1-20.
- McLearn F.H. Upper Triassic faunas in Halfway, Sikanni Chief, and Prophet River basins, Northeastern British Columbia // Can. Geol. Surv. Prof. Pap. 46-25, Appendix. 1946. P. 1.
- Mojsisovics E. Das Gebirge um Hallstatt. Th. 1. Die Mollusken - Faunen dea Zlambach - und Hallstätter - Schichten// Abn. Geol. Reichsanst. Wien. - 1873-1875. - Bd 6, H. 1, 2. - S. 1-174.
- Mojsisovics E. Die Cephalopoden der mediterranen Triasprovinz // Abh. Geol. Reichsanst. Wien. - 1882. - Bd 10-322 S.
- Mojsisovics E. Arktische Triasfaunen // Mem. Acad. Sci. St-Petersbourg. Ser. 7. 1886. Vol. 33, N 6. S. 1-159.
- Nakazawa K. Two Cephalopod species from the Norian Nariwa group in Okayama Prefecture, West Japan // Japan J. Geol. and Geogr. 1959. Vol. 30. P. 127-133.
- Öberg P. Om trias-försteningar fran Spetsbergen // Kgl. sven. vetenskapsakad. handl. 1877. Bd 14, N 14 S. 1-19.
- Smith J.P. Upper Triassic marine invertebrate faunas of North America // US Geol. Surv. Prof. Pap. 1927. N 141. P. 1-135.
- Tozer E.T., Parker J.R. Notes on the Triassic biostratigraphy of Svalbard // Geological magazine. 1968. Vol. 105, N 6. P. 526-542.
- Weitschat W., Lehmann U. Stratigraphy and ammonoids from the Middle Triassic Botneheia Formation (Daonella Shales) of Spitsbergen / Mitt. Geol. Paläont, Inst. Univ. Hamburg. 1983. H. 53. S. 27-54.

СТРОЕНИЕ И УСЛОВИЯ ФОРМИРОВАНИЯ ВЕРХНЕТРИАСОВОЙ НУТЭКИНСКОЙ ТОЛЩИ (Корякское нагорье)

На Корякском нагорье в последние годы открывается все больше выходов триасовых пород /Аристов и др., 1982; Чехов и др., 1984; Брагин и др., 1986/, раньше относившихся к мелу или верхнему палеозою. Триас представлен здесь разнообразными комплексами пород – карбонатными, терригенными, кремнистыми, вулканогенными и содержит остатки необычных для триасовых отложений Северо-Востока СССР теплолюбивых организмов, включая склерактинии /Бычков, Дагис, 1984/. Описания некоторых окаменелостей этого своеобразного триасового комплекса были опубликованы /Бычков, 1984, 1985; Мельникова, Бычков, 1986/, однако детальной характеристики триасовых толщ и реконструкции условий их формирования до сих пор сделано не было.

В данной статье автор попытался восполнить этот пробел на примере наиболее изученной нутэкинской толши /Бычков, 1984/, распространенной на севере Корякского нагорья, в хр. Кэнкэрэн. Разрез этой толши описан на правом берегу руч. Триасовый, правого притока р. Нутэкин, где толша расчленена на три подтолши. Породы толши наклонены на юго-восток (150-170°) под углом 80-85°. Снизу вверх здесь наблюдается следующий разрез.

Нижненутэкинская подтолща

Мошность, м

Средненутэкинская подтолща

- 3. Туффиты кислые, мелкозернистые, известковистые, серые, с округло-линзовидными карбонатными выделениями толщиной от 1 до 5 см....3
- 4. Аргиллиты известковистые, темно-серые, массивные, иногда с тонкой горизонтальной слоистостью из-за чередования слойков (до 5 мм) серых алевролитов, алевритовых аргиллитов и темно-серых аргиллитов. Нередко аргиллиты кремнистые, с перекристаллизованными скелетами радиолярий. Единичны слои туффитов. Отдельные слои известковистых алевритистых ар-

^{*}Здесь и далее определения двустворчатых и головоногих моллюсков выполнены Ю.М. Бычковым, брахиопод — А.С. Дагисом, кораллов и водорослей — Г.К. Мельниковой, криноидей — В.Г. Кликушиным, строматопороидей — Э.В. Бойко, фораминифер. — Н.И. Караваевой.

- 11. Туффиты кислые, разнозернистые, серые до темно-серых, с линза-ми известняков толщиной до 0,2 м, прослоями аргиллитов и алевролитов..5

- 14. Аргиллиты темно-серые, сланцеватые, более или менее сильно известковые, с прослоями (0,2 м) глинистых известняков. В аргиллитах отмечаются Halobia ex gr. brooksi Smith, H. ex gr. austriaca Мојз., палеотаксодонты, гастроподы. Единичными экземплярами представлены аммоноидеи: тропитиды (Anatropites)и ювавитины (Gonionotites sp., G. cf. gethingi McLearn, Juvavites sp. indet. s. lato), двустворки Chlamys sp., Cassianella cf. kenkerensis Bytschk., Palaeocardita sp. indet., Gryphaea? sp. indet., Costatoria? sp. indet., Unionites sp., Triaphorus sp. indet., наутилоидеи Proclydonautilus sp., брахиоподы: спирифериниды и теребратулиды 6
- 16. Туффиты серые, среднезернистые до крупнозернистых, состоящие из неокатанных таблитчатых зерен плагиоклаза (20-30%), остроугольных зерен и скелетных кристаллов кварца, округленных обломков стекловатых основных, кислых и средних эффузивов. В средней части пласта прослой (7 см) известковистого грубозернистого кварцево-полевошлатового песчаника.. 0.5
 - 17. Аргиллиты темно-серые, известковистые, с редкими остатками

- 18. Известняки серые, тонкозернистые, со значительной послойной примесью песчаного гравийного и глинистого материала, что обусловливает дифференцированное выветривание и отчетливую горизонтальную слоистость...0,5

Верхнен утэкинская подтолща

- 20. Известняки глинистые, серые до темно-серых, с обильными остатками брахиопод и двустворчатых моллюсков, отмечаются членики криноидей, ядра аммоноидей и единичные колонии мшанок (?). Преобладают спирифериниды Spondylospira alia (Hall et Whitf.), много Cassianella kenkerensis Bytschk., Chlamys aff. chegarperahensis Tam.. Pteria Bytschk., Pteria sp. 1, 2. Изредка встречаются Pinpavlovi na aff. lima Boehm, Ochotochlamys aff. polubotkae Bytschk., Chlamys sp., Entolium aff. quotidianum Healey, Eopecten ? sp., Camptonectes aff. triadicus Nak., Halobia ex gr. austriaca Mojs., H. ex gr. obsoleta Kob. et Aoti, Costatoria sp., C. aff. mansuyi Reed, Limatula sp. 1, 2, Plagiostoma sp. 1, 2, P. aff. sichotealinensis Kipar., Longophorus ? sp., Unionites sp., U. ? aff. shastensis Smith, Lopha? sp. indet., Modiolus sp., Megalodontidae ? gen., Cassianella ? sp., Plicatula cf. difficilis Healey, Maoritrigonia beringica Bytschk., Mysidioptera ? sp., Proclydonautilus ex gr. spirolobus Dittm., Germanonautilus ? sp. indet.. Gonionotites sp., G. aff. belli McLearn, G. cf. haugi Gemm., G. cf. gethingi McLearn, Juvavites sp. (s. lato) 0,7

- 24. Тефроиды светло-серые, псаммитовые, крупнообломочные, состоящие из таблитчатых зерен плагиоклаза, остроугольных зерен кварца и угло-

- 25. Алевролиты голубовато— и зеленовато—серые, крупнозернистые, песчанистые, квардево—полевошпатовые, с редкими остатками двустворок Pa—laeocardita sp. и аммоноидей Gonionotites sp. indet. 2
- 27. Алевролиты зеленовато-серые, с прослоями серых тонко-зернистых глинистых известняков, содержащих ядра Palaeocardita? sp. indet. В середине пачки пласт (1 м) светло-серых тефроидов кислого состава. 3
- 29. Алевролиты известковистые, серые, с голубоватым оттенком, кварцево-полевошпатовые, с ядрами Palaeocardita ? sp. indet., Trigonia (Kumatrigonia) cf. nemtinovi Bytschk., Costatoria sp. indet., Ammonites gen. indet. В обломках . известняков, ляющих, возможно, линэу в алевролитах, собраны остатки брахиопод Spondylospira alia (Hall et Whitt.), Orbiculoidea ? sp., IBVCTBOрок Cassianella kenkerensis Bytschk., Pteria cf. pavlovi Bytschk., Maoritrigonia beringica Bytschk., Chlamys aff. chegarperahensis Tam., Ochotochlamys cf. polubotkae Bytschk., Eopecten ? sp. indet., Neopecten aff. oxytomaeformis Bytschk., Plagiostoma? sp., Halobia aff. brooksi Smith, Costatoria? sp. indet., Megalodontidae ? gen., гастропод, аммоноилей Juvavites? sp.
- 30. Известняки серые, крупнозернистые, гравелитистые, с неясной тонкой горизонтальной слоистостью и отдельными слойками (до 8 см) светлосерого известняка. В осыпи обломок известняка со скелетами кораллов Astraeomorpha crassisepta Reuss, A. ex gr. confusa (Winkler) 3
 - 31. Тефроиды кислые, светло-серые, крупнообломочные 2

- 33. Известняки мелкозернистые, темно-серые, глинистые, местами кавернозные, с прослоями (до 8 см) известковистых гравелитов 3
- 34. Аргиллиты и алевролиты серые и темно-серые, иногда известковистые, с прослоями темно-серых тонкозернистых глинистых известняков. Многочисленны окаменелости, среди которых преобладают Gryphaea kenkerensis Eytschk, et Nech, и Palaeocardita sp., много Maoritrigonia beringica Bytschk. Реже отмечаются Ochotochlamys polubotkae Bytschk., Pinna aff. lima Boehm., Neopecten oxytomaeformis Bytschk., Chlamys aff. chegarperahensis Tam., Eopecten? sp., Pteria sp. 1, 2, P. cf. pavlovi Bytschk., Septocardia aff. typica Hall et Whitf., Eumorphotis sp., Enantiostreon? sp., Cassianella sp., C. aff kenkerensis Bytschk., Schafhauetlia sp., Limatula spp., Plagiostoma? sp., Costatoria? sp., Megalodon? sp., Halobia sp. indet., Entolium sp., Modiolus sp., Unionites sp.

Встречаются ядра гастропод, членики криноидей Chladocrinus californicus (Clark), Laevigatocrinus laevicatus (Muenster), Isocrinus ? argenteus Bather, а в прослоях биокластических изкораллов. Редкие наобломки отпечатки скелетов вестняков представлены Proclydonautilus sp. indet., утилоидеи и аммоноидеи Germanonautilus ? sp. indet., Trachyceratidae ? gen., Juvavitinae gen. (в том числе Gonionotites sp.), Cladiscites? sp. indet., Pinacoceras ex gr. metternichi (Hauer), белемноиден Atractites ? sp. indet. брахиоподы

- 42. Известняки серые до темно-серых, на выветрелой поверхности светло-серые, пелитоморфные, обычно с очень тонкой (доли мм – 1-2 мм) горизонтальной слоистостью за счет глинистых прослойков. Отдельные слои (до 10 см) насыщены мелкими члениками криноидей. В 10 м выше подошвы в известняках найдено ядро брахиоподы Spondylospira? sp. indet....15

Наличие среди отложений нутэкинской толши осадков резко контрастирующих фаций делает ее благодатным объектом для фациального анализа. Этому благоприятствует также присутствие в ее составе значительного количества карбонатных пород, для которых Дж. Л. Уилсон /1980/ разработал модель фациальных комплексов, довольно легко применимую, благодаря наличию характерных литологических и биотических признаков, для нашего случая. Нами, в отличие от Дж. Уилсона, анализируется не латеральный ряд фациальных комплексов, а смена фаций по разрезу одной нутэкинской толши, которая в целом образует регрессивный мегацикл со сменой глубоководных отложений мелководными от подошвы к кровле толши.

В депрессионной зоне бассейна (по Дж. Уилсону), которая, по нашему мнению, может принадлежать не только погруженной части континентального склона, но и глубокой части шельфа, выделены два фациальных комплекса.

Наиболее глубоководный кремнисто-глинистый комплекс (нижненутэкинская подтолща) сложен тонкогоризонтальнослоистыми известково-кремнисто-глинистыми осадками с обильными скелетами радиолярий (вплоть до перехода к глинистым радиоляритам). Чередование тончайших глинистых слойков, несколько обогащенных алевритовым и карбонатным материалом, с кремни-сто-глинистыми слойками может быть связано с пульсационным характером осадконакопления гемипелагических илов, наблюдаемым и в современных бассейнах /Мурдмаа, 1979/. В бассейн, возможно, в периоды некоторого кратковременного обмеления, заносились остатки пелагических двустворок раковин галобий, ведших, по-видимому, псевдопланктонный образ жизни. В нем обитали редкие бентосные фораминиферы (из нодозариид, представители которых ныне живут на глубинах до 3000 м).

Второй комплекс, известково-глинистый, представлен известковыми аргиллитами (большая часть средненутэкинской подтолши). Наряду с преобладающим глинистым и известковым материалом в этой фации присутствует и значительная часть мелкоалевритового (10-40 %). Породы чаще массивные, но иногда с тонкой горизонтальной слоистостью. Появление в этом комплексе редких маломощных пластов кислых туффитов и туфопесчаников может быть связано с увеличением скорости подводных течений, но чаще объясняется посторонним (вулканогенным) характером материала. Биота, приуроченная к этой фации, была довольно разнообразна. Соответствующие биотопы благоприятствовали расцвету пелагических двустворок (Halobia), аммоноидей, гастропод, наутилоидей, белемноидей и бентосных двустворок-детритофагов из отряда таксодонтов. Отмечаются остатки радиолярий, очень редких скафопод.

Во внешней части шельфа выделяются четыре фациальных комплекса.

Вероятно, в глубокой части шельфа образовывались пелитоморфные известковые илы (пачка 42). В них отмечается очень тонкая горизонтальная слоистость за счет глинистой примеси. Окаменелости представлены лишь редкими криноидеями. Точное положение этого фациального комплекса неясно. Трудно объяснимо почти полное отсутствие в нем остатков организмов, многочисленных в смежных фациях.

Глинисто-алеврито-известковый фациальный комплекс, широко представленный в разрезе верхненутэкинской подтолши (пачки 20, 25, 27 и др.),
сложен тонкозернистыми глинистыми известняками и известковыми алевролитами массивной текстуры. Он является прекрасным биотопом для многочисленных родов бентосных двустворок, часто толстораковинных. Среди них преобладали сестонофаги (фильтраторы), прикреплявшиеся биссусом или прираставшие к субстрату; иногда весьма обильны по числу особей брахиоподы,
представленные одним родом (Spondylospira), здесь обитали аммоноидеи,
наутилоидеи, криноидеи, немногочисленные гастроподы, встречаются обломки
кораллов и мшанок.

Интересно, что ассоциация двустворчатых моллюсков этого фациального комплекса в родовом и экологическом отношении близка к раннекарний—
ской ассоциации из Доломитовых Алып, названной Ф.Т. Фюрзихом и Дж. Вендтом рифовой. Они относят к этой рифовой ассоциации комплекс, главным образом биссусных и цементирующих форм, включающих Atreta, Cervillia,
Lopha, Pteria, Plicatula, Parallelodon и Terquemia совместно с различными пектинидами и лимидами. Отложения рассматриваемого комплекса и в кэнкэрэнском разрезе триаса пространственно тесно связаны с рифогенными двух последующих фациальных комплексов.

Фация биокластических (органогенно-детритовых) известняков, образовавшияся в пределах передового склона рифа, обычно тесно связана с фацией биогермных (коралловых и водорослевых) известняков. К сожалению, изва плохой обнаженности наблюдать морфологию рифа нигде не представилось возможным, но обломки тех и других известняков встречались в разрезе несколько раз. Биота, связанная с этими фациями, сходна и весьма своеобразна. Преобладают герматипные кораллы (склерактинии), много гидроидных и багряных водорослей, отмечаются известковые губки, криноидеи, сколекодоны, очень редко бентосные двустворки. Доминантами в этом комплексе являются сестонофаги (фильтраторы).

Для отмельной внутренней части шельфа выделен фациальный комплекс косослоистых песчаных и гравийных известняков, песчаников, гравелитов и конгломератов. К нему относятся пачки 22 и 35 из верхненутэкинской подтолщи. Окаменелостей в них не обнаружено. Сравнительно грубообломочный состав отложений, а также косослоистые текстуры указывают на активный гидродинамический режим во время их седиментации, вероятно, в эоне значительного мелководья.

Очевидно, что во время формирования осадков верхненутэкинской подтолщи обстановки осадконакопления довольно часто менялись, котя в целом оставались шельфовыми (в основном, верхней части сублиторали и, вероятно, литорали). Смена обстановок была связана, возможно, с небольшими колебаниями дна моря. В самом конце нутэкинского времени произошло, по-видимому, значительное углубление бассейна, появились фации глубокого шельфа открытого моря.

- Аристов В.А., Брагин Н.Ю., Бялобжеский С.Г. и др. О возрасте вулканогенно-кремнистых формаций Корякского хребта // Докл. АН СССР. -1982.-Т. 265. № 1. - С. 140-143.
- Брагин Н.Ю., Григорьев В.Н., Крылов К.А., Соколов С.Д. Новые находки средне- и верхнетриасовых отложений в Корякском нагорье // Докл. АН СССР. 1986. Т. 290, № 3. С. 681-683.
- Бычков Ю.М. Верхнетриасовые отложения хребта Кэнкэрэн (Корякское нагорье) и фауна моллюсков // Новые данные по детальной биостратиграфии фанерозоя Дальнего Востока. – Владивосток: ДВНЦ АН СССР, 1984.— С. 72-85.
- <u>Бычков Ю.М.</u> Поэднетриасовые моллюски хребта Кэнкэрэн (Корякское нагорье) // Двустворчатые и головоногие моллюски мезоээя Северо-Востока СССР. – Магадан: СВКНИИ ДВНЦ АН СССР, 1985. – С. 5-24.
- Бычков Ю.М., Дагис А.С. Позднетриасовая фауна Корякского нагорья и ее значение для палеогеографических и палеотектонических построений // Стратиграфия, фауна и флора триаса Сибири. М.: Наука, 1984. С. 8-18.
- Мельникова Г.К., Бычков Ю.М. Позднетриасовые склерактинии хребта Кэнкэрэн (Корякское нагорье) // Корреляция пермотриасовых отложений Востока СССР. Владивосток: ДВНЦ АН СССР, 1986. С. 63-81.
- Мурдмаа И.С. Океанские фации // Океанология. Геология океана. Осадкообразование и магматизм океана. - М.: Наука, 1979. - С. 269-306.
- <u>Уилсон Дж. Л.</u> Карбонатные фации в геологической истории. М.: Недра, 1980. 463 с.
- <u>Чехов А.Д., Бычков Ю.М., Левашова С.В., Петров А.Н.</u> Верхний триас в северо-восточной части Корякского нагорья // Тихоокеан. геология, 1984. № 2. С. 62-66.

Л.И. Шешегова

АКРИТАРХИ НИЖНЕТРИАСОВЫХ ОТЛОЖЕНИЙ ВОСТОЧНОГО ТАЙМЫРА

Изученная нами коллекция акритарх происходит из нижнетриасовых отложений м. Цветкова на востоке п-ва Таймыр. Этот разрез был детально исследован в последние годы /Казаков, Дагис, Карагодин, 1982; Казаков, Дагис, Курушин, 1982; Дагис, Казаков, 1984; Дагис, 1986/. В настоящей
статье принята стратиграфическая схема, опубликованная в монографии
А.С. Дагиса и А.М. Казакова /1984/, ими же были собраны образцы, использованные в статье.

Триасовые акритархи до сих пор изучены очень слабо. Они описывались из разрезов юры, мела и лишь единичные акритархи известны из нижнего триаса /Кара-Мурза, 1957/. За рубежом вышел ряд работ, посвященных изучению пермотриасовых акритарх /Jekhowsky, 1961; Jansonius, 1962; Wall, Downie, 1963; Warrington, 1973; Staplin, 1978/.

Распространение акритарх в разрезе нижнего триаса м. Цветкова приведено в таблице. Наиболее характерными и доминирующими являются виды родов Micrhystridium, Veryhachium. Видовой состав и количество экземпляров акритарх меняются от пачки к пачке, но все находки этой груп-

Стратиграфическое распространение акритарх в нижнем триасе Восточного Таймыра

	Нижний отдел							
Зона	Индекий ярус			Оленекский ярус				
Cona				Нижний подъ- ярус		Верхний подъ- ярус		
	Кешинская		Цвет- ково- мыс- ская	Восточно мырская		Ыста- нахская	При- брежнин ская	
Cymatiosphaera								
sp.	1c		1			ļ		
Multipliciphae- ridium deunffii	2c							
Staplinium he- xaeder Micrhystridium	2c							
cf. recurvatum Veryhachium ?	3k							
irregulare V. quadrangu—	3с	3с		2c	2c			
latus Micrhystridium	3с	3с		1c			1 c	
triassicum Baltisphaeridium	31	k						
debilispinum Leiosphaeridia		2c		i				
sp. Veryhachium re-		2c				2c		
ductum Dactylofusa sp. Veryhachium		2c	3c 1c	3с				
triangulatum V. brevispinum			2c	3с	İ		2m	
Leiofusa taimy-			1			1		
rica Micrhystridium				2m			3m	
sitassessitante M. breve	31	c		3k				
Polyedrixium krauselianum				3с				
Tasmanites sp. Pterospermella						2c	3m	
triassica	•	ı	1		ı	ı	2k	

Примечание. 1 - единичные, 2 - немногочисленные, 3 - многочисленные; k - крупные, c - средние, m - мелкие.

пы связаны с глинистыми породами — алевролитами и аргиллитами. Из разреза кешинской свиты выделен следующий комплекс акритарх: Cymatiosphaera sp., Micrhystridium stipulatum, Multiplicisphaeridium deunffii, Veryhachium quadrangulum, V. reburgense, V. reductum. В отложениях, относящихся к цветковомысской свите, акритархи не обнаружены.

Разнообразны акритархи в отложениях восточнотаймырской свиты. Многочисленны Micrhystridium setassesistante, M. breve, Veryhachium brevispinum, Veryhachium? irregulare f. pirula, V. quadrangulum, V. reductum. Единичные Dactylofusa sp., Baltisphaeridium sp., Leiofusa taimyrica.

Для кешинской и восточнотаймырской свит характерно чередование прибрежно-морских, континентальных и лагунных фаций. Слои, из которых выделены акритархи, относятся к прибрежно-морским образованиям /Дагис, Казаков, 1984/ и этим, вероятно, обусловлено их таксономическое разнообразие и обилие экземпляров.

В ыстанахской свите состав акритарх обеднен. Здесь немногочисленны Micrhystridium и единичные Leiosphaeridia и Tasmanites. Встреченные в этой свите микристридии имеют тонкие выросты, что свойственно для планктона участков, удаленных от берега. Последний вывод хорошо согласуется с палеогеографическими построениями, сделанными по другим группам ископаемых и литологическим данным /Дагис, Казаков, 1984/.

Прибрежнинская свита представлена довольно разнообразным комплексом: многочисленные Leiofusa taimyrica, Micrhystridium sp., единичные Pterospermella triassica, причем в начале свиты встречены только Tasmanites sp., в средней части Pterospermella triassica, в верхней - обилие Leiofusa и вновь появляются немногочисленные Veryhachium, V. quadrangulatum f. concava. Возрастание таксономического разнообразия в этой части разреза вновь хорошо увязывается с общим обмелением бассейна в конце раннего триаса.

Большинство описанных видов обнаруживают сходство с раннетриасовыми формами из Британской Колумбии /Jansonius, 1962/. Кроме этого, отмечаются отдельные виды, первоначально установленные в Израиле и Тунисе /Jekhowsky, 1961; Horowitz, 1974/. Последнее позволяет надеяться на то, что акритархи могут иметь вполне реальное стратиграфическое значение.

Изученность акритарх нижнего триаса пока очень слаба и использовать эту группу для установления реальных географических связей пока не представляется возможным.

ОПИСАНИЕ АКРИТАРХ

Группа Acritarcha Evitt, 1963

Род Baltisphaeridium Eisenack, 1958

Baltisphaeridium debilispinum Wall et Downie

Табл. XXIV, фиг. 1

Baltisphaeridium debilispinum: Wall et Downie, 1963, p. 777, tab. 112, fig. 1, 2; Antonescu, 1970, p. 36, tab. XVIII, fig. 14; tab. XIX, fig. 1, 2.

Описание. Тела сферические, толстостенные, диаметром 40-65 мкм, с многочисленными выростами (не менее 40). Длина выростов равна четверти диаметра тела. Выросты тонкие либо прямые, либо слегка изогнутые, расширены у основания.

Сравнение. От сходной по очертаниям В. microspinosum /Dow-

nie, 1959, табл. 10, фиг. 10/ отличается строением выростов, они слегка вздутые у основания описываемых экземпляров и уплощенные у сравниваемых.

Распространение. Великобритания, пермотриас; Восточный Таймыр, нижний триас.

Местонахождение. Обр. T-541, 8 пачка, кешинская свита. Немногочисленный.

Род Cymatiosphaera O'Wetzel, 1933, emend. Deflandre, 1954

Cymatiosphaera sp.

Табл. XXIV, фиг. 17

Описание. Оболочка округлой формы, с темным центральным телом и довольно широкой каймой, разделенной на полигональные поля, у которых окраинная сторона почти прямая. Перегородки тонкие и имеют одинаковую ширину почти по всей длине, некоторые слегка искривлены, что связано с фоссилизацией.

Диаметр центрального тела 51-53 мкм. Ширина каймы 13-15 мкм. Местонахождение. Обр. Т-500, пачка 4, единичные.

Род Dactylofusa Brito et Santos, 1965, emend Combaz, Lange et Pansart, 1967, restr. Gramer, 1970

Dactylofusa sp.

Табл. X.XIV, фиг. 11

Описание. Тела овальных очертаний, на полюсах переходящие в широкие короткие выросты. Поверхность тел покрыта бугорками, расположенными по телу рядами. Плохая сохранность не дает четкого представления о длине выростов. Длина тел 40-42 мкм, длина сохранившихся выростов 10-11 мкм.

Местонахождение. Обр. Т-574, пачка 13, восточнотаймырская свита. Единичные.

Pog Leiofusa Eisenack, 1938

Leiofusa taimyrica sp. nov.

Табл. XXIV, фиг. 13-16

Название по п-ву Таймыр.

Голотип. Табл. XXIV, фиг. 16. Обр. Т-55. Восточный Таймыр, м. Цветкова, нижний триас, оленекский ярус, прибрежнинская свита.

Описание. Тела веретеновидные, с выростами на обоих полюсах. Поверхность тел либо гладкая, либо с очень тонкой складчатостью. Боковые края гладкие. Переход тела в выросты постепенный, поэтому у основания они расширены. Верхушки выростов заострены. Длина тел 29-30 мкм, ширина - 25-27 мкм, длина выростов 37-39 мкм.

Сравнение. От наиболее близкой по очертанию тел - Leiofusa ansa /Шешегова, 1984, с. 49, табл. VI, фиг. 5-8/ отличается скупьптурой тела - она петлевидная у сравниваемых форм и гладкая с тонкими складочка-

При определении количества видов применялась следующая шкала: единичные (1-10 экз. в препарате), немногочисленные (10-20 экз.), многочисленные (более 20 экз.). Описание видов дано в алфавитном порядке.

ми у описываемых. От L. granulacutis /Loeblich, 1969, табл. 18, A-E/ отличается скульптурой поверхности (она бугорчатая у сравниваемых форм) и постепенным переходом в выросты, а не резким как у сравниваемых форм.

Местонахождение. Обр. Т-581, пачка 14, обр. Т-637, пачка 17, восточнотаймырская свита. Немногочисленны. Обр. Т-55, пачка 20, прибрежнинская свита. Многочисленны.

Род Leiosphaeridia Eisenack, 1958

Leiosphaeridia sp.

Табл. XXIV, фиг. 18

Описание. Тела субсферической формы, с гладкой поверхностью и только по краям видны тонкие небольшие складки. Диаметр тел 30-40 мкм.

Местонахождение. Обр. Т-541, пачка 8, кешинская свита. Немно-гочисленны.

<u>Род</u> Micrhystridium Deflandre, 1937, emend. Downie et Sarjeant, 1968

Micrhystridium breve Jansonius

Табл. XXIV. фиг. 4

Micrhystridium breve; Jansonius, 1962, S. 85, Fig. 3-m, Tab. 16, Fig. 62, 63, 66.

Описание. Тела от полигональных до круглых в очертании. Стенки тонкие, выросты короткие, многочисленные, с сильно расширенными основаниями, что создает впечатление треугольных выростов. Верхушки выростов острые. Диаметр тел 20-28 мкм, длина выростов 3-5 мкм, ширина у основания выростов 1,5-2,5 мкм.

Замечание. Описываемые формы почти тождественны канадским экземплярам. От других известных видов рода отличается строением выростов.

Распространение. Западная Канада, нижний триас; Восточный Тай-мыр, нижний триас.

Местонахождение. Обр. Т-580, пачка 14, восточнотаймырская свита. Многочисленны.

Micrhystridium aff. recurvatum Valensi

Табл. ХХШ, фиг. 10.

Описание. Тела сферические, с гладкой скульптурой и редкими, короткими выростами, которые имеют шилоподобную форму. Полость выростов свободно сообщается с полостью тела. Верхушки выростов острые, закрытые. У некоторых экземпляров на поверхности тела видны единичные мелкие тонкие складочки. Обычно у тел 6-8 выростов. Диаметр тел 22-25 мкм, длина выростов 10-15 мкм.

Сравнение. Описываемые экземпляры по очертанию тел, редким выростам близки М. recurvatum Valensi /Sarjeant, 1967, tab. I, fig. 9/. Отличается строением выростов, которые у описываемых экземпляров прямые и значительно расширены у основания.

Местонахождение. Обр. Т-517; пачка 5, кешинская свита. Многочисленны. Micrhystridium setasessitante Jansonius

Табл. XXIV, фиг. 5, 6

Micrhystridium setasessitante: Jansonius, 1962, S. 85, Tab. 16, Fig. 40,41, 50, B Tekcre Fig. 3-d.

Описание. Тела почти сферические с тонкими многочисленными выростами. Стенки тел тонкие. Выросты либо прямые, либо слегка изогнуты, у основания расширены и слегка искривлены. Диаметр тел 20-22 мкм, длина выростов 6-7 мкм.

Сравнение. От близкой по очертаниям и структуре оболочки M. stipulatum /Jansonius, 1962, Fig. 3,a/ отличается более многочисленными выростами, расширенными у верхушки. У сравниваемых экземпляров верхушки выростов острые.

Распространение. Западная Канада, нижний триас.

Местонахождение. Обр. Т-647, пачка 17, восточнотаймырская свита. Многочисленны.

Micrhystridium triassicum Jansonius

Табл. XXIV, фиг. 2, 3

Micrhystridium triassicum: Jansonius, 1962, S. 85, Tab. 16, Fig. 57, B TEKCTE Fig. 3-h.

Описание. Тела сферические, толстостенные, с частыми выростами. Выросты очень меленькие и длина их почти равна ширине, верхушки закруг-лены, основания слегка расширены. Диаметр тел 20-28 мкм, длина выростов 1-2 мкм.

Сравнение. Описываемые формы почти тождественны изображенным автором вида (см. синонимику). От других известных видов резко отличается короткими широкозакругленными выростами.

Распространение. Западная Канада, нижний триас; Восточный Тай-мыр, нижний триас.

Местонахождение. Обр. Т-532, пачка 7, кешинская свита. Много-численны.

<u>Род</u> Multiplicisphaeridium Staplin, 1961, restr. Staplin, Jansonius, Focock, 1965, emend, Eisenack, 1969

Multiplicisphaeridium deunffii Jansonius

Taбл. XXIV, фиг. 10

Multiplicisphaeridium deunffii: Jansonius, 1962, S. 84, Tab. 16, Fig. 51, Fig. 3-c.

Описание. Тела сферические, с тонкой стенкой. Поверхность их покрыта многочисленными прямыми выростами, которые у верхушки дихотомически делятся. Диаметр тел 33-34 мкм, длина выростов первого порядка 6-8 мкм, второго – 1-2 мкм.

Сравнение. От внешне сходной M. palmitella /Gramer, Diez, 1972, tab. 33, fig. 27-30/ отличается строением дихотомирующих выростов; у сравниваемых форм вторичные выросты в виде пальмы, у описываемых их только два.

Распространение. Западная Канада, нижний триас; Восточный Тай-мыр, нижний триас.

Местонахождение. Обр. Т-502, пачка 4, кешинская свита. Немно-гочисленны.

Pog Polyedrixium Deunff, 1954, emend. Deunff, 1971

Polyedrixium krauselianum Schaarschmidt

Табл. ХХИ, фиг. 5, 6

Polyedrixium krauselianum: Schaarschmidt, 1963, S. 65, Tab. 17, Fig. 14a и 14b, Fig. 19 в тексте.

Описание. Тела полигональные, поверхность их расчленена на ячеи крупных размеров. Выросты треугольные, с острыми верхушками. Мелкие выросты на полигональных полях не везде видны. Диаметр тел 35-37 мкм, ширина ячей 15-17 мкм.

Сравнение. Наиболее близкой формой по очертаниям тела является Polyedrixium krauselianum Schaarschmidt (см. синонимику). От других форм отличается строением выростов.

Распространение. Западная Германия, пермь; Восточный Таймыр, нюжний триас.

Местонахождение. Обр. T-581, пачка 14, восточнотаймырская свита. Многочисленны.

Род Pterospermella Eisenack, 1972

Pterospermella triassica sp. nov.

Табл. XXIV. фиг. 19

Название вида по распространению в триасовых отложениях.

Голотип. Табл. XXIV, фиг. 19. Обр. Т-52. Восточный Таймыр, нижний триас, оленекский ярус, прибрежнинская свита.

Описание. Тела субсферической формы, как бы слегка сплющенные с боков. Поверхность внутреннего тела и оторочки почти гладкая, с небольшими моршинками и утлублениями, которые образовались во время фоссилизации. Край ровный. От центрального тела отходят 5-6 складочек, часть которых доходит до края тела, другие только до середины. Лиаметр центрального тела 90-92 мкм, ширина оторочки 35-37 мкм.

Сравнение. От наиболее близкой формы по очертанию тела P. goslarensis /Madler, 1963, tab. 29, fig. 4/ отличается более крупными размерами внутреннего тела по отношению к оторочке.

Местонахождение. Обр. T-52, пачка 20, прибрежнинская свита. Немногочисленны.

Род Staplinium Jansonius, 1962

Staplinium hexaeder Jansonius

Taбл. XXIV, фиг. 9

Staplinium hexaeder: Jansonius, 1962, Tab. 16, Fig. 35-37. Описание. Тела полигональной формы, чаще кубической. Стенки по размерам и строению почти одинаковы, тонкие с зернистой скульптурой. Длина стороны 30-37 мкм.

Замечание. Наиболее близкие по очертаниям формы изображены автором вида на тебл. 16, фиг. 35 (см. синонимику).

Распространение. Западная Канада, нижний триас; Восточный Тай-мыр, нижний триас.

Местонахождение. Обр. Т-500, пачка, кешинская свита. Немного-численны.

Род Tasmanites Newton, 1875

Tasmanites sp.

Табл. XXIV, фиг. 12

Описание. Тела почти сферические, иногда деформированы, по краю видна двойная стенка одинаковой ширины по всему телу. Поверхность тела покрыта многочисленными равномерно расположенными по всему телу порами. Диаметр тел 60-90 мкм.

Местонахождение. Обр. Т-45, пачка 20, прибрежнинская свита. Немногочисленны.

<u>Род</u> Veryhachium Deunff, 1954, emend. Downie et Sarjeant, 1963 Veryhachium brevispinum Horowitz

Табл. ХХШ, фиг. 15-17

Veryhachium brevispinum: Horowitz, 1974, tab. I, fig. 13,14. Описание. Тела субсферические, с тонкой оболочкой и небольшим количеством выростов (обычно 6-8). Выросты конические, короткие, широкие у основания и с тупой верхушкой. Диаметр тел 29-42 мкм, длина выростов 13-20 мкм.

Сравнение. Описываемые экземпляры почти тождественны экземплярам вида автора (см. синонимику). От других видов довольно резко отличаются строением выростов и очертанием тел.

Распространение. Израиль, пермотриас; Восточный Таймыр, нижний триас.

Местонахождение. Обр. Т-574, пачка 14, восточнотаймырская свита. Многочисленны.

Veryhachium? irregulare Jekhowsky

Табл. ХХП. фиг. 7-9, табл. ХХШ. фиг. 11-14

Veryhachium? irregulare: Jekhowsky, 1961, tab. I, fig. 1-9, 13, 18-21.

Описание. Тела субполигональные, имеют 4-6 небольших широких искривленных выростов. Верхушки выростов острые, к основанию немного расширяются. Диаметр тел 28-35 мкм, длина выростов 15-17 мкм.

Сравнение. От наиболее близкой V. reductum /Jekhowsky, 1961, tab. 2, fig. 22-34/ отличается большим количеством выростов.

Замечание. Б. Еховский / Jekhowsky, 1961/, описывая вид, выделил четыре формы: subhexaedron, subtetraedron, irregulare, pirula.

Описываемые нами экземпляры относятся к двум формам: pirula (табл. XXII, фиг. 7-9), у которого более овальное тело и 2-5 выростов расположены от центра ближе к одному полюсу тела, а один вырост – к другому; f. irregulare (табл. XXIII, фиг. 11-14) – с 5-6 выростами расположенными более равномерно по всему телу. Форма irregulare характерна для кешинской свиты, pirula – для восточнотаймырской.

Распространение. Югославия, пермотриас; Восточный Таймыр, нижний триас.

Местонахождение. Обр. Т-517, пачка 5; обр. Т-541, пачка 8, кешинская свита. Многочисленны. Обр. Т-592, пачка 14; обр. Т-637, пачка 17, восточнотаймырская свита. Немногочисленны.

Veryhachium quadrangulatus sp. nov.

Табл. XXII, фиг. 18-20, табл. XXIII. фиг. 1-9

Название от латинского quadrangulatus — четырехугольный. Голотип. Табл. XXIII, фит. I. Обр. Т-541. Восточный Таймыр, м. Цветкова, нижний триас, индский ярус, кешинская свита.

Описание. Тела четырехугольные в очертании, почти без выростов либо с небольшими выростами. Боковые стороны вогнутые или выпуклые. Диаметр тел 35-55 мкм, длина выростов 2-15 мкм. В зависимости от строения различаем несколько разновидностей: 1) f. quadrangulis — четырехугольное тело с чуть оттянутыми углами (табл. XXII, фиг. 18-20); 2) f. сопсача-боковые стороны тел вогнутые, выросты небольшие, широкие у основания и с тупыми верхушками (табл. XXIII, фиг. 1-4); 3) f. сопчежа — тела с выпуклыми сторонами и очень маленькими слегка изогнутыми выростами (табл. XXIII, фиг. 5); 4) геста — тела, по форме близкие прямоугольным, с выростами, длина которых равна половине ширины тел. Ширина выростов на значительном расстоянии одинакова и у верхушки они тупо закруглены.

Сравнение. От наиболее близкой по очертаниям V. quadratum Schaarschmidt описываемые формы отличаются строением выростов и углов. У сравниваемой формы углы широко закруглены и присутствуют большой пятый вырост. От V. nasicum (St. et Will.) Schaarsch. отличается широкими короткими выростами, у сравниваемой формы они утончаются до волосовидных.

Местонахождение. Обр. Т-517, пачка 5, кешинская свита. Многочисленны. Обр. Т-541, пачка 8, кешинская свита. Многочисленны. Обр. Т-592, пачка 14, восточнотаймырская свита. Единичные. Обр. Т-56, пачка 20, прибрежнинская свита. Единичные.

Veryhachium reductum Deunff et Jekhowsky

Табл. ХХІІ, фиг. 3, 4, 13-15

Veryhachium trisulcum Deunff var. reductum: Deunff, 1958, p. 27, tab. 1, fig. 3-8, 10, 16, 22, 23.

Veryhachium reductum Deunff: Jekhowsky, 1961, p. 210, tab. II, fig. 33-40, 41, 43; Antonesku, 1970, p. 36, tab. XVIII, fig. 10,11; Warrington, 1973, p. 116, tab. I, fig. 20,21; Horowitz, p. 78, tab. I, fig. 5-7.
Описание. Тела почти прозрачные, в очертании треугольные, с вы-

Описание. Тела почти прозрачные, в очертании треугольные, с выпуклыми наружу боковыми сторонами, длина которых почти одинакова. Три выроста тонкие, относительно короткие с широко закругленными верхушками и слабо расширенными основаниями, резко переходящими в центральное тело: Диаметр тел 30-35 мкм, длина выростов 10-12 мкм, ширина у основания 1-3 мкм.

Сравнение. Описываемые экземпляры наиболее близки изображенным Horowitz (см. синонимику) из нижнетриасовых отложений юга Израиля. От наиболее близкого V. tzutsii /Horowitz, 1974, tab. I, fig. 9, 10 / отличается симметричной формой тела, у сравниваемых экземпляров одна сторона короче двух других, что создает несколько иную форму в очертании.

Замечание. В своей работе Б. Еховский /Jekhowsky, 1961, р. 210/ у описываемого вида выделяет три формы: trispinosoides, reductum, breve. Выделенные нами формы breve изображены на табл. XXII, фиг. 13-15, формы reductum - на табл. XXII, фиг. 3, 4. Формы breve характерны для кешинской свиты, формы reductum - для восточнотаймырской.

Распространение. Югославия, Африка, пермотриас; Восточный Тай-мыр, нижний триас.

Местонахождение. Обр. Т-541, пачка 8, кешинская свита. Немно-гочисленны. Обр. Т-574, пачка 13; обр. Т-592, пачка 14, восточнотаймырская свита. Многочисленны.

Veryhachium triangulum sp. nov.

Табл. ХХП. фиг. 16, 17

Hазвание от лат. triangulatus - треугольный.

Голотип. Табл. XXII, фиг. 17. Обр. Т-637-II. Восточный Таймыр, нижний триас, оленекский ярус, восточнотаймырская свита.

Описание. Тела треугольных очертаний. Стороны прямые, чаще почти все равны, край четкий, ровный, поверхность гладкая. Выросты отсутствуют. Длина стороны тела 20-25 мкм.

Сравнение. Описываемые нами экземпляры характеризуются отсутствием выростов — этим они четко отличаются от других описанных видов рода.

Местонахождение. Обр. Т-637, пачка 13, восточнотаймырская свита. Немногочисленны.

СПИСОК ЛИТЕРАТУРЫ

- <u>Лагис А.С.</u> Проблемы биостратиграфии триаса Сибири и Дальнего Востока // Биостратиграфия мезозоя Сибири и Дальнего Востока. – Новосибирск: Наука. Сиб. отд-ние, 1986. – С. 3-9.
- Дагис А.С., Казаков А.М. Стратиграфия, литология и цикличность триасовых отложений севера Средней Сибири. Новосибирск: Наука. Сиб. отд-ние, 1984. 176 с.
- Казаков А.М., Дагис А.С., Карогодин Ю.Н. Литостратиграфические подразделения триаса севера Средней Сибири // Био- и литостратиграфия триаса Сибири. М.: Наука, 1982. С. 5–37.
- Казаков А.М., Дагис А.С., Курушин Н. Основные черты палеогеографии триаса севера Средней Сибири // Геология и нефтегазоносность Енисей-Хатангского бассейна. – М., 1982. – С. 54-75.
- Кара-Мурза Е.Н. Hystrichosphaeridia верхнего мела триаса Советской Арктики // Всесоюзный научно-исследовательский Институт геологии Арктики: Сб. статей по палеонтологии и биостратиграфии. 1957.- № 4. С. 64-69.
- <u>Шешегова Л.И.</u> Акритархи силура севера Сибирской платформы. Новосибирск: Наука. Сиб. отд-ние, 1984. - 173 с.
- Antonesku E. Etude de la Microflore de l'Anisien de la Valée du Cristian (Brasov). // Mém. Inst. Geol. Bucarest. 1970. -- Vol. XIII. P. 1-46.
- Cramer F.H., Diez M. North American Silurian Palynofacies and their spatial Arrangement: Acritarchs // Palaeontographica. 1972. Abt. B, vol. 138. P. 107-180.
- <u>Downie C.</u> Hystrichospheres from the Silurian Wenlock Shale of England // Palaeontol. 1959. Vol. 2. P. 56-71.
- Eisenack A. Kritische Bemerkung zur Gattung Pterospermopsis (Chlorophyta, Prasinophyceae) // N. J. Geol. Paleont. Mnh. 1972. Vol. 10. P. 596-601.
- Eshet Y., Cousminer H. Palynozonation and correlation of the

- Permo-Triassic succession in the Negen, Israel // Micro-paleontol. 1986. Vol. 32, N 3. P. 193-214.
- Horowitz A. Especes du genre Veryhachium du permo-trias du Sud d'Israel. // Rev. Micropaleontol. 1974. Vol. 17, N 2. P. 75-80.
- Jansonius J. Palynology of Permian and Triassic sediments
 Peace River Area, Western Canada // Paleontographica. 1962. Bd 110, Lf. 1-4. S. 35-98.
- <u>Jekhowsky B.</u> Sur quelques Hystrichospheres permo-triassiques d'Europe et d'Afrique. // Rev. Micropaleontol. 1961. Vol. 3, N 4. P. 207-213.
- <u>Jersey N.J.</u> Palynology of the Permian-Triassic transition in the Western Bowen Basin // Rep. Geol. Surv. Queensland. 1979. Pb. 374. Paleontol. pap. 46. 39 p.
- Loeblich A.R. Morphology, ultrastructure and distribution of Paleozoic Acritarchs // North Amer. Paleontol. Convention, Chicago. Proc. Fart. G. 1969. P. 705-788.
- Madler K. Die figurierten organischen Bestandteile der Posidonienschiefer // Beih. Geol. Jb. 1963. Vol. 58. P. 287-406.
- Sarjeant W.A.S. Observations on the Acritarch genus Micrhystridium (Deflandre) // Rev. Micropaleontol. 1967. Vol. 9.- P. 201-208.
- Schaarschmidt F. Sporen und Hystrichosphaerideen aus dem Zechstein von Budingen in der Wetterau // Paleontographica. 1963. Bd 113, Lf. 1-4. S. 38-91.
- Staplin F.L. Triassic microplancton, Sverdrup Basin, Arctic Canada // J. Palynol. 1978. Vol. 14, N 1. P. 1-11.
- Wall D., Downie Ch. Permian hystrichospheres from Britain. || Paleontol. 1963. Vol. 5, N 4. P. 770-784.
- Warrington G. Micspores of Triassic age and organicwalled microplancton from the Auchennew Beds, south-east Arran// Scott. J. Geol. 1973. Vol. 9, N 2. P. 109-116.

Таблица I

- Фиг. 1. 2. Amplexocarinia muralis Soschk.
 - 1 экз. 818/35, к6: а поперечное, б продольное сечения; 2 -
- экз. 818/59, х4: а-в поперечные сечения зрелой, средней и ранней стадий.
- фиг. 3, 4, 6. Paralleynia permiana Soschk.
 - 3 экз. 818/64, х4: а, б поперечные сечения эрелой и средней стадий, в продольное сечение; 4 экз. 818/16, х6: а поперечное, б продольное сечения; 6 экз. 818/8, х6: а-в поперечные сечения эрелой, средней и ранней стадий, г продольное сечение.
- Фиг. 5. Sassendalia bashkirica sp. nov. Экз. 818/19, x6: a - поперечное, б - продольное сечения.

Таблица II

- Фиг. 1. Euryphyllum minor Fontaine.
 - Экэ. 818/31, х4: е-в поперечные сечения эрелой, средней и ранней стадий, г-д продольные сечения.
- Фиг. 2-4. Groenlandophyllum teicherti Flügel.
 - 2 экз. 818/47, х4: а-в поперечные сечения зрелой, средней и ранней стадий, г - продольное сечение; 3 - экз. 818/2, х4: а, б - поперечные сечения зрелой и средней стадий; 4 - экз. 818/14, х4: а-в - поперечные сечения зрелой, средней и ранней стадий, г - продольное сечение.

Таблица III

- Фиг. 1. Calophyllum profundum (Germar in Geinitz).
 - Экз. 818/6. Поперечные сечения: а геронтической стадии, х4, б средней стадии, х6, в продольное сечение, х6.
- Фиг. 2, 3. Groenlandophyllum variabile (Soshk.).
 - 2 экз. 818/34, x6: а поперечное сечение зрелой стадии, б продольное сечение; 3 экз. 818/20: а поперечное сечение геронтической стадии, x6, б продольное сечение, x4.

Таблица IV

- Фиг. 1. Pentaphyllum hexaseptatum (Soschk.).
 - Экз. 818/66, х6: а, 6 поперечные сечения геронтической и эрелой стедий.
- Фиг. 2-5. Groenlandophyllum variabile (Soshk.).
 - 2 экз. 818/17, х4: а, б поперечные сечения средней и ранней стадий; 3 экз. 818/11, х4: поперечное сечение; 4 экз. 818/36, х4: поперечные сечения средней стадии; 5 экз. 818/54, х6: поперечное сечение геронтической стадии.
- Фиг. 6. Euryphyllum minor Fontaine.
 - Экз. 818/60: структура септальной склеренхимы в поперечном сечении, х10.

Таблица V

- Фиг. 1, 3. "Gerthia" sp.
 - 1 экз. 818/13: а, б поперечные сечения эрелой и средней стадий, ж6, в продольное сечение, х4; 3 экз. 818/29: а, б поперечные сечения эрелой
 - и ранней стадий, х6, в продольное сечение, х4.
- Фиг. 2. Calophyllum profundum (Germar in Geinitz).
 - Экз. 818/56: а поперечное сечение, х6, б продольное сечение, х4.

11 3ar. 530 153

Фиг. 1, 2. Calophyllum profundum, (Germar in Geinitz).
1 - экз. 818/38, х4: а и б - поперечное, в - продольное сечения; 2 - экз. 818/9, х4: а - поперечное и б - продольное сечения.

Фиг. 3. Paralleynia permiana Soschk.

Экз. 818/58, x4: а, б, в — поперечное сечение зрелой, средней и ранней стадий, r — продольное сечение.

Таблица VII

Euflemingites aff. romunduri Tozer.

Экз. 872/101. Западное Верхоянье, бассейн р. Нуора, руч. Кельтер; оленекский ярус, нижний подъярус, зона hedenstroemi, подзона kolymensis.

Таблица <u>VII</u>I

Фиг. 1. Meekoceras gracilitatis White.

Экз. 872/102. Нижнее течение р. Оленек, бассейн р. Буур, рч. Кыра-Хос-Терюттээх; оленекский ярус, нижний подъярус, эона hedenstroemi, подэона koly-mensis.

Фиг. 2, 3. Juvenites aff. septentrionalis Smith

2 - экз. 872/103, 3 - экз. 872/104, x 2; местонахождение и возраст те же.

Таблица LX

Фиг. 1-11. Peribositria mimer (Oeberg).

1 — экз. 853/8, х2; певая створка; архипелаг Свальбард, Сассен-фьорд (сборы М.В. Корчинской); оленекский ярус, эона Arctoceras blomstrandi; 2 — экз. 853/3: левая створка; 3 — экз. 853/2: правая створка; 4 — экз. 853/2: целая раковина с раскрытыми створками; 5 — экз. 853/8: целая раковина с раскрытыми створками; 5 — экз. 853/8: целая раковина с раскрытыми створками; 6 — экз. 853/5: левая створка; Верхоянский хребет, бассейн р. Барайы, руч. Мол; оленекский ярус, эона hedenstroemi, подэона kolymensis; 7 — экз. 753/8960; № 753/8962, х2; правые створки; 8 — экз. 753/8960a, х1,5: скопление створок; побережье Оленекского залива моря Лаптевых, пос. Ысланнах-Хочо; возраст тот же; 9 — экз. 753/8961, х2,5: правая створка; дельта р. Лены, Оленекская протока, руч. Нуучча-Юрэгэ; возраст тот же; 10 — экз. 753/8963, х3: правая створка; низовья р. Оленек, бассейн р. Буур, рч. Кыра-Хос-Терюттээх; возраст тот же; 11 — экз. 853/8а: правая створка; хр. Орулган, верховья р. Леписке, руч. Бырахтадья; оленекский ярус, зона tardus.

Фиг. 12-14. Peribositria backlundi (Wittenburg).

12 — экс. 853/16: левая створка; хр. Кулар, бассейн р. Омолой, верховья р. Кюегюллюр; оленекский ярус, эона hedenstroemi;13 — экс. 853/11: правая створка; 14 — экс. 853/17: правая створка; верховья р. Томпо, рч. Сосукчан (сборы А.Е. Соболева); возраст тот же.

<u>Та</u>блица X

Фиг. 1-9. Peribositria tenuissima (Böhm).

1 — экз. 853/26а, х2: правая створка; архипелат Свальбард, Сассен-фьорд (сборы М.В. Корчинской); зона Arctoceras blomstrandi; 2— экз. 853/19: левая створка; 3— экз. 853/23: левая створка; 4— экз. 853/18: левая створка; 5— экз. 853/21: правая створка; 6— экз. 853/20: правая створка; 7— экз. 853/22: правая створка; верховья р. Барайы, руч. Мол; оленекский ярус, зона hedenstro— еті, подзона kolymensis; 8— экз. 753/5965, х2: скопление створок; низовья р. Оленек, бассейн р. Буур, рч. Кыра—Хос-Терюттээх; возраст тот же; 9—

экз. 753/26: скопление створок; хр. Орулган, верховья р. Леписке, руч. Бырахтадья; оленекский ярус, зона tardus.

Фиг. 10-16. Peribositria popowi (Bytschkov).

10 — экз. 853/27а: правая створка; 11 — экз. 853/276: левая створка с примакушечными крурами и мускульным отпечатком; бассейн р. Тумары, верховья р. Нуоры; оленекский ярус, зона hedenstroemi, подзона kolymensis; 12 — экз. 853/31:
правая створка; 13 — экз. 853/316, х3: правая створка с мускульным отпечатком
и примакушечными крурами; верховья р. Томпо, руч. Лекеер; возраст тот же; 14 —
экз. 853/28а: правая створка; 15 — экз. 853/286: левая створка; низовья р. Оленек, бассейн р. Буур, рч. Улахан-Хос-Терюттээх; возраст тот же; 16 — экз. 853/
29а; правая створка; хр. Орулган, верховья р. Леписке, руч. Бырахталья; оленекский
ярус, зона tardus.

Фиг. 17-19. Peribositria sossunovi (Bytschkov et Efimova).

17 -экэ. 853/35: левая створка; верховья р. Барайы, руч. Мол; оленекский ярус, зона hedenstroemi, подзона kolymensis; 18 - экэ. 853/34а: скопление створок; верховья р. Томпо, руч. Дадойо; возраст тот же; 19 - экэ. 853/36а, левая створка; хр. Орулган; верховья р. Леписке, руч. Бырыхтадья; оленекский ярус, зона tardus.

Таблица XI

- Фиг. 1. Peribositria sibirica (Kurushin).
- 1 голотип № 753/9309, x1,4: левая створка; побережье Оленекского залива моря Лаптевых, пос. Ыстаннах-Хочо; оленекский ярус, зона spiniplicatus.
- Фиг. 2, 3. Peribositria taimyrensis (Kurushin).
 - 2 голотип № 753/9512, х3: целая раковина с раскрытыми створками; Восточный Таймыр, м. Цветкова; анизийский ярус, зона Gymnotoceras rotelliforme; 3 экз. 853/51, х2: целая раковина с раскрытыми створками; Новосибирские острова, о. Котельный, лагуна Станции; анизийский ярус, зона Frechites nevadanus.
- Фиг. 4-10. Peribositria jakutica Kurushin et Truschelev, sp. nov.
 - . 4 голотип № 853/37, правая створка; 5 экз. 853/38а: скопление створок; 6 экз. 853/40: скопление створок; 7 экз. 853/39а: левая створка; 8 экз. 853/40а: целая раковина, вид с замочного края; верховья р. Томпо, руч. Лекеер; оленекский ярус, зона hedenstroemi, подзона kolymensis; 9 экз. 853/41a, х2: правая створка с ушками; бассейн р. Менкере, низовья р. Сынча; возраст тот же; 10 экз. 853/416, х2: левая створка с ушками; бассейн р. Тумары, верховья р. Нуоры; возраст тот же.

Таблица XII

- Фиг. 1, 2. Peribositria borealis Kurushin et Truschelev, sp. nov.
 - 1 голотип № 853/42: правая створка; 2 экз. 853/44: скопление створок. Верховья р. Томпо, руч. Дадойо; оленекский ярус, зона hedenstroemi, подзона kolymensis.
- Фиг. 3-6. Peribositria tompoensis Kurushin et Truschelev, sp. nov.
 - 3 голотип № 853/49: целая раковина, вид с левой створки; 4 экз. 853/48: целая раковина, вид с правой створки; 5 экз. 853/48а: целая раковина; 6 экз. 853/50: скопление створок. Верховья р. Томпо, руч. Дадойо; оленекский ярус, зона hedenstoemi, подзона kolymensis.
- Фиг. 7-9. Peribositria inflata Kurushin et Truschelev, sp. nov.
 - 7 голотип № 853/33: левая створка; 8 экз. 853/32: скопление створок; 9 вид створки сбоку (тот же экземпляр), х2. Верховья р. Томпо, руч. Дадойо; оленекский ярус, зона hedenstroemi, подзона kolymensis.

Таблица XIII

Фиг. 1-4. Bajarunia alexandri Dagys, sp. nov.

1 - голотип № 766/303; 2 - экз. 766/305; 3 - экз. 766/308; 4 - экз. 766/307. Юго-Восточный Таймыр, возвышенность Киряка-Тас; оленекский ярус, зона euomphala.

Таблица XIV

- Фиг. 1. Bajarunia alexandri Dagys, sp. nov.
 - Экз. 766/310, Юго-Восточный Таймыр, возвышенность Киряка-Тас; оленекский ярус, эона euomphala.
- Фиг. 2-5. Bajarunia ? taimyrensis Dagys, sp. nov.
 - 2 голотип № 766/299; 3 экз. 766/300; 4 экз. 766/301; 5 то же, х2. Юго-Восточный Таймыр, возвышенность Киряка-Тас, оленекский ярус, зона ецотрава.

Таблица XV

- Фиг. 1-3. Promytilus borealis Kurushin, sp. nov.
 - 1 голотип № 766/313, х2: левая створка; 2 экз. 766/315, х2: правая створка; 3 экз. 766/318, х2: левая створка. Восточный Таймыр, возвышенность Тулай-Киряка, бассейн р. Хутуда-Яму; оленекский ярус, зона euomphala.
- Фиг. 4. Myalina vinogradovi Kurushin, sp. nov. 4 голотип № 766/322: левая створка, Восточный Таймыр, возвышенность Тулай-Киряка, бассейн р. Хутуда-Яму; оленекский ярус, верхняя часть верхнего
 - Тулай-Киряка, бассейн р. Хутуда-Яму; оленекский ярус, верхняя часть верхнего подъяруса.
- Фиг. 5-7. Bakevellia (Maizuria) subarctica Kurushin, sp. nov.
 - 5 голотип № 766/326: левая створка; 6 экз. 766/328: правая створка; 7 экз. 766/329: правая створка. Восточный Таймыр, возвышенность Тулай-Киря-ка, бассейн р. Хутуда-Яму; оленекский ярус, зона euomphala.
- Фиг. 8-11. Bakevellia (Maizuria) czeljuskini Kurushir, sp. nov.
 - 8 голотип № 766/334; целая раковина, вид с левой створки; 9 экз. 766/339, х2: левая створка; 10 экз. 766/340: целая раковина, вид с правой створки; 11 экз. 766/338: целая раковина, вид с левой створки. Восточный Таймыр, возвышенность Тулай-Киряка, бассейн р. Хутуда-Яму, анизийский ярус.
- Фиг. 12-16. Megadesmus gromovi Kurushin, sp. nov.
 - 12 голотип № 766/342: целая раковина, вид с правой створки; 13 экэ. 766/347: целая раковина, вид с правой створки; 14 экэ. 766/348: целая раковина, вид с правой створки, 15 экэ. 766/344: целая раковина, вид с правой створки, Восточный Таймыр, возвышенность Киряка-Тас (сборы Ю.В. Богомолова); оленекский ярус, зона ецотрава; 16 экэ. 766/341: целая раковина, вид с правой створки, Восточный Таймыр, возвышенность Тулай-Киряка, бассейн р. Хутуда-Яму, возраст тот же.

Таблица XVI

Фиг. 1-7, 14, 17. Arites vulgaris Kozur.

- 1 левая МІ, с латеральной стороны, х40; 2 правая МІ, с латеральной стороны, х33; 3 фрагмент левой МІ, с латеральной стороны, х33; 4 фрагмент правой МІ, с латеральной стороны, х33; 5—7 фрагмент левой МІ, с латеральной стороны (5, 7 х43; 6 х40); 14 фрагмент левой МІ, с четко обособленным килем, вдоль киля проходит трешина, х366; 17 часть верхнего зуба (клыка) левой МІ, с четко обособленным килем, вдоль киля проходит трешина, х366. Шпицберген, обн. 1/101, средний триас, нюжний ладин.
- Фиг. 8, 9. Arites sibiricus sp. nov.

Голотип: 8 - правая МІ, с латеральной стороны, х43; 9 - правая МІ, с латеральной стороны, х61. Побережье Оленекского залива моря Лаптевых, пос. Ыстаннах-Хочо, обн. 14, сл. 11; нижний триас, оленекский ярус, эона hedenstroemi. Фиг. 10. Sciotoprion sp.

Правая МІ, х33. Север Тимано-Печорской провинции, скв. Мядловейяхская-3, обр. 132, инт. 3292,5-3307,3 м; верхний девон, фамен, мурзакаевский горизонт.

- Фиг. 11, 12, 16. Nereis virens Sars.
 - 11 левая Мі, с латеральной стороны, х16; 12 правая МІ, с латеральной стороны, х16; 16 фрагмент средней части Мі, правой с латеральной стороны, с хорошо выраженным продольным килем и дентальным рядом, х60. Белое море, м. Картеш, Беломорская биологическая станция ЗИН АН СССР, литораль бухты Медвежья; современный.
- Фиг. 13. Glycera capitata Oerst.

Левая МІ, х33. Баренцево море, сборы ЭНПИМ "Андрей Первозванный", 1900, экз. 218/12824-12846. Коллекция ЗИН АН СССР, современный.

Фиг. 15. Kettnerites aspersus (Hinde).

Фрагмент левой МІ с латеральной стороны с хорошо выраженным продольным килем, x122, Сибирская платформа, р. Мойеро, сл. 77/24; лландовери, хаастырский горизонт.

Таблица XVII

Фиг. 1-3, 5, 6. Arites vulgaris Kozur.

Фрагменты левых МІ, с латеральной стороны: 1, 2 — под разрушенным первым плотным кутикулярным слоем находится столбчатая структура второго слоя (1 — х366, 2 — х430): 3 — третий столбчатый слой идентичный такому слою у современной полихеты Nereis virens Sars (см. фиг. 4 на этой таблице), х700, 5 — под разрушенным первым плотным слоем кутикулы видны столбчатые структуры и вертикальные поры, х833, 6 — столбчатые структуры и система пор, х1666, Шпицберген, обн. 1/101, средний триас, ладин.

Фиг. 4. Nereis virens Sars.

Фрагмент правой МІ, столбчатая структура и система пор, х1100; Белое море, м. Картеш, Беломорская биологическая станция, литораль бухты Медвежья, современный.

Таблица XVIII

- Фиг. 1-3. Neospathodus svalbardensis Trammer.
 - 1 экз. 578—320, вид сбоку, х55, южное побережье Ван-Кейли-фьорда, м. Альстронд; 2 экз. 578—321, вид сбоку, х61; 3 экз. 578—322, вид сбоку, х 52, южное побережье Сассен-фьорда, р. Лузитания.
- Фиг. 4, 6. Neospathodus dieneri Sweet.
 - 4 экз. 578-323, вид. сбоку, x83; 5 экз. 578-324, вид сбоку, x61, южное побережье Сассен-фьорда, р. Лузитания.
- Фиг. 5. Neogondolella carinata (Clark).
 - 5 экз. 578—325, вид снизу, х48; 5а экз. 578—326, вид сбоку сверху, х43, кжное побережье Сассен-фьорда, р. Лузитания.
- Фиг. 7, 8. Neogondolella sweeti sp. nov.
 - 7 голотип № 578-327, вид сверху сбоку, х52; 8 экэ. 578-328, вид сбоку, х67, южное побережье Сассен-фьорда, р. Лузитания.
- Фиг. 9, 17. Neogondolella transita (Kozur et Mostler).
 - 9 экз. 578-329, вид сбоку, х67; 17 экз. 578-330, вид сбоку, х37, южное побережье Сассен-фьорда, г. Ботнехейа.
- Фиг. 10, 11. Neogondolella spitzbergensis sp. nov.
 - 10 экз. 578-331, вид сбоку, х33; 11 экз. 578-332, вид сбоку, х30, южное побережье Сассен-фьорда, г. Ботнехейа.
- Фиг. 12-16, 18, 19. Neogondolella longa Budurov et Stefanov.
 - 12 экз. 578-333, вид сбоку, х33; 13 экз. 578-334, вид сбоку, х61; 14 экз. 578-335, вид сбоку, х67; 15 экз. 578-336, вид сбоку, х61; 16 экз. 578-337, вид сбоку, х48; 18 экз. 578-338, вид снизу сбоку, х33; 19 экз. 578-339, вид сбоку, х72, южное побережье Сассен-фьорда, г. Ботнехейа.

Таблица XIX

- Фиг. 1. Germanonautilus sp. I.
 - Экз. 849/1: а фрагмент вентральной стороны жилой камеры, б часть фрагмокона; Восточное побережье о. Шпицберген, бухта Уиче; карнийский ярус, зона Halobia zitteli.
- Фиг. 2. Germanonautilus sp. II.
 - Экз. 849/3: а вид сбоку, б с вентральной стороны, в начальная часть полуоборота (видны бугорки вдоль вентральных перегибов); о. Надежда, гора Лин-гефьеллет; норийский ярус, слои с Pterosirenites.
- Фиг. 3. Germanonautilus ? sp.
 - Экз. 849/2: а вид сбоку, б и в с вентральной стороны; о. Эдж, мыс. Хеглина (сборы В.А. Клубова, 1962), карнийский ярус, зона Halobia zitteli.

Таблица XX

- Фиг. 1, 2. Arctonautilus toscanensis Sobolev, sp. nov.
 - 1 голотип № 849/4: а вид сбоку, б с устья, в с вентральной стороны, г начальные обороты (отчетливо видны поперечные ребра); 2 экз. 849/5, пришпифовка фрагмента раковины (1, 5 оборота): а нат. вел., б рисунок, х1,2. Западное побережье о. Шпицберген, южное побережье Ван-Кейлен-фьорда, м. Тоскана; анизийский ярус.
- Фиг. 3. Proclydonautilus ex gr. seimkanensis Bytschkov.
 - Экз. 849/8: а вид сбоку (слепок с отпечатка оборота раковины); б зарисовка поперечного сечения оборота, хО,8; о. Надежда, гора Лингефьеллет; норийский ярус, слои с Pterosirenites.

Таблица Х.Х.І

- Фиг. 1. Grumantoceras korchinskajae Sobolev, sp. nov.
 - Голотип № 849/6, вид: а сбоку, б с устья, в с вентральной стороны, г скульптура, х3; Восточное побережье о. Шпицберген, бухта Агард, гора Русла-генфьеллет; карнийский ярус, эона Halobia zitteli.
- Фиг. 2. Proclydonautilus stantoni Smith.
 - Экэ. 849/7, вид: а обоку, б с устъя, в с вентральной стороны; о. Эдж, м. Хеглина (сборы В.А. Клубова, 1962); карнийский ярус, эона Halobia zitteli.

Таблица XXII

Все образцы взяты из нижнетриасовых отложений Восточного Таймыра, м. Цветкова, х1000.

- Фиг. 1, 2. Veryhachium reburgense Brosius et Britterli.
- Преп. T-517, пачка 5, кешинская свита. Фиг. 3, 4. Veryhachium reductum Deunff et Jekhowsky.
 - 3 преп. Т-574, пачка 13, восточнотаймырская свита; 4 преп. Т-592, пачка 14, восточнотаймырская свита.
- Фиг. 5, 6. Polyedrixium krauselianum Schaarschmidt.

Преп. Т-581, пачка 14, восточнотаймырская свита.

- Фиг. 7-9. Veryhachium ? irregulare f. pirula Jekhowsky.
 - 7, 9 преп. Т-592, пачка 14, восточнотаймырская свита; 8 преп. Т-637, пачка 17, восточнотаймырская свита.
- Фиг. 10-12. Veryhachium reductum f. reductum Jekhowsky.
 - 10 преп. Т-541, пачка 8, кешинская свита; 11, 12 преп. Т-592, пачка 14, восточнотаймырская свита.
- Фиг. 13-15. Veryhachium reductum f. breve Jekhowsky.
 - 13 преп. Т-516, пачка 5, кешинская свита; 14, 15 преп. Т-592, пач-ка 14, восточнотаймырская свита.

- фиг. 16, 17. Veryhachium triangulatum sp. nov. Преп. Т-637, пачка 17, восточнотаймырская свита.
- Фиг. 18-20. Veryhachium quadrangulatum sp. nov.
 - 18, 20 преп. Т-541, пачка 8, кешинская свита; 19 преп. Т-517, пач-ка 5, кешинская свита.

Таблица XXIII

- Фиг. 1-4. Veryhachium quadrangulatum f. concava sp. sf. nov. Преп. Т-541, пачка 5, кешинская свита.
- Фиг. 5. Veryhachium quadrangulatum f. convexa sp. sf. nov. Преп. Т-56, пачка 20, прибрежнинская свита.
- Фиг. 6-9. Veryhachium quadrangulatum f. recta sp. sf. nov. 6 делящиеся формы, преп. Т-592, пачка 14, восточнотаймырская свита; 7-9 преп. Т-517, пачка 5, кешинская свита.
- Фиг. 10. Micrhystridium aff. recurvatum Valensi. Преп. T-517, пачка 5, кешинская свита.
- Фиг. 11-14. Veryhachium irregulare f. irregulare Jekhowsky.
 11, 14 преп. Т-517, 12, 13 преп. Т-541. Пачка 8, кешинская свита.
- Фиг. 15-17. Veryhachium brevispinum Horowitz. Преп. Т-574, пачка 13, восточнотаймырская свита.
- Фиг. 18. Veryhachium sp. Преп. T-532, пачка 7, кешинская свита.

Таблица XXIV

Фиг. 8. Leiofusa sp.

- Фиг. 1. Baltisphaeridium debilispinum Wall et Downie. Преп. Т-541, пачка 8, кешинская свита.
- Фиг. 2, 3. Micrhystridium triassicum Jansonius. Преп. Т-532, пачка 7, кешинская свита.
- Фиг. 4. Micrhystridium breve Jansonius.
 Преп. Т-580, пачка 14, восточнотаймырская свита.
- Фиг. 5, 6. Micrhystridium setasessitante Jansonius. Преп. Т-647, пачка 17, восточнотаймырская свита.
- Фиг. 7. Baltisphaeridium sp. Преп. Т-580, пачка 14, восточнотаймырская свита.
- Преп. T-637, пачка 17, восточнотаймырская свита. Фиг. 9. Staplinium hexaeder Jansonius.
- Фиг. 9. Staplinium hexaeder Jansonius. Преп. Т-500, пачка 4, кешинская свита.
- Фиг. 10. Multiplicisphaeridium deunffii Jansonius. Преп. Т-502, пачка 4, кешинская свита.
- Фиг. 11. Dactylofusa sp.

Преп. Т-574, пачка 13, восточнотаймырская свита.

Фиг. 12. Tasmanites sp.

брежнинская свита.

Преп. Т-45, пачка 20, прибрежнинская свита.

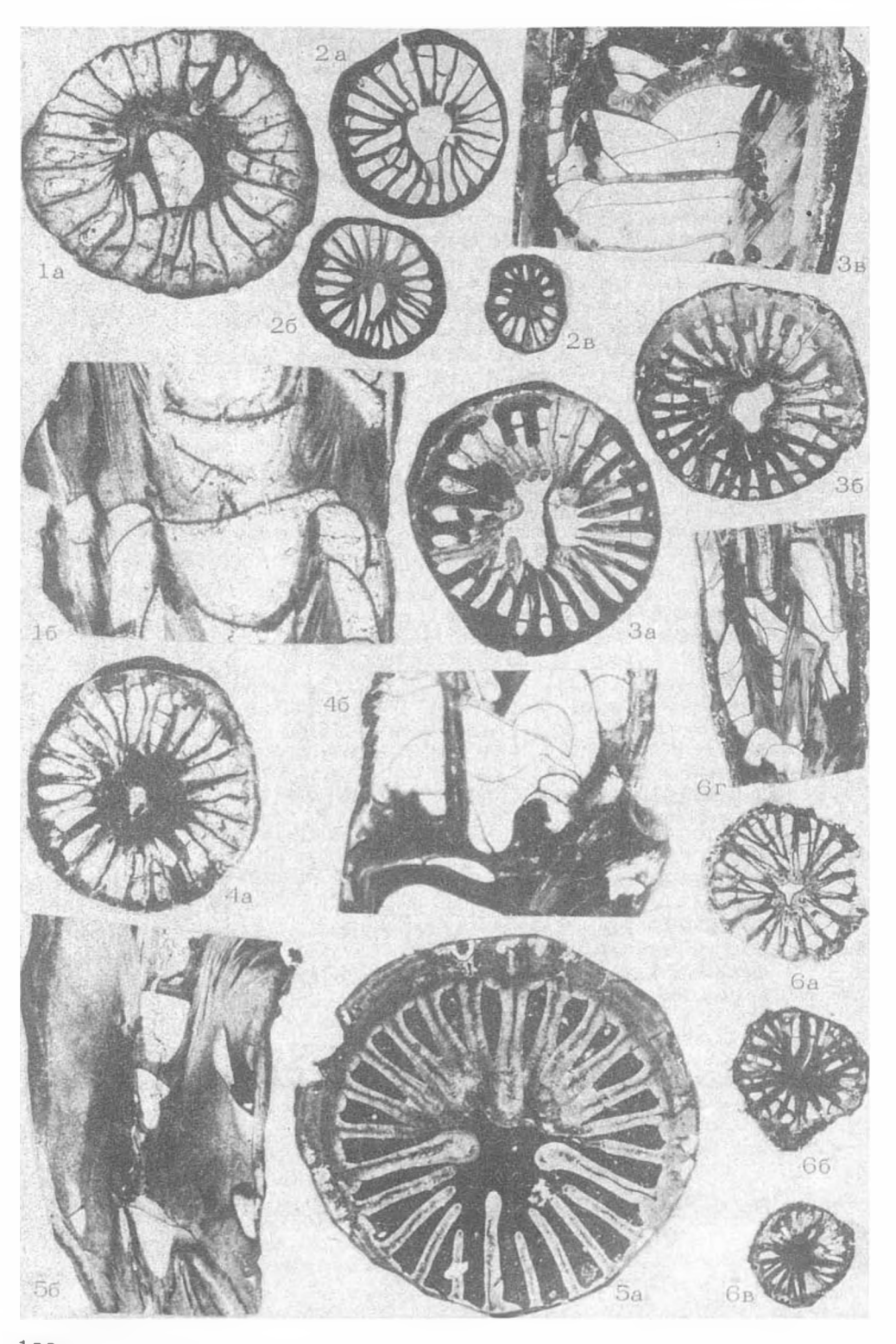
- Фиг. 13-16. Leiofusa tajmurica sp. nov. 13, 14 - преп. Т-637, пачка 17, восточнотаймырская свита; 15 - преп. Т-581, пачка 14, восточнотаймырская свита; 16 - преп. Т-55, пачка 20, при-
- Фиг. 17. Cymatiosphaera sp.

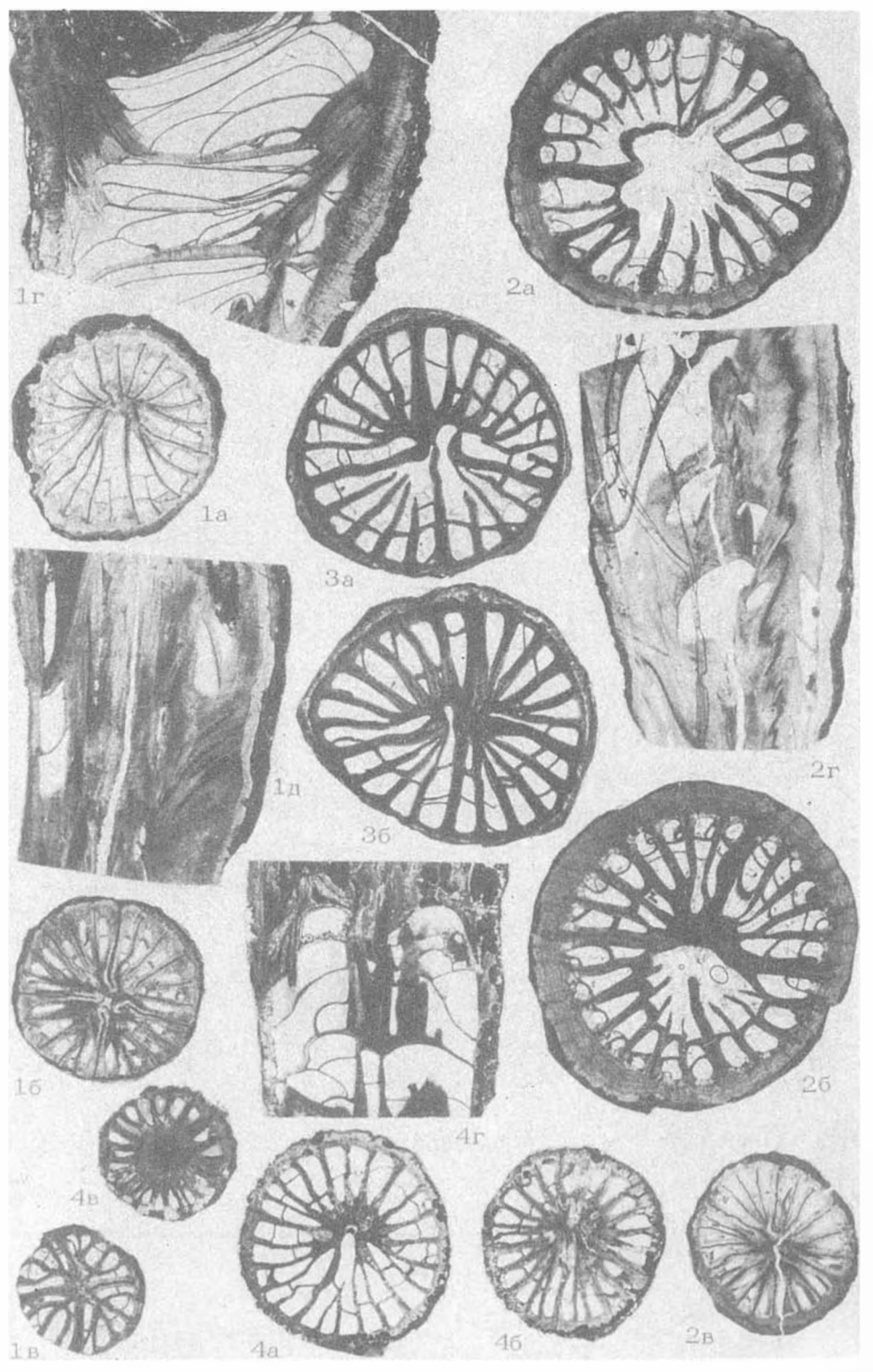
Преп. Т-500, пачка 4, кешинская свита.

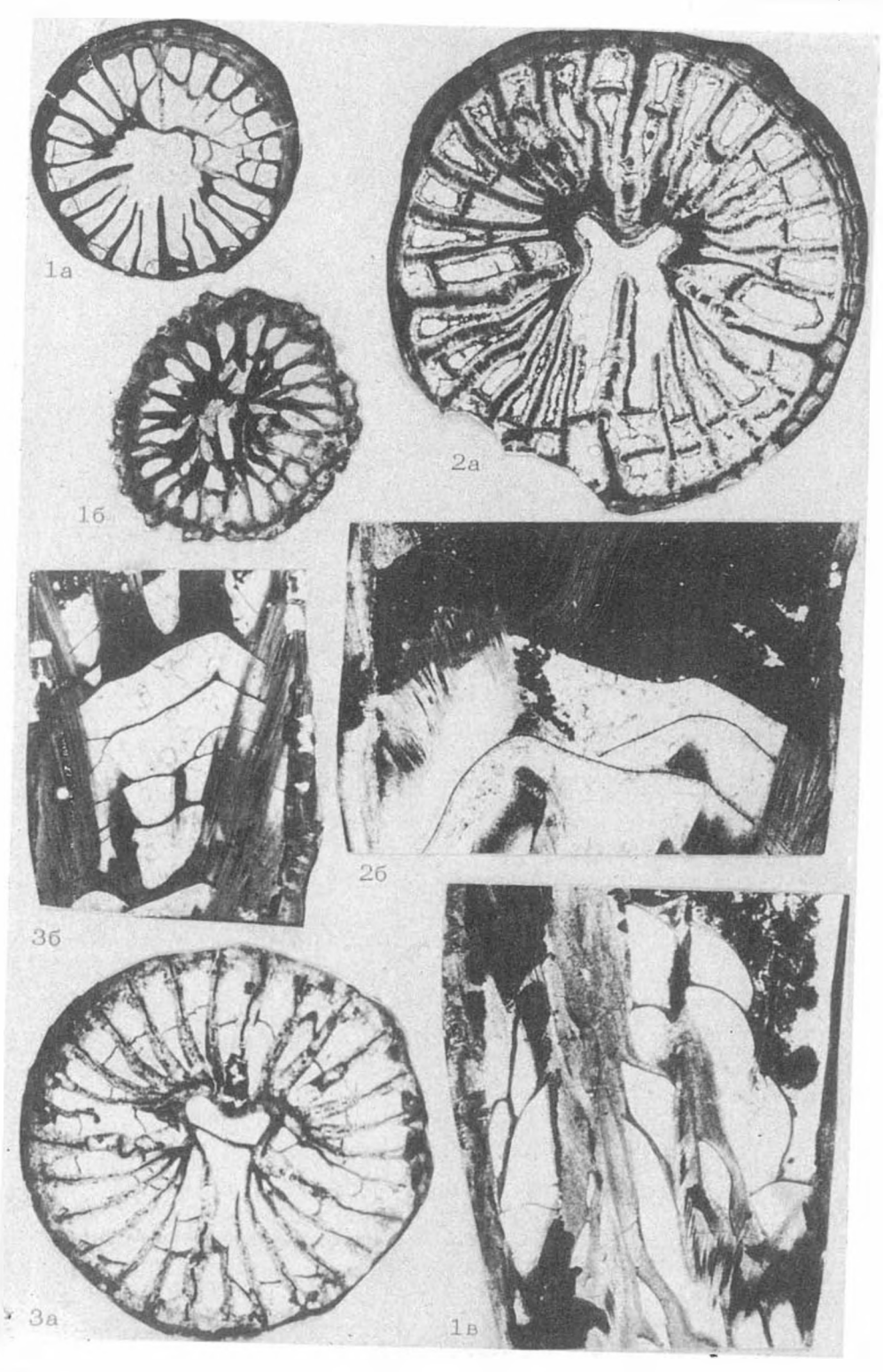
Фиг. 18. Leiosphaeridia sp.

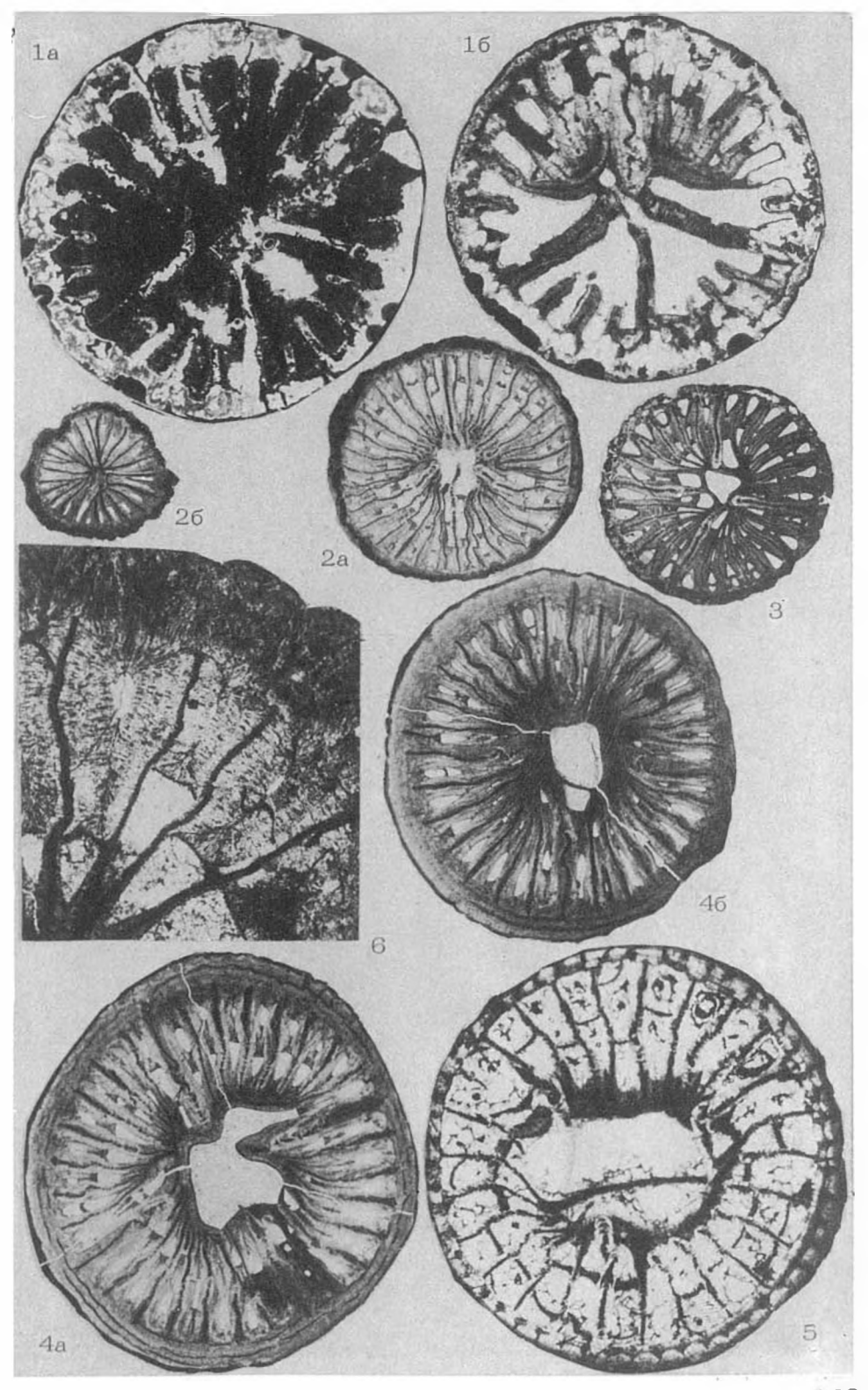
Преп. Т-541, пачка 8, кешинская свита.

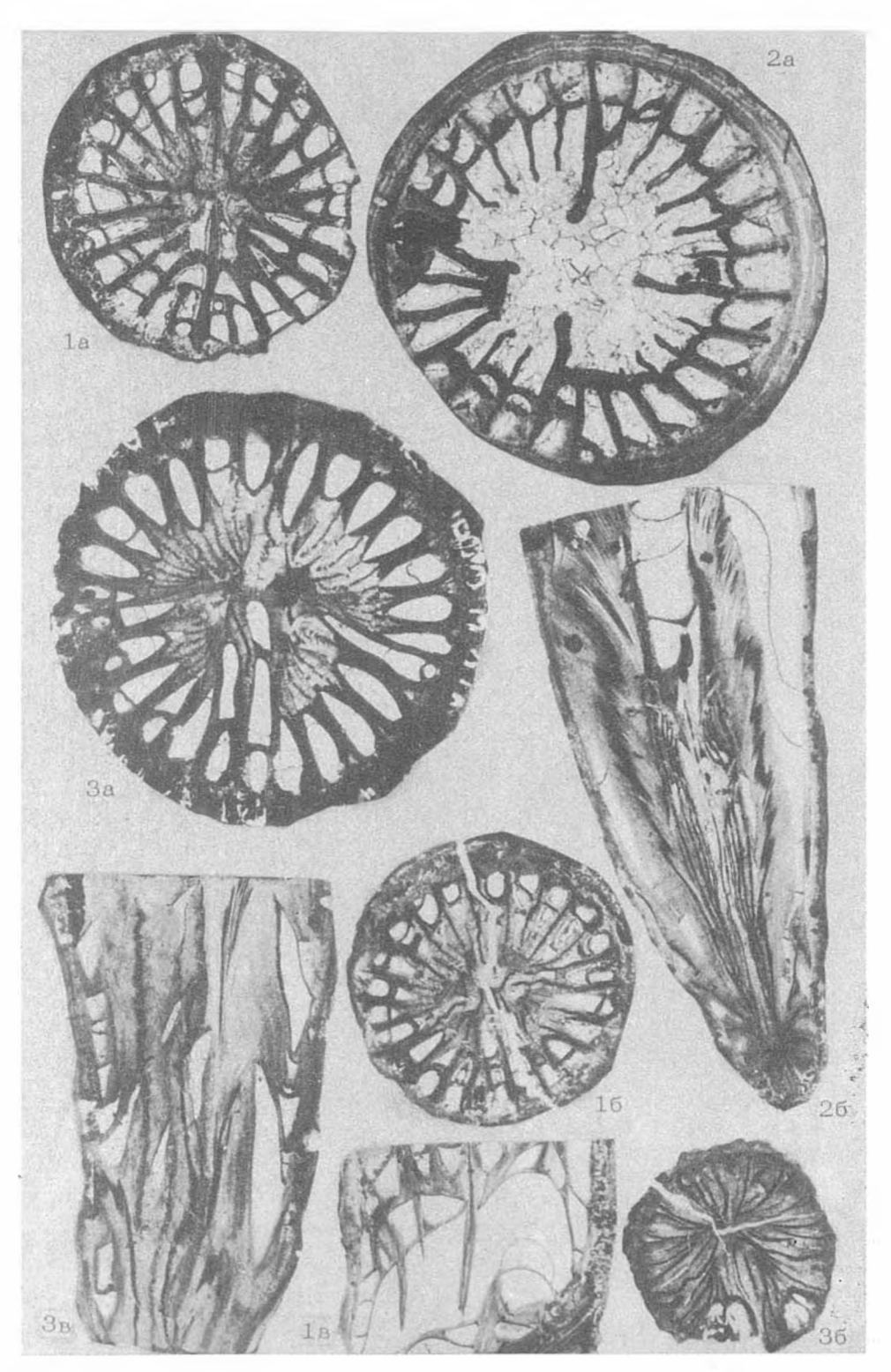
Фиг. 19. Pterospermella triassica sp. nov. Преп. Т-503, пачка 4, кешинская свита.

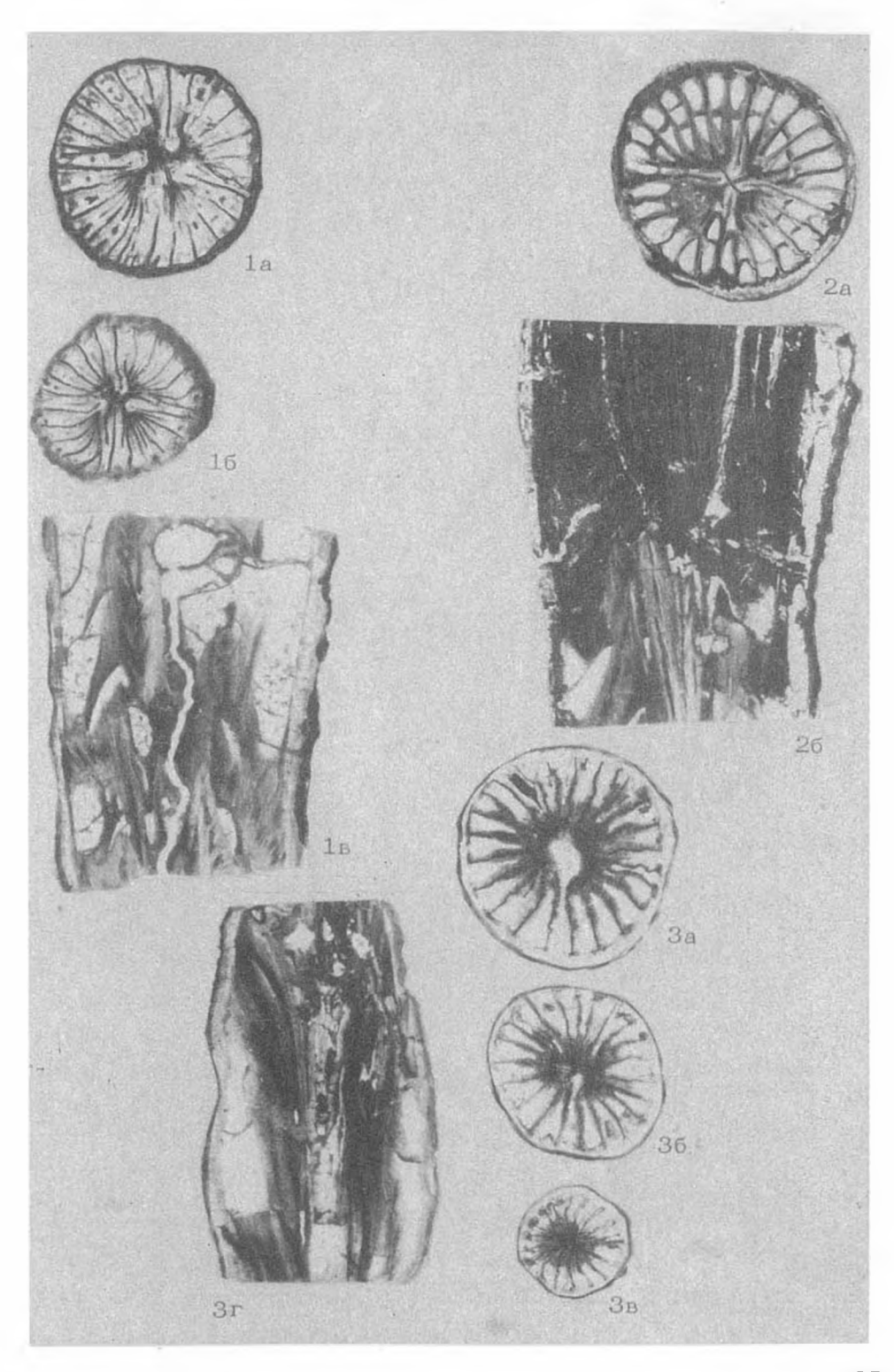


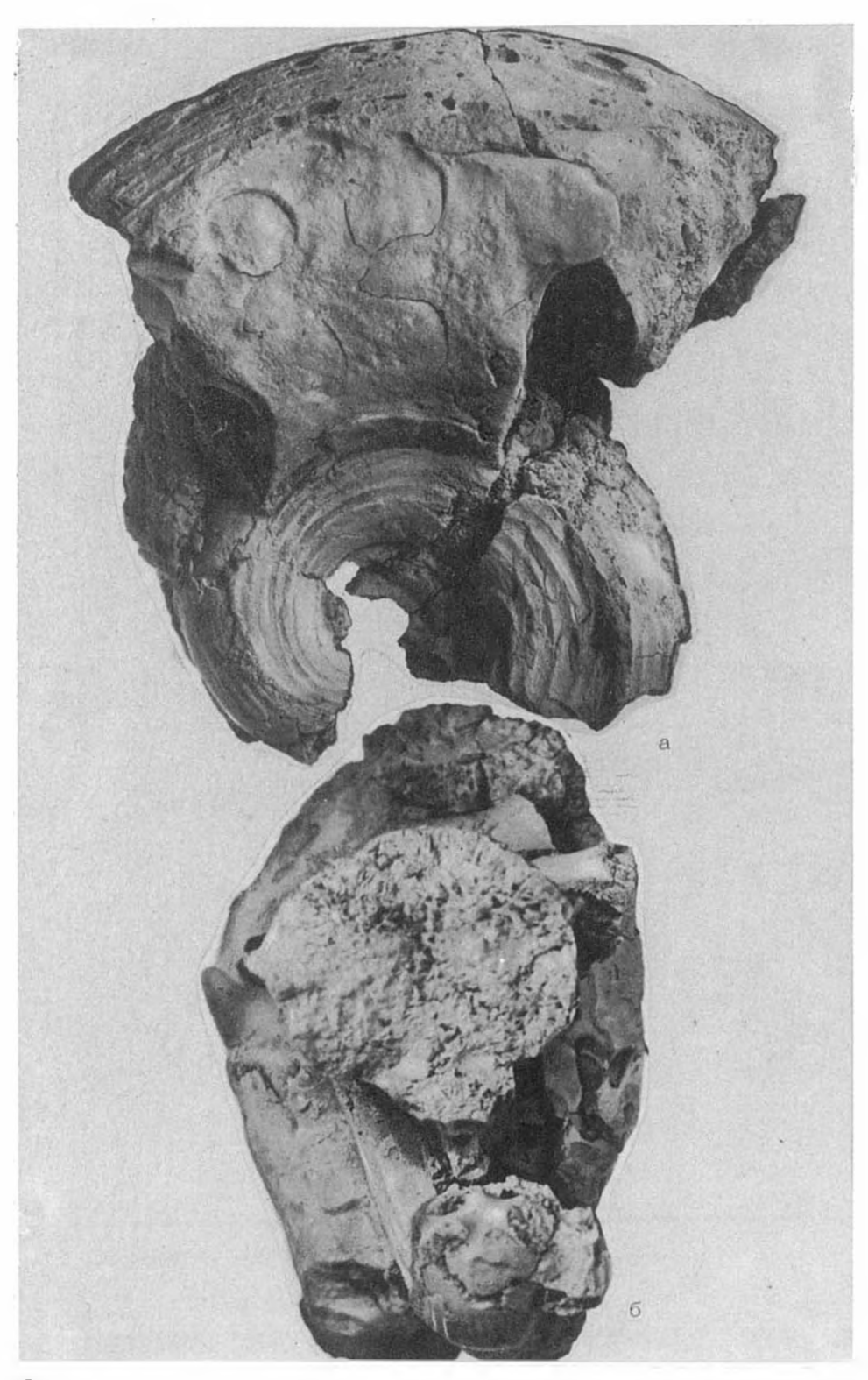


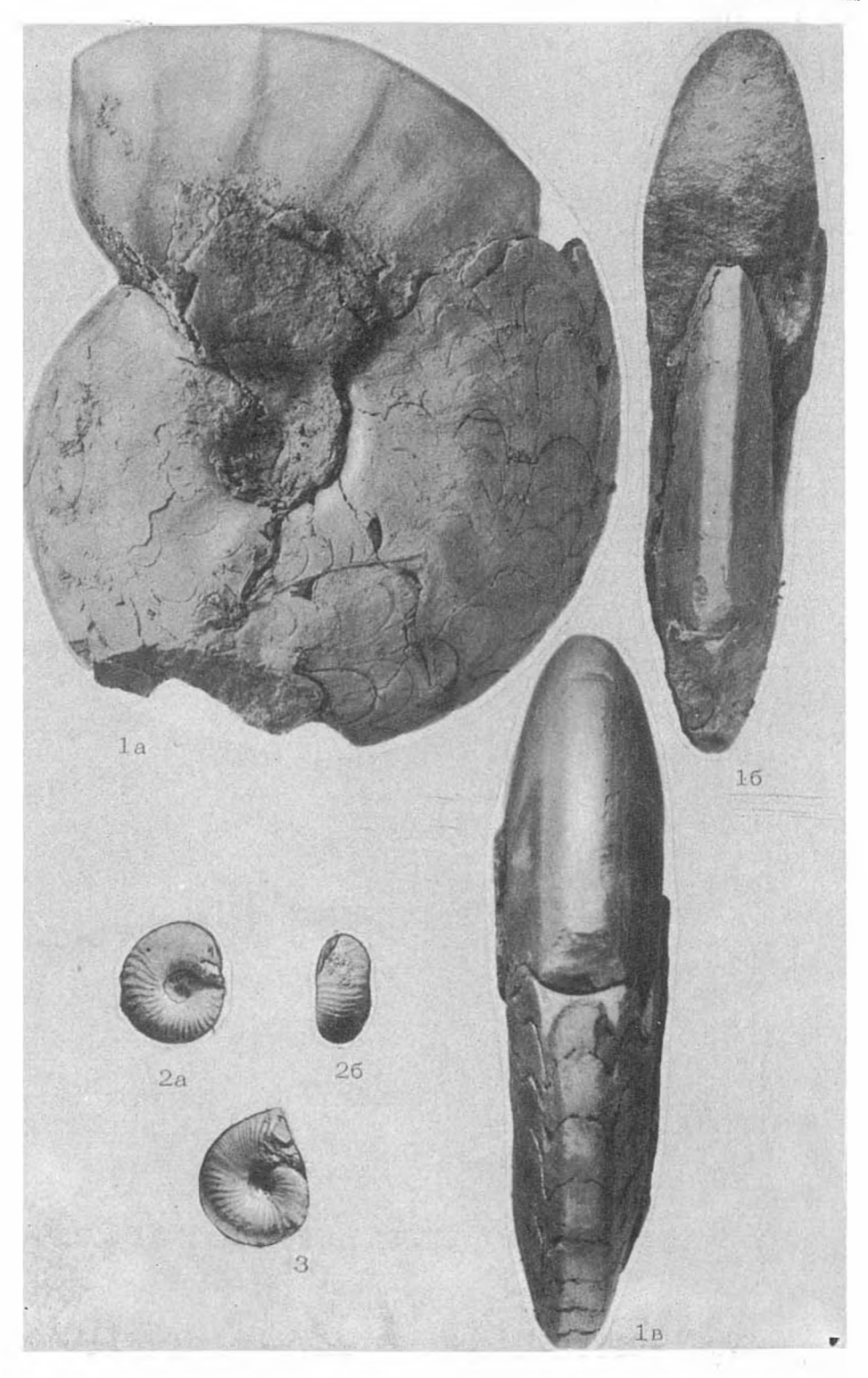


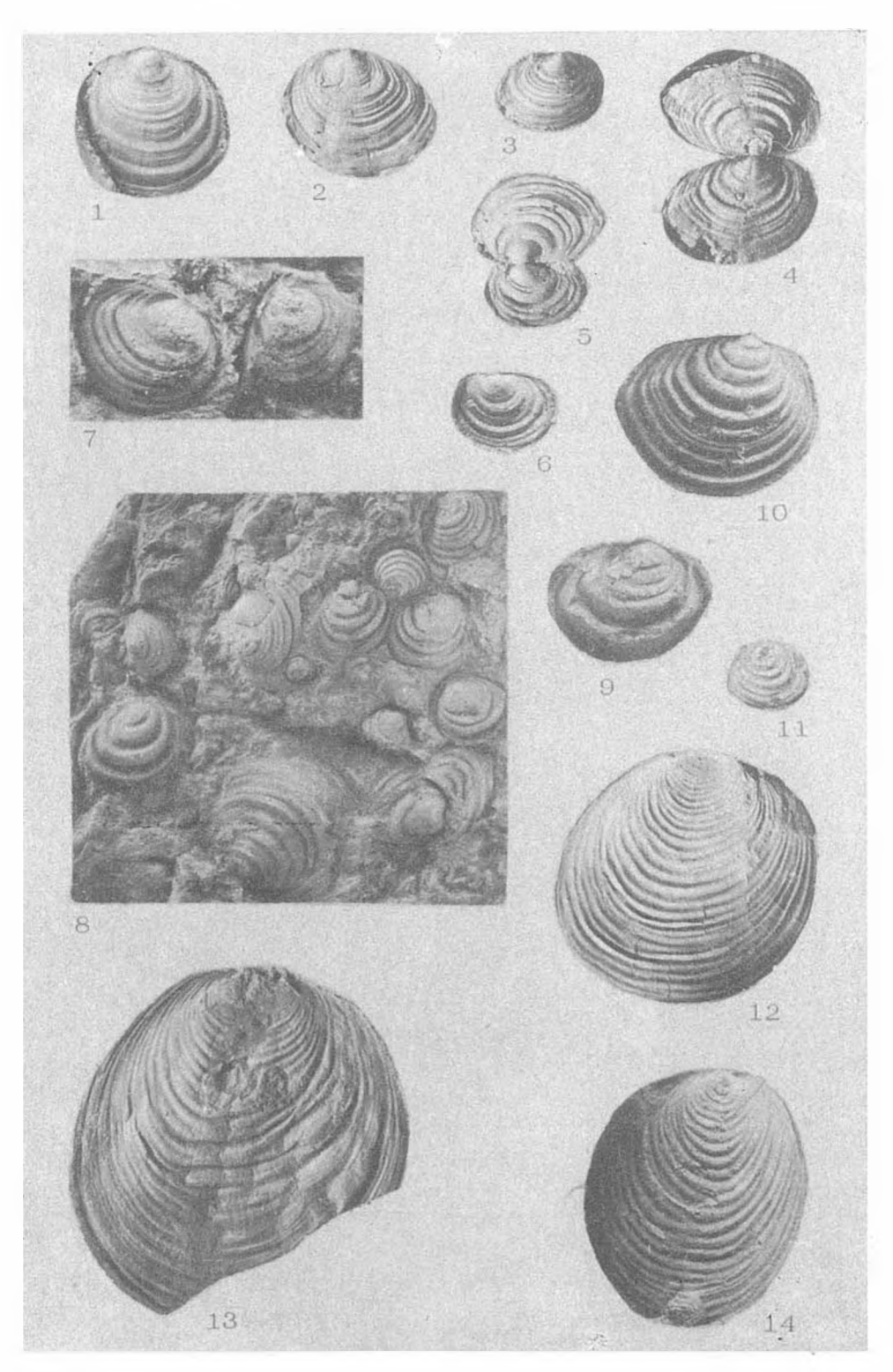


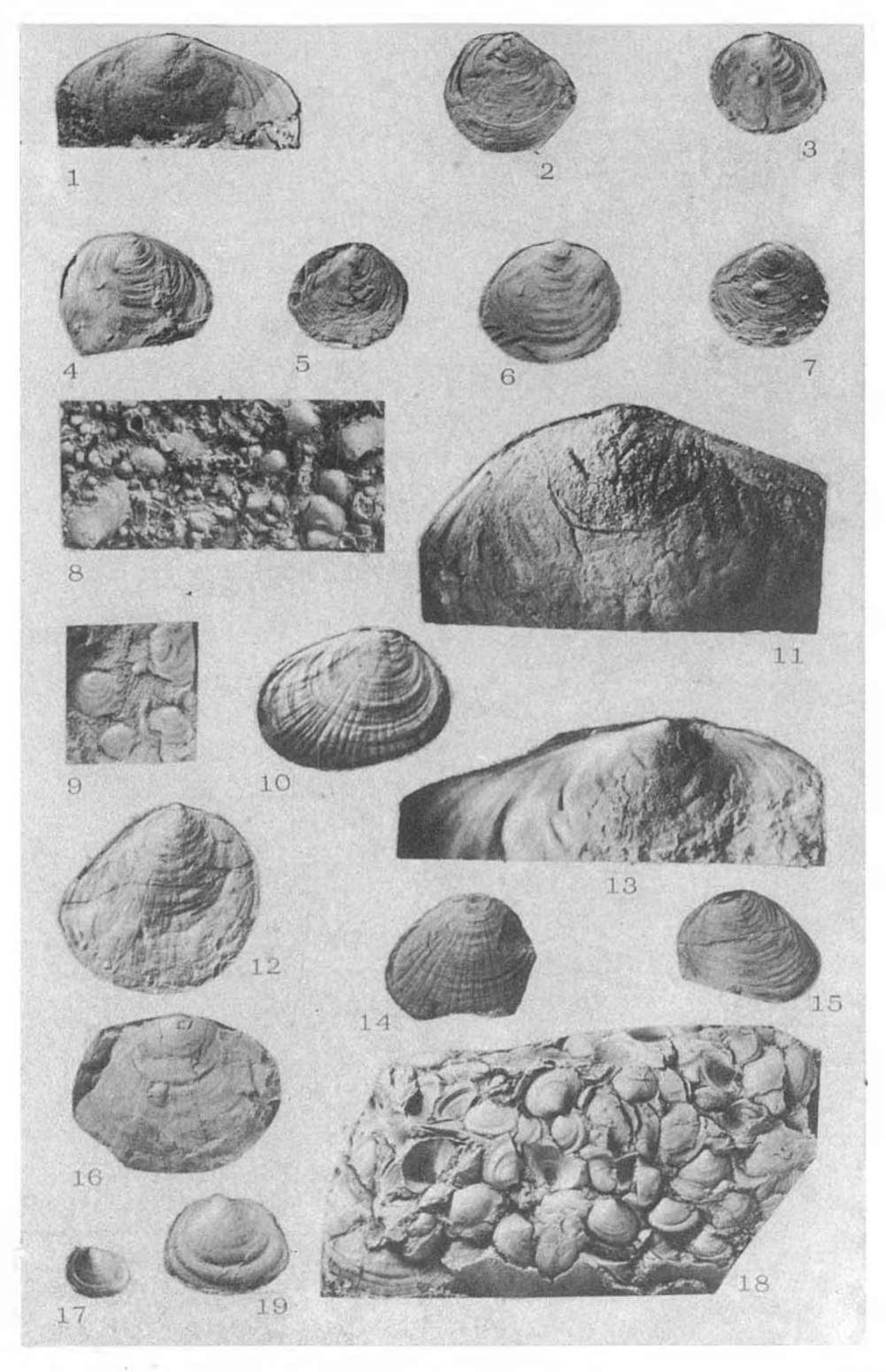


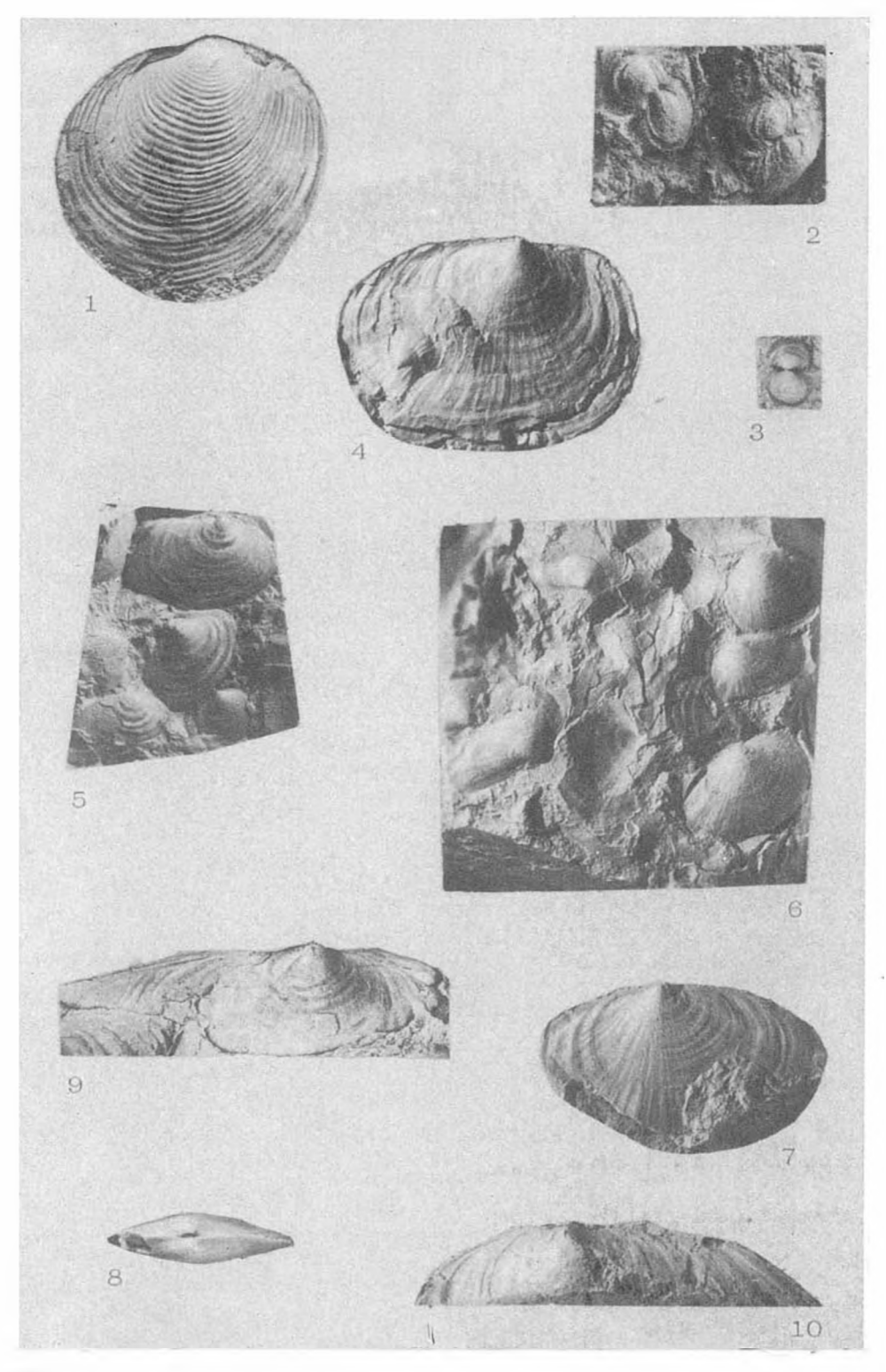


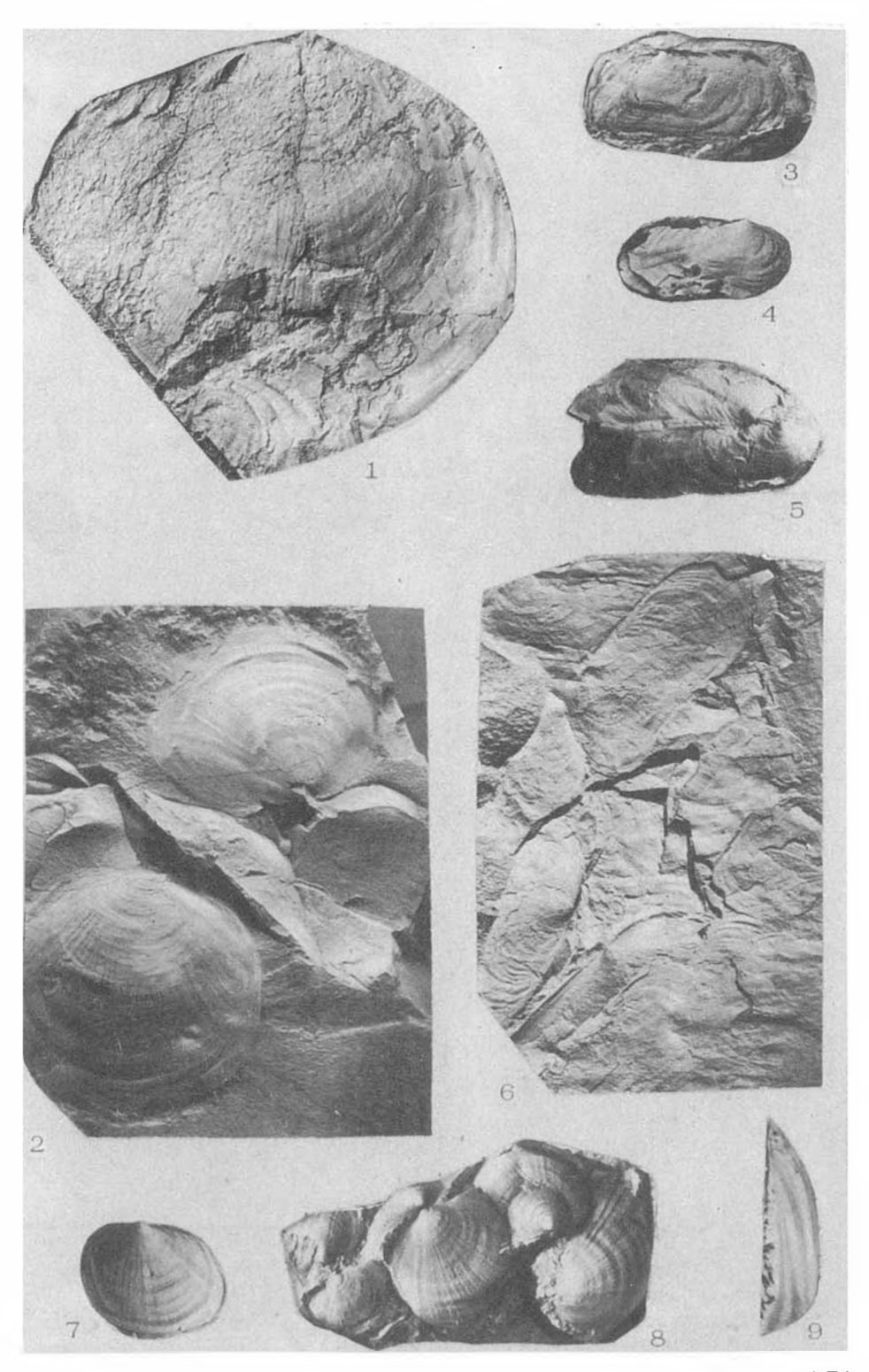


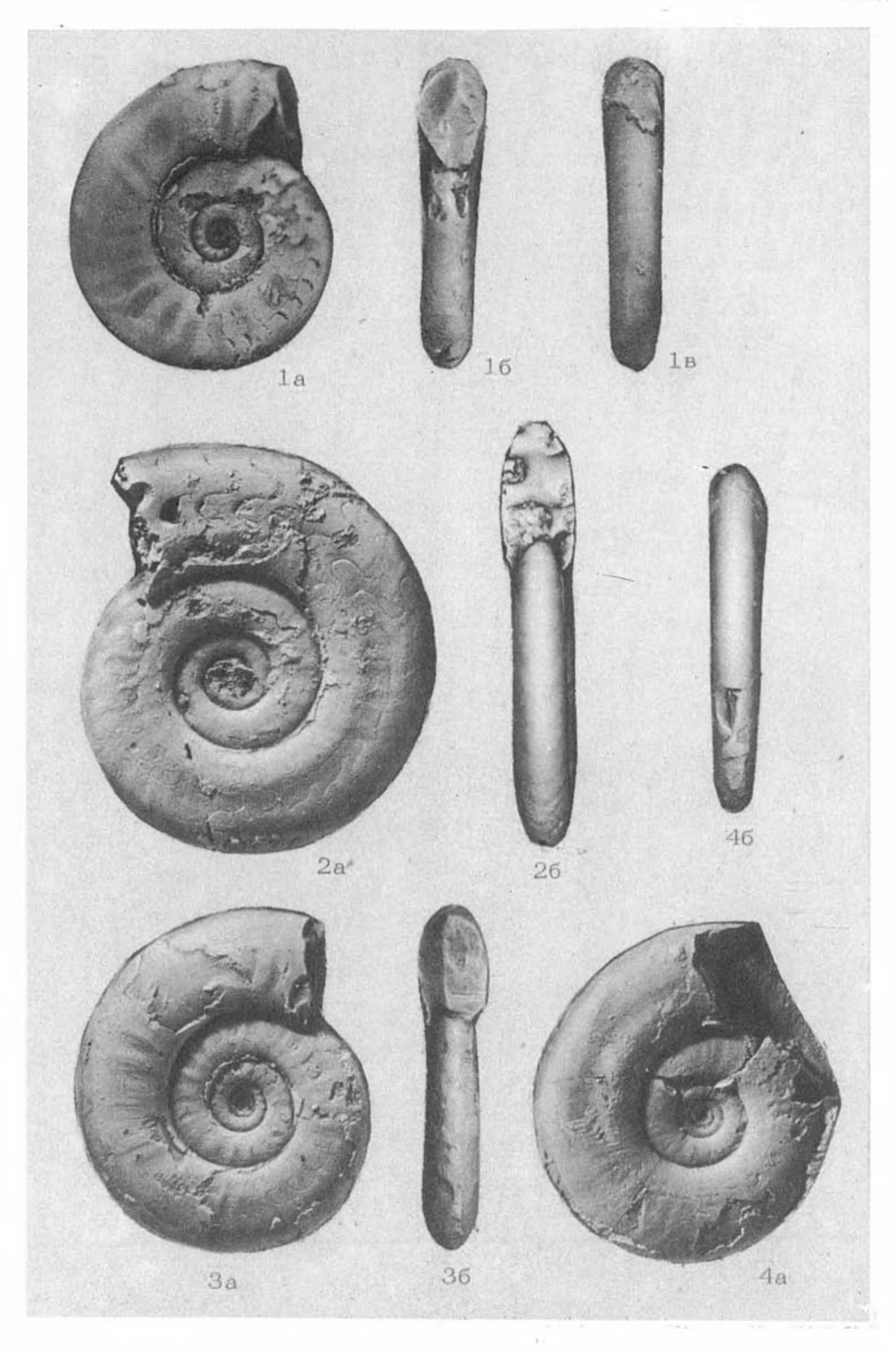


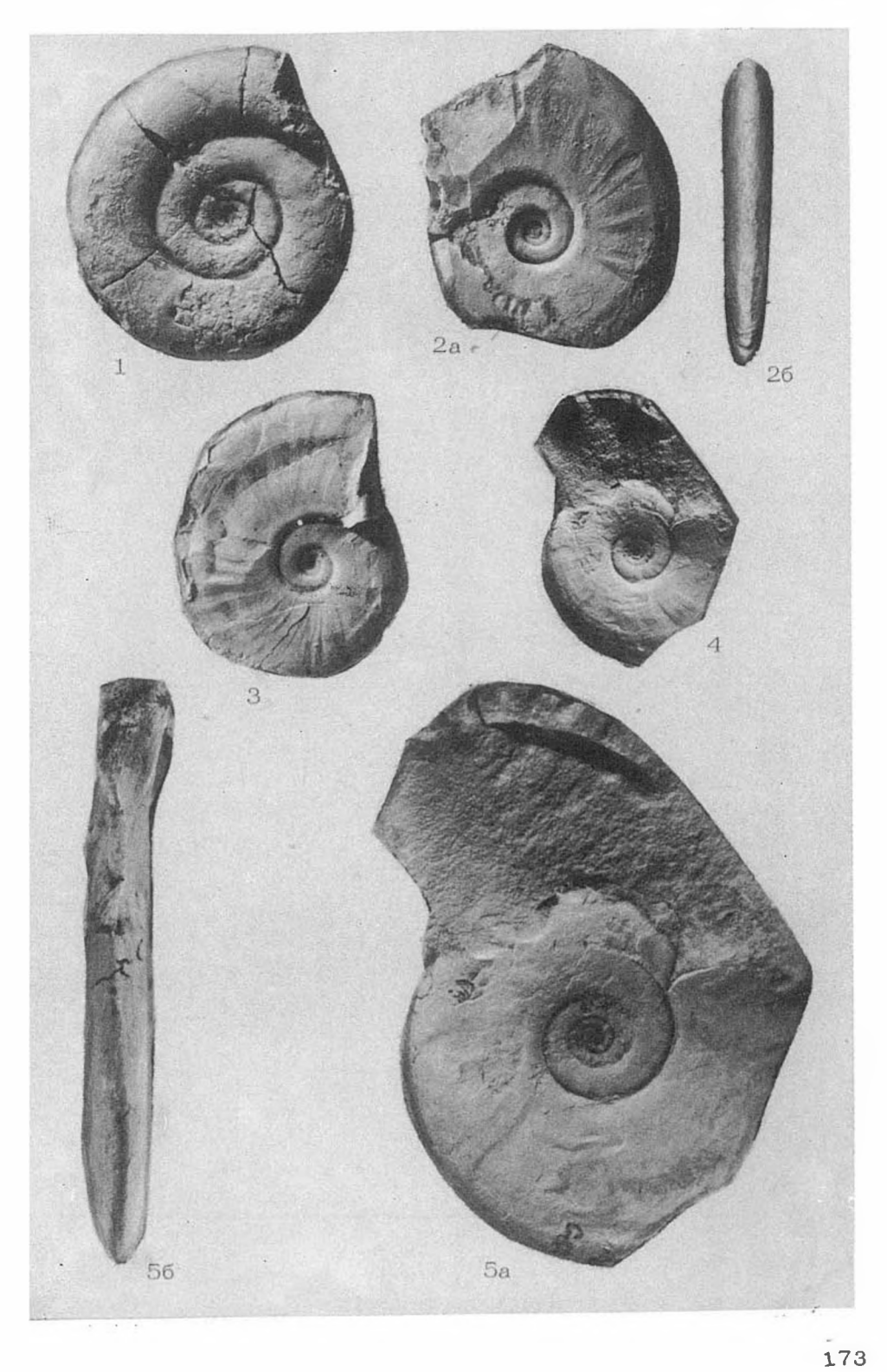


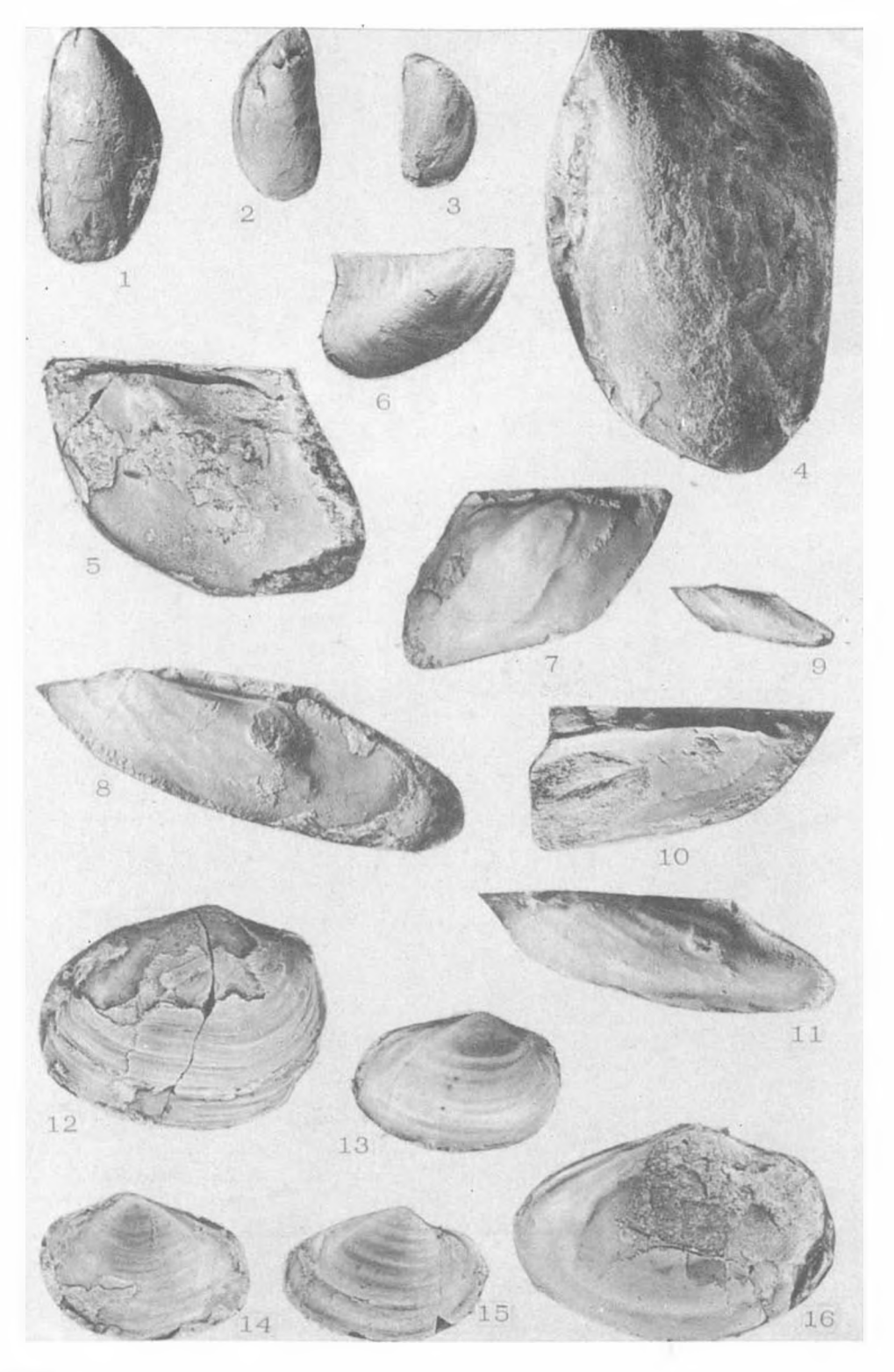


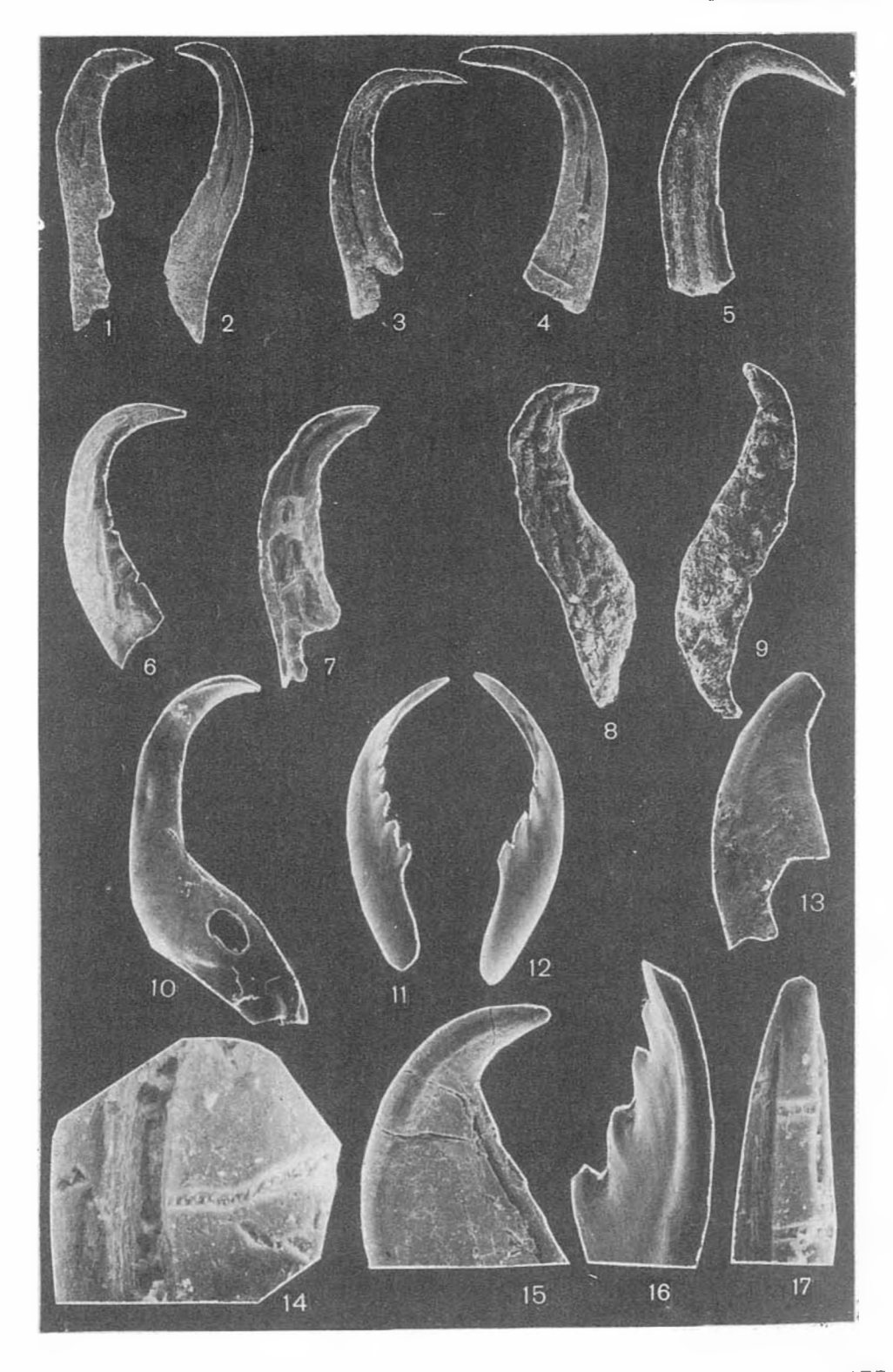


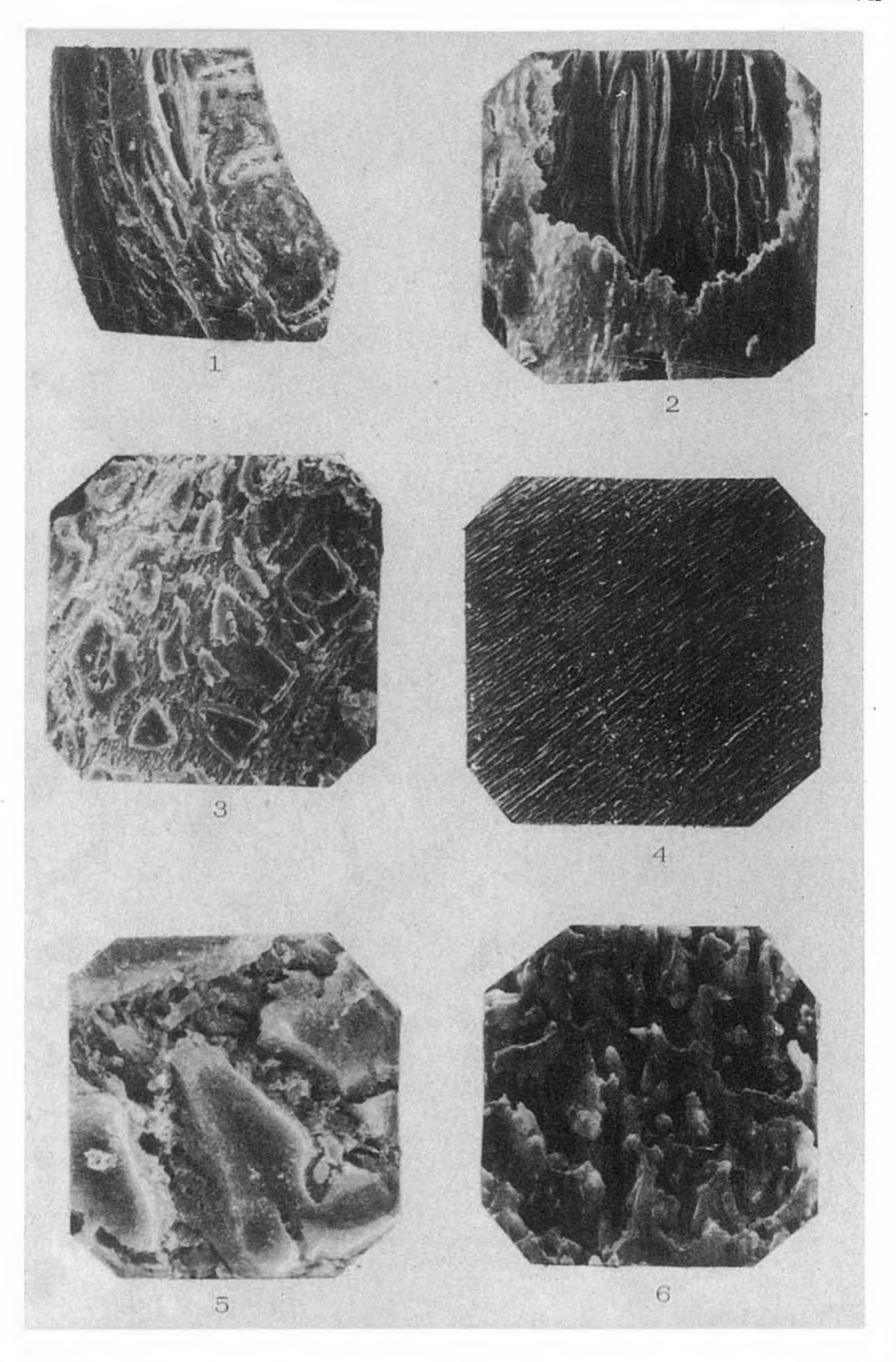


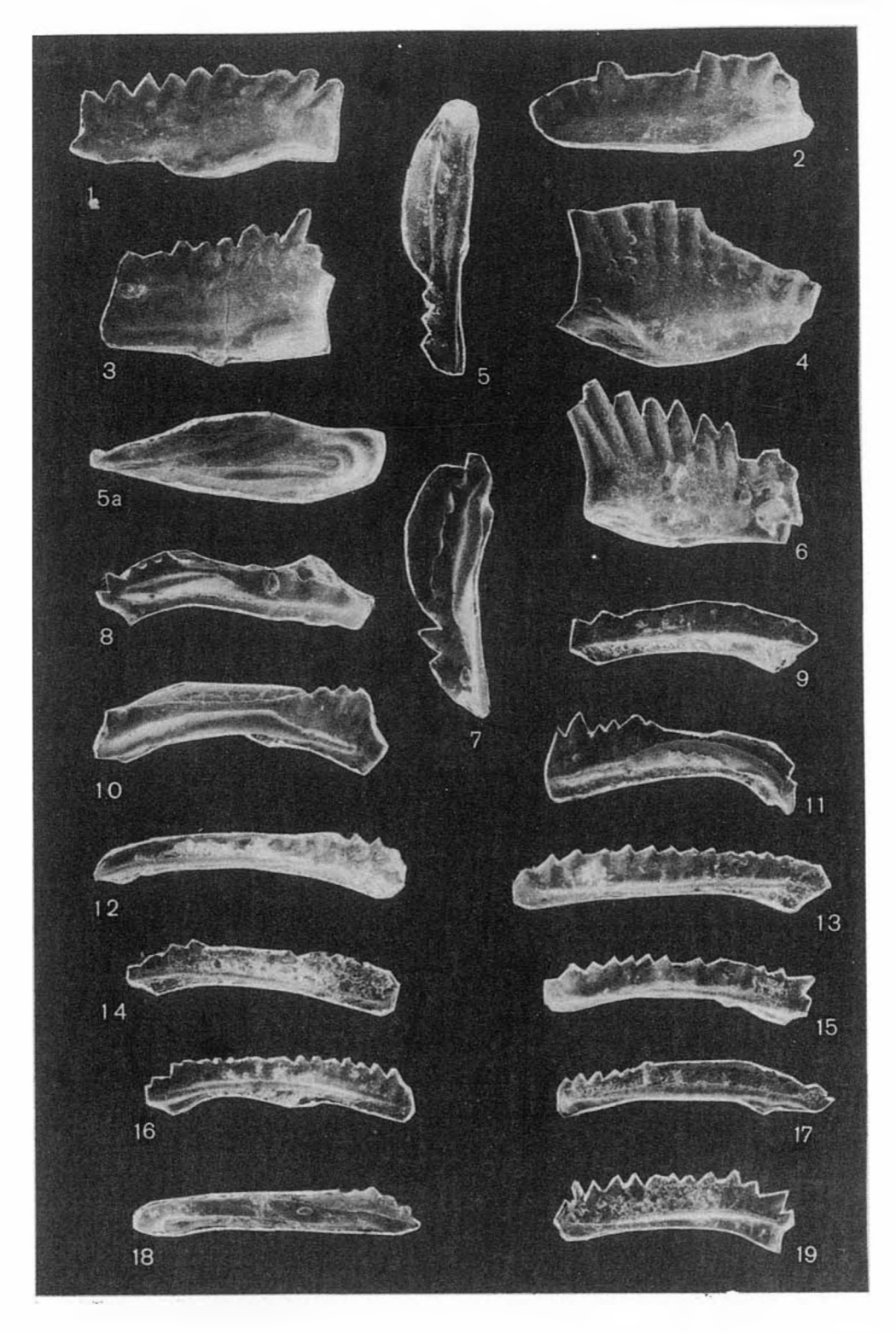


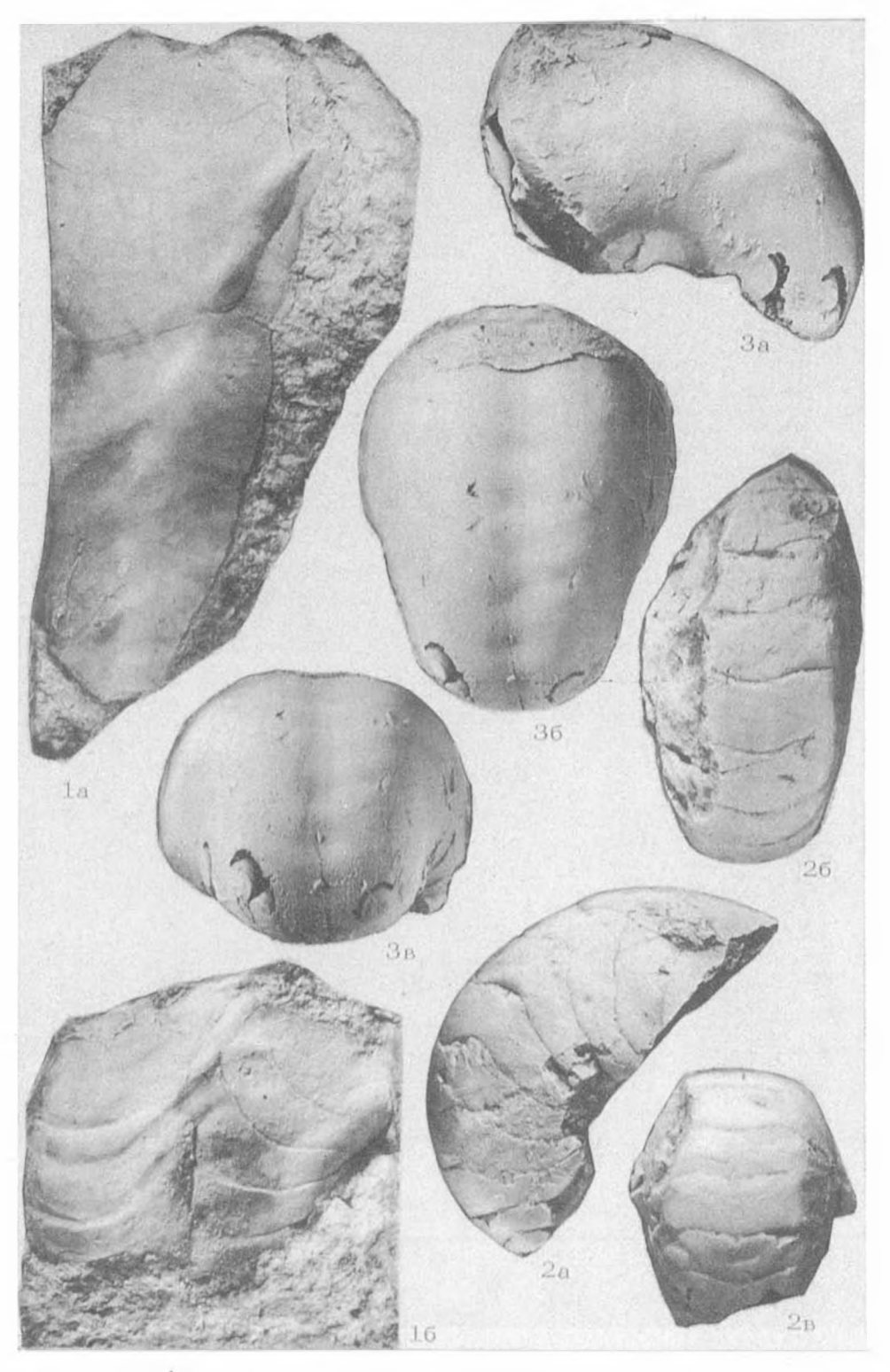


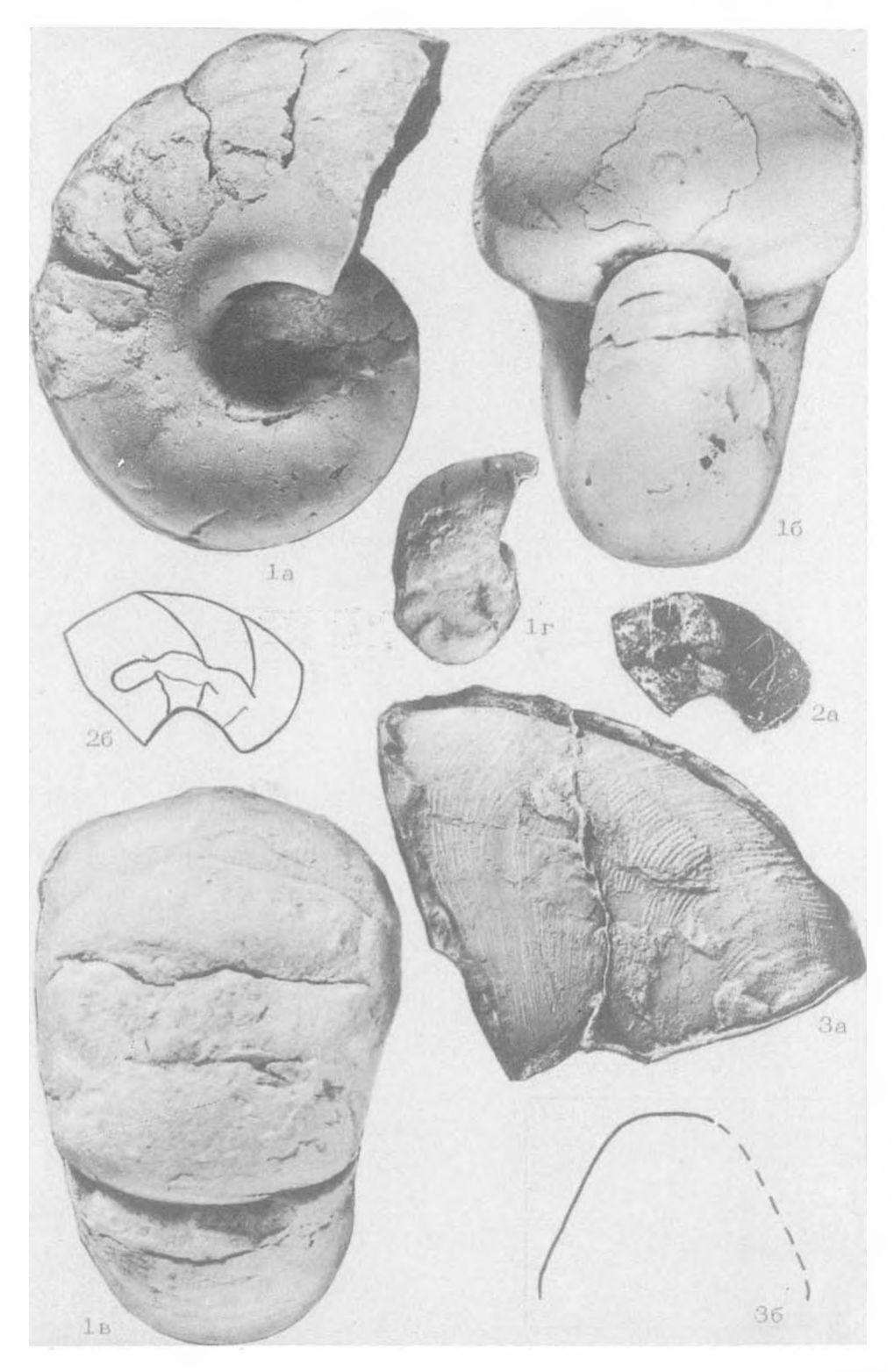


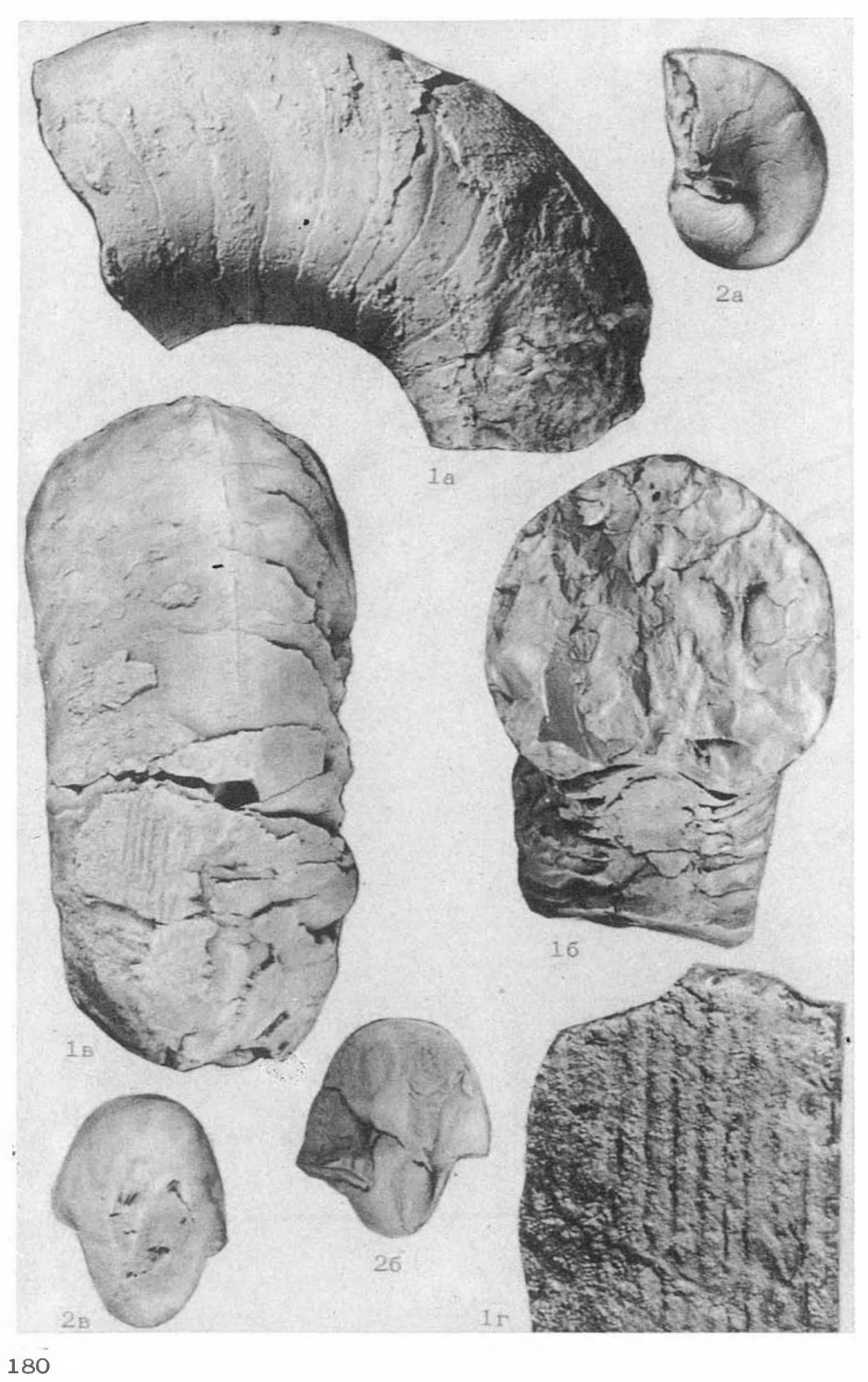


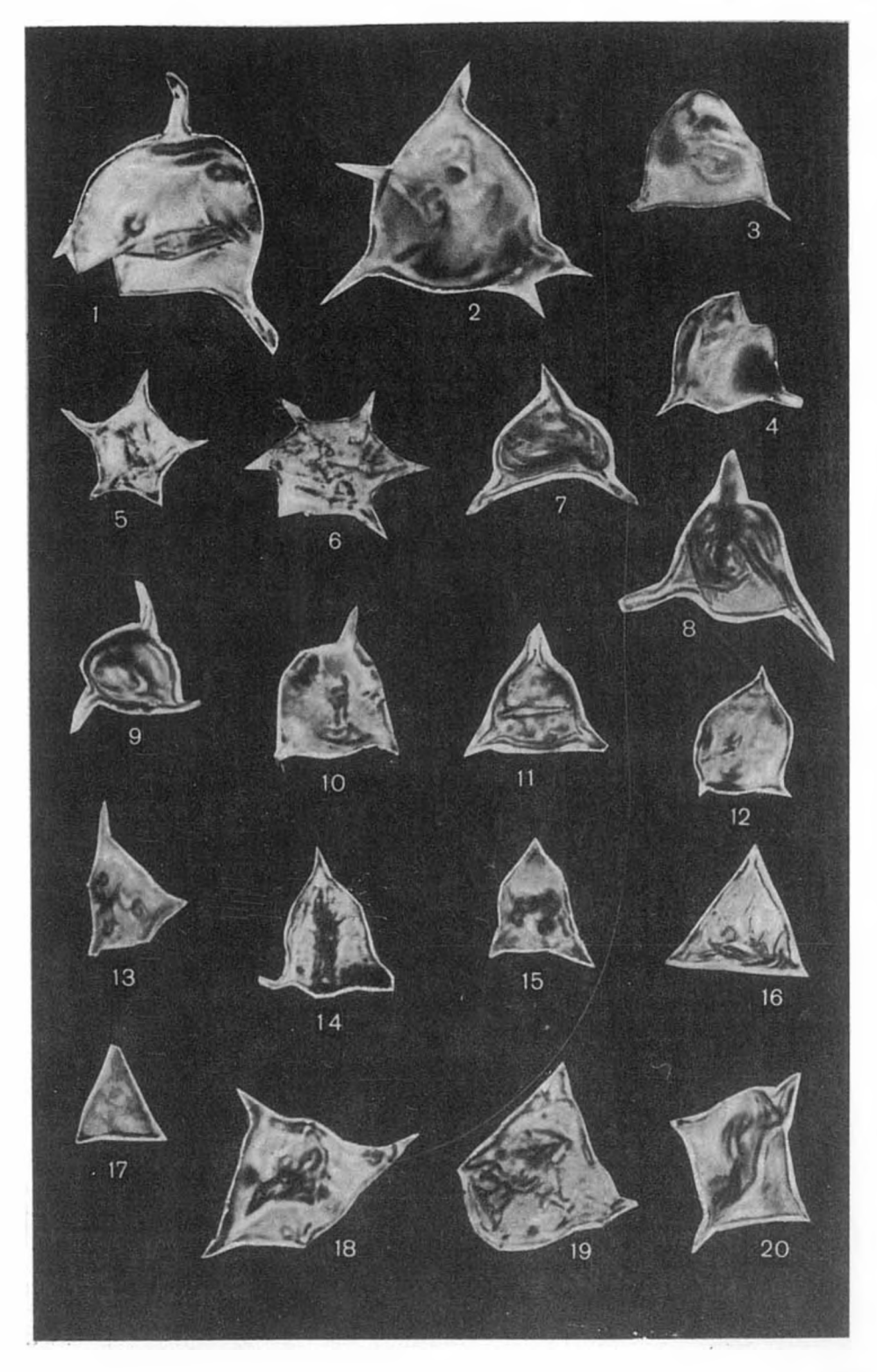


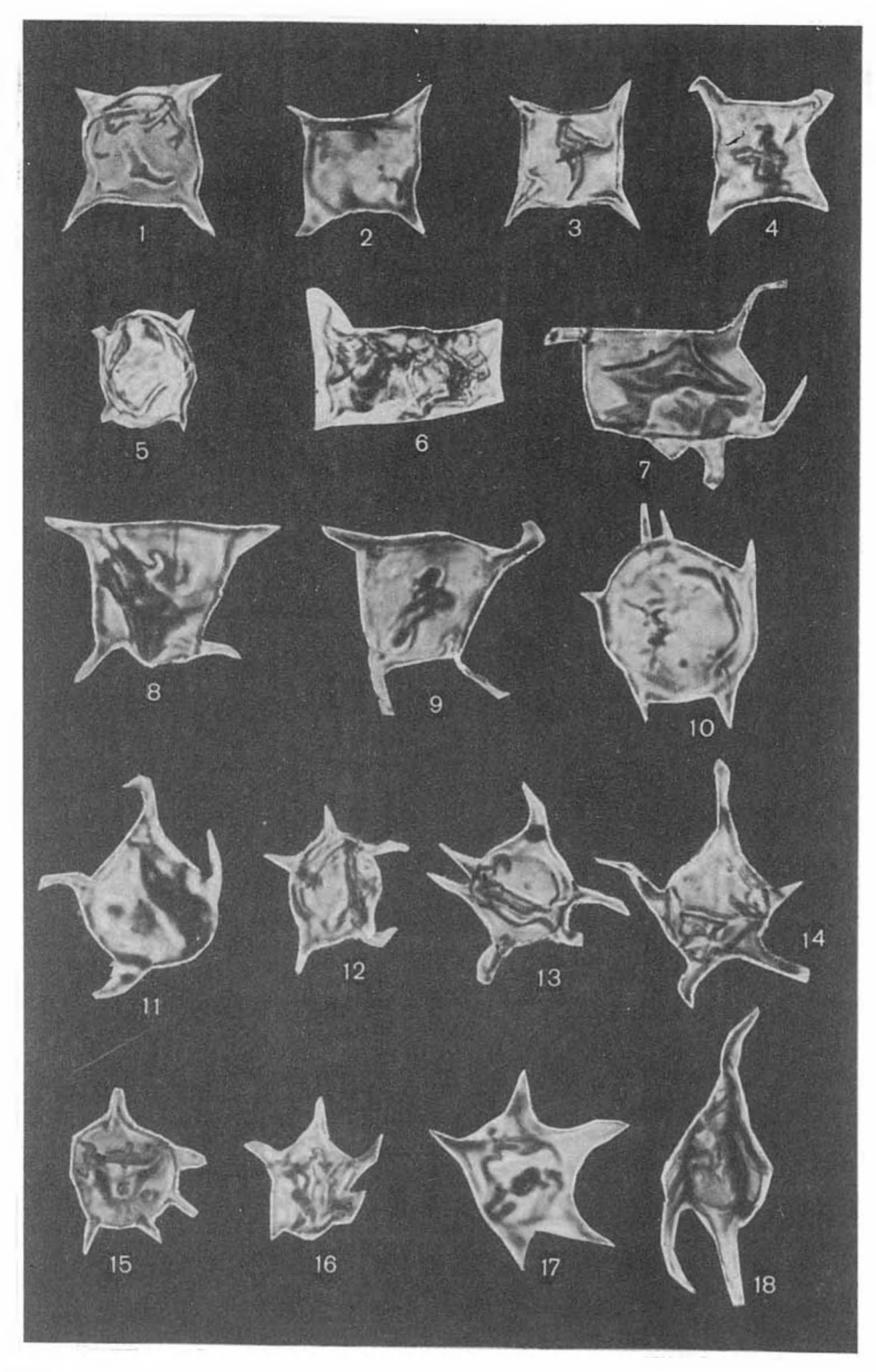


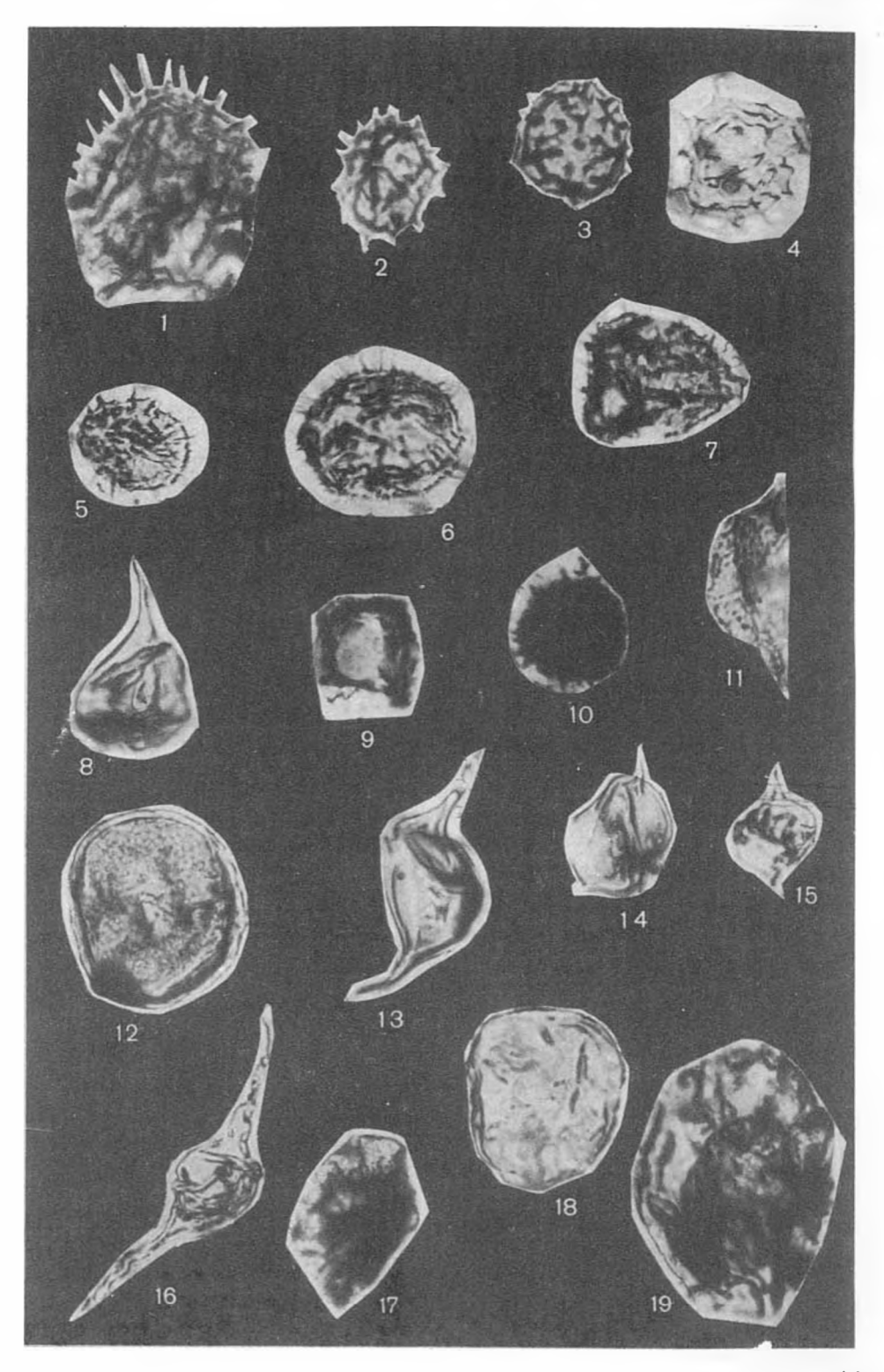












СОДЕРЖАНИЕ

Предисловие	3
Могучева Н.К. Изменение флоры на границе перми и триаса в Ангариде	4
Садовников Г.Н. О тутончанском горизонте и вулканогенных пермотриасовых от-	
ложениях Тунгусского бассейна	13
Данилов В.И., Будников И.В. Палеоботаническое обоснование корреляции верхне-	
палеозойских отложений Вилюйской синеклизы и Западного Верхоянья	20
Ивановский А.Б. Одиночные ругозы из верхней перми востока Русской платформы	31
<u> Дагис А.С., Дагис А.А., Ермакова С.П.</u> Биостратиграфия нижнего оленека Сиби-	
ри	39
Казаков А.М. Фациально-генетическая модель и литостратиграфия нижнетриасовых	
отложений Вилюйской синеклизы и Западного Верхоянья	49
Курушин Н.И., Трушелев А.М. Посидонии из триасовых отложений Сибири и Даль-	
него Востока	57
Дагис А.С., Егоров А.Ю., Казаков <u>А.М., Курушин Н.И.</u> Стратиграфия триасовых	
отложений Юго-Восточного Таймыра	71
Егоров А.Ю., Куликова Л.И. Стратиграфическое положение раннетриасовых трап-	
пов Таймыра	91
Заславская H.M. О систематическом положении родов Paraglycerites Eise-	
nack M Arites Kozur	104
Дагис А.А., Корчинская М.В. Триасовые конодонты Свальбарда	109
Соболев Е.С. Триасовые наутилиды архипелага Свальбард	122
Бычков Ю.М. Строение и условия формирования верхнетриасовой нутэкинской тол-	
щи (Корякское нагорье)	135
Шешегова Л.И. Акритархи нижнетриасовых отложений Восточного Таймыра	142
Фототаблицы и пояснения к ним	153

Научное издание

ВЕРХНИЙ ПАЛЕОЗОЙ И ТРИАС СИБИРИ

Редактор издательства Л.М. Акентьева Художественный редактор М.Ф. Глазырина Художник А.И. Смирнов Технический редактор Н.М. Остроумова Корректоры Е.Н. Зимина, С.Л. Шабалина

ИБ № 34499

Сдано в набор 31.03.89. Подписано к печати 29.06.89. МН-01073. Формат 70х100 1/16. Бумага офсетная. Офсетная печать. Усл. печ. л. 12,4 + 2,6 на мел. бум. Усл. кр.-отт. 15,3. Уч.-иэд. л. 16. Тираж 600 экз. Заказ № 530. Цена 2 р. 40 к.

Ордена Трудового Красного Знамени издательство "Наука", Сибирское отделение. 630099 Новосибирск, ул. Советская, 18.

4-я типография издательства "Наука". 630077 Новосибирск, ул. Станиславского, 25.